

島根原子力発電所 2号炉 審査資料	
資料番号	EP(E)-088改01
提出年月	令和3年5月19日

島根原子力発電所 原子炉設置変更許可申請書
(2号原子炉施設の変更)
添付書類六のうち地盤(敷地の地形, 地質・地質構造,
耐震重要施設等の基礎地盤及び周辺斜面の安定性評価)
(修正案)

令和3年5月19日
中国電力株式会社

3.4 敷地の地質・地質構造

3.4.1 調査内容

島根原子力発電所の敷地において、文献調査、変動地形学的調査、地表地質踏査、地表からの弾性波探査、ボーリング調査及び試掘坑調査を実施しており、それらの結果に基づき、敷地の地質・地質構造について検討を実施した。

3.4.1.1 文献調査、変動地形学的調査及び地表地質踏査

敷地の地質分布及び地質・地質構造を把握する資料を得るため、地形調査及び地表地質踏査を行った。

また、文献による調査や空中写真の判読等による調査も併せて実施した。これらの調査結果から、地質図（原縮尺 5,000 分の 1）、同断面図（原縮尺 5,000 分の 1）を作成した。

3.4.1.2 地表からの弾性波探査

敷地の地質特性及び地質構造の概要を把握するため、探査測線 39 測線で総延長約 11,440m の地表弾性波探査を第 3.4-1 図に示す位置で実施した。探査は、地中発破による弾性波（P 波）を、測線上に設けた 5m 間隔の測点で記録し、その測定値から求めた走時曲線を解析して地盤の伝播速度を調査した。

また、大深度ボーリング孔から 2 号炉方向に伸びる東西方向でオフセット VSP 探査を、南北・東西方向の構内道路沿いの 2 測線で反射法探査を第 3.4-1 図に示す位置で実施した。

3.4.1.3 ボーリング調査

敷地の地質・地質構造についての資料を得るとともに、原子炉施設の基本配置を地質学的見地から検討するため、ボーリング調査を実施した。

ボーリング調査は、第 3.4-1 図に示すように原子炉設置位置付近を中心

心に格子状の各線上で調査することを基本として実施した。

調査位置の間隔は、原子炉設置位置付近で 15m～20m とした。

ボーリングの掘削深度は、平均約 84m、最深約 230m で、孔数 317 孔、総延長約 26,486m である。

掘削孔径は 56mm～116mm でロータリ型ボーリングマシンを使用し、オールコア・ボーリングで実施した。

採取したボーリングコアを観察して地質柱状図及び地質断面図を作成し、敷地の地質・地質構造を把握した。

3.4.1.4 試掘坑調査

ボーリング調査によって得られた敷地の地質・地質構造を直接確認するため、第 3.4-1 図に示すように、原子炉設置位置付近（1号、2号及び3号炉）において、総延長約 1,770m の試掘坑による調査を実施した。

3.4.2 調査結果

3.4.2.1 敷地の地形

発電所の敷地は、島根半島の日本海側海岸線のほぼ中央部に位置する。

敷地の北縁には海食崖が形成され、南縁は東西に延びる半島の脊梁山地から成る。東西の両縁は脊梁山地から海に向かって下る小谷及び北へ突出した小半島で囲まれている。

敷地の地形は、沿岸低山地と後背山地に大別される。沿岸低山地は標高約 80m 以下の山地で、高さ約 5m～約 10m の海食崖で囲まれ、緩慢な山頂面から海に急傾斜している。後背山地は標高約 80m～約 160m の山地で、東から才津谷さいづ、くしげ谷、輪谷わ及び宇中谷うちゅうの開析谷が発達しており、中央の輪谷が扇状に大きく広がっている。

原子炉建物は、この輪谷に設置されており、敷地造成に伴い、流域の中下流は埋積されており、山地は大部分が切取られている。

地形調査等によると、敷地には断層活動を示唆する変位地形・リニアメ

ントは認められない。

3.4.2.2 敷地の地質

地表地質踏査、ボーリング調査等により作成した敷地付近の原縮尺5,000分の1の地質平面図及び地質断面図を第3.4-2図及び第3.4-3図に示す。また、地質の層序を第3.4-1表に示す。

敷地の地質は、新第三紀中新世の堆積岩類から成る成相寺層及び貫入岩類、並びにそれらを覆う被覆層から構成される。

成相寺層は海成層で、下位より下部頁岩部層、火碎岩部層及び上部頁岩部層に区分される。

なお、原子炉建物基礎地盤及び周辺斜面には、成相寺層のうち下部頁岩部層、貫入岩類が分布する。

(1) 下部頁岩部層

下部頁岩部層は、頁岩（黒色頁岩及び凝灰質頁岩）を主体とし、凝灰岩及び凝灰角礫岩並びにこれらの互層から構成される。

敷地で確認される最大層厚は約210mで、下位より約150mの区間は黒色頁岩が、上位約60m区間は凝灰質頁岩が優勢となる。また、黒色頁岩の優勢な部分には層厚約2m～約45mの凝灰岩及び凝灰角礫岩を挟む。

本部層は整合的に火碎岩部層に覆われる。

(2) 火碎岩部層

火碎岩部層は、主として凝灰岩及び凝灰角礫岩から構成され、敷地で確認される最大層厚は約120mである。

火碎岩部層は、比較的連続性の良い黒色頁岩の薄層により、厚さ約5m～約20mの層に細区分され、整合的に上部頁岩部層に覆われる。

(3) 上部頁岩部層

上部頁岩部層は敷地に分布する成相寺層の最上部に当たり、主として敷地東部～南部の高標高部に分布する。

上部頁岩部層の層厚は約5m～約25mで、黒色頁岩を主体とし、部分

的に凝灰質頁岩及び凝灰岩を挟在する。

(4) 貫入岩類

下部頁岩部層及び火碎岩部層中には、ドレライトと安山岩の貫入が認められる。ドレライトは幅約 20m 以下の小規模な岩脈及び最大厚さ約 100m の岩床として貫入している。

安山岩は厚さ約 7m～約 10m の岩床から成り、連続性が極めて高く、輪谷湾以西のほぼ全域に分布する。また、輪谷湾東岸には幅 5m 程度の岩脈として露出する。

(5) 被覆層

被覆層は、崖錐堆積物及び盛土から成る。崖錐堆積物は、主として礫混り砂質土及び礫混り粘性土から成り、約 2m～約 5m の厚さで、斜面中腹や裾部、あるいは谷部等の緩斜面に分布する。また、盛土は輪谷湾、宇中湾に面した埋立地等に分布する。

3.4.2.3 敷地の地質構造

敷地に分布する成相寺層の構造は、露頭状況の良好な北部の海岸付近では、概ね走向 N60°～80°W、傾斜 12°～20°N の同斜構造を示す。

原子炉建物設置位置の約 200m 南方には N85°E～E-W の軸をもつ背斜構造が存在し、背斜軸より南では緩い傾斜を示す。

また、平面図及び断面図では、地層の食違いがなく、連続して分布することから、敷地において、地層と斜交し、破碎を伴う断層は認められない。

なお、背斜軸より北の一部では、過褶曲を示す構造（以下「過褶曲部」という。）が確認される。過褶曲部の法面写真及びスケッチを第 3.4-4 図に示す。法面観察の結果、過褶曲部の下位の地層が深部ほど緩やかな傾斜を示し、深部まで続く断層は認められることから、過褶曲部は断層運動に起因する構造ではないと評価した。

3.4.2.4 地表からの弾性波探査

地表弾性波探査の結果では、地表弾性波探査の精度において検出できるような断層を示す低速度帯は存在しない。

また、オフセット V S P 探査及び反射法探査の結果では、東西方向の反射面は地下深部までほぼ水平に連続しており、断層を示す特異な構造及び低速度域は認められない。

3.4.2.5 耐震重要施設及び常設重大事故等対処施設設置位置付近の地質・地質構造

(1) 耐震重要施設及び常設重大事故等対処施設設置位置付近の地質

耐震重要度分類 S クラスの機器及び系統を支持する建物・構築物（以下「耐震重要施設」という。）並びに常設耐震重要重大事故防止設備又は常設重大事故緩和設備が設置される重大事故等対処施設（以下「常設重大事故等対処施設」という。）付近の地質について、地質調査結果に基づき検討した。

原子炉建物について、基礎地盤の原縮尺 500 分の 1 の地質水平断面図を第 3.4-5 図に、基礎地盤及び周辺斜面の地質鉛直断面図を第 3.4-6 図に示す。また、ガスタービン発電機建物について、基礎地盤の底面スケッチを第 3.4-7 図に、基礎地盤及び周辺斜面の地質鉛直断面図を第 3.4-8 図に、緊急時対策所について、基礎地盤の底面スケッチを第 3.4-9 図に、基礎地盤及び周辺斜面の地質鉛直断面図を第 3.4-10 図に、防波壁基礎地盤の地質鉛直断面図を第 3.4-11 図に、地質柱状図を第 3.4-12 図に、試掘坑地質展開図を第 3.4-13 図に示す。

原子炉建物基礎地盤及び周辺斜面、並びにガスタービン発電機建物、緊急時対策所及び防波壁の基礎地盤及び周辺斜面には、成相寺層のうち、下部頁岩部層、火碎岩部層及び上部頁岩部層、並びに貫入岩類が分布する。

成相寺層は黒色頁岩、凝灰質頁岩、凝灰岩及び凝灰角礫岩から構成さ

れ、このうち黒色頁岩が最も広く分布する。貫入岩類はドレライトと安山岩に区分される。

黒色頁岩は堅硬・緻密な岩石で、凝灰質頁岩の薄層をしばしば挟在する。葉理に沿って剥離性を示すことがある。

凝灰質頁岩は暗灰色～淡灰色を呈する堅硬・緻密な岩石である。平行葉理が発達し、部分的に剥離性を示すことがある。黒色頁岩とは漸移する場合も多い。

凝灰岩は上方細粒化の級化層理を示すことが多く、上部は凝灰質頁岩に漸移することが多い。一部に平行葉理が弱く発達する。

凝灰角礫岩は安山岩質～流紋岩質の礫を主体とする。一般に上方細粒化の級化層理を示す。一部で基質が泥質となり、黒色頁岩礫を混入する場合がある。

ドレライトは暗緑色～灰緑色の塊状岩で、 ϕ 1 mm～2 mm程度の斜長石、輝石を斑晶とする粒子のやや粗いものと、細粒緻密な岩相を示すものが存在し、後者には方解石脈が多数存在する特徴がある。

安山岩は暗青灰色～緑灰色の塊状岩で、 ϕ 2 mm程度の斜長石と微小な輝石が斑晶として認められる緻密な岩石である。方解石が脈状に、あるいは円形～橢円形の空隙を充填して分布することが多い。周辺の岩盤との境界には急冷縁が見られ、周辺の岩盤は珪化変質を受けていることが多い。

(2) 耐震重要施設及び常設重大事故等対処施設設置位置付近の地質構造

a. 成相寺層の構造

原子炉建物基礎地盤における成相寺層の走向はN 70°～75° W、傾斜は25°～35° Nで、単斜構造を成している。

耐震重要施設及び常設重大事故等対処施設の基礎地盤は、全体的に堅硬な岩盤である。地質断面図では、鍵層となる凝灰岩等が連続して分布し、地層の食違いがないことから、敷地には、地層と斜交し、破碎を伴う断層は認められない。

また、耐震重要施設及び常設重大事故等対処施設の直下には、支持地盤を切る地滑り面は認められない。

b . シーム

(a) シームの分布

試掘坑調査及びボーリング調査の結果、敷地には、第3.4-2表に示すとおり、粘土分を含み、平板状あるいは平面状の形態を持ち、この面に沿って変位している可能性があり、地層と平行な断層であるシームが認められる。

耐震重要施設及び常設重大事故等対処施設の直下に分布するシームを第3.4-14図に示す。原子炉建物について、基礎地盤におけるシーム分布水平断面図を第3.4-15図に、基礎地盤及び周辺斜面におけるシーム分布鉛直断面図を第3.4-16図に示す。ガスタービン発電機建物基礎地盤及び周辺斜面におけるシーム分布を第3.4-17図に、緊急時対策所基礎地盤及び周辺斜面におけるシーム分布を第3.4-18図に、防波壁基礎地盤におけるシーム分布を第3.4-19図に示す。

敷地には、地層と平行な断層であるシームが認められること、耐震重要施設及び常設重大事故等対処施設の直下にも複数のシームが認められることから、シームを対象に活動性評価を行い、「将来活動する可能性のある断層等」に該当するかを評価する。

(b) シームの性状

敷地に分布するシームは、概ね3cm以下の層厚である、地層を切ることなく層理と調和的に分布する、母岩との境界が明瞭である、断層破碎帯に見られるような角礫化帶は認められない、色調等から推定されるシームの原岩は概ね凝灰岩及び凝灰質頁岩から成る、といった共通の形態的特徴を有する。

シームの構成鉱物を把握するために、第3.4-20図に示す原子炉設置位置付近（2号及び3号炉）においてボーリングを実施し、ボ

ーリングコアから採取したシームについて、X線回折分析を行った。シームのX線回折分析結果を第3.4-3表に示す。

シームは、変質鉱物であるイライト／スメクタイト混合層鉱物及び初生鉱物である石英、斜長石等より構成されており、いずれのシームも概ね同様の鉱物で構成される。

(c) 応力場及びシームの形成に関連するずれの方向に着目した活動性評価

文献調査の結果、^{きんいん}山陰地域における南北圧縮応力場での褶曲運動の完了時期は、新第三紀中新世末期であるとされている。

また、文献調査及び初期地圧測定の結果、島根原子力発電所における現在の応力場は、概ね東西圧縮である。

原子炉設置位置付近（3号炉）の試掘坑内に露出するシーム及び第3.4-20図に示す原子炉設置位置付近（2号及び3号炉）において実施したボーリングのコアで確認されたシームについて、条線観察を行った。シームの条線の方向を第3.4-21図及び第3.4-22図に示す。条線の方向はいずれも南北方向を示す。

以上のことから、敷地に分布するシームは、新第三紀中新世と考えられる南北圧縮応力場において、褶曲運動に伴う層面すべりにより形成され、後期更新世以降に活動していないと評価した。

(d) 鉱物脈との接觸関係に着目した活動性評価

データの豊富な3号炉のボーリング調査により整理したシームの確認箇所数を第3.4-23図に、B23シーム層準に到達したボーリングにおけるB23シームの有無を第3.4-24図に示す。

敷地に分布するシームはいずれも同様の成因（南北圧縮応力場に伴う褶曲運動）で形成されたこと、3号炉調査においてB1～B29シームのうち、B23シームが最も多く確認されており、最も連続性が高いシームであること、B23シームは出現率が高く、敷地において平面的な広がりをもって分布していることを踏まえ、B23シーム

を対象に活動性評価を実施した。

第 3.4-20 図に示す原子炉設置位置付近（2 号及び 3 号炉）において実施したボーリングのコアから、B 23 シームの試料を採取して薄片試料を作製し、偏光顕微鏡による観察を行った。薄片観察結果を第 3.4-25 図に示す。シームには、せん断面を横断するように濁沸石及び方解石が晶出しており、変位・変形を受けていない。

シーム内で確認された濁沸石及び方解石は、脈状に晶出しており、前述の X 線回折分析の結果において、周辺母岩よりシーム内の方が相対的に多く検出されていることから、熱水変質作用により晶出したと評価した。

これらの鉱物の生成環境を推定するため、生成温度に関する文献調査を行った。

濁沸石の生成温度は、歌田（1997）⁽⁸²⁾、吉村（2003）⁽⁸³⁾等によるところ、100°C以上とされており、現在の地温（B 23 シームの薄片試料を採取した E L. 約 -20m で約 10°C）と比較して高温であることから、火成活動に伴う熱水変質作用により生成されたと評価した。

一方、方解石は、現在の地温においても生成し得ることから、第 3.4-26 図に示す原子炉設置位置付近（2 号及び 3 号炉）において実施したボーリングのコアから試料を採取し、流体包有物試験及び酸素同位体試験を行った。試験結果を第 3.4-27 図に示す。方解石の生成温度は約 60°C～約 210°Cであり、現在の地温と比較して高温であることから、火成活動に伴う熱水変質作用により生成されたと評価した。

また、濁沸石及び方解石の生年年代の推定のため、敷地周辺の火成活動について検討を行った。敷地周辺の貫入岩類の分布について、鹿野・吉田（1985）によると、塩基性一中性の岩脈、岩床、あるいはラコリス様岩体が多数認められ、大規模岩体が母岩に熱変成を与えたとされている。また、鹿野ほか（1994）によると、塩基性一中

性の貫入岩類の形成年代は中期中新世～後期中新世であるとされている。また、ボーリングにより深部に分布するドレライト等を採取し、薄片観察を行った結果、ざくろ石、ぶどう石等の高温で生成される鉱物が確認されていることから、これらの鉱物は、中期中新世～後期中新世の一連の火成活動に伴う熱水変質鉱物であると評価した。

以上のことから、シームで確認された濁沸石及び方解石は、中期中新世～後期中新世の火成活動により生成したと考えられ、これらがシーム内のせん断面を横断しており、変位・変形を受けていないため、B23シームは後期更新世以降に活動していないと評価した。

(e) シームの活動性のまとめ

応力場、シームの形成に関連したずれの方向及び鉱物脈との接觸関係に着目し、シームの活動性を総合的に検討した結果、敷地に分布するシームは後期更新世以降に活動していないことから、「将来活動する可能性のある断層等」には該当しないと評価した。

c. 敷地の地質・地質構造のまとめ

敷地には地層と斜交し、破碎を伴う断層が認められないこと、及び敷地に分布するシームは後期更新世以降に活動していないことから、敷地には震源として考慮する活断層は認められない。

また、敷地には地層と斜交し、破碎を伴う断層は認められないこと、耐震重要施設及び常設重大事故等対処施設直下には支持地盤を切る地滑り面は認められないこと、及び敷地に分布するシームは後期更新世以降に活動していないことから、耐震重要施設及び常設重大事故等対処施設直下には「将来活動する可能性のある断層等」はないと評価した。

3.5 原子炉設置位置付近の地盤

3.5.1 調査内容

原子炉設置位置付近において、ボーリング調査、試掘坑調査、岩石試験、岩盤試験等を実施した。

本地点の地盤は、**社団法人日本電気協会「原子力発電所耐震設計技術指針」**（JEAG4601－1987）の岩盤分類法において硬岩に分類されるため、岩盤分類は、電研式岩盤分類を基本とし、岩種毎にC_H級、C_M級、C_L級及びD級の4段階とした。

3.5.1.1 ボーリング調査

原子炉設置位置付近における岩石試験供試体の採取及びボーリング孔を利用しての原位置試験を実施するために、炉心部及び原子炉建物周辺斜面を中心としてボーリング調査を実施した。

原子炉設置位置付近で実施したボーリングは、第3.4-1図に示すとおりである。

掘削孔径は56mm～86mmでロータリ型ボーリングマシンを使用し、オールコア・ボーリングで実施した。

3.5.1.2 試掘坑調査

原子炉建物基礎地盤及び周辺斜面において岩盤試験を実施し、工学的性質を把握する目的で、試掘坑による調査を行った。

原子炉建物基礎地盤の試掘坑を第3.5-1図に示す。

3.5.1.3 岩石試験

構造物の設計と施工上の基礎資料を得るために、基礎地盤をなす岩石の物理・力学試験を行った。試料は第3.5-2図に示したボーリング孔及び試掘坑内から採取した。試験項目は密度、吸水率、間隙率等の物理試験及び自然状態での一軸圧縮試験、引張試験（圧裂試験）、三軸圧縮試験等の力

学試験である。試掘坑内より採取した試料の力学試験については、層理に直角及び平行方向の試験を行った。

3.5.1.4 岩盤試験

原子炉建物基礎地盤としての適性を確認し、併せて設計、施工上の資料を得るため、試掘坑内において、坑内弾性波試験、平板載荷試験、ブロックせん断試験等を実施した。

また、原子炉建物西側切取斜面の試掘坑内において、平板載荷試験及びブロックせん断試験を実施した。

(1) 坑内弾性波試験

耐震設計に必要な原子炉建物基礎地盤の動的性質を求めるため、第3.5-3 図に示す試掘坑内で弾性波試験を行った。

測線長は約 230m とし、その測線上に約 3 m 間隔で受振点を設け、発破及び板叩き法によって発振した。

各受振点の記録から走時曲線を描き、これを解析し P 波と S 波の伝播速度を求め、動弾性係数、動的ポアソン比を算出した。

(2) 平板載荷試験

原子炉建物基礎地盤及び西側切取斜面を構成する岩盤の支持性能及び変形特性を把握するため、平板載荷試験を実施した。試験は水浸状態で行い、岩種別に第 3.5-4 図に示す位置で実施した。試験方法は、第3.5-5 図に、載荷パターンを第 3.5-6 図に示す。荷重は段階的に増減させ、各荷重段階に対応する載荷板の変位量を計測した。

変位量の計測は 1 / 100mm 読み変位計を 4 個設置し、4 個の計測平均値から求めた。

載荷方向については、鉛直、水平及び層理に直角、平行の 4 方向について実施した。

また、鉛直載荷位置において、クリープ試験を実施した。

(3) ブロックせん断試験

原子炉建物基礎地盤及び西側切取斜面を構成する岩盤のせん断特性を把握するため、岩種別にブロックせん断試験を実施した。

ブロックせん断試験位置を第 3.5-7 図に示す。試験は水浸状態で、層理に流れ目及び差し目方向で行い、ブロックごとに垂直荷重を変えて、垂直応力とせん断応力の関係を求め、この関係からせん断強度及び内部摩擦角を求めた。

ブロックの変位は、ブロック面に設置した変位計により測定した。

ブロックせん断試験装置の概略を第 3.5-8 図に、変位計設置位置を第 3.5-9 図に、せん断載荷パターンを第 3.5-10 図に示す。

(4) 孔内載荷試験

原子炉建物基礎地盤の深さ方向の変形特性を把握するため、ボーリング孔 (No. 306, 308, 309, 310, 312, 313, 315, 316) を利用して孔内載荷試験を行い、変形係数及び弾性係数を算出した。試験装置の概略を第 3.5-11 図に、載荷パターンを第 3.5-12 図に示す。

(5) 岩盤物性の場所的変化、異方性等に関する調査

原子炉建物基礎地盤における地盤物性の場所的変化等を把握するため、試掘坑内において扇射法による坑間弾性波試験及びシュミット・ロック・ハンマの反発度測定を実施した。

扇射法による坑間弾性波試験は、試掘坑内で約 3m 間隔に受振点を設け、弾性波試験を実施した。測定範囲を第 3.5-13 図に示す。

シュミット・ロック・ハンマの反発度測定は、原子炉建物基礎地盤の試掘坑全長について両壁で約 1m 間隔で行った。

(6) 透水試験

原子炉建物基礎地盤の透水性を把握するため、第 3.5-2 図に示すボーリング孔において透水試験を実施した。試験区間は 10m とし、ボーリング孔を 10m 堀削するごとに、区間上部にパッカをかけ、加圧孔井法を行い、透水係数を算出した。

3.5.1.5 シームほかの物性試験

シーム、D級岩盤、埋戻土、盛土、埋戻土（購入土）、旧表土等の物理的・力学的性質を明らかにし、構造物の設計及び施工の基礎資料を得るため、物理試験、力学試験等を実施した。

試料の採取位置及び試験位置を第3.5-14図に示す。

(1) 物理試験

シーム、D級岩盤、埋戻土、盛土、埋戻土（購入土）及び旧表土の物理特性を把握するため、**社団法人地盤工学会「土質試験の方法と解説」**に準拠し、物理試験を実施した。

(2) 静的単純せん断試験

試験は、シームの強度特性及び静的変形特性を把握するため、単純せん断試験装置を用いて実施した。

供試体は、直径50mm、高さ20mmの円板形で、垂直荷重を4種類とし、それぞれひずみ速度を0.1%/minでせん断力を加えて試験を実施した。試験装置の概略を第3.5-15図に示す。

(3) 動的単純せん断試験

試験は、シームの動的変形特性を把握するため、動的単純せん断試験装置を用いて実施した。

供試体は、直径50mm、高さ20mmの円板形で、垂直荷重を4種類とし、それぞれ周波数1Hzの正弦波の動的せん断力を供試体に加えて試験を実施した。試験装置の概略を第3.5-15図に示す。

(4) 中型三軸圧縮試験

試験は、D級岩盤の強度特性及び静的変形特性を把握するため、静的三軸圧縮試験装置を用いて、供試体を所定の側圧で等方圧密後、非排水状態で段階的に軸荷重を増加させて実施した。

D級岩盤（凝灰岩）の供試体は直径100mm、高さ200mm、D級岩盤（凝灰質頁岩）の供試体は直径50mm、高さ100mm、D級岩盤（安山岩）の供試体は直径100mm、高さ200mmの円柱形とした。

(5) 動的中型三軸圧縮試験

試験は、D級岩盤の動的変形特性を把握するため、動的三軸試験装置を用いて、供試体を所定の側圧で等方圧密後、非排水状態において載荷周波数1Hzで段階的に軸荷重を増加させて実施した。

供試体は、D級岩盤（凝灰岩）を直径100mm、高さ200mm、D級岩盤（凝灰質頁岩）を直径50mm、高さ100mm、D級岩盤（安山岩）を直径100mm、高さ200mmの円柱形とした。

(6) 大型三軸圧縮試験

試験は、埋戻土、盛土の強度特性及び静的変形特性を把握するため、大型三軸圧縮試験装置を用いて、供試体を所定の側圧で等方圧密後、非排水状態で段階的に軸荷重を増加させて実施した。

供試体は、直径300mm、高さ600mmの円柱形とした。

(7) 動的大型三軸圧縮試験

試験は、埋戻土、盛土の動的変形特性を把握するため、大型三軸圧縮試験装置を用いて、供試体を所定の側圧で等方圧密後、非排水状態で、載荷周波数0.1Hzで繰返し載荷させることで実施した。

供試体は、直径300mm、高さ600mmの円柱形とした。

(8) 三軸圧縮試験

試験は、埋戻土（購入土）及び旧表土の強度特性及び静的変形特性を把握するため、三軸圧縮試験装置を用いて、供試体を所定の側圧で等方圧密後、非排水状態で段階的に軸荷重を増加させて実施した。

供試体は、埋戻土（購入土）を直径50mm、高さ100mm、旧表土を直径75mm、高さ150mmの円柱形とした。

(9) 繰返し中空ねじりせん断試験

試験は、埋戻土（購入土）の動的変形特性を把握するため、繰返し中空ねじりせん断試験装置を用いて、供試体を所定の側圧で等方圧密後、非排水状態で、載荷周波数1Hzで繰返し載荷させることで実施した。

供試体は、外形70mm、内径30mm、高さ70mmの中空円筒形とした。

(10) 動的三軸圧縮試験

試験は、旧表土の動的変形特性を把握するため、動的三軸試験装置を用いて、供試体を所定の側圧で等方圧密後、非排水状態において載荷周波数 1 Hz で繰返し載荷させることで実施した。

供試体は、直径 75mm、高さ 150mm の円柱形とした。

(11) P S 検層

防波壁（逆 T擁壁）の基礎地盤となる改良地盤（薬液注入工法）の強度特性及び変形特性を把握するため、P S 検層を実施した。

3.5.2 調査結果

3.5.2.1 岩盤分類

原子炉建物基礎地盤及び周辺斜面の水平岩盤分類図を第 3.5-16 図に、鉛直岩盤分類図を第 3.5-17 図に示す。

これらによると、原子炉建物基礎地盤には部分的に C_L 級の岩盤が存在するものの、その範囲は限られており、大部分が C_H 級、C_M 級の岩盤であり、原子炉建物基礎地盤として安定したものである。

また、原子炉建物西側切取斜面は、大部分が C_M 級以上の岩盤であり、表層は風化した C_L 級、D 級の岩盤が分布している。

3.5.2.2 岩石の強度及び変形特性

ボーリングコア、試掘坑等から採取した各岩種・岩級毎の試料による自然状態の岩石試験結果を以下に示す。

(1) 一般物理特性

原子炉建物基礎地盤、西側切取斜面及び南側盛土斜面から採取した供試体による一般物理特性に係る試験結果を第 3.5-1 表に示す。

原子炉建物基礎地盤から採取した供試体による平均値を以下に示す。

密 度	平均	2.54g/cm^3
真比重	平均	2.72
吸水率	平均	2.72%
間隙率	平均	6.01%

(2) 変形特性

原子炉建物基礎地盤及び西側切取斜面から採取した供試体による変形特性に係る試験結果を第 3.5-1 表に示す。

原子炉建物基礎地盤から採取した岩石の超音波速度試験から求めた動弾性係数は、平均 $31.87 \times 10^3 \text{N/mm}^2$ ($3.25 \times 10^5 \text{kg/cm}^2$)、動的ポアソン比は平均 0.34 である。

(3) 強度特性

a. 一軸圧縮強度

原子炉建物基礎地盤及び西側切取斜面から採取した供試体による一軸圧縮強度試験結果を第 3.5-1 表に示す。

原子炉建物基礎地盤から採取した岩石 79 個の供試体による一軸圧縮強度は、平均 82.47N/mm^2 (841kg/cm^2) である。

b. 引張強度（圧裂試験）

原子炉建物基礎地盤及び西側切取斜面から採取した供試体による引張強度試験結果を第 3.5-1 表に示す。

原子炉建物基礎地盤から採取した岩石 81 個の供試体から圧裂試験法により求めた引張強度は、平均 8.69N/mm^2 (88.6kg/cm^2) である。

c. 三軸圧縮強度

原子炉建物基礎地盤から採取した供試体による三軸圧縮強度試験結果を第 3.5-2 表に示す。

原子炉建物基礎地盤から採取した供試体の側圧については、 4.90N/mm^2 (50kg/cm^2) から 39.23N/mm^2 (400kg/cm^2) まで設定した。試験結果は第 3.5-2 表に示すとおりである。第 3.5-18 図

に示すように試験結果から岩石のせん断強度特性を求めるとき、次の式で表わされる。

$$\tau_r = 8.83 + \sigma \tan 52^\circ \quad (\tau_r = 90 + \sigma \tan 52^\circ) \quad (\text{凝灰岩})$$

$$\tau_r = 10.10 + \sigma \tan 57^\circ \quad (\tau_r = 103 + \sigma \tan 57^\circ) \quad (\text{頁岩})$$

$$\tau_r = 19.12 + \sigma \tan 52^\circ \quad (\tau_r = 195 + \sigma \tan 52^\circ) \quad (\text{ドレライト})$$

τ_r : せん断抵抗 N/mm² (kg/cm²)

σ : 垂直応力 N/mm² (kg/cm²)

3.5.2.3 岩盤試験結果

試掘坑内で実施した岩盤試験の結果を以下に示す。

(1) 坑内弾性波試験

原子炉建物基礎地盤の試掘坑内で実施した弾性波試験により得られた弾性波速度を第 3.5-19 図に示す。各測線の加重平均を求めるとき P 波は 3.63km/s, S 波は 1.64km/s である。これより、動弾性係数は $18.73 \times 10^3 \text{ N/mm}^2$ ($19.1 \times 10^4 \text{ kg/cm}^2$), 剛性率は $6.84 \times 10^3 \text{ N/mm}^2$ ($6.97 \times 10^4 \text{ kg/cm}^2$), 動的ポアソン比は 0.37 となる。

(2) 平板載荷試験

原子炉建物基礎地盤及び西側切取斜面の試掘坑内で実施した平板載荷試験の結果を第 3.5-3 表に示す。また、荷重-変位量曲線の代表例を第 3.5-20 図に示す。

原子炉建物基礎地盤の平板載荷試験結果から鉛直載荷荷重時の C_H 級の岩盤、C_M 級の岩盤の変形係数は $1.10 \times 10^3 \text{ N/mm}^2 \sim 8.35 \times 10^3 \text{ N/mm}^2$ ($1.12 \times 10^4 \text{ kg/cm}^2 \sim 8.51 \times 10^4 \text{ kg/cm}^2$), 割線弾性係数は $2.45 \times 10^3 \text{ N/mm}^2 \sim 15.92 \times 10^3 \text{ N/mm}^2$ ($2.50 \times 10^4 \text{ kg/cm}^2 \sim 16.23 \times 10^4 \text{ kg/cm}^2$) (応力範囲 0 N/mm² ~ 0.98N/mm² (0 kg/cm² ~ 10kg/cm²)) となっている。また、9.81N/mm² (100kg/cm²) 以上の載荷荷重においても降伏点には至らなかつた。

(3) ブロックせん断試験

原子炉建物基礎地盤及び西側切取斜面の試掘坑内で実施したブロックせん断試験の結果を第3.5-4表、第3.5-21図に示す。

原子炉建物基礎地盤のブロックせん断試験結果から岩盤のせん断強度特性を求めるとき次の式で表わされる。

$$\tau_R = 1.76 + \sigma \tan 55.0^\circ \quad (\tau_R = 17.9 + \sigma \tan 55.0^\circ)$$

(凝灰岩 C_H級流れ目方向)

$$\tau_R = 1.14 + \sigma \tan 53.9^\circ \quad (\tau_R = 11.6 + \sigma \tan 53.9^\circ)$$

(黒色頁岩 C_H級流れ目方向)

$$\tau_R = 1.54 + \sigma \tan 62.5^\circ \quad (\tau_R = 15.7 + \sigma \tan 62.5^\circ)$$

(凝灰角礫岩 C_H級流れ目方向)

$$\tau_R = 0.92 + \sigma \tan 54.4^\circ \quad (\tau_R = 9.4 + \sigma \tan 54.4^\circ)$$

(黒色頁岩 C_M級流れ目方向)

$$\tau_R = 1.26 + \sigma \tan 57.2^\circ \quad (\tau_R = 12.8 + \sigma \tan 57.2^\circ)$$

(黒色頁岩 C_M級差し目方向)

$$\tau_R = 0.59 + \sigma \tan 37.9^\circ \quad (\tau_R = 6.0 + \sigma \tan 37.9^\circ)$$

(凝灰岩 C_L級流れ目方向)

$$\tau_R = 0.54 + \sigma \tan 55.5^\circ \quad (\tau_R = 5.5 + \sigma \tan 55.5^\circ)$$

(凝灰岩 C_L級差し目方向)

τ_R : せん断抵抗 N/mm² (kg/cm²)

σ : 垂直応力 N/mm² (kg/cm²)

(4) 孔内載荷試験

原子炉建物基礎地盤において実施したボーリング孔内載荷試験結果を第3.5-5表に示す。

(5) 岩盤物性の場所的変化、異方性等

試掘坑内で実施したシュミット・ロック・ハンマの反発度測定結果によると、各岩級C_H級、C_M級及びC_L級ごとに算出した反発度の変動係数は比較的小さい。測定結果を第3.5-6表に示す。

試掘坑内で実施した扇射法による坑間弾性波試験の結果を第3.5-22図に示す。試験結果によると、原子炉建物基礎地盤の坑間弾性波平均速度はP波3.7km/sであり、方向による顕著な差異は認められない。

また、層理に平行、直角で行った岩石試験結果(第3.5-1表)、並びに鉛直、水平及び層理に平行、直角で行った平板載荷試験結果(第3.5-23図)の諸物性値には方向による差異は認められないことから、岩盤の物性値には問題となる異方性はないと評価した。

(6) 透水試験

透水試験の結果を第3.5-24図に示す。試験結果によると、透水係数が 10^{-3} cm/s以下であることから、原子炉建物基礎地盤は透水性の低い岩盤である。

3.5.2.4 シームほかの物性試験結果

(1) 一般物理特性

物理試験により得られた密度の平均値は、D級岩盤が 2.28g/cm^3 、埋戻土、盛土が 2.11g/cm^3 、埋戻土(購入土)が 2.01g/cm^3 、旧表土が 2.00g/cm^3 である。また、シームの物理試験の結果を第3.5-7表に示す。

(2) 静的単純せん断試験

静的単純せん断試験の結果を第3.5-25図に示す。

シームのせん断応力 τ と垂直応力 σ との関係は次式で示される。

$$\tau = 0.19 + \sigma \tan 18^\circ \quad (\text{N/mm}^2)$$

また、シームのせん断弾性係数 G と垂直応力 σ との関係は次式で示される。

$$G = 44 \sigma^{0.34} \quad (\text{N/mm}^2)$$

(3) 動的単純せん断試験

動的単純せん断試験の結果を第3.5-26図に示す。

シームの初期せん断弾性係数 G_0 と垂直応力 σ との関係、動せん断弾性係数比 G/G_0 とせん断ひずみ γ との関係及び減衰係数 h とせん断ひずみ γ との関係は次式で示される。

$$G_0 = 225 \sigma^{0.31} \quad (\text{N/mm}^2)$$

$$G/G_0 = 1/\left(1 + (\gamma/0.00149)^{0.849}\right)$$

$$h = \gamma/\left(2.14\gamma + 0.017\right) + 0.031$$

(4) 中型三軸圧縮試験

中型三軸圧縮試験の結果を第 3.5-27 図に示す。

D 級岩盤のせん断応力 τ と垂直応力 σ との関係は次式で示される。

$$\text{D 級岩盤 (凝灰岩)} : \tau = 0.11 + \sigma \tan 6^\circ \quad (\text{N/mm}^2)$$

$$\text{D 級岩盤 (凝灰質頁岩)} : \tau = 0.53 + \sigma \tan 9^\circ \quad (\text{N/mm}^2)$$

$$\text{D 級岩盤 (安山岩)} : \tau = 0.51 + \sigma \tan 33^\circ \quad (\text{N/mm}^2)$$

また、中型三軸圧縮試験で得られた静弾性係数 E と垂直応力 σ との関係は次式で示される。

$$\text{D 級岩盤 (凝灰岩)} : E_0 = 141 \sigma^{0.39} \quad (\text{N/mm}^2)$$

$$\text{D 級岩盤 (凝灰質頁岩)} : E_{50} = 206 \sigma^{0.28} \quad (\text{N/mm}^2)$$

$$\text{D 級岩盤 (安山岩)} : E_{50} = 256 \sigma^{0.48} \quad (\text{N/mm}^2)$$

(5) 動的中型三軸圧縮試験

動的中型三軸圧縮試験の結果を第 3.5-28 図に示す。

D 級岩盤の初期せん断弾性係数 G_0 と垂直応力 σ との関係、動せん断弾性係数比 G/G_0 とせん断ひずみ γ との関係及び減衰係数 h と動せん断弾性係数比 G/G_0 との関係は、それぞれ次式で示される。

D 級岩盤 (凝灰岩)

$$G_0 = 148 \sigma^{0.49} \quad (\text{N/mm}^2)$$

$$G/G_0 = 1/\left(1 + \gamma/0.00062\right)$$

$$h = 0.023 \quad (\gamma \leq 1 \times 10^{-4})$$

$$h = 0.023 + 0.071 \log (\gamma / 0.0001) \quad (\gamma > 1 \times 10^{-4})$$

D 級岩盤（凝灰質頁岩）

$$G_0 = 106 \sigma^{0.38} \text{ (N/mm}^2\text{)}$$

$$G/G_0 = 1 / (1 + (2(\gamma / 0.0014)(G/G_0))^{0.574})$$

$$h = 0.142 \times (1 - (G/G_0))$$

D 級岩盤（安山岩）

$$G_0 = 797 \sigma^{0.54} \text{ (N/mm}^2\text{)}$$

$$G/G_0 = 1 / (1 + (2(\gamma / 0.00035)(G/G_0))^{0.758})$$

$$h = 0.175 \times (1 - (G/G_0))$$

(6) 大型三軸圧縮試験

大型三軸圧縮試験結果を第 3.5-29 図に示す。

埋戻土、盛土のせん断応力 τ と垂直応力 σ との関係は次式で示される。

$$\tau = 0.22 + \sigma \tan 22^\circ \text{ (N/mm}^2\text{)}$$

また、埋戻土、盛土の静弾性係数 E と垂直応力 σ との関係は次式で示される。

$$E = 115 \sigma^{0.61} \text{ (N/mm}^2\text{)}$$

(7) 動的大型三軸圧縮試験

動的大型三軸圧縮試験の結果を第 3.5-30 図に示す。

埋戻土、盛土の初期せん断弾性係数 G_0 と垂直応力 σ との関係、動せん断弾性係数比 G/G_0 とせん断ひずみ γ との関係及び減衰係数 h とせん断ひずみ γ との関係は次式で示される。

$$G_0 = 749 \sigma^{0.66} \text{ (N/mm}^2\text{)}$$

$$G/G_0 = 1 / (1 + \gamma / 0.00027)$$

$$h = 0.0958 \gamma / (\gamma + 0.00020)$$

(8) 三軸圧縮試験

三軸圧縮試験の結果を第 3.5-31 図に示す。

埋戻土（購入土）及び旧表土のせん断応力 τ と垂直応力 σ との関

係は次式で示される。

$$\text{埋戻土（購入土）} : \tau = 0.04 + \sigma \tan 21^\circ \quad (\text{N/mm}^2)$$

$$\text{旧表土} : \tau = 0.03 + \sigma \tan 21^\circ \quad (\text{N/mm}^2)$$

また、埋戻土、盛土の静弾性係数Eと垂直応力 σ との関係は次式で示される。

$$\text{埋戻土（購入土）} : E = 227 \sigma^{0.75} \quad (\text{N/mm}^2)$$

$$\text{旧表土} : E = 37 \sigma^{0.79} \quad (\text{N/mm}^2)$$

(9) 繰返し中空ねじりせん断試験

繰返し中空ねじりせん断試験の結果を第3.5-32図に示す。

埋戻土（購入土）の初期せん断弾性係数 G_0 と垂直応力 σ との関係、動せん断弾性係数比 G/G_0 とせん断ひずみ γ との関係及び減衰係数 h とせん断ひずみ γ との関係は次式で示される。

$$G_0 = 275 \sigma^{0.61} \quad (\text{N/mm}^2)$$

$$G/G_0 = 1/\left(1 + \gamma/0.00048\right)$$

$$h = 0.2179 \gamma/\left(\gamma + 0.00085\right)$$

(10) 動的三軸圧縮試験

動的三軸圧縮試験の結果を第3.5-33図に示す。

旧表土の初期せん断弾性係数 G_0 と垂直応力 σ との関係、動せん断弾性係数比 G/G_0 とせん断ひずみ γ との関係及び減衰係数 h とせん断ひずみ γ との関係は次式で示される。

$$G_0 = 240 \sigma^{0.61} \quad (\text{N/mm}^2)$$

$$G/G_0 = 1/\left(1 + \gamma/0.0011\right)$$

$$h = 0.20 \gamma/\left(\gamma + 0.000413\right)$$

(11) P S 検層

防波壁（逆T擁壁）を支持する改良地盤（薬液注入工法）で実施したP S 検層の結果を第3.5-34図に示す。

P S 検層の結果、改良地盤（薬液注入工法）のP波速度及びS波速度は以下のとおりとなった。

$V_p = 1,060 \sim 1,690 \text{ m/s}$

$V_s = 400 \sim 610 \text{ m/s}$

3.6 耐震重要施設及び常設重大事故等対処施設付近の地盤の安定性評価

耐震重要施設及び常設重大事故等対処施設の基礎地盤及び周辺斜面の安定性について、「3.5 原子炉設置位置付近の地盤」に記載の地質調査、岩石試験、岩盤試験等の調査結果に基づく各種物性値を用いて検討した。

3.6.1 基礎地盤の安定性評価

3.6.1.1 地震力に対する基礎地盤の安定性評価

3.6.1.1.1 評価方針

耐震重要施設及び常設重大事故等対処施設は、直接又はMMR若しくは杭を介して、十分な支持性能を有する岩盤又は改良地盤に支持される設計方針とする。

また、液状化を考慮した場合においても、支持性能及び杭本体の構造が成立するように設計する方針とする。

なお、防波壁（逆T擁壁）の改良地盤（薬液注入工法）については、PS検層等の各種試験から物性値を設定し、必要な支持性能を有する地盤であることを確認する。また、所定の物性値が確保されていることを三軸圧縮試験等の室内試験及び原位置試験で確認し、施設の安全機能に影響を及ぼさないように設計する方針とする。

以上の設計方針を踏まえ、施設直下の基礎地盤である岩盤及び改良地盤のすべり、基礎地盤の支持力及び基礎底面の傾斜に対する評価を行う。基礎地盤のすべりについては、地下水位以深の埋戻土、盛土が地震動により繰返し軟化し、せん断強度が低下する可能性を考慮する。

3.6.1.1.2 評価手法

基礎地盤のすべり、支持力及び基礎底面の傾斜に関する安全性について、基準地震動Ssに対する二次元地震応答解析（以下「動的解析」という。）を行い検討した。

動的解析は、周波数応答解析手法を用い、D級岩盤、埋戻土、盛土、埋戻土（購入土）、旧表土、シーム及び改良地盤（薬液注入工法）について

ては、等価線形化法により動せん断弾性係数及び減衰定数のひずみ依存性を考慮した。なお、常時応力は、地盤の自重計算により求まる初期応力、基礎掘削に伴う解放力及び施設・埋戻土の荷重を考慮した有限要素法による二次元静的解析により求めた。

基礎地盤のすべりに対する安全性は、動的解析により求まる地震時増分応力と常時応力を重ね合わせた地震時応力を用い、想定すべり面におけるすべり安全率により評価した。すべり安全率は、想定したすべり面上の応力状態を基に、すべり面上のせん断抵抗力の和をすべり面上のせん断力の和で除して求めた。ただし、地下水位以深の埋戻土、盛土については、液状化の発生に伴い、地盤が応力を受け持たずに流動化し、地盤応力は限りなく小さくなると考えられることから、すべり面上のせん断力及びせん断抵抗力は考慮しない。

基礎地盤の支持力に対する安全性は、動的解析により求まる施設底面の地盤の地震時増分応力と常時の応力を重ね合わせた地震時の最大接地圧により評価した。

基礎底面の傾斜に対する安全性は、動的解析により求まる地震時の基礎底面両端の鉛直相対変位を基礎底面幅で除して求めた傾斜により評価した。

3.6.1.1.3 評価条件

(1) 代表施設の選定

本評価の対象施設である耐震重要施設及び常設重大事故等対処施設の配置図を第3.6-1図に示す。

基礎地盤の安定性評価を実施する代表施設を選定するため、評価対象施設を設置標高、施設区分及び基礎形式により四つのグループに分類した。評価対象施設の分類結果を第3.6-2図に示す。

次に第3.6-3図の評価フローに基づき、基礎地盤**安定性の影響要因**である岩級・地形等、施設直下のシームの分布、施設重量、杭底面幅、

埋戻土層等の厚さ及び杭の根入れ長を評価項目として各グループにおいて比較検討し、安定性評価が厳しくなると想定される施設を代表施設に選定した。影響要因の確認に用いた地質断面図を第3.6-4図に、影響要因等の比較検討結果を第3.6-1表に示す。

各グループの代表施設として、グループAから原子炉建物、グループBからガスタービン発電機建物、グループCから防波壁（多重鋼管杭式擁壁）、グループDから防波壁（逆T擁壁）をそれぞれ選定した。

(2) 評価対象断面の選定

代表施設に対する基礎地盤の安定性評価を行う評価対象断面を選定した。

代表施設の評価対象断面位置を第3.6-5図に示す。

原子炉建物の評価対象断面は、基礎地盤の岩級、地形、施設直下のシームの分布、施設重量等が同程度であることを踏まえ、①-①'断面及び②-②'断面を選定した。

ガスタービン発電機建物の評価対象断面は、シームの最急勾配方向であること、単位奥行当たりの施設重量が大きいこと、簡便法のすべり安全率が小さいこと等を踏まえ、③-③'断面を選定した。

防波壁（多重鋼管杭式擁壁）の評価対象断面は、施設直下にシームが分布していること、杭底面幅が小さいこと、埋戻土層等が厚いこと、根入れ長が短いこと、及び簡便法のすべり安全率が小さいことを踏まえ、④-④'断面を選定した。

防波壁（逆T擁壁）の評価対象断面は、改良地盤（薬液注入工法）直下にシームが分布していること、単位奥行当たりの施設重量が大きいこと、及び簡便法のすべり安全率が小さいことを踏まえ、⑤-⑤'断面を選定した。

(3) 解析用物性値の設定

敷地には、新第三紀中新世の堆積岩類からなる成相寺層と貫入岩類及びその上位の第四系が分布する。岩盤中には層理面に平行に薄い粘土層

(シーム) が分布する。また、人工的な地盤として埋戻土、地盤改良による改良地盤等が分布する。

解析用物性値は、岩石試験、岩盤試験、土質試験等から得られた各種物性値を基に設定した。解析用物性値の設定方法を第 3.6-2 表に、解析用物性値を第 3.6-3 表に示す。

(4) 解析モデル

有限要素解析モデルは、岩盤分類図を基に作成した。解析用要素分割図を第 3.6-6 図に示す。地盤は、平面ひずみ要素でモデル化し、要素高さは地盤の S 波速度を考慮して地震時の挙動を適切に表現可能な高さとした。また、シームは数 cm 程度以下と薄いことからジョイント要素でモデル化した。

原子炉建物及びガスタービン発電機建物の解析用建物モデルは、それぞれの質点系モデルを基にモデル化した。また、防波壁については線形の梁要素でモデル化した。地上の隣接構造物のうち、施設重量が相対的に大きい構造物については、地盤応答に影響を及ぼす可能性があることから、モデル化した。

また、埋戻土中の地中構造物は地盤応答に与える影響は軽微と考えられることから、施設としてモデル化しない。

原子炉建物①-①' 断面においては、2 号炉タービン建物をモデル化した。また、原子炉建物②-②' 断面においては、1, 2 号炉廃棄物処理建物及び 1 号炉原子炉建物をモデル化した。

ガスタービン発電機建物③-③' 断面、防波壁（多重鋼管杭式擁壁）④-④' 断面及び防波壁（逆 T 擁壁）⑤-⑤' 断面においては、代表施設の周囲に地盤応答に影響を及ぼす可能性のある隣接構造物は存在しない。

静的解析における境界条件は、モデル下端を固定境界、側方を鉛直一口一境界とした。また、動的解析における境界条件は、モデル下端を粘性境界、側方をエネルギー伝達境界とした。境界条件を

第 3.6-7 図に示す。

(5) 地下水位

動的解析における建物・構築物の地下水位の設定に当たっては、地下水位低下設備の機能に期待する建物・構築物の水位より保守的な建物基礎上面とし、地下水位低下設備の機能に期待しない建物・構築物及び周辺地盤の地下水位は地表面とする。

代表として原子炉建物基礎地盤の解析用地下水位を第 3.6-8 図に示す。

(6) 入力地震動

基準地震動 S_s を、一次元波動論に基づいて引戻して作成した。

水平方向及び鉛直方向の入力地震動をモデル下端から同時に入力した。

なお、基準地震動 S_s のうち応答スペクトルに基づく地震動については、水平地震動及び鉛直地震動の位相反転を、震源を特定せず策定する地震動については、水平地震動の位相反転を考慮した。

3.6.1.1.4 評価結果

(1) 基礎地盤のすべり

動的解析に基づく想定すべり面における最小すべり安全率を、第 3.6-4 表に示す。

原子炉建物基礎地盤における最小すべり安全率は①-①' 断面で 2.13, ②-②' 断面で 2.57 となり、評価基準値 1.5 を上回る。

ガスタービン発電機建物基礎地盤における最小すべり安全率は③-③' 断面で 1.64 となり、評価基準値 1.5 を上回る。

防波壁（多重鋼管杭式擁壁）基礎地盤における最小すべり安全率は④-④' 断面で 1.67 となり、評価基準値 1.5 を上回る。

防波壁（逆 T 拠壁）基礎地盤における最小すべり安全率は⑤-⑤' 断面で 1.88 となり、評価基準値 1.5 を上回る。

各断面すべり安全率が最小となるケースについて、地盤物性のうち強度のばらつき（平均値－ $1.0 \times$ 標準偏差（ σ ）強度）を考慮した場合においても、最小すべり安全率は評価基準値 1.5 を上回る。

以上のことから、基礎地盤は、地震力によるすべりに対して十分な安全性を有している。

(2) 基礎地盤の支持力

地震時の最大接地圧を、第 3.6-5 表に示す。

原子炉建物の地震時の最大接地圧は 2.19N/mm^2 である。一方、原子炉建物が設置される基礎地盤支持力の評価基準値は 9.8N/mm^2 以上であることから、地震時の最大接地圧は評価基準値を下回り、原子炉建物基礎地盤は十分な支持力を有している。

ガスタービン発電機建物の地震時の最大接地圧は 1.01N/mm^2 である。一方、ガスタービン発電機建物が設置される基礎地盤支持力の評価基準値は 3.9N/mm^2 以上であることから、地震時の最大接地圧は評価基準値を下回り、ガスタービン発電機建物基礎地盤は十分な支持力を有している。

防波壁（多重鋼管杭式擁壁）の地震時の最大接地圧は 2.39N/mm^2 である。一方、防波壁（多重鋼管杭式擁壁）が設置される基礎地盤支持力の評価基準値は 9.8N/mm^2 以上であることから、地震時の最大接地圧は評価基準値を下回り、防波壁（多重鋼管杭式擁壁）基礎地盤は十分な支持力を有している。

防波壁（逆 T 拥壁）の地震時の最大接地圧は 0.38N/mm^2 である。一方、防波壁（逆 T 拥壁）が設置される基礎地盤支持力の支持力式による評価基準値は 1.4N/mm^2 であることから、地震時の最大接地圧は評価基準値を下回り、防波壁（逆 T 拥壁）基礎地盤は十分な支持力を有している。

以上のことから、基礎地盤は十分な支持性能を有している。

(3) 基礎底面の傾斜

原子炉建物、ガスタービン発電機建物、防波壁（多重鋼管杭式擁壁）及び防波壁（逆 T 拥壁）それぞれの基礎底面両端において、地震時に最大

となる鉛直相対変位及び傾斜を第 3.6-6 表に示す。

原子炉建物基礎底面の両端において最大となる鉛直相対変位は 0.31cm であり、最大傾斜は、 $1/22,000$ となる。

ガスタービン発電機建物基礎底面の両端において最大となる鉛直相対変位は 0.17cm であり、最大傾斜は $1/28,000$ となる。

防波壁（多重鋼管杭式擁壁）基礎底面の両端において最大となる鉛直相対変位は 0.0056cm であり、最大傾斜は $1/39,000$ となる。

防波壁（逆 T 拠壁）基礎底面の両端において最大となる鉛直相対変位は 5.38cm であり、最大傾斜は $1/158$ となる。

原子炉建物、ガスタービン発電機建物及び防波壁（多重鋼管杭式擁壁）の最大傾斜については、いずれも評価基準値の目安である $1/2,000$ を下回ることから、施設の安全機能に影響を及ぼすものではない。

一方、防波壁（逆 T 拠壁）**の最大傾斜については**、評価基準値の目安である $1/2,000$ を上回るが、基礎底面の傾斜を考慮しても構造成立性が確保される見通しを得たことから、基礎地盤が施設の安全機能を損なうおそれがない地盤であると判断した。

3.6.1.2 周辺地盤の変状による重要施設への影響評価

耐震重要施設及び常設重大事故等対処施設は、直接又は MMR 若しくは杭を介して、**十分な支持力を有する**岩盤又は改良地盤に支持されることから、不等沈下及び搖すり込み沈下による影響を受けるおそれはない。

耐震重要施設及び常設重大事故等対処施設は、液状化及び搖すり込み沈下等の周辺地盤の変状を考慮した場合においても、施設の安全機能に影響を及ぼさないように設計する。

3.6.1.3 地殻変動による基礎地盤の変形の影響評価

地震発生に伴う地殻変動によって生じる基礎地盤の傾斜及び撓みの影響について検討した。

3.6.1.3.1 評価手法及び条件

敷地内には震源として考慮する活断層が分布していないことを確認していることから、敷地において地殻の広域的な変形による著しい地盤の傾斜が生じることはない。

敷地に比較的近く、[5.6.1 章](#)の基準地震動の策定において検討用地震に選定した宍道断層及び海域活断層（F-III断層 + F-IV断層 + F-V断層）の活動に伴い生じる地盤の傾斜について、多層モデルにより地盤の非一様性を考慮できる Wang et al. (2003)⁽⁸⁴⁾ の食い違い弾性論に基づく解析によって評価した。

各断層の断層パラメータを第 3.6-9 図に示す。

3.6.1.3.2 評価結果

原子炉建物、ガスタービン発電機建物、防波壁（多重鋼管杭式擁壁）及び防波壁（逆 T 拠壁）の評価結果を第 3.6-7 表に示す。

地殻変動による最大傾斜は、原子炉建物が 1/17,000、ガスタービン発電機建物が 1/15,000、防波壁（多重鋼管杭式擁壁）が 1/22,000、防波壁（逆 T 拠壁）が 1/17,000 である。また、地震動による傾斜との重畠を考慮した場合の最大傾斜は、原子炉建物が 1/9,000、ガスタービン発電機建物が 1/9,000、防波壁（多重鋼管杭式擁壁）が 1/14,000、防波壁（逆 T 拠壁）が 1/156 である。

原子炉建物、ガスタービン発電機建物及び防波壁（多重鋼管杭式擁壁）の最大傾斜については、いずれも評価基準値の目安である 1/2,000 を下回ることから、施設の安全機能に影響を及ぼすものではない。

一方、防波壁（逆 T 拠壁）の最大傾斜については、評価基準値の目安である 1/2,000 を上回るが、基礎底面の傾斜を考慮しても構造成立性が確保される見通しを得たことから、基礎地盤が施設の安全機能を損なうおそれがない地盤であると判断した。

3.6.2 周辺斜面の安定性評価

3.6.2.1 地震力に対する周辺斜面の安定性評価

3.6.2.1.1 評価方針

耐震重要施設及び常設重大事故等対処施設の周辺斜面のすべりに対する評価を行う。

周辺斜面のすべりについては、液状化範囲の埋戻土、盛土が地震動により繰返し軟化し、せん断強度が低下する可能性を考慮する。

3.6.2.1.2 評価手法

周辺斜面のすべりに関する安全性について、基準地震動 S s に対する動的解析を行い検討した。

動的解析は周波数応答解析手法を用い、D級岩盤、埋戻土、盛土、埋戻土（購入土）、旧表土及びシームについては等価線形化法により、動せん断弾性係数及び減衰定数のひずみ依存性を考慮した。なお、地盤の自重計算により求まる初期応力、基礎掘削に伴う解放力及び施設・埋戻土の荷重を考慮した有限要素法による二次元静的解析により求めた。

周辺斜面のすべりに対する安全性は、動的解析により求まる地震時増分応力と常時応力を重ね合わせた地震時応力を用い、想定すべり面におけるすべり安全率により評価した。すべり安全率は、想定したすべり面上の応力状態を基に、すべり面上のせん断抵抗力の和をすべり面上のせん断力の和で除して求めた。ただし、液状化範囲の埋戻土、盛土については、液状化の発生に伴い、地盤が応力を受け持たずに流動化し、地盤応力は限りなく小さくなると考えられることから、すべり面上のせん断力及びせん断抵抗力は考慮しない。

3.6.2.1.3 評価条件

(1) 耐震重要施設等に影響するおそれのある斜面の網羅的な抽出

耐震重要施設及び常設重大事故等対処施設と周辺斜面の離隔距離等

に基づき、耐震重要施設等に影響するおそれのある斜面を抽出した。離隔距離については、**社団法人日本電気協会「原子力発電所耐震設計技術指針」(JEAG4601-2015)** 及び「宅地防災マニュアルの解説⁽⁸⁵⁾」に基づいて、斜面法尻から対象施設までの離隔距離が、岩盤斜面では 50m 以内の斜面あるいは斜面高さの 1.4 倍以内の斜面、盛土斜面では 50m 以内の斜面あるいは斜面高さの 2.0 倍以内の斜面とした。

抽出した結果を第 3.6-10 図に示す。

(2) 液状化範囲の検討

評価対象斜面として抽出した 2 号炉南側盛土斜面のすべりについては、埋戻土、盛土が地震動により繰り返し軟化し、せん断強度が低下する可能性を考慮するため、液状化範囲を設定した。液状化範囲の検討に当たっては、第 3.6-11 図の液状化範囲の検討フローに基づき、二次元浸透流解析（定常解析）を実施し、液状化範囲の検討用地下水位を設定した。**二次元浸透流解析結果（検討用地下水位）**を第 3.6-12 図に示す。
二次元浸透流解析結果により設定した検討用地下水位を初期条件とした時刻歴非線形解析（有効応力解析）を実施し、過剰間隙水圧比が 0.95 を上回る範囲を液状化範囲とした。

2 号炉南側盛土斜面における液状化範囲の設定結果を第 3.6-13 図に示す。

(3) 評価対象斜面の選定

周辺斜面の安定性評価を実施する評価対象斜面は、地盤の種類（岩盤斜面、盛土斜面）及び法尻標高により**三つのグループ**に分類した。評価対象斜面の分類結果を第 3.6-14 図に示す。

次に第 3.6-15 図の評価フローに基づき、**斜面安定性の影響要因である**斜面を構成する岩級、斜面高さ、斜面勾配及びシームの分布の有無並びに簡便法のすべり安全率を評価項目として各グループにおいて比較検討し、安定性評価が厳しくなると想定される斜面を評価対象斜面に選定した。

評価対象斜面の選定に当っては、斜面高さが最も高くなり、最急勾配方向となるすべり方向に検討断面を設定した。自然斜面については、斜面高さ及び勾配に加え、風化帯が最も厚くなる尾根部を通るように検討断面を設定した。**影響要因の確認に用いた地質断面図を第 3.6-16 図に、影響要因等の比較検討結果を第 3.6-8 表に示す。**

各グループの評価対象斜面として、グループ A から 2 号炉南側切取斜面①-①' 断面、グループ B から 2 号炉南側盛土斜面⑥-⑥' 断面、グループ C からガスタービン発電機建物周辺斜面⑦-⑦' 断面をそれぞれ選定した。

2 号炉西側切取斜面②-②' 断面は、敷地造成工事に伴って頂部の切取を行ったことから、対策工の効果を確認するため、評価対象斜面に選定した。

また、防波壁（西端部）周辺斜面③-③' 断面は、調査の結果、礫質土・粘性土が確認されたため岩盤まで撤去することとしたことから、対策工の効果を確認するため、評価対象斜面に選定した。

評価対象斜面の断面位置を第 3.6-17 図に示す。

(4) 解析用物性値の設定

「3.6.1.1.3 (3) 解析用物性値の設定」の記載に同じ。

(5) 解析モデル

有限要素解析モデルは、岩盤分類図を基に作成した。解析用要素分割図を第 3.6-18 図に示す。

境界条件については、「3.6.1.1.3 (4) 解析モデル」の記載に同じ。

(6) 地下水位

動的解析における周辺斜面の地下水位の設定に当たっては、地下水位は地表面とする。

代表として 2 号炉南側切取斜面の解析用地下水位を第 3.6-19 図に示す。

(7) 入力地震動

「3.6.1.1.3 (6) 入力地震動」の記載に同じ。

3.6.2.1.4 評価結果

動的解析に基づく想定すべり面における最小すべり安全率を第 3.6-9 表に示す。

2号炉南側切取斜面における最小すべり安全率は①-①' 断面で 1.56 となり、評価基準値 1.2 を上回る。

2号炉西側切取斜面における最小すべり安全率は②-②' 断面で 5.89 となり、評価基準値 1.2 を上回る。

防波壁（西端部）周辺斜面における最小すべり安全率は③-③' 断面で 2.31 となり、評価基準値 1.2 を上回る。

2号炉南側盛土斜面における最小すべり安全率は⑥-⑥' 断面で 1.61 となり、評価基準値 1.2 を上回る。

ガスタービン発電機建物周辺斜面における最小すべり安全率は⑦-⑦' 断面で 2.07 となり、評価基準値 1.2 を上回る。

各断面ですべり安全率が最小となるケースについて、地盤物性のうち強度のばらつき（平均値- $1.0 \times$ 標準偏差（ σ ）強度）を考慮した場合においても、最小すべり安全率は評価基準値 1.2 を上回る。

以上のことから、周辺斜面は、地震力によるすべりに対して十分な安全性を有している。

3.8 参考文献

- (1) 鹿野和彦・吉田史郎 (1985) : 境港地域の地質, 地域地質研究報告 (5万分の1地質図幅), 地質調査所
- (2) 鹿野和彦・中野俊 (1985) : 美保関地域の地質, 地域地質研究報告 (5万分の1地質図幅), 地質調査所
- (3) 鹿野和彦・中野俊 (1986) : 恵曇地域の地質, 地域地質研究報告 (5万分の1地質図幅), 地質調査所
- (4) 鹿野和彦・竹内圭史・大嶋和雄・豊遙秋 (1989) : 大社地域の地質, 地域地質研究報告 (5万分の1地質図幅), 地質調査所
- (5) 鹿野和彦・竹内圭史・松浦浩久 (1991) : 今市地域の地質, 地域地質研究報告 (5万分の1地質図幅), 地質調査所
- (6) 鹿野和彦・山内靖喜・高安克己・松浦浩久・豊遙秋 (1994) : 松江地域の地質, 地域地質研究報告 (5万分の1地質図幅), 地質調査所
- (7) 坂本亨・山田直利 (1982) : 20万分の1地質図「松江及び大社」, 地質調査所
- (8) 鹿野和彦・松浦浩久・服部仁・山田直利・東元定雄 (1988) : 20万分の1地質図「浜田」, 地質調査所
- (9) 寺岡易司・松浦浩久・牧本博・吉田史郎 (1996) : 20万分の1地質図「高梁」, 地質調査所
- (10) 佃栄吉・寒川旭・水野清秀 (1985) : 50万分の1活構造図「岡山」, 地質調査所
- (11) 新編島根県地質図編集委員会 (1997) : 新編 島根県地質図 (20万分の1), 島根県
- (12) 活断層研究会編 (1980) : 日本の活断層－分布図と資料, 東京大学出版会
- (13) 活断層研究会編 (1991) : [新編] 日本の活断層－分布図と資料, 東京大学出版会
- (14) 今泉俊文・宮内崇裕・堤浩之・中田高編 (2018) : 活断層詳細デジタル

ルマップ[新編]，東京大学出版会

- (15) 三梨昂・徳岡隆夫編 (1988) : 中海・宍道湖－地形・底質・自然史アトラス，島根大学山陰地域研究総合センター
- (16) 徳岡隆夫・高安克己編 (1992) : 中海北部(本庄工区)アトラス，島根大学山陰地域研究総合センター
- (17) 本座栄一・玉木賢策・湯浅真人・村上文敏 (1979) : 日本海南部および対馬海峡周辺広域海底地質図(100万分の1)，海洋地質図，13号，地質調査所
- (18) 玉木賢策・本座栄一・湯浅真人・西村清和・村上文敏 (1981) : 日本海中部海域広域海底地質図(100万分の1)，海洋地質図，15号，地質調査所
- (19) 玉木賢策・湯浅真人・村上文敏 (1982) : 隠岐海峡海底地質図(20万分の1)，海洋地質図，20号，地質調査所
- (20) 山本博文・上嶋正人・岸本清行 (1989) : 鳥取沖海底地質図(20万分の1)及び同説明書，海洋地質図，35号，地質調査所
- (21) 脇田浩二・岡村行信・栗田泰夫 (1992) : 日本地質構造図1:300万，日本地質アトラス(第2版)，地質調査所編，朝倉書店
- (22) 海上保安庁水路部 (1976) : 大陸棚の海の基本図(20万分の1)，海底地質構造図「鳥取沖」
- (23) 海上保安庁水路部 (1978a) : 大陸棚の海の基本図(20万分の1)，海底地質構造図「隠岐海峡」
- (24) 海上保安庁水路部 (1978b) : 大陸棚の海の基本図(20万分の1)，海底地質構造図「日御崎沖」
- (25) 海上保安庁水路部 (1980) : 大陸棚の海の基本図(20万分の1)，海底地質構造図「島後堆」
- (26) 海上保安庁水路部 (1987) : 沿岸の海の基本図(5万分の1)，海底地形図・海底地質構造図及び調査報告「隠岐北部」
- (27) 海上保安庁水路部 (1990) : 沿岸の海の基本図(5万分の1)，海底地

形図・海底地質構造図及び調査報告「隱岐南部」

(28) 海上保安庁水路部 (1991a) : 沿岸の海の基本図（5万分の1）海底地

形図・海底地質構造図及び調査報告「赤碕」

(29) 海上保安庁水路部 (1991b) : 沿岸の海の基本図（5万分の1）海底地

形図・海底地質構造図及び調査報告「日御碕」

(30) 海上保安庁水路部 (1992a) : 沿岸の海の基本図（5万分の1）海底地

形図・海底地質構造図及び調査報告「美保関」

(31) 海上保安庁水路部 (1992b) : 沿岸の海の基本図（5万分の1）海底地

形図・海底地質構造図及び調査報告「鳥取」

(32) 海上保安庁水路部 (1993a) : 沿岸の海の基本図（5万分の1）海底地

形図・海底地質構造図及び調査報告「大社」

(33) 海上保安庁水路部 (1993b) : 沿岸の海の基本図（5万分の1）海底地

形図・海底地質構造図及び調査報告「余部埼」

(34) 海上保安庁水路部 (1995a) : 沿岸の海の基本図（5万分の1）海底地

形図・海底地質構造図及び調査報告「江津」

(35) 海上保安庁水路部 (1995b) : 沿岸の海の基本図（5万分の1）海底地

形図・海底地質構造図及び調査報告「須佐」

(36) 海上保安庁水路部 (1996) : 沿岸の海の基本図（5万分の1）海底地

形図・海底地質構造図及び調査報告「浜田」

(37) 徳山英一・本座栄一・木村政昭・倉本真一・芦寿一郎・岡村行信・荒

戸裕之・伊藤康人・徐垣・日野亮太・野原壯・阿部寛信・坂井眞一・向

山健二郎 (2001) : 日本周辺海域中新世最末期以降の構造発達史, 海洋調

査技術, 13, 1, (p. 27-53)

(38) 国土交通省・内閣府・文部科学省 (2014) : 日本海における大規模地

震に関する調査検討会報告書

(39) 文部科学省研究開発局・国立大学法人東京大学地震研究所 (2015) :

平成26年度日本海地震・津波調査プロジェクト成果報告書

(40) 地質調査総合センター編 (2013) : 日本重力データベースDVD版, 数値

地質図、(独)産業技術総合研究所地質調査総合センター

- (41) 気象庁地震カタログ：地震月報等（昭和56年～平成28年），気象庁
- (42) 島根県地質図説明書編集委員会(1985)：島根県の地質，島根県，(p. 121–140, p. 199–206)
- (43) Pineda-Velasco. I • Kitagawa. H • Nguyen. T.-T • Kobayashi. K • Nakamura. E (2018) : Production of High-Sr Andesite and Dacite Magmas by Melting of Subducting Oceanic Lithosphere at Propagating Slab Tears, Journal of Geophysical Research Solid Earth, Vol. 123, No. 5, (p. 3698–3728)
- (44) 町田洋・新井房夫 (2011) : 新編日本の火山灰アトラス，東京大学出版会
- (45) 沢田順弘・今井雅浩・三浦環・徳岡隆夫・板谷徹丸 (2006) : 島根県江島の更新世玄武岩と鳥取県弓ヶ浜砂州南東端栗島の中新生代流紋岩のK-Ar年代. 島根大学地球資源環境学研究報告, 第25巻, (p. 17–23)
- (46) 大西郁夫 (1979) : 出雲海岸平野の第四系, 島根大学理学部紀要, 13, (p. 131–144)
- (47) 多井義郎 (1973) : いわゆる宍道褶曲帯について, 地質学論集, 第9号, (p. 137–146)
- (48) 山内靖喜・岩田昭夫 (1998) : 宍道低地帯東部における熱水資源評価, 応用地質, 第39巻, 第4号, (p. 361–371)
- (49) 沢田順弘・徳岡隆夫・山内靖喜・三瓶良和・西村清和 (2001) : 宍道地溝帯中軸部, 美保湾で発見された更新世火山とその地質学的意義, 地質学雑誌, 第107巻, 第6号, (p. 392–405)
- (50) 山内靖喜・吉谷昭彦 (1992) : 日本海南部及びその沿岸域における中新生代の構造運動, 地質学論集, 第37号, (p. 311–326)
- (51) 小池一之・町田洋 (2001) : 日本の海成段丘アトラス, 東京大学出版会
- (52) 藤原治・柳田誠・三箇智二・守屋俊文 (2005) : 地層処分からみた日本列島の隆起・侵食に関する研究, 原子力バックエンド研究, Vol. 11, No. 2,

(p. 113－124)

- (53) 多井義郎(1952)：島根半島中央地区の層序と構造－島根半島第三系の地質学的研究(その1)－，地質学雑誌，第58巻，第687号，(p. 573－582)
- (54) 通商産業省(1969)：昭和42年度 広域調査報告書－北島根地域
- (55) 通商産業省(1970)：昭和43年度 広域調査報告書－北島根地域
- (56) 通商産業省(1971)：昭和45年度 広域調査報告書－北島根地域
- (57) 橋本知昌・星野一男・加藤碩一(1980)：島根県東部－鳥取県西部地域の活断層について，地質調査所月報，第31巻，第2号，(p. 93－97)
- (58) 中田高・今泉俊文・岡田篤正・千田昇・金田平太郎・佐藤高行・高沢信司(2008)：1:25,000都市圏活断層図「松江」第2版，国土地理院技術資料D・1-No. 502
- (59) 地質調査所編(2000)：日本重力CD-ROM. P-2, 1 CD-ROM, 地質調査所
- (60) 津屋弘達(1944)：鹿野・吉岡断層とその付近の地質 昭和18年9月10日鳥取地震に関する地質学的観察，東京大学地震研究所彙報，vol. 22，(p. 1－32)
- (61) 安藤雅孝・佃為成・岡田篤正(1980)：鹿野断層の発掘調査，地震予知連絡会会報，第23巻，(p. 160－165)
- (62) 岡田篤正・安藤雅孝・佃為成(1987)：山崎断層系安富断層のトレンチ調査，地学雑誌，96-2，(p. 81－97)
- (63) 遠田晋次・宮腰勝義・井上大栄・楠建一郎・鈴木浩一(1995)：山崎断層系大原断層のトレンチ調査，地震，第2輯，第48巻，第1号，(p. 57－70)
- (64) 岡山県(1996)：平成7年度大原断層に関する調査成果報告書
- (65) 兵庫県(1996)：平成7年度山崎断層帯に関する調査成果報告書
- (66) 兵庫県(1999)：平成10年度山崎断層帯に関する調査成果報告書
- (67) 兵庫県(2001)：平成12年度山崎断層帯に関する調査成果報告書
- (68) 岡田篤正・東郷正美編(2000)：近畿の活断層，東京大学出版会

- (69) 地震調査研究推進本部 (2013) : 山崎断層帯の長期評価 (一部改訂)
について, 地震調査研究推進本部 地震調査委員会
- (70) (財) 日本水路協会(2008) : 海底地形デジタルデータM7013 ver. 2.0
隠岐
- (71) 田中隆・小草欽治 (1981) : 山陰沖における中期中新世以降の構造運動, 地質学雑誌, 第87巻, 第11号, (p. 725–736)
- (72) 中田高・後藤秀昭 (1998) : 活断層はどこまで割れるのか? – 横ずれ断層の分岐形態と縦ずれ分布に着目したセグメント区分モデル, 活断層研究, 17号, (p. 43–53)
- (73) 中田高・今泉俊文編 (2002) : 活断層詳細デジタルマップ, 東京大学出版会
- (74) 佐藤高行・中田高 (2002) : 鹿島断層の変位地形—一括活動型活断層のモデルとして—, 活断層研究, 21号, (p. 99–110)
- (75) 中田高・今泉俊文・岡田篤正・千田昇・金田平太郎・佐藤高行・高沢信司 (2002) : 1 : 25,000都市圏活断層図「松江」, 国土地理院技術資料D・1-No. 396
- (76) 原子力安全基盤調査研究 (2005) : 活動度の低い活断層による地震の評価手法に関する研究, 平成16年度原子力安全基盤調査研究, 広島大学
- (77) 渡辺満久・中田高・奥村晃史・熊原康博・後藤秀昭・隈元崇・今泉俊文・徳岡隆夫・吹田歩 (2006) : 鹿島断層 (島根半島) 東部におけるトレーニング調査, 日本地震学会
- (78) 徳岡隆夫・吹田歩・田中義昭・渡辺正巳・中田高 (2007) : 鹿島断層<島根半島>の最新活動時期の考古学的調査による解明, 日本第四紀学会講演要旨集, (p. 138, 139)
- (79) 地震調査研究推進本部 (2016) : 中国地域の活断層の長期評価 (第一版), 宍道 (鹿島) 断層の長期評価, 地震調査研究推進本部 地震調査委員会
- (80) 原子力安全委員会ワーキンググループ3 第17回会合参考資料第2号

(2009)

- (81) 永塚鎮雄(1973) : 褐色森林土・黄褐色森林土・赤色土における遊離酸化鉄の存在状態について, ペドロジスト17, (p. 70-83)
- (82) 歌田実(1997) : 天然におけるゼオライトおよび関連鉱物の生成条件. 粘土科学, 第37巻, 第3号, (p. 87-94)
- (83) 吉村尚久 (2003) : 繼成作用と粘土鉱物, 粘土科学, 第42巻, 第3号, (p. 167-173)
- (84) Rongjiang Wang, Francisco Lorenzo Martin and Frank Roth (2003) : Computation of deformation induced by earthquakes in a multi-layered elastic crust - FORTRAN programs EDGRN/EDCMP, Computers and Geosciences, Vol. 29, pp. 195-207
- (85) 宅地防災研究会(2007) : 宅地防災マニュアルの解説 : 宅地防災マニュアルの解説[第二次改訂版][II]

第3.4-1表 敷地の地質層序表

地質時代			地層名		主要構成地質
新生代	第四紀	完新世	被覆層	盛 土	礫混じり砂質土・礫混じり粘性土
				崖錐堆積物	礫混じり砂質土・礫混じり粘性土
	新第三紀	中新世	貫入岩類		ドレライト・安山岩
			成相寺層	上部頁岩部層	黒色頁岩
				火碎岩部層	凝灰岩・凝灰角礫岩
				下部頁岩部層	黒色頁岩・凝灰質頁岩

第3.4-2表 シーム性状一覧表

シーム名	平均層厚 (cm)	性 状
B29	1.1	細礫混じり淡褐色粘土
B28	0.8	細礫混じり灰色粘土
B27	0.2	灰白色粘土
B26	0.7	灰色粘土質砂
B25	0.5	灰白色粘土質砂
B24	1.1	灰色～灰白色粘土
B23	2.1	細礫混じり灰色粘土
B22	0.7	灰白色粘土
B21	1.8	細礫混じり灰色～灰白色粘土
B20	1.2	灰白色粘土
B19	0.5	粘土混じり灰色砂礫
B18	0.9	灰色粘土
B17	0.2	灰白色粘土
B16	1.4	細礫混じり灰色粘土
B15	0.5	細礫混じり灰色粘土
B14	0.6	細礫混じり灰色粘土
B13	0.9	細礫混じり灰色～灰白色粘土
B12	0.8	灰白色粘土
B11	0.3	細礫混じり灰色粘土
B10	2.0	細礫混じり灰色～灰白色粘土
B9	1.6	細礫混じり灰色粘土
B8	1.2	細礫混じり灰色～灰白色粘土
B7	0.3	灰白色粘土
B6	0.9	細礫混じり灰色～灰白色粘土
B5	0.8	粘土混じり暗灰色細礫
B4	2.9	細礫混じり灰色粘土
B3	0.9	砂混じり灰色粘土
B2	0.9	砂礫混じり灰色粘土
B1	0.6	粘土混じり黒灰色砂
B12-1	1.0	明灰色粘土
B7-1	0.5	黃褐色粘土
B6-2	1.0	細片混じり灰白色粘土

第3.4-3表 X線回折分析結果一覽表

◎：多量 ○：中量 △：少量 -：極微量

第3.5-1表(1) 岩石試験結果一覧表 (原子炉建物基礎地盤・その1)

供 試 体			力 学 試 験			物 理 試 験						
ボーリング No.	No.	深 度 (m)	岩 質	一 軸 圧 縮 試 験		引張 試験	超 音 波 試 験				真比重	
				一軸圧縮強度 (N/mm ²)	静的 ポアソン比		密 度 (g/cm ³)	P 波 (m/sec)	S 波 (m/sec)	動的 ポアソン比		
				(kg/cm ²)	(×10 ³ kg/cm ²)	(kg/cm ²)	(kg/cm ²)	(m/sec)	(m/sec)	(kg/cm ²)		
306	1	9.8 - 10.2	黒色頁岩	83.16 (848)	0.14	30.69 (3.13)	21.18 (216.0)	2.50	4,210	2,180	0.32	31.28 (3.19)
	2	15.3 - 15.5	凝灰質頁岩	74.53 (760)	0.12	20.69 (2.11)	7.47 (76.2)	2.39	3,630	1,610	0.38	17.06 (1.74)
	3	21.1 - 21.35	凝灰岩	94.14 (960)	0.18	26.48 (2.70)	11.36 (115.8)	2.49	4,210	1,710	0.40	20.40 (2.08)
	4	24.5 - 24.7	黒色頁岩	51.48 (525)	0.13	15.10 (1.54)	2.55 (26.0)	2.58	3,700	1,590	0.39	18.14 (1.85)
	5	29.5 - 30.6	"	72.08 (735)	0.12	33.83 (3.45)	7.61 (77.6)	2.48	4,970	1,910	0.41	25.60 (2.61)
	6	35.2 - 35.3	"	-	-	-	-	2.60	4,300	1,670	0.41	20.50 (2.09)
	7	40.5 - 40.65	凝灰岩	82.08 (837)	0.10	25.11 (2.56)	15.90 (162.1)	2.41	4,080	1,600	0.41	17.36 (1.77)
	8	41.4 - 41.75	凝灰質頁岩	174.85 (1,783)	0.20	43.64 (4.45)	-	2.34	4,180	2,490	0.23	35.60 (3.63)
	9	45.25 - 45.35	黒色頁岩	-	-	-	-	2.56	3,590	1,590	0.38	17.85 (1.82)
	10	50.4 - 50.75	"	-	-	-	2.46 (25.1)	2.58	3,810	1,770	0.36	22.06 (2.25)
	11	54.9 - 54.95	"	-	-	-	-	2.54	3,980	1,980	0.34	26.58 (2.71)
	12	62.1 - 62.25	凝灰質頁岩	151.91 (1,549)	0.15	28.83 (2.94)	14.02 (143.0)	2.46	4,600	1,720	0.42	20.69 (2.11)
	13	65.0 - 65.1	凝灰岩	-	-	-	-	2.44	3,690	1,860	0.33	22.46 (2.29)
	14	70.0 - 70.45	凝灰角礫岩	71.49 (729)	0.10	13.44 (1.37)	5.48 (55.9)	2.44	3,750	1,920	0.32	23.83 (2.43)
	15	75.4 - 75.5	黒色頁岩	-	-	-	-	2.57	3,850	2,050	0.30	28.15 (2.87)
	16	80.3 - 80.45	凝灰岩	62.17 (634)	0.21	14.02 (1.43)	7.72 (78.7)	2.37	3,810	1,870	0.34	22.26 (2.27)
	17	85.05 - 85.15	"	-	-	-	-	2.39	3,710	1,750	0.36	19.91 (2.03)
	18	90.0 - 90.35	"	31.58 (322)	0.14	14.02 (1.43)	8.50 (86.7)	2.40	3,690	1,740	0.36	19.71 (2.01)
	19	95.0 - 95.1	凝灰角礫岩	-	-	-	-	2.43	3,840	1,940	0.33	24.32 (2.48)
	20	99.05 - 99.2	凝灰質頁岩	57.86 (590)	0.19	13.83 (1.41)	6.26 (63.8)	2.54	4,620	2,100	0.37	30.69 (3.13)

第3.5-1表(2) 岩石試験結果一覧表 (原子炉建物基礎地盤・その2)

供 試 体			力 学 試 験			物 理 試 験									
ボーリング No.	No.	深 度 (m)	岩 質	一 軸 圧 縮 試 験		引張 試験	超 音 波 試 験				真比重				
				一軸圧縮強度 (N/mm ²)	静弾性係数 (×10 ³ N/mm ²)		密 度 (g/cm ³)	P 波 (m/sec)	S 波 (m/sec)	動的 ポアソン比					
				(kg/cm ²)	(kg/cm ²)										
	21	105.0 - 105.1	凝灰岩	-	-	-	2.45	4,390	2,010	0.37	27.07 (2.76)	-	-	-	
	22	106.1 - 106.32	凝灰質頁岩	74.63 (761)	0.28	48.35 (4.93)	11.34 (115.6)	2.66	5,340	2,760	0.32	53.45 (5.45)	-	-	-
	23	107.0 - 107.16	"	-	-	-	16.33 (166.5)	-	-	-	-	2.72	0.97	2.53	
	24	115.3 - 115.55	黒色頁岩	54.13 (552)	0.17	15.79 (1.61)	5.92 (60.4)	2.58	4,720	2,190	0.36	33.73 (3.44)	2.70	1.50	3.87
	25	125.0 - 125.1	"	-	-	-	-	2.62	4,970	2,370	0.35	39.81 (4.06)	-	-	-
	26	131.45 - 131.7	凝灰岩	62.57 (638)	0.11	20.69 (2.11)	7.31 (74.5)	2.59	4,430	1,960	0.38	27.46 (2.80)	-	-	-
	27	134.0 - 134.15	"	38.64 (394)	0.20	29.71 (3.03)	8.31 (84.7)	2.68	4,610	2,100	0.37	32.36 (3.30)	-	-	-
	28	145.0 - 145.1	ドレライト	-	-	-	2.75	4,560	2,210	0.35	36.19 (3.69)	-	-	-	
	29	146.0 - 146.26	"	124.45 (1,269)	0.26	44.91 (4.58)	10.58 (107.9)	-	-	-	-	-	-	-	
	30	154.1 - 154.55	"	36.09 (368)	0.21	27.26 (2.78)	5.12 (52.2)	2.73	4,660	2,270	0.34	37.85 (3.86)	2.89	1.87	5.00
306	31	159.4 - 159.7	"	35.40 (361)	0.21	13.34 (1.36)	-	-	-	-	-	2.91	2.87	7.55	
	32	165.1 - 165.2	"	-	-	-	-	2.69	4,880	2,450	0.33	43.05 (4.39)	-	-	-
	33	175.5 - 175.65	"	50.80 (518)	0.19	13.24 (1.35)	3.67 (37.4)	2.75	5,130	2,440	0.35	44.33 (4.52)	-	-	-
	34	180.1 - 180.36	"	140.14 (1,429)	0.27	64.33 (6.56)	12.86 (131.1)	-	-	-	-	2.87	0.73	2.02	
	35	184.5 - 184.6	"	-	-	-	-	2.79	5,490	2,600	0.36	51.19 (5.22)	-	-	-
	36	190.5 - 190.7	"	186.52 (1,902)	0.28	65.41 (6.67)	10.79 (110.0)	-	-	-	-	-	-	-	
	37	190.71 - 190.76	"	-	-	-	13.69 (139.6)	-	-	-	-	-	-	-	
	38	195.0 - 195.55	"	103.95 (1,060)	0.21	54.52 (5.56)	9.92 (101.2)	2.87	5,590	2,730	0.34	57.47 (5.86)	2.96	7.50	2.15
	39	205.0 - 205.1	"	-	-	-	-	2.82	5,670	2,860	0.33	61.39 (6.26)	-	-	-
	40	215.65 - 215.8	"	132.39 (1,350)	0.24	58.35 (5.95)	8.65 (88.2)	2.85	5,680	3,010	0.30	67.47 (6.88)	-	-	-
	41	225.6 - 225.75	"	-	-	-	-	2.76	5,470	2,920	0.30	61.29 (6.25)	2.86	9.52	2.63

第3.5-1表(3) 岩石試験結果一覧表 (原子炉建物基礎地盤・その3)

供 試 体			力 学 試 験			物 理 試 験									
ボーリング No.	No.	深 度 (m)	岩 質	一 軸 圧 縮 試 験		引張 試験	超 音 波 試 験			動弾性 係 数 ($\times 10^3$ N/mm ²)	真比重	吸水率 (%)	間隙率 (%)		
				一軸圧縮強度 (N/mm ²)	静的 ポアソン比	引張強度 (N/mm ²) ($\times 10^3$ kg/cm ²)	密 度 (g/cm ³)	P 波 (m/sec)	S 波 (m/sec)						
				(kg/cm ²)		(kg/cm ²)									
308	1	18.65 - 19.4	凝灰角礫岩	56.39 (575)	0.27	26.67 (2.72)	6.12 (62.4)	2.56	3,530	1,530	0.38	16.57 (1.69)	2.81	3.84	9.37
	2	23.75 - 24.85	黒色頁岩	60.61 (618)	0.21	32.66 (3.33)	7.88 (80.4)	2.47	4,470	1,660	0.42	19.32 (1.97)	2.77	4.50	10.79
	3	29.75 - 29.95	"	41.97 (428)	0.26	30.20 (3.08)	5.23 (53.3)	2.49	4,220	1,510	0.43	16.18 (1.65)	2.66	2.42	5.91
	4	34.6 - 34.65	"	-	-	-	-	2.54	3,740	1,640	0.38	18.93 (1.93)	2.73	2.44	6.16
	5	38.6 - 38.85	凝灰角礫岩	31.38 (320)	0.16	7.26 (0.74)	3.85 (39.3)	2.31	3,710	1,610	0.38	16.57 (1.69)	2.71	6.90	15.44
	6	44.8 - 44.9	黒色頁岩	-	-	-	-	2.58	3,890	1,720	0.38	21.08 (2.15)	-	-	-
	7	49.4 - 49.55	"	182.40 (1,860)	0.19	41.78 (4.26)	18.48 (188.4)	2.52	4,820	2,330	0.35	36.87 (3.76)	-	-	-
	8	54.3 - 54.4	"	-	-	-	-	2.58	4,540	2,160	0.35	32.66 (3.33)	-	-	-
	9	60.1 - 60.35	"	69.63 (710)	0.18	28.54 (2.91)	7.08 (72.2)	2.54	3,530	1,950	0.28	24.71 (2.52)	2.69	1.52	3.88
	10	65.65 - 65.75	"	-	-	-	-	2.57	3,820	2,060	0.29	28.24 (2.88)	-	-	-
	11	68.5 - 68.65	"	148.08 (1,510)	0.22	31.38 (3.20)	12.15 (123.9)	2.56	4,680	2,410	0.32	39.23 (4.00)	-	-	-
	12	75.0 - 75.1	凝灰岩	-	-	-	-	2.40	3,800	1,960	0.32	24.32 (2.48)	-	-	-
	13	79.8 - 80.0	"	49.52 (505)	0.21	17.85 (1.82)	5.57 (56.8)	2.38	3,780	1,800	0.35	20.89 (2.13)	2.71	4.26	10.12
	14	85.9 - 86.0	黒色頁岩	-	-	-	-	2.56	4,650	2,390	0.32	38.64 (3.94)	-	-	-
	15	90.3 - 90.45	凝灰岩	83.85 (855)	0.20	19.02 (1.94)	9.87 (100.6)	2.39	3,860	1,970	0.32	24.61 (2.51)	-	-	-
	16	94.85 - 94.95	凝灰角礫岩	-	-	-	-	2.41	3,960	2,300	0.25	31.77 (3.24)	-	-	-
	17	99.25 - 99.4	"	43.93 (448)	0.15	15.30 (1.56)	8.91 (90.9)	2.40	4,120	2,060	0.33	27.16 (2.77)	-	-	-
	18	105.2 - 105.35	"	33.15 (338)	0.15	10.49 (1.07)	1.95 (19.9)	2.48	4,530	2,360	0.31	36.28 (3.70)	-	-	-
	19	107.8 - 107.95	"	32.36 (330)	0.23	11.96 (1.22)	5.75 (58.6)	2.43	4,450	2,280	0.32	33.44 (3.41)	-	-	-

第3.5-1表(4) 岩石試験結果一覧表 (原子炉建物基礎地盤・その4)

供 試 体			力 学 試 験			物 理 試 験									
ボーリング No.	No.	深 度 (m)	岩 質	一 軸 圧 縮 試 験		引張 試験	超 音 波 試 験				動弾性 係 数 ($\times 10^3$ N/mm ²)	吸水率 (%)	間隙率 (%)		
				一軸圧縮強度 (N/mm ²)	静的 ポアソン比	静弾性 係 数 ($\times 10^3$ N/mm ²)	引張 強 度 (N/mm ²)	密 度 (g/cm ³)	P 波 (m/sec)	S 波 (m/sec)	動的 ポアソン比				
				(kg/cm ²)		($\times 10^5$ kg/cm ²)						($\times 10^5$ kg/cm ²)			
309	1	14.55 - 14.95	凝灰岩	91.20 (930)	0.25	49.03 (5.00)	9.43 (96.2)	2.55	4,770	1,700	0.43	21.08 (2.15)	2.76	2.45	6.13
	2	17.4 - 17.65	黒色頁岩	55.90 (570)	0.18	23.83 (2.43)	5.41 (55.2)	2.59	3,300	1,660	0.33	19.02 (1.94)	2.70	1.43	3.66
	3	25.3 - 25.5	凝灰質頁岩	54.72 (558)	0.21	19.32 (1.97)	10.10 (103.0)	2.44	3,490	2,260	0.14	28.44 (2.90)	2.71	4.00	9.56
	4	30.05 - 30.25	黒色頁岩	42.17 (430)	0.18	52.56 (5.36)	5.91 (60.3)	2.57	5,140	1,860	0.42	25.40 (2.59)	2.72	1.50	3.87
	5	30.65 - 30.9	"	96.60 (985)	0.21	37.17 (3.79)	16.77 (171.0)	2.56	4,750	2,000	0.40	28.54 (2.91)	2.69	1.40	3.57
	6	42.2 - 42.3	"	-	-	-	-	2.54	3,690	1,940	0.31	25.01 (2.55)	-	-	-
	7	46.25 - 46.7	凝灰質頁岩	117.68 (1,200)	0.21	38.74 (3.95)	6.85 (69.8)	2.46	3,970	1,850	0.36	22.95 (2.34)	2.62	2.67	6.52
	8	50.8 - 50.9	黒色頁岩	-	-	-	-	2.59	4,970	2,420	0.34	40.80 (4.16)	-	-	-
	9	56.35 - 56.55	"	73.55 (750)	0.26	34.32 (3.50)	14.82 (151.1)	2.55	4,610	1,960	0.39	27.26 (2.78)	2.70	1.17	3.03
	10	60.4 - 60.5	"	-	-	-	-	2.55	3,910	1,890	0.35	24.61 (2.51)	-	-	-
	11	67.5 - 67.9	"	40.70 (415)	0.18	22.85 (2.33)	4.04 (41.2)	2.58	4,150	2,230	0.30	33.34 (3.40)	-	-	-
	12	70.65 - 70.75	"	-	-	-	-	2.55	4,370	1,980	0.37	27.46 (2.80)	-	-	-
	13	75.55 - 75.75	"	180.44 (1,840)	0.22	42.66 (4.35)	11.88 (121.1)	2.56	4,650	2,050	0.38	29.71 (3.03)	2.67	1.65	4.19
	14	80.75 - 80.85	凝灰岩	-	-	-	-	2.49	4,060	1,960	0.35	25.79 (2.63)	-	-	-
	15	86.1 - 86.25	黒色頁岩	76.49 (780)	0.20	34.52 (3.52)	6.36 (64.9)	2.56	3,850	1,880	0.34	24.32 (2.48)	-	-	-
	16	90.3 - 90.4	凝灰岩	-	-	-	-	2.55	4,660	2,370	0.33	37.95 (3.87)	-	-	-
	17	95.6 - 96.0	"	77.67 (792)	0.19	23.05 (2.35)	8.34 (85.0)	2.43	4,550	2,410	0.31	36.87 (3.76)	2.69	4.15	9.76
	18	100.8 - 100.9	凝灰角礫岩	-	-	-	-	2.47	4,780	2,520	0.31	41.09 (4.19)	2.65	3.43	8.23
	19	104.6 - 104.75	"	70.12 (715)	0.14	29.03 (2.96)	4.09 (41.7)	2.44	4,430	2,130	0.35	29.91 (3.05)	-	-	-

第3.5-1表(5) 岩石試験結果一覧表 (原子炉建物基礎地盤・その5)

供 試 体			力 学 試 験			物 理 試 験									
ボーリング No.	No.	深 度 (m)	岩 質	一 軸 圧 縮 試 験		引張 試験	超 音 波 試 験			動弾性 係 数 ($\times 10^3$ N/mm ²)	吸水率 (%)				
				一軸圧縮強度 (N/mm ²)	静的 ポアソン比	静弾性 係 数 ($\times 10^3$ N/mm ²)	引張 強度 (N/mm ²)	密 度 (g/cm ³)	P 波 (m/sec)	S 波 (m/sec)					
				(kg/cm ²)		($\times 10^5$ kg/cm ²)	(kg/cm ²)								
310	1	11.05 — 11.4	凝灰岩	49.03 (500)	0.18	10.40 (1.06)	3.83 (39.1)	2.50	3,560	1,970	0.28	24.81 (2.53)	2.76	3.00	7.49
	2	15.65 — 15.85	"	53.74 (548)	0.15	20.01 (2.04)	7.91 (80.7)	2.52	3,600	1,910	0.30	24.03 (2.45)	2.69	3.57	8.63
	3	20.5 — 21.05	"	49.03 (500)	0.20	23.05 (2.35)	8.24 (84.0)	2.55	3,510	2,000	0.26	25.69 (2.62)	2.78	3.95	9.66
	4	23.85 — 24.7	凝灰質頁岩	122.09 (1,245)	0.23	39.23 (4.00)	8.10 (82.6)	2.54	4,550	1,880	0.40	25.11 (2.56)	2.72	1.92	4.91
	5	28.3 — 28.5	凝灰岩	172.60 (1,760)	0.18	56.00 (5.71)	13.16 (134.2)	2.54	5,040	2,110	0.39	31.58 (3.22)	2.65	2.67	6.59
	6	34.6 — 34.7	"	—	—	—	—	2.44	4,410	1,930	0.38	25.11 (2.56)	—	—	—
	7	40.2 — 41.45	黒色頁岩	47.56 (485)	0.16	60.02 (6.12)	10.24 (104.4)	2.58	4,640	2,060	0.37	30.20 (3.08)	—	—	—
	8	45.5 — 45.6	"	—	—	—	—	2.58	4,560	1,980	0.38	28.05 (2.86)	—	—	—
	9	50.2 — 50.4	凝灰岩	174.56 (1,780)	0.22	54.52 (5.56)	10.11 (103.1)	2.52	5,020	2,160	0.39	32.66 (3.33)	2.70	2.38	5.92
	10	55.1 — 55.2	黒色頁岩	—	—	—	—	2.56	4,870	1,960	0.40	27.65 (2.82)	—	—	—
	11	59.65 — 60.0	凝灰質頁岩	87.08 (888)	0.16	23.34 (2.38)	9.71 (99.0)	2.52	3,670	1,880	0.32	23.54 (2.40)	—	—	—
	12	64.30 — 64.35	黒色頁岩	—	—	—	—	—	—	—	—	—	2.69	2.71	7.00
	13	67.15 — 67.45	"	37.76 (385)	0.28	14.51 (1.48)	5.37 (54.8)	2.58	3,760	1,940	0.32	25.60 (2.61)	2.70	1.43	3.64
	14	75.3 — 75.4	"	—	—	—	—	2.56	3,920	1,860	0.35	24.03 (2.45)	—	—	—
	15	79.3 — 79.45	" (凝灰岩との細互層)	43.35 (442)	0.20	45.11 (4.60)	10.82 (110.3)	2.59	4,310	2,100	0.34	30.69 (3.13)	—	—	—
	16	85.0 — 85.1	凝灰岩	—	—	—	—	2.44	3,690	1,870	0.33	22.65 (2.31)	—	—	—
	17	88.0 — 88.2	凝灰角礫岩	101.99 (1,040)	0.21	32.85 (3.35)	7.64 (77.9)	2.60	4,650	2,210	0.35	34.42 (3.51)	2.71	2.79	6.88
	18	94.65 — 94.75	凝灰岩	—	—	—	—	2.52	4,410	2,010	0.37	27.85 (2.84)	—	—	—
	19	99.0 — 99.1	"	—	—	—	—	2.38	4,290	1,960	0.36	25.01 (2.55)	—	—	—
	20	105.0 — 105.15	凝灰角礫岩	72.57 (740)	0.20	17.55 (1.79)	8.03 (81.9)	2.37	4,530	2,170	0.35	30.20 (3.08)	—	—	—
	21	108.7 — 109.0	"	53.45 (545)	0.22	20.10 (2.05)	4.32 (44.1)	2.49	4,520	2,370	0.31	36.68 (3.74)	—	—	—

第3.5-1表(6) 岩石試験結果一覧表 (原子炉建物基礎地盤・その6)

供 試 体			力 学 試 験				物 理 試 験								
ボーリング No.	No.	深 度 (m)	岩 質	一 軸 圧 縮 試 験		引張 試験	超 音 波 試 験				真比重	吸水率 (%)	間隙率 (%)		
				一軸圧縮強度 (N/mm ²)	静的 ポアソン比		密 度 (g/cm ³)	P 波 (m/sec)	S 波 (m/sec)	動的 ポアソン比					
				(kg/cm ²)	(kg/cm ²)	(kg/cm ²)	(kg/cm ²)								
316	1	18.05 — 18.3	黒色頁岩	69.14 (705)	0.19	38.25 (3.90)	8.52 (86.9)	2.58	4,480	2,330	0.31	36.87 (3.76)	2.68	1.46	3.71
	2	20.7 — 20.85	"	—	—	—	3.72 (37.9)	2.57	4,580	2,140	0.36	32.07 (3.27)	2.72	2.23	5.68
	3	26.3 — 26.60	凝灰岩	35.30 (360)	0.16	10.30 (1.05)	8.25 (84.1)	2.49	3,660	1,760	0.35	20.79 (2.12)	2.76	2.36	6.01
	4	30.7 — 30.9	"	124.54 (1,270)	0.20	44.13 (4.50)	9.64 (98.3)	2.59	4,950	2,280	0.37	36.77 (3.75)	—	—	—
	5	31.3 — 31.55	黒色頁岩	46.29 (472)	0.16	19.61 (2.00)	9.24 (94.2)	2.49	4,590	2,100	0.37	30.01 (3.06)	2.68	1.33	3.41
	6	38.0 — 38.45	"	133.86 (1,365)	0.26	46.09 (4.70)	9.07 (92.5)	2.57	4,630	2,120	0.37	31.58 (3.22)	2.70	1.91	4.85
	7	42.85 — 42.95	"	—	—	—	—	2.53	3,800	1,930	0.33	25.01 (2.55)	—	—	—
	8	47.55 — 47.7	凝灰質頁岩	191.82 (1,956)	0.22	42.86 (4.37)	13.25 (135.1)	2.41	4,840	2,390	0.34	36.87 (3.76)	—	—	—
	9	53.05 — 53.15	黒色頁岩	—	—	—	—	2.57	4,630	2,150	0.36	32.36 (3.30)	—	—	—
	10	57.0 — 57.3	"	207.90 (2,120)	0.20	55.41 (5.65)	12.80 (130.5)	2.39	5,000	2,640	0.31	43.54 (4.44)	2.70	1.12	2.88
	11	63.65 — 63.75	"	—	—	—	—	2.59	5,150	2,780	0.29	51.88 (5.29)	—	—	—
	12	67.25 — 67.4	"	190.25 (1,940)	0.22	37.46 (3.82)	16.00 (163.2)	2.60	4,650	2,860	0.20	50.90 (5.19)	—	—	—
	13	73.3 — 73.4	凝灰岩	—	—	—	—	2.53	4,100	2,340	0.26	34.91 (3.56)	—	—	—
	14	78.55 — 78.75	黒色頁岩	56.09 (572)	0.17	20.89 (2.13)	7.35 (74.9)	2.59	3,980	1,990	0.33	27.36 (2.79)	2.70	1.98	5.03
	15	80.1 — 80.15	"	—	—	—	—	2.57	3,830	1,890	0.34	24.61 (2.51)	—	—	—
	16	88.4 — 88.6	"	58.06 (592)	0.15	24.52 (2.50)	10.17 (103.7)	2.58	4,220	2,060	0.34	29.42 (3.00)	—	—	—
	17	93.7 — 93.8	"	—	—	—	—	2.63	4,060	2,140	0.31	31.48 (3.21)	—	—	—
	18	98.0 — 98.2	凝灰角礫岩	63.74 (650)	0.19	22.06 (2.25)	9.77 (99.6)	2.46	3,600	1,950	0.29	24.22 (2.47)	2.66	3.69	8.92
	19	103.3 — 103.4	"	—	—	—	—	2.42	3,980	2,110	0.24	28.15 (2.87)	—	—	—
	20	107.5 — 107.65	黒色頁岩	25.01 (255)	0.16	24.52 (2.50)	2.86 (29.2)	2.57	4,410	2,260	0.32	34.72 (3.54)	—	—	—
	21	118.0 — 118.1	凝灰角礫岩	—	—	—	—	2.41	4,520	2,360	0.31	35.30 (3.60)	—	—	—
	22	129.4 — 129.65	黒色頁岩	50.80 (518)	0.16	23.63 (2.41)	8.34 (85.0)	2.58	4,670	2,430	0.31	40.11 (4.09)	2.69	1.46	3.71
	23	148.7 — 148.85	"	42.17 (430)	0.18	17.85 (1.82)	6.23 (63.5)	2.58	4,590	2,290	0.33	36.09 (3.68)	—	—	—
	24	158.5 — 158.6	"	—	—	—	—	2.63	4,740	2,490	0.31	42.76 (4.36)	—	—	—
	25	161.0 — 161.15	"	40.40 (412)	0.19	31.68 (3.23)	5.70 (58.1)	2.62	4,800	2,160	0.37	33.64 (3.43)	—	—	—
	26	165.4 — 166.05	凝灰岩	153.77 (1,568)	0.09	83.36 (8.50)	9.16 (93.4)	2.54	4,690	2,530	0.29	42.17 (4.30)	2.68	1.72	4.41
	27	178.4 — 178.5	黒色頁岩	—	—	—	—	2.54	4,960	2,390	0.35	39.13 (3.99)	—	—	—
	28	188.45 — 188.6	ドレライト	56.98 (581)	0.10	45.60 (4.65)	10.32 (105.2)	2.78	5,300	2,880	0.29	59.53 (6.07)	—	—	—
	29	199.25 — 199.35	"	—	—	—	—	2.72	5,110	3,160	0.19	64.72 (6.60)	—	—	—
	30	208.3 — 208.8	"	49.03 (500)	0.20	19.22 (1.96)	4.58 (46.7)	2.70	5,690	3,100	0.29	66.98 (6.83)	2.87	1.97	5.32
	31	218.7 — 218.8	"	—	—	—	—	2.79	5,730	3,360	0.24	78.06 (7.96)	—	—	—

第3.5-1表(7) 岩石試験結果一覧表（原子炉建物基礎地盤・その7）

(岩質別平均値)

供 試 体		力 学 試 験					物 理 試 験												
ボーリング No.	岩 質	一 軸 圧 縮 試 験			引 張 験		超 音 波 試 験					試験 個数	真比重	吸水率 (%)	間隙率 (%)				
		試験 個数	一軸圧縮強度 (N/mm ²) (kg/cm ²)	静的 ポアソン比	静弾性 係数 (×10 ³ N/mm ²) (×10 ⁵ kg/cm ²)	試験 個数	引 張 強 度 (N/mm ²) (kg/cm ²)	試験 個数	密 度 (g/cm ³)	P 波 (m/sec)	S 波 (m/sec)	動的 ポアソン比 (×10 ⁵ kg/cm ²)							
306 308 309 310 316	黒色頁岩	30	79.24 (808)	0.19	32.26 (3.29)	32	8.82 (89.9)	56	2.56	4,351	2,072	0.35	30.11 (3.07)	23	2.70	1.83	4.62		
	凝灰質頁岩	10	110.72 (1,129)	0.20	31.87 (3.25)	10	10.35 (105.5)	10	2.48	4,289	2,094	0.33	29.42 (3.00)	6	2.69	3.06	7.38		
	凝灰岩	18	82.57 (842)	0.18	30.01 (3.06)	18	9.03 (92.1)	29	2.48	4,173	1,986	0.35	26.67 (2.72)	12	2.72	2.89	7.11		
	凝灰角礫岩	11	57.37 (585)	0.18	18.83 (1.92)	11	5.99 (61.1)	16	2.45	4,181	2,114	0.32	29.42 (3.00)	6	2.71	4.06	9.64		
	ドレライト	10	91.59 (934)	0.22	40.60 (4.14)	10	9.01 (91.9)	13	2.77	5,305	2,768	0.31	56.09 (5.72)	6	2.89	4.08	4.11		
	平均	計79	82.47 (841)	0.19	30.89 (3.15)	計81	8.69 (88.6)	計124	2.54	4,383	2,132	0.34	31.87 (3.25)	計53	2.72	2.72	6.01		

第3.5-1表(8) 岩石試験結果一覧表 (原子炉建物基礎地盤・その8)

試 掘 坑 名	岩 質	地 層 に 對 する 方 向	力 學 試 驗						物 理 試 驗								
			一 軸 壓 縮 試 驗		引 張 試 驗		超 音 波 試 驗		動 彈 性 係 數 ($\times 10^3$ N/mm^2)		動 彈 性 係 數 ($\times 10^5$ N/mm^2)		真 比 重				
			試 驗 個 數	一 軸 壓 縮 強 度 (N/mm^2)	靜 彈 性 係 數 ($\times 10^3$ N/mm^2)	靜 彈 性 係 數 ($\times 10^5$ N/mm^2)	試 驗 個 數	引 張 強 度 (N/mm^2)	試 驗 個 數	S 波 (m/sec)	P 波 (m/sec)	密 度 (g/cm ³)	動 彈 性 係 數 ($\times 10^3$ kg/cm^2)	動 彈 性 係 數 ($\times 10^5$ kg/cm^2)	吸 水 率 (%)	間 隙 率 (%)	
E坑	凝灰岩 (粗粒塊狀)	直角	5	138.08 (1,408)	0.21	28.93 (2.95)	5	8.25 (84.1)	5	2.58	4,088	2,308	0.26	34.62 (3.53)	3	2.79	3.12
		平行	7	151.32 (1,543)	0.22	28.15 (2.87)	5	7.00 (71.4)	7	2.61	4,089	2,261	0.28	34.13 (3.48)	3	2.79	3.12
		直角	6	136.31 (1,390)	0.21	29.42 (3.00)	5	8.50 (86.7)	6	2.66	4,097	2,243	0.28	34.52 (3.52)	3	2.82	2.37
	凝灰岩 (細粒層狀)	平行	5	137.78 (1,405)	0.23	29.52 (3.01)	5	7.16 (73.0)	5	2.65	4,454	2,488	0.27	41.87 (4.27)	3	2.82	2.37
		直角	5	142.00 (1,448)	0.18	27.16 (2.77)	3	5.66 (57.7)	6	2.40	4,595	2,478	0.29	38.64 (3.94)	3	2.68	2.94
		平行	5	252.52 (2,575)	0.18	50.70 (5.17)	3	5.77 (58.8)	6	2.53	4,900	2,653	0.29	46.09 (4.70)	3	2.68	2.94
F坑	凝灰質頁岩	直角	5	330.48 (3,370)	0.18	49.43 (5.04)	5	13.62 (138.9)	5	2.44	4,800	2,718	0.26	45.70 (4.66)	3	2.62	4.13
		平行	5	239.97 (2,447)	0.19	48.05 (4.90)	5	17.58 (179.3)	5	2.44	4,866	2,654	0.29	44.33 (4.52)	3	2.62	4.13
		直角	5	164.65 (1,679)	0.18	48.64 (4.96)	4	6.31 (64.3)	5	2.58	4,852	2,688	0.29	47.46 (4.84)	3	2.67	1.51
	黑色頁岩	平行	5	103.66 (1,057)	0.22	36.77 (3.75)	5	6.19 (63.1)	5	2.60	4,850	2,636	0.27	46.58 (4.75)	3	2.67	1.51
		直角	5	131.02 (1,336)	0.23	37.66 (3.84)	5	9.80 (99.9)	5	2.67	4,548	2,444	0.29	41.38 (4.22)	3	2.75	1.84
		平行	4	126.70 (1,292)	0.20	34.62 (3.53)	5	9.33 (95.1)	4	2.66	4,633	2,483	0.30	42.46 (4.33)	3	2.75	1.84
N坑	凝灰岩 (粗粒層狀)	直角	5	156.22 (1,593)	0.19	26.58 (2.71)	4	6.01 (61.3)	5	2.58	4,222	2,386	0.26	37.17 (3.79)	3	2.65	4.13
		平行	4	96.20 (981)	0.24	41.29 (4.21)	5	3.26 (33.2)	4	2.57	4,933	2,793	0.26	50.50 (5.15)	3	2.65	4.13

第3.5-1表(9) 岩石試験結果一覧表（原子炉建物西側切取斜面・その1）

供 試 体			力 学 試 験			物 理 試 験									
ボーリング No.	No.	深 度 (m)	岩 質	一 軸 圧 縮 試 験		引張 試験	超 音 波 試 験			真比重	吸水率 (%)				
				一軸圧縮強度 (N/mm ²)	静的 ボアソソニ比		密 度 (g/cm ³)	P 波 (m/sec)	S 波 (m/sec)						
				(kg/cm ²)	(kg/cm ²)	(kg/cm ²)	(kg/cm ²)	(kg/cm ²)	(kg/cm ²)						
324	1	11.75 - 12.5	黒色頁岩	—	—	6.78 (69.1)	2.47	3,550	1,790	0.33	20.99 (2.14)	2.69	4.81	11.19	
	2	15.5 - 15.6	凝灰岩	—	—	4.82 (49.2)	2.21	2,960	1,450	0.34	12.45 (1.27)	2.66	8.19	17.19	
	3	21.9 - 22.05	黒色頁岩	—	—	10.37 (105.7)	2.41	3,020	1,300	0.39	11.28 (1.15)	2.68	9.66	21.11	
	4	26.85 - 27.4	凝灰質頁岩	84.14 (858)	0.19	15.59 (1.59)	3.23 (32.9)	2.35	3,630	1,720	0.35	18.83 (1.92)	2.67	4.92	11.42
	5	28.5 - 30.3	凝灰岩	43.05 (439)	0.14	29.62 (3.02)	3.70 (37.7)	2.45	4,080	1,920	0.36	24.52 (2.50)	2.71	5.19	11.95
	6	36.5 - 36.6	黒色頁岩	—	—	—	2.54	3,680	1,900	0.32	24.22 (2.47)	—	—	—	
	7	40.55 - 41.0	凝灰質頁岩	152.98 (1,560)	0.16	35.01 (3.57)	9.58 (97.7)	2.40	3,960	1,810	0.37	21.57 (2.20)	—	—	—
	8	49.4 - 49.5	凝灰角礫岩	—	—	—	2.42	3,630	1,880	0.31	22.56 (2.30)	—	—	—	
	9	53.2 - 53.4	"	32.36 (330)	0.16	8.63 (0.88)	3.85 (39.3)	2.40	3,750	1,860	0.34	22.26 (2.27)	2.65	5.38	12.36
	10	54.85 - 54.95	"	—	—	—	2.35	3,370	1,790	0.30	19.61 (2.00)	—	—	—	
	11	62.2 - 62.45	"	43.15 (440)	0.12	16.57 (1.69)	2.27 (23.1)	2.31	3,490	1,880	0.30	21.18 (2.16)	—	—	—
	12	64.7 - 64.8	凝灰岩	—	—	—	2.33	3,590	1,990	0.27	23.54 (2.40)	—	—	—	
	13	70.3 - 70.5	凝灰角礫岩	102.97 (1,050)	0.29	17.16 (1.75)	7.94 (81.0)	2.41	3,820	2,030	0.30	25.89 (2.64)	2.65	3.44	8.17
	14	76.4 - 76.5	"	—	—	—	2.33	3,660	1,800	0.34	20.30 (2.07)	—	—	—	
	15	80.0 - 80.15	"	24.52 (250)	0.20	8.92 (0.91)	3.46 (35.3)	2.45	3,890	2,170	0.27	29.42 (3.00)	—	—	—
	16	80.5 - 80.65	"	62.27 (635)	0.20	20.89 (2.13)	5.85 (59.7)	2.51	4,150	2,310	0.28	34.23 (3.49)	—	—	—
	17	84.0 - 84.1	"	—	—	—	2.26	3,890	2,130	0.29	26.38 (2.69)	—	—	—	
	18	90.1 - 90.35	"	36.28 (370)	0.25	10.59 (1.08)	4.14 (42.2)	2.53	4,210	2,390	0.26	36.48 (3.72)	2.70	3.49	8.45
	19	94.85 - 94.95	黒色頁岩	—	—	—	2.53	4,510	2,410	0.30	38.25 (3.90)	—	—	—	
	20	97.25 - 97.51	凝灰質頁岩	64.82 (661)	0.19	55.31 (5.64)	6.55 (66.8)	2.60	5,160	2,730	0.31	50.60 (5.16)	2.68	2.18	5.44
	21	99.2 - 99.3	凝灰岩	64.23 (655)	0.13	35.70 (3.64)	—	2.56	4,630	2,250	0.35	34.91 (3.56)	—	—	—
	22	103.36 - 130.71	凝灰質頁岩	51.78 (528)	0.11	21.48 (2.19)	13.49 (137.6)	2.52	3,890	2,200	0.26	30.89 (3.15)	2.68	2.61	6.48
	23	104.3 - 104.4	"	—	—	—	2.37	4,470	2,110	0.36	29.13 (2.97)	—	—	—	
	24	108.8 - 109.2	黒色頁岩	36.28 (370)	0.22	43.15 (4.40)	3.70 (37.7)	2.55	4,980	2,530	0.33	43.35 (4.42)	—	—	—
	25	111.35 - 111.5	凝灰岩	144.65 (1,475)	0.19	202.02 (20.6)	7.95 (81.1)	2.41	4,730	2,440	0.32	37.85 (3.86)	—	—	—
	26	111.7 - 111.8	"	—	—	19.95 (203.4)	—	—	—	—	—	2.68	3.82	9.12	
	27	112.0 - 112.13	"	122.19 (1,246)	0.18	45.50 (4.64)	10.61 (108.2)	2.43	4,100	2,430	0.23	35.30 (3.60)	—	—	—
	28	115.5 - 115.6	黒色頁岩	—	—	—	—	2.73	5,120	2,660	0.32	50.80 (5.18)	—	—	—

第3.5-1表(10) 岩石試験結果一覧表 (原子炉建物西側切取斜面・その2)

供 試 体			力 学 試 験				物 理 試 験								
ボーリング No.	No.	深 度 (m)	岩 質	一 軸 圧 縮 試 験		引張 試験	超 音 波 試 験				真比重	吸水率 (%)	間隙率 (%)		
				一軸圧縮強度 (N/mm ²)	静的 ボア ソン比	静弾性 係数 (×10 ³ N/mm ²)	引 張 強 度 (N/mm ²)	密 度 (g/cm ³)	P 波 (m/sec)	S 波 (m/sec)	動的 ボア ソン比				
				(kg/cm ²)		(kg/cm ²)	(kg/cm ²)				(kg/cm ²)				
319	1	21.55 - 21.82	凝灰質頁岩	-	-	9.09 (92.7)	-	-	-	-	-	2.62	1.99	4.98	
	2	30.5 - 30.71	"	134.25 (1,369)	0.15	35.21 (3.59)	19.38 (197.6)	2.44	4,370	2,470	0.27	37.66 (3.84)	2.63	2.95	7.14
	3	31.06 - 31.22	凝灰岩	138.57 (1,413)	0.19	33.44 (3.41)	15.32 (156.2)	-	-	-	-	-	-	-	-
	4	41.54 - 41.70	凝灰質頁岩	134.25 (1,369)	0.16	49.03 (5.00)	9.77 (99.6)	2.50	4,980	2,740	0.28	48.15 (4.91)	-	-	-
	5	43.8 - 43.96	凝灰岩	80.81 (824)	0.09	22.06 (2.25)	11.09 (113.1)	2.44	3,080	1,890	0.20	20.89 (2.13)	-	-	-

第3.5-1表(11) 岩石試験結果一覧表 (原子炉建物西側切取斜面・その3)

供 試 体			力 学 試 験				物 理 試 験								
ボーリング No.	No.	深 度 (m)	岩 質	一 軸 圧 縮 試 験		引張 試験	超 音 波 試 験				真比重	吸水率 (%)	間隙率 (%)		
				一軸圧縮強度 (N/mm ²)	静的 ボア ソン比	静弾性 係数 (×10 ³ N/mm ²)	引 張 強 度 (N/mm ²)	密 度 (g/cm ³)	P 波 (m/sec)	S 波 (m/sec)	動的 ボア ソン比				
				(kg/cm ²)		(kg/cm ²)	(kg/cm ²)				(kg/cm ²)				
328	1	32.71 - 32.87	凝灰質頁岩	197.21 (2,011)	0.11	46.68 (4.76)	-	2.46	5,150	2,930	0.26	53.15 (5.42)	2.66	2.68	6.50
	2	35.74 - 36.20	"	210.06 (2,142)	0.15	33.93 (3.46)	15.47 (157.8)	2.43	4,190	2,480	0.23	36.77 (3.75)	-	-	-
	3	38.23 - 38.39	"	181.62 (1,852)	0.14	41.48 (4.23)	24.15 (246.3)	2.44	4,680	2,700	0.25	44.52 (4.54)	-	-	-
	4	38.71 - 38.81	"	201.04 (2,050)	0.18	39.81 (4.06)	-	-	-	-	-	-	-	-	-
	5	49.50 - 49.66	凝灰岩	190.35 (1,941)	0.20	45.70 (4.66)	17.74 (180.9)	2.46	4,880	2,720	0.27	46.39 (4.73)	-	-	-
	6	49.8 - 49.90	"	140.14 (1,429)	0.17	46.29 (4.72)	2.57 (26.2)	2.47	4,970	2,880	0.24	51.09 (5.21)	-	-	-
	7	54.35 - 54.71	"	-	-	5.06 (51.6)	-	-	-	-	-	2.67	5.75	13.61	
	8	66.1 - 66.35	"	86.40 (881)	0.08	31.87 (3.25)	-	2.41	4,310	2,260	0.31	32.26 (3.29)	2.52	4.98	11.05
	9	91.6 - 91.70	凝灰角礫岩	122.58 (1,250)	0.17	23.05 (2.35)	-	-	-	-	-	-	-	-	-
	10	91.71 - 91.86	"	96.79 (987)	0.14	31.19 (3.18)	7.17 (73.1)	-	-	-	-	-	-	-	-

第3.5-1表(12) 岩石試験結果一覧表 (原子炉建物西側切取斜面・その4)

供 試 体			力 学 試 験			物 理 試 験								
ボーリング No.	No.	深 度 (m)	岩 質	一 軸 圧 縮 試 験		引張 試験	超 音 波 試 験				真比重	吸水率 (%)	間隙率 (%)	
				一軸圧縮強度 (N/mm ²)	静的 ポアソン比		静弾性 係数 (×10 ³ N/mm ²)	引 張 強 度 (N/mm ²)	密 度 (g/cm ³)	P 波 (m/sec)	S 波 (m/sec)	動的 ポアソン比		
				(kg/cm ²)	(kg/cm ²)	(kg/cm ²)	(kg/cm ²)	(kg/cm ²)	(kg/cm ³)	(m/sec)	(m/sec)	(kg/cm ²)		
329	1	46.14 - 46.35	凝灰角礫岩	48.44 (494)	0.17	11.18 (1.14)	4.08 (41.6)	2.39	2,710	1,530	0.26	14.22 (1.45)	-	-
	2	58.9 - 59.1	凝灰岩	-	-	-	5.05 (51.5)	-	-	-	-	2.66	4.46	10.67
	3	62.8 - 63.5	黒色頁岩	-	-	-	-	-	-	-	-	2.64	2.08	5.30
	4	74.72 - 74.94	"	209.18 (2,133)	0.19	40.89 (4.17)	14.84 (151.3)	2.60	4,850	2,620	0.29	46.09 (4.70)	-	-
	5	75.29 - 75.45	"	140.24 (1,430)	0.18	41.48 (4.23)	14.13 (144.1)	2.59	4,670	2,530	0.29	42.86 (4.37)	-	-
	6	78.62 - 78.72	"	99.05 (1,010)	0.16	30.20 (3.08)	-	2.58	4,560	2,380	0.31	38.44 (3.92)	-	-
	7	79.36 - 79.46	凝灰岩	219.28 (2,236)	0.30	39.23 (4.00)	-	2.46	4,060	2,040	0.33	27.26 (2.78)	-	-
	8	82.02 - 82.83	黒色頁岩	-	-	-	-	2.61	4,690	2,620	0.27	45.70 (4.66)	2.62	2.69
	9	83.53 - 83.63	"	98.65 (1,006)	0.17	18.83 (1.92)	-	2.55	3,080	1,670	0.29	18.34 (1.87)	-	-
	10	84.8 - 85.06	凝灰岩	-	-	-	15.75 (160.6)	-	-	-	-	2.65	1.07	2.72
	11	85.85 - 85.95	"	-	-	-	-	-	-	-	-	2.66	2.29	5.80
	12	89.07 - 89.18	黒色頁岩	136.61 (1,393)	0.21	27.36 (2.79)	4.82 (49.1)	2.53	4,070	2,100	0.32	29.42 (3.00)	-	-
	13	91.27 - 91.37	"	185.25 (1,889)	0.21	28.93 (2.95)	-	2.56	4,370	2,400	0.28	37.85 (3.86)	-	-
	14	96.04 - 96.32	"	199.07 (2,030)	0.20	26.09 (2.66)	12.03 (122.7)	2.54	4,150	2,380	0.26	36.09 (3.68)	-	-
	15	96.52 - 96.92	"	56.00 (571)	0.16	16.48 (1.68)	-	2.44	3,710	1,890	0.32	23.14 (2.36)	2.64	2.03
	16	98.06 - 98.27	"	106.50 (1,086)	0.21	27.26 (2.78)	10.39 (105.9)	2.53	4,060	2,240	0.28	32.56 (3.32)	-	-
	17	100.06 - 100.22	"	157.59 (1,607)	0.20	30.69 (3.13)	11.21 (114.3)	-	-	-	-	-	-	-

第3.5-1表(13) 岩石試験結果一覧表 (原子炉建物西側切取斜面・その5)

(岩質別平均値)

供 試 体		力 学 試 験					物 理 試 験										
ボーリング No.	岩 質	一 軸 圧 縮 試 験			引 張 験		超 音 波 試 験					試験 個数	真比重	吸水率 (%)	間隙率 (%)		
		試験 個数	一軸圧縮強度 (N/mm ²)	静的 ボアソン比 (kg/cm ²)	静弾性 係 数 ($\times 10^3$ N/mm ²)	試験 個数	引張強度 (N/mm ²)	$\times 10^3$ (kg/cm ²)	試験 個数	密 度 (g/cm ³)	P 波 (m/sec)	S 波 (m/sec)	動的 ボアソン比	動弾性 係 数 ($\times 10^3$ N/mm ²)			
			(kg/cm ²)														
324 319 328 329	黒色頁岩	11	129.45 (1, 320)	0.19	30.11 (3.07)	9	9.81 (100.0)	16	2.55	4, 192	2, 214	0.31	33.73 (3.44)	5	2.65	4.25	9.82
	凝灰質頁岩	10	141.22 (1, 440)	0.15	37.36 (3.81)	9	12.30 (125.4)	10	2.47	4, 448	2, 389	0.29	37.17 (3.79)	6	2.66	2.89	6.99
	凝灰岩	10	122.98 (1, 254)	0.17	34.91 (3.56)	12	9.96 (101.6)	11	2.42	4, 126	2, 206	0.29	31.48 (3.21)	8	2.65	4.47	10.26
	凝灰角礫岩	9	63.25 (645)	0.19	16.48 (1.68)	8	4.84 (49.4)	11	2.40	3, 688	1, 979	0.30	24.81 (2.53)	3	2.67	4.10	9.66
	平均	計40	115.91 (1, 182)	0.18	30.11 (3.07)	計38	9.40 (95.9)	計48	2.46	4, 115	2, 195	0.30	31.87 (3.25)	計22	2.66	3.94	9.20

第3.5-1表(14) 岩石試験結果一覧表 (原子炉建物南側盛土斜面)

(盛土材)

試験番号		比重 G s	含水比 w (%)	密度(g/cm ³)			間隙比 e
堅坑番号	深さ(m)			乾燥 γ_d	自然 γ_t	飽和 γ_{sat}	
VA	1 - 2	—	7.1	1.85	1.98	2.17	0.45
	3 - 4	2.686	11.9	1.81	2.03	2.15	0.48
	5 - 6	—	11.0	1.96	2.18	2.25	0.37
	7 - 8	2.670	14.4	1.92	2.20	2.22	0.40
	9 - 10	—	11.0	1.93	2.14	2.22	0.39
VB	1 - 2	2.691	6.8	1.67	1.78	2.06	0.61
	3 - 4	2.685	11.0	1.98	2.20	2.26	0.36
	5 - 6	—	15.4	1.94	2.24	2.23	0.38
	7 - 8	—	11.7	2.43	2.71	2.55	0.10
	9 - 10	2.706	12.1	1.93	2.16	2.22	0.39
VC	1 - 2	—	6.5	1.84	1.96	2.16	0.46
	3 - 4	2.700	11.4	1.89	2.11	2.20	0.42
	5 - 6	2.656	10.7	1.88	2.08	2.20	0.43
	7 - 8	—	12.8	1.86	2.10	2.18	0.44
	9 - 10	2.694	14.9	1.81	2.08	2.15	0.48
VD	1 - 2	2.683	7.6	1.71	1.84	2.08	0.57
	3 - 4	—	8.5	2.12	2.30	2.34	0.27
	5 - 6	2.669	14.2	1.82	2.08	2.16	0.47
平均		2.684	11.0	1.91	2.12	2.21	0.42
標準偏差		0.015	2.8	0.16	0.19	0.10	0.11

第3.5-2表(1) 三軸圧縮試験結果一覧表 (原子炉建物基礎地盤・その1)

岩 質	ボーリング No.	深 度 (m)	軸圧	側圧	弾性係数	ポアソン比
			(N/mm ²) (kg/cm ²)	(N/mm ²) (kg/cm ²)	(×10 ³ N/mm ²) (×10 ⁴ kg/cm ²)	
凝灰岩	310	21.00 ~ 21.10	152.49 (1,555)	4.90 (50)	41.48 (42.3)	0.14
	306	21.10 ~ 21.20	119.54 (1,219)	4.90 (50)	37.76 (38.5)	0.15
	310	15.80 ~ 15.90	163.97 (1,672)	9.81 (100)	37.95 (38.7)	0.10
	"	20.70 ~ 20.80	258.99 (2,641)	14.71 (150)	32.66 (33.3)	0.16
	"	21.20 ~ 21.30	300.28 (3,062)	24.52 (250)	39.72 (40.5)	0.16
	306	21.50 ~ 21.60	177.40 (1,809)	29.42 (300)	22.56 (23.0)	0.15
	310	20.80 ~ 20.90	342.15 (3,489)	39.23 (400)	35.21 (35.9)	0.13
	310	34.30 ~ 34.40	258.11 (2,632)	9.32 (95)	35.89 (36.6)	0.15
凝灰岩	"	34.40 ~ 34.50	322.25 (3,286)	18.63 (190)	40.01 (40.8)	0.17
	"	34.60 ~ 34.70	216.83 (2,211)	24.52 (250)	30.69 (31.3)	0.13
	"	34.50 ~ 34.60	217.22 (2,215)	27.95 (285)	29.91 (30.5)	0.14
	"	34.70 ~ 34.80	335.98 (3,426)	37.27 (380)	34.62 (35.3)	0.15
	316	27.40 ~ 27.50	111.01 (1,132)	4.90 (50)	24.91 (25.4)	0.12
灰 岩	"	27.20 ~ 27.30	164.65 (1,679)	9.32 (95)	23.54 (24.0)	0.15
	"	27.10 ~ 27.20	172.20 (1,756)	14.71 (150)	22.56 (23.0)	0.21
	309	14.70 ~ 14.80	170.15 (1,735)	19.61 (200)	21.77 (22.2)	0.18
	316	27.30 ~ 27.40	223.69 (2,281)	24.52 (250)	27.26 (27.8)	0.14
	308	38.40 ~ 38.50	47.86 (488)	4.90 (50)	44.91 (45.8)	0.23
凝灰角礫岩	"	33.70 ~ 33.80	128.37 (1,309)	9.32 (95)	40.60 (41.4)	0.12
	"	38.50 ~ 38.60	116.31 (1,186)	19.61 (200)	22.65 (23.1)	0.17
	"	38.20 ~ 38.30	139.94 (1,427)	24.52 (250)	17.46 (17.8)	0.24
	"	38.30 ~ 38.40	211.33 (2,155)	27.95 (285)	25.60 (26.1)	0.20
	306	90.60 ~ 90.70	118.27 (1,206)	4.90 (50)	17.75 (18.1)	0.29
凝灰角礫岩 (角礫質の 凝灰岩を 含む)	"	90.50 ~ 90.60	173.38 (1,768)	14.71 (150)	24.61 (25.1)	0.10
	309	100.20 ~ 100.30	191.23 (1,950)	19.61 (200)	19.61 (20.0)	0.13
	306	80.45 ~ 80.55	221.63 (2,260)	24.52 (250)	28.83 (29.4)	0.15
	309	100.30 ~ 100.40	255.56 (2,606)	29.42 (300)	25.60 (26.1)	0.13

第3.5-2表(2) 三軸圧縮試験結果一覧表（原子炉建物基礎地盤・その2）

岩 質	ボーリング No.	深 度 (m)	軸圧	側圧	弾性係数	ボアソン比	
			(N/mm ²) (kg/cm ²)	(N/mm ²) (kg/cm ²)	(×10 ³ N/mm ²) (×10 ⁴ kg/cm ²)		
頁 岩	黒色頁岩	306	25.20 ~ 25.30	104.54 (1,066)	4.90 (50)	22.26 (22.7)	0.23
		"	25.80 ~ 25.90	187.50 (1,912)	14.71 (150)	26.77 (27.3)	0.18
		"	43.40 ~ 43.50	289.69 (2,954)	19.61 (200)	42.17 (43.0)	0.18
		"	24.70 ~ 24.80	197.11 (2,010)	24.52 (250)	27.36 (27.9)	0.23
	黒色頁岩	316	78.75 ~ 78.85	166.52 (1,698)	4.90 (50)	28.93 (29.5)	0.18
		"	88.00 ~ 88.10	200.35 (2,043)	9.81 (100)	26.48 (27.0)	0.18
		"	78.85 ~ 78.95	250.27 (2,552)	14.71 (150)	30.30 (30.9)	0.14
		"	93.60 ~ 93.70	322.64 (3,290)	24.52 (250)	34.03 (34.7)	0.20
	黒色頁岩	316	149.40 ~ 149.50	161.03 (1,642)	4.90 (50)	23.54 (24.0)	0.13
		"	129.00 ~ 129.10	234.67 (2,393)	9.81 (100)	33.83 (34.5)	0.19
		"	149.30 ~ 149.40	190.84 (1,946)	14.71 (150)	26.58 (27.1)	0.15
		"	107.70 ~ 107.80	331.07 (3,376)	19.61 (200)	35.01 (35.7)	0.17
		306	115.90 ~ 116.00	163.48 (1,667)	19.61 (200)	24.61 (25.1)	0.25
		316	149.20 ~ 149.30	294.59 (3,004)	24.52 (250)	31.77 (32.4)	0.20
	凝灰質頁岩	306	41.20 ~ 41.30	440.91 (4,496)	29.42 (300)	18.14 (18.5)	0.14
		316	47.70 ~ 47.80	211.92 (2,161)	14.71 (150)	31.77 (32.4)	0.12
ドレライト	ドレライト	306	184.80 ~ 184.90	169.46 (1,728)	4.90 (50)	36.77 (37.5)	0.23
		"	195.15 ~ 195.25	251.83 (2,568)	9.32 (95)	35.30 (36.0)	0.31
		"	184.90 ~ 185.00	227.02 (2,315)	14.71 (150)	33.64 (34.3)	0.20
		"	195.80 ~ 195.90	286.26 (2,919)	18.63 (190)	66.88 (68.2)	0.25
		"	195.35 ~ 195.45	321.36 (3,277)	24.52 (250)	67.18 (68.5)	0.25
		"	195.25 ~ 195.35	348.92 (3,558)	27.95 (285)	69.82 (71.2)	0.28
		"	195.90 ~ 196.00	368.53 (3,758)	37.27 (380)	35.01 (35.7)	0.27

第3.5-3表(1) 平板載荷試験結果一覧表(その1)

試験位置	応力範囲 荷重方向	割線弾性係数 ($\times 10^3 \text{N/mm}^2$)			接線弾性係数 ($\times 10^3 \text{N/mm}^2$)			変形係数 ($\times 10^3 \text{N/mm}^2$)	備考		
		$(\times 10^4 \text{kg/cm}^2)$			$(\times 10^4 \text{kg/cm}^2)$						
		0~0.98 (N/mm ²)	0~3.92 (N/mm ²)	0~9.81 (N/mm ²)	0.49~0.98 (N/mm ²)	0.98~3.92 (N/mm ²)	9.81~σ max (N/mm ²)				
G坑 凝灰岩(塊状) C _H	鉛直	15.92 (16.23)	10.74 (10.95)	9.23 (9.41)	16.14 (16.46)	9.83 (10.02)	8.18 (8.34)	7.14 (7.28)			
	水平	10.61 (10.82)	12.60 (12.85)	8.71 (8.88)	8.45 (8.62)	9.62 (9.81)	6.36 (6.49)	7.48 (7.63)			
E坑 凝灰岩(塊状) C _H	平行	14.86 (15.15)	13.22 (13.48)	9.79 (9.98)	11.92 (12.16)	10.46 (10.67)	7.97 (8.13)	7.57 (7.72)			
	直角	12.93 (13.18)	10.70 (10.91)	9.70 (9.89)	9.17 (9.35)	11.06 (11.28)	7.73 (7.88)	8.68 (8.85)			
G坑凝灰岩 (層状) C _H	鉛直	3.01 (3.07)	3.30 (3.37)	3.70 (3.77)	3.42 (3.49)	3.95 (4.03)	4.20 (4.28)	2.58 (2.63)	クリープ試験含		
E坑 凝灰岩(層状) C _H	鉛直	4.68 (4.77)	3.69 (3.76)	3.39 (3.46)	2.77 (2.82)	4.77 (4.86)	3.80 (3.88)	2.74 (2.79)	クリープ試験含		
	水平	5.56 (5.67)	5.09 (5.19)	4.42 (4.51)	4.09 (4.17)	4.51 (4.60)	4.34 (4.43)	2.51 (2.56)			
	平行	1.80 (1.84)	2.69 (2.74)	2.04 (2.08)	1.87 (1.91)	3.31 (3.38)	2.94 (3.00)	2.09 (2.13)			
	直角	3.82 (3.90)	6.44 (6.57)	6.36 (6.49)	6.90 (7.04)	6.75 (6.88)	4.23 (4.31)	4.44 (4.53)			
K坑 凝灰角礫岩 C _H	鉛直	3.00※ (3.06)	3.79 (3.86)	4.13 (4.21)	5.65※ (5.76)	5.37 (5.48)	4.50 (4.59)	2.46 (2.51)	クリープ試験含		
	鉛直	12.55 (12.80)	10.83 (11.04)	9.29 (9.47)	9.41 (9.60)	9.76 (9.95)	8.53 (8.70)	8.35 (8.51)			
	水平	10.67 (10.88)	12.69 (12.94)	7.63 (7.78)	10.04 (10.24)	10.51 (10.72)	4.94 (5.04)	6.11 (6.23)			
I'坑 黒色頁岩 C _H	鉛直	3.74 (3.81)	3.90 (3.98)	4.31 (4.39)	4.23 (4.31)	5.05 (5.15)	5.19 (5.29)	2.67 (2.72)	クリープ試験含		
	水平	1.75 (1.78)	2.70 (2.75)	3.02 (3.08)	3.00 (3.06)	5.02 (5.12)	3.33 (3.40)	3.11 (3.17)			
	平行	4.39 (4.48)	4.27 (4.35)	3.73 (3.80)	4.38 (4.47)	4.42 (4.51)	3.32 (3.39)	2.51 (2.56)			
	直角	4.19 (4.27)	2.96 (3.02)	2.53 (2.58)	4.63 (4.72)	3.17 (3.23)	2.87 (2.93)	2.03 (2.07)			
F'坑 黒色頁岩 C _M	鉛直	2.22※ (2.26)	1.84 (1.88)	2.03 (2.07)	3.02※ (3.08)	2.58 (2.63)	2.37 (2.42)	1.25 (1.27)	クリープ試験含		
	水平	1.31 (1.34)	1.84 (1.88)	2.14 (2.18)	1.57 (1.60)	2.71 (2.76)	2.43 (2.48)	1.45 (1.48)			
	平行	2.51 (2.56)	1.33 (1.36)	1.28 (1.31)	1.27 (1.30)	1.58 (1.61)	1.24 (1.26)	0.76 (0.77)			
	直角	1.00 (1.02)	1.23 (1.25)	1.65 (1.68)	0.84 (0.86)	2.06 (2.10)	1.96 (2.00)	0.92 (0.94)			
F坑 黒色頁岩 C _M	鉛直	2.45 (2.50)	2.32 (2.37)	2.31 (2.36)	2.22 (2.26)	2.82 (2.88)	2.74 (2.79)	1.10 (1.12)	クリープ試験含		
	水平	2.29 (2.34)	2.16 (2.20)	1.79 (1.83)	2.00 (2.04)	2.46 (2.51)	1.77 (1.80)	0.91 (0.93)			
J坑 黒色頁岩 C _M	鉛直	1.18※ (1.20)	2.26 (2.30)	2.83 (2.89)	1.27※ (1.29)	3.84 (3.92)	2.91 (2.97)	1.65 (1.68)	クリープ試験含		
	水平	5.92 (6.04)	4.19 (4.27)	2.16 (2.20)	3.81 (3.89)	3.35 (3.42)	1.55 (1.58)	1.38 (1.41)			
F"坑 凝灰岩 C _L	鉛直	0.43 (0.44)	0.52 (0.53)	0.41 (0.42)	0.40 (0.41)	0.51 (0.52)	0.16 (0.16)	0.29 (0.30)			
	鉛直	0.49 (0.50)	0.64 (0.65)	0.70 (0.71)	0.57 (0.58)	0.74 (0.75)	0.65 (0.66)	0.40 (0.41)			
I坑 凝灰岩 C _L	鉛直	0.34 (0.35)	0.53 (0.54)	—	0.49 (0.50)	0.82 (0.84)	—	0.36 (0.37)			
H坑 黒色頁岩 C _L	鉛直	0.63 (0.64)	0.97 (0.99)	—	0.90 (0.92)	1.45 (1.48)	—	0.62 (0.63)			

※応力範囲 $0 \sim 0.49 \text{N/mm}^2$
 $(0 \sim 5 \text{kg/cm}^2)$

第3.5-3表(2) 平板載荷試験結果一覧表(その2)

試験番号	載荷方向	岩質	△ 応力範囲 荷重分担	割線弾性係数 ($\times 10^3 \text{N/mm}^2$)			接線弾性係数 ($\times 10^3 \text{N/cm}^2$)			変形係数 ($\times 10^3 \text{N/mm}^2$)	
				$(\times 10^4 \text{kg/cm}^2)$			$(\times 10^4 \text{kg/cm}^2)$				
				0~0.98 (N/mm ²)	0~0.98 (N/mm ²)	0~9.81 (N/mm ²)	0.49~0.98 (N/mm ²)	0.98~3.92 (N/mm ²)	9.81~ σ_{\max} (N/mm ²)		
M-7	鉛直	凝灰岩	C L	0~10 (kg/cm ²)	0~10 (kg/cm ²)	0~100 (kg/cm ²)	5~10 (kg/cm ²)	10~40 (kg/cm ²)	100~ σ_{\max} (kg/cm ²)	$(\times 10^4 \text{kg/cm}^2)$	
M-9				0.44 (0.45)	0.65 (0.66)	0.54 (0.55)	0.49 (0.50)	0.80 (0.82)	0.31 (0.32)		
M-10				0.45 (0.46)	0.58 (0.59)	0.36 (0.37)	0.45 (0.46)	0.72 (0.73)	0.10 (0.099)		
M-5				0.42 (0.43)	0.12 (0.12)	0.12 (0.12)	0.43 (0.44)	0.42 (0.43)	0.04 (0.04)		
M-6		黒色頁岩	D	0.44 (0.45)	0.52 (0.53)	0.43 (0.44)	0.41 (0.42)	0.63 (0.64)	0.24 (0.24)	0.34 (0.35)	
M-8				0.48 (0.49)	0.54 (0.55)	0.42 (0.43)	0.50 (0.51)	0.60 (0.61)	0.20 (0.20)	0.29 (0.30)	
M-1				0.62 (0.63)	0.49 (0.50)	0.07 (0.076)	0.46 (0.47)	0.47 (0.48)	0.03 (0.026)	0.22 (0.22)	
M-2		凝灰岩		0.27 (0.28)	0.33 (0.34)	0.26 (0.27)	0.26 (0.27)	0.40 (0.41)	0.08 (0.086)	0.22 (0.22)	
M-3				0.14 (0.14)	0.19 (0.19)	—	0.15 (0.15)	0.23 (0.23)	—	0.08 (0.085)	

第3.5-4表(1) ブロックせん断試験結果一覧表 (その1)

試験位置	せん断強度 (N/mm ²)	内部摩擦角 ϕ (°)	摘要
	(kg/cm ²)		
E坑 凝灰岩 C _H	1.76 (17.9)	55.0	流れ目方向
I'坑 黒色頁岩 C _H	1.14 (11.6)	53.9	流れ目方向
K坑 凝灰角礫岩 C _H	1.54 (15.7)	62.5	流れ目方向
F'坑 黒色頁岩 C _M	0.92 (9.4)	54.4	流れ目方向
	1.26 (12.8)	57.2	差し目方向
F''坑 凝灰岩 C _L	0.59 (6.0)	37.9	流れ目方向
	0.54 (5.5)	55.5	差し目方向

第3.5-4表(2) ブロックせん断試験結果一覧表(その2)

試験位置		せん断強度 (N/mm ²) (kg/cm ²)	内部摩擦角 ϕ (°)
M坑	凝灰岩 C _L	0.56 (5.7)	23.7
	黒色頁岩 C _L	0.28 (2.9)	44.7
	凝灰岩 D	0.21 (2.1)	46.3

第3.5-5表 孔内載荷試験結果一覧表

ボーリング No.	測定深度 (m)	岩質	岩級分類	コアの状態	R, Q, D (%)		剛線弹性係数 ($\times 10^3 \text{N/mm}^2$) ($\times 10^4 \text{kg/cm}^2$)	接線弹性係数 ($\times 10^3 \text{N/mm}^2$) ($\times 10^4 \text{kg/cm}^2$)	变形係数 ($\times 10^3 \text{N/mm}$) ($\times 10^4 \text{kg/cm}$)
					($\times 10^3 \text{N/mm}^2$)	($\times 10^4 \text{kg/cm}^2$)			
306	15.85 ~ 16.35	凝灰質頁岩	C _H	長柱状～短柱状	56	1.74	3.50	1.27	(1.30)
	20.55 ~ 21.05	凝灰岩	C _M	岩片状～短柱状	0	2.72	3.74	1.96	(2.00)
	131.25 ~ 131.75	凝灰岩	C _H near B	長柱状	100	4.26	6.63	3.14	(3.20)
	20.25 ~ 20.75	黒色頁岩	C _M	短柱状～岩片状	0	2.21	5.72	1.54	(1.57)
308	21.00 ~ 21.50	黒色頁岩	C _M	短柱状	0	0.76	1.82	0.29	(0.30)
	21.75 ~ 22.25	黒色頁岩	C _M	短柱状	20	0.22	0.65	0.12	(0.12)
	65.45 ~ 65.95	黒色頁岩	C _H	長柱状	100	18.28	18.28	11.75	(11.98)
309	12.75 ~ 13.25	凝灰角礫岩	C _H	長柱状～短柱状	64	2.47	4.21	2.44	(2.49)
	14.00 ~ 14.50	凝灰角礫岩	C _H	長柱状	100	7.52	10.08	7.11	(7.25)
	42.15 ~ 42.65	黒色頁岩	C _H	長柱状～短柱状	82	6.63	6.63	5.10	(5.20)
310	45.25 ~ 45.75	黒色頁岩	C _H	長柱状	48	3.38	6.15	2.68	(2.73)
	108.25 ~ 108.75	凝灰角礫岩	C _H	長柱状	100	2.22	4.11	1.58	(1.61)
	17.75 ~ 18.25	黒色頁岩	C _L	短柱状	44	0.46	1.15	0.62	(0.63)
312	28.25 ~ 28.75	凝灰岩	C _M	短柱状～長柱状	54	4.95	6.49	2.23	(2.27)
	29.45 ~ 29.95	凝灰岩	C _H	長柱状	100	6.07	7.81	8.37	(8.53)
	11.75 ~ 12.25	凝灰岩	C _M	短柱状～長柱状	46	0.64	1.28	0.35	(0.36)
313	15.85 ~ 16.35	黒色頁岩	C _H near C _M	短柱状～岩片状	16	3.69	4.75	2.82	(2.88)
	16.95 ~ 17.45	凝灰質頁岩	C _H	長柱状	72	4.82	20.89	2.48	(2.53)
	28.25 ~ 28.75	凝灰岩	C _H	長柱状～岩片状	36	1.69	7.03	1.33	(1.36)
316	18.05 ~ 18.55	黒色頁岩	C _H	長柱状	100	1.72	7.17		
	19.75 ~ 20.25	黒色頁岩	C _L C _M C _H	長柱状～岩片状	50	11.04	19.73	4.55	(4.64)
	30.25 ~ 30.75	凝灰岩	C _M	長柱状～短柱状	44	1.81	10.02	1.50	(1.53)
	35.75 ~ 36.25	黒色頁岩	C _M	長柱状～岩片状	62	1.85	(10.22)		
	57.25 ~ 57.75	黒色頁岩	C _H	長柱状～短柱状	54	5.61	12.01	6.68	(6.81)

第3.5-6表 シュミット・ロック・ハンマ反発度測定結果一覧表

項目 岩級分類	試験個数 n	反発度の 平均値 \bar{x}	反発度の 標準偏差 σ	変動係数 c
C _L 級	46	14.7	4.7	0.32
C _M 級	364	28.5	9.4	0.33
C _H 級	335	38.3	9.3	0.24

注) 測定回数は1箇所当たり9回とし、結果の整理は9回の測定値のうち、最大値、最小値を除外した平均値で行った。

第3.5-7表 シームの物理試験結果一覧表

シーム名	試験項目		平均値
B23	密度(g/cm ³)		2.23
	含水比(%)		11.3
	比重		2.75
	粒度分布	礫分(%)	3.7
		砂分(%)	27.5
		シルト分(%)	36.3
		粘土分(%)	32.5

第3.6-1表(1) 影響要因等の比較検討結果(グループA)

評価対象施設	影響要因			選定理由
	① 基礎地盤、地 形等 の岩級、地 形等 のシームの 分布	② 施設直下 のシームの 分布	③ 施設総重量 (MN) (単位奥行当たりの 施設重量 ^{※1} (MN/m))	
代表施設に選定				
2号炉原子炉建物	C _M ～C _H 級 あり	3,278 (46.82) ②, ③	2.78	・施設直下にシームが分布していること及び施設総重量が最大である。 ・影響要因の番号付与数が最多であるため、簡便法を実施した結果、すべり安全率は最小である。
2号炉タービン建物	C _L ～C _H 級 あり	2,112 (41.08) ①, ②	4.80	・2号炉原子炉建物に比べ、局所的に C _L 級岩盤が分布するが、C _H 級が主体であり、施設総重量が小さい。 ・影響要因の番号付与数が2号炉原子建物と同数で最多であるため、簡便法を実施した結果、すべり安全率は2号炉原子炉建物より大きい。 以上のことから、2号炉原子炉建物の評価に代表させる。
2号炉廃棄物処理建物		1,167 (21.26)		
取水槽		382 (11.76)		
低圧原子炉代替注水ボンブ 格納槽	C _M ～C _H 級 あり	97 (7.27) ②	—	・2号炉原子炉建物に比べ、岩級及びシームの分布状況は同等であるが、施設総重量が小さいことから、2号炉原子炉建物の評価に代表させる。
第1ベントフィルタ格納槽		95 (7.06)		
取水管		3 (0.68)		
B-ディーゼル燃料貯蔵タ ンク基礎 ^{※2}	C _M 級 あり	36 (1.88) ②	—	・2号炉原子炉建物に比べ、岩級は C _M 級であるが、施設総重量が小さいことから、2号炉原子炉建物の評価に代表される。
屋外配管ダクト(B-ディー ゼル燃料貯蔵タンク～原子 炉建物)	C _H 級 あり	13 (4.79) ②	—	・2号炉原子炉建物に比べ、シームの分布状況は同等であるが、岩級は C _H 級であること、及び施設総重量も小さいことから、2号炉原子炉建物の評価に代表させる。
制御室建物		132 (6.00) ②	—	・2号炉原子炉建物に比べ、シームの分布状況は同等であるが、岩級は C _H 級であること、及び施設総重量も小さいことから、2号炉原子炉建物の評価に代表させる。
取水口		2 (0.10)		
2号炉排気筒		119 (4.16)		
屋外配管ダクト (タービン建物～放水槽)	C _M ～C _H 級 基礎地盤 が特徴的 あり	18 (2.57) ①, ②	6.55	・2号炉原子炉建物に比べ、基礎地盤が特徴的（基礎地盤周辺の地形形状が急勾配）であり、岩級及びシームの分布状況は同等であるが、施設総重量が小さい。 ・影響要因の番号付与数が2号炉原子建物と同数で最多であるため、簡便法を実施した結果、すべり安全率は2号炉原子炉建物より大きい。 以上のことから、2号炉原子炉建物の評価に代表させる。
屋外配管ダクト (タービン建物～排気筒)		8 (1.24)		
1号炉取水槽北側壁	C _M ～C _H 級 あり	4 (4.08) ②	—	・2号炉原子炉建物に比べ、岩級及びシームの分布状況は同等であるが、施設総重量が小さいことから、2号炉原子炉建物の評価に代表させる。

■：番号を付与する影響要因 ■：影響要因の番号付与が多い □：選定した代表施設

※1 施設総重量を施設の短辺方向の延長で除した値を記載。

※2 B-ディーゼル発電機燃料貯蔵タンク及び高压炉心スプレイ系ディーゼル発電機燃料貯蔵タンクの基礎

第3.6-1表(2) 影響要因等の比較検討結果(グレーブB)

設置盤	評価対象施設	影響要因			該当する影響要因 選定理由
		① 基礎地盤 の岩級、地 形等	② 施設直下 のシームの 分布	③ 施設総重量 (単位奥行当たりの 施設重量 ※ ₁ (MN/m))	
E L. +44m 盤	代表施設に選定 ガスタービン発電機建物	C _L 級	あり	411 (8.96)	①, ②, ③ ・C _L 級の岩盤が主体であること、施設直下にシームが分布していること、及び施設総重量が最大であることから、代表施設に選定する。
	ガスタービン発電機用軽油タ ンク基礎 屋外配管ダクト(ガスタービ ン発電機用軽油タンク～ガス タービン発電機)	C _L 級	あり	19 (1.05)	①, ② ・ガスタービン発電機建物に比べ、岩級及びシームの分布状況は同等であるが、施設総重量が小さいことから、ガスタービン発電機建物の評価に代表させる。
E L. +50m 盤	緊急時対策所用燃料地下タン ク	C _L ～C _H 級	あり	4 (1.02)	①, ② ・ガスタービン発電機建物に比べ、シームの分布状況は同等であるが、岩級はC _H 級が主体であること、及び施設総重量も小さいことから、ガスタービン発電機建物の評価に代表させる。
	緊急時対策所	C _M ～C _H 級	あり	93 (3.72)	② ・ガスタービン発電機建物に比べ、シームの分布状況は同等であるが、岩級はC _M ～C _H 級であること、及び施設総重量も小さいことから、ガスタービン発電機建物の評価に代表させる。

□ : 番号を付与する影響要因 □ : 影響要因の番号付与が多い □ : 選定した代表施設

※1 施設総重量を施設の短辺方向の延長で除した値を記載。

第3.6-1表(3) 影響要因等の比較検討結果(グレーブD)

評価対象施設	影響要因				選定理由
	① 基礎地盤の岩級、地形等	② 施設直下のシームの分布	③ 施設総重量 ^{*1} (MN) (単位奥行当たりの施設重量 ^{*2} (MN/m))	⑤ 埋戻土層さ(m) の厚さ(m)	
代表施設に選定 防波壁(逆T擁壁)	C _L ～C _H 級 基礎地盤が特徴的 (基礎地盤の改良強度がC _L 級以下相当)	あり	15 (0.65)	18.5	①, ② 2.99
防波壁 (波返重力擁壁)	C _M ～C _H 級 なし		154 (8.10)	29.0	③, ④, ⑤ 15.26

■ : 番号を付与する影響要因 ■ : 影響要因の番号付与が多い ■ : 選定した代表施設

※1 1 ブロック当たりの値を示す。

※2 1 ブロック当たりの施設重量を綫断方向の延長(逆T擁壁: 23.8m, 波返重力擁壁: 19m)で除した値を記載。

※3 両施設とも延長が長く、綫断方向に地質等が変化することから、影響要因②～⑤については、それぞれ最も厳しい諸元を記載。

第3.6-2表(1) 解析用物性値の設定方法（その1）

岩種	岩級	物理特性	強度特性		変形特性		減衰特性
			ピーク強度	残留強度	静的特性 静弾性係数	動的特性 動せん断弾性係数 動ボアソン比	
岩盤 (成相寺 層)	C _H 級						
	C _M 級						
	C _L 級						
	C _H 級						
	C _M 級						
	C _L 級						
頁岩と凝灰 岩の互層	C _H 級	プロック せん断試験	摩擦抵抗 試験	平板載荷試験			
	C _M 級						
	C _L 級						
凝灰岩・ 凝灰角礫岩	C _H 級						
	C _M 級						
	C _L 級						
ドレライト 岩盤 (頁入岩)	C _H 級						
	C _M 級						
	C _L 級						
安山岩	C _H 級						
	C _M 級						
	C _L 級						

第3.6-2表(2) 解析用物性値の設定方法（その2）

物理特性	強度特性		変形特性		減衰特性
	ピーカク強度	残留強度	静的特性	動的特性	
D級岩盤	中型三軸圧縮試験	中型三軸圧縮試験	静弾性係数 比	動せん断弹性係数 比	動的中型三軸 圧縮試験
	単純せん断試験	単純せん断試験		動的中型三軸圧縮試験	動的中型三軸 圧縮試験
シーム	密度試験 (飽和)	ピーカク 強度と 同じ値	動的単純せん断試験		動的大型三軸 圧縮試験
	大型三軸圧縮試験	大型三軸圧縮試験	動的大型三軸圧縮試験		動的大型三軸 圧縮試験
埋戻土, 盛土	三軸圧縮試験	三軸圧縮試験	繰返し中空ねじり せん断試験		繰返し中空ねじり せん断試験
	三軸圧縮試験	三軸圧縮試験	動的三軸圧縮試験		動的三軸圧縮試験
埋戻土 (購入土)	—	—	—	—	—
旧表土	慣用値	慣用値	慣用値	慣用値	慣用値
MMR	慣用値	慣用値	慣用値	慣用値	慣用値
改良地盤 (高压噴射搅拌工法)	凝灰岩・凝灰角礫岩 (C _m 級) を流用				
改良地盤 I (薬液注入工法)	埋戻土, 盛土を流用				
改良地盤 II (薬液注入工法)	せん断強度は PS検層に基づく 換算値 内部摩擦角は 簡易設定法に用いた N値に基づく 換算値	ピーカク強度 と同じ値	PS検層に基づく 換算値	G ₀ はPS検層 ひずみ依存特性は 動的大型三軸 圧縮試験 (埋戻土, 盛土を流用)	動的大型三軸 圧縮試験 (埋戻土, 盛土を流用)

第3.6-3表(1) 解析用物性値 (その1)

		物理特性		強度特性		静的変形特性		動的変形特性		減衰特性
		密度 ρ_s (g/cm ³)	せん断強度 τ_0 (N/mm ²)	内部摩擦角 ϕ (°)	残留強度 τ (N/mm ²)	静弾性係数 E ($\times 10^3$ N/mm ²)	静ボアン比 ν_s	動せん断弾性係数 G_d ($\times 10^3$ N/mm ²)	動ボアン比 ν_d	減衰定数 h
岩盤 (成相寺層)	C _H 級	2.57	1.14	54	1.48 $\sigma^{0.72}$	3.74	0.19	解析用物性値 (その2) 参照		
	C _M 級	2.52	0.92	54	0.34 $\sigma^{0.54}$	1.95	0.20			
	C _L 級	2.44	0.28	45	0.34 $\sigma^{0.54}$	0.54	0.20			
	C _H 級	2.56	1.14	54	1.28 $\sigma^{0.72}$	3.74	0.19			
	C _M 級	2.49	0.92	54	0.34 $\sigma^{0.54}$	1.95	0.20			
	C _L 級	2.33	0.28	28	0.34 $\sigma^{0.54}$	0.43	0.20			
岩盤 (貫入岩)	C _H 級	2.51	1.54	55	1.28 $\sigma^{0.72}$	7.78	0.19	解析用物性値 (その2) 参照		
	C _M 級	2.44	1.14	47	0.34 $\sigma^{0.54}$	1.47	0.20			
	C _L 級	2.30	0.60	28	0.34 $\sigma^{0.54}$	0.43	0.25			
	C _H 級	2.78	2.14	52	1.56 $\sigma^{0.72}$	7.78	0.22			
	C _M 級	2.60	1.58	52	0.36 $\sigma^{0.54}$	1.47	0.25			
	C _L 級	2.53	0.83	43	0.36 $\sigma^{0.54}$	0.43	0.25			
岩盤 (貫入岩)	C _H 級	2.68	2.14	52	1.56 $\sigma^{0.72}$	7.78	0.25	解析用物性値 (その2) 参照		
	C _M 級	2.68	1.58	52	0.36 $\sigma^{0.54}$	1.47	0.25			
	C _L 級	2.59	0.83	43	0.36 $\sigma^{0.54}$	0.43	0.25			

第3.6-3表(2) 解析用物性値 (その2)

		動せん断弾性係数 G_d ($\times 10^3$ N/mm 2)						動弾アソシ比 v_d								
		第① 速度層	第② 速度層	第③ 速度層	第④ 速度層	第⑤ 速度層	第⑥ 速度層	第① 速度層	第② 速度層	第③ 速度層	第④ 速度層	第⑤ 速度層	第⑥ 速度層			
頁岩 (成相寺層)	C _h 級	0.16	2.08	6.58	9.77	10.28	14.19	頁岩と凝灰岩 の互層	凝灰岩・ 凝灰角礫岩	C _h 級	0.16	2.07	6.55	9.73	10.24	14.14
	C _m 級	0.16	2.04	6.45	9.58	10.08	13.92									
	C _l 級	0.15	1.98	6.25	9.28	9.76	13.47									
	C _h 級	0.16	2.07	6.55	9.73	10.24	14.14									
	C _m 級	0.16	2.02	6.37	9.47	9.96	13.75									
	C _l 級	0.15	1.89	5.96	8.86	9.32	12.87									
岩盤 (貴入岩)	C _h 級	0.16	2.03	6.43	9.54	10.04	13.86	ドレライト	安山岩	C _h 級	0.17	2.25	7.12	10.57	11.12	15.35
	C _m 級	0.15	1.98	6.25	9.28	9.76	13.47									
	C _l 級	0.14	1.86	5.89	8.75	9.20	12.70									
	C _h 級	0.17	2.25	7.12	10.57	11.12	15.35									
	C _m 級	0.16	2.11	6.66	9.89	10.40	14.36									
	C _l 級	0.16	2.05	6.48	9.62	10.12	13.97									
岩盤 (貴入岩)	C _h 級	0.17	2.17	6.86	10.19	10.72	14.80			C _h 級	0.16	2.10	6.63	9.85	10.36	14.30
	C _m 級	0.17	2.17	6.86	10.19	10.72	14.80									
岩盤 (貴入岩)	C _l 級	0.16	2.10	6.63	9.85	10.36	14.30									

第3.6-3表(3) 解析用物性値 (その3)

	物理特性	強度特性			静的変形特性			動的変形特性			減衰特性
		せん断強度 τ_0 (N/mm ²)	内部摩擦角 ϕ (°)	残留強度 τ (N/mm ²)	静弾性係数 E (N/mm ²)	静ボアソン比 ν_s	動せん断弾性系数 G_d (N/mm ²)	動ボアソン比 ν_d			
D級岩盤	2.28	0.11	6	0.11+ $\sigma \tan 6^\circ$	141 $\sigma^{0.39}$	0.30	$G_o=148 \sigma^{0.49}$ (N/mm ²) $G/G_o=1/(1+\gamma/0.00062)$	0.45	$\gamma \leq 1 \times 10^{-4}$: h=0.023 $\gamma > 1 \times 10^{-4}$: h=0.023 +0.071 · Log($\gamma/0.0001$)	h	
ｼｰﾙﾞ	2.23	0.19	18	0.19+ $\sigma \tan 18^\circ$	$G_{0.5}=44 \sigma^{0.34}$	0.40	$G/G_o=225 \sigma^{0.31}$ (N/mm ²) $G/G_o=1/[1+(\gamma/0.00149)^{0.849}]$	0.45	$h=\gamma/(2.14\gamma+0.017)+0.031$		
埋戻土, 盛土	2.11	0.22	22	0.22+ $\sigma \tan 22^\circ$	$E_{0.5}=115 \sigma^{0.61}$	0.40	$G_o=749 \sigma^{0.66}$ (N/mm ²) $G/G_o=1/(1+\gamma/0.00027)$	0.45	$h=0.0958\gamma/(\gamma+0.00020)$		
埋戻土 (礫入土)	2.01	0.04	21	0.04+ $\sigma \tan 21^\circ$	$E_{0.5}=227 \sigma^{0.75}$	0.40	$G_o=275 \sigma^{0.61}$ (N/mm ²) $G/G_o=1/(1+\gamma/0.00048)$	0.45	$h=0.2179\gamma/(\gamma+0.00035)$		
旧表土	2.00	0.03	21	0.03+ $\sigma \tan 21^\circ$	$E_{0.5}=37 \sigma^{0.79}$	0.40	$G_o=240 \sigma^{0.61}$ (N/mm ²) $G/G_o=1/(1+\gamma/0.0011)$	0.45	$h=0.20\gamma/(\gamma+0.000413)$		
MMR	2.35	—	—	—	23,500	0.20	9,792	0.20	0.05		
改良地盤 (高圧噴射搅拌工法)	2.44	1.14	47	0.34 $\sigma^{0.54}$	1,470	0.20	6,250	0.38	0.03		
改良地盤 I (薬液注入工法)	2.11	0.22	22	0.22+ $\sigma \tan 22^\circ$	$E_{0.5}=115 \sigma^{0.61}$	0.40	$G_o=749 \sigma^{0.66}$ (N/mm ²) $G/G_o=1/(1+\gamma/0.00027)$	0.45	$h=0.0958\gamma/(\gamma+0.00020)$		
改良地盤 II (薬液注入工法)	改良地盤①	2.11	0.63	38	0.63+ $\sigma \tan 38^\circ$	1,087	0.33	$G_o=409$	0.33		
	改良地盤②	2.11	0.49	41	0.49+ $\sigma \tan 41^\circ$	898	0.33	$G_o=1/(1+\gamma/0.00027)$	0.33	$h=0.0958\gamma/(\gamma+0.00020)$	
	改良地盤③	2.11	1.14	41	1.14+ $\sigma \tan 41^\circ$	2,088	0.33	$G_o=785$	0.33		

第3.6-4表(1) すべり安全率 (2号炉原子炉建物 ①-①' 断面)

	すべり面形状	基準 ^{※1} 地震動	最小すべり ^{※2} 安全率		すべり面形状	基準 ^{※1} 地震動	最小すべり ^{※2} 安全率
1		Ss-D (+,-)	2.18 [8.55]			Ss-N1 (-,+)	4.30 [7.55]
2		Ss-D (+,+)	2.64 [8.93]			Ss-D (+,-)	3.20 [8.97]
3		Ss-D (-,+)	3.29 [8.92]				
4		Ss-D (+,+)	2.13 [8.56] 1.98 [8.56]				

【凡例】

埋戻土, 盛土	MMR	シーム	すべり安全率

※1 基準地震動 (+,+) は反転なし, (-,+) は水平反転, (+,-) は鉛直反転, (-,-) は水平反転かつ鉛直反転を示す。

※2 [] は、発生時刻 (秒) を示す。

※3 破線は液状化影響を考慮する範囲

第3.6-4表(2) すべり安全率 (2号炉原子炉建物 ②-②' 断面)

	すべり面形状	基準 ^{※1} 地震動	最小すべり ^{※2} 安全率		すべり面形状	基準 ^{※1} 地震動	最小すべり ^{※2} 安全率
1		Ss-N1 (-, +)	6.03 [7.53]			Ss-N1 (+, +)	5.36 [7.42]
2		Ss-N1 (-, +)	7.40 [7.40]			Ss-N1 (+, +)	2.67 [7.39]
3		Ss-N1 (+, +)	4.15 [7.39]				
4		Ss-N1 (+, +)	2.57 [7.39] 2.43 [7.39]				

【凡例】

: C _H 級 岩盤	: C _M 級 岩盤	: C _L 級 岩盤	: D級 岩盤
: 埋戻土、盛土	: シーム		
: すべり面 ^{※3}			
	: 最小すべり安全率	: すべり安全率	: (ばらつきを考慮した強度)

※1 基準地震動 (+, +) は反転なし, (-, +) は水平反転, (+, -) は鉛直反転, (-, -) は水平反転かつ鉛直反転を示す。

※2 [] は、発生時刻 (秒) を示す。

※3 破線は液状化影響を考慮する範囲

第3.6-4表(3) すべり安全率 (ガスタービン発電機建物 ③-③' 断面)

	すべり面形状	基準 ^{※1} 地震動	最小すべり ^{※2} 安全率		すべり面形状	基準 ^{※1} 地震動	最小すべり ^{※2} 安全率													
1		Ss-D (+, +)	2.90 [8.57]			Ss-N1 (-, +)	2.02 [7.75]													
2		Ss-N1 (-, +)	1.64 [7.70] 1.63 [7.70]			Ss-N1 (+, +)	3.63 [7.46]													
3		Ss-N1 (-, +)	1.98 [7.74]			Ss-N1 (-, +)	2.54 [7.75]													
4		Ss-N1 (+, +)	3.12 [7.45]																	
					<p>【凡例】</p> <table border="1"> <tr> <td>: C_H級 岩盤</td> <td>: C_M級 岩盤</td> <td>: C_L級 岩盤</td> <td>: D級 岩盤</td> </tr> <tr> <td>: 埋戻土、盛土</td> <td>: 埋戻土(購入土)</td> <td>— : シーム</td> <td></td> </tr> <tr> <td>— : すべり面</td> <td>□ : 最小すべり安全率</td> <td>□ : すべり率 (ばらつきを考慮した強度)</td> <td></td> </tr> </table> <p>※1 基準地震動 (+, +) は反転なし, (-, +) は水平反転, (+, -) は鉛直反転, (-, -) は水平反転かつ鉛直反転を示す。 ※2 [] は、発生時刻 (秒) を示す。</p>	: C _H 級 岩盤	: C _M 級 岩盤	: C _L 級 岩盤	: D級 岩盤	: 埋戻土、盛土	: 埋戻土(購入土)	— : シーム		— : すべり面	□ : 最小すべり安全率	□ : すべり率 (ばらつきを考慮した強度)				
: C _H 級 岩盤	: C _M 級 岩盤	: C _L 級 岩盤	: D級 岩盤																	
: 埋戻土、盛土	: 埋戻土(購入土)	— : シーム																		
— : すべり面	□ : 最小すべり安全率	□ : すべり率 (ばらつきを考慮した強度)																		

第3.6-4表(4) すべり安全率 (防波壁 (多重鋼管杭式擁壁)) (4-④, 断面)

すべり面形状	すべり面形状	すべり面形状	すべり面形状
3	3	3	3
防波壁右側からシームを通って防波壁左側に抜けるすべり面	防波壁右側からシームを通って防波壁左側に抜けるすべり面	防波壁右側からシームを通って防波壁左側に抜けるすべり面	防波壁右側からシームを通って防波壁左側に抜けるすべり面
1.67 [7.55]	1.60 [7.55]	1.77 [7.56]	2.62 [7.57]
SS-N1 (-, +)	SS-D (-, -)	SS-N1 (-, +)	SS-N1 (-, +)

※1 基準地盤動 $(+, +)$ (法区転空) $(-, +)$ (水平区転) $(+, -)$ (鉛直区転), $(-, -)$ (は水平区転か、鉛直区転を示す。

※※2 [] は、発生時刻(秒)を示す。
※※3 破線は液状化影響を考慮する範囲

[凡例]

	: C _H 級 岩盤		: C _M 級 岩盤		: C _L 級 岩盤		: D級 岩盤
	: 埋戻土, 盛土		: シーム				
	: すべり面		: 最小すべり安全率		: すべり安全率		
	: すべり面※3					: (ばらつきを考慮した強度)	

第3.6-4表(5) すべり安全率 (防波壁(逆T擁壁) ⑤-⑤'断面)

	すべり面形状	すべり面形状	基準 ^{*1} 地震動 最小すべり 安全率	基準 ^{*1} 地震動 最小すべり 安全率
1	逆T擁壁底面を通るすべり面	3	Ss-N1 (+, +) 5.90 [7.77]	Ss-D (+, +) 2.23 [13.10]
2	地盤改良部底面を通るすべり面	4	Ss-D (+, +) 8.18 [13.15]	Ss-D (-, -) 1.88 [8.98]
	B27 シームを通るすべり面			1.52 [8.98]
	B25・26 シームを通るすべり面			

*1 基準地震動 (+, +) は反転なし, (-, +) は水平反転, (+, -) は鉛直反転, (-, -) は水平反転かつ鉛直反転を示す。

*2 [] は、発生時刻 (秒) を示す。

*3 破線は液状化影響を考慮する範囲
グラウンドアンカーはモデル化せず、安全率算定時に
グラウンドアンカーによる緊張力を考慮する。

*4 シーム
：最小すべり安全率
：すべり面
：すべり面 (ばらつきを考慮した強度)

【凡例】

■ : C _M 級 岩盤	■ : C _M 級 岩盤	■ : D級 岩盤
■ : 埋戻土、盛土	■ : 改良地盤①	■ : 改良地盤②
— : シーム	— : すべり面	— : すべり面 ^{*3}
□ : 最小すべり安全率	□ : 最小すべり安全率	□ : 最小すべり安全率 (ばらつきを考慮した強度)

第3. 6-5表 地震時の最大接地圧

対象施設	基準地震動	地震時最大接地圧 (N/mm ²) 〔発生時刻(秒)〕	基礎地盤支持力の評価基準値 (N/mm ²)
2号灯原子灯建物	Ss-D (-, -)	2.19 [14.58]	9.8以上
防波壁(多重鋼管杭式擁壁)	Ss-D (-, -)	2.39 [8.80]	9.8以上
ガススタービン発電機建物	Ss-D (-, -)	1.01 [9.03]	3.9以上
防波壁(逆T擁壁)	Ss-F 2	0.38 [15.43]	1.4

第3.6-6表 各施設における基礎底面の鉛直相対変位及び傾斜

対象施設	検討断面	基準地盤動	最大鉛直相対変位 (cm) 〔発生時刻(秒)〕	最大傾斜	評価基準(値) の目安
2号炉原子炉建物	①-①' 断面 (南北)	Ss-D (-, +)	0.31 [8.60]	1/22,000	
ガスタービン発電機建物	③-③' 断面 (南北)	Ss-D (+, -)	0.17 [10.09]	1/28,000	1/2,000
防波壁 (多重鋼管杭式擁壁)	④-④' 断面 (南北)	Ss-D (+, -)	0.0056 [10.08]	1/39,000	
防波壁 (逆T擁壁)	⑤-⑤' 断面 (東西)	Ss-D (+, -)	5.38 [34.51]	1/158	

第3.6-7表 地震動及び地殻変動を考慮した最大傾斜

対象断層	評価施設	①地殻変動による傾斜		②地震動による最大傾斜		①+② 地殻変動及び地震動を考慮した最大傾斜*
		最大傾斜	傾斜方向	最大傾斜	傾斜方向	
陸域活断層 (宍道断層)	2号炉原子炉建物	1/17,000 (不確かさケース (断層傾斜角))	西方向	1/22,000 (S s-D)	北方向	1/9,000
	ガスタービン発電機建物 (多重鋼管杭式擁壁)	1/15,000 (不確かさケース (断層傾斜角))	西方向	1/28,000 (S s-D)	北方向	1/9,000
	防波壁 (逆T擁壁)	1/22,000 (不確かさケース (すべり角))	南方向	1/39,000 (S s-D)	北方向	1/14,000
海域活断層 (F-III断層+F-V断層)	防波壁 (多重鋼管杭式擁壁)	1/17,000 (不確かさケース (断層傾斜角))	西方向	1/158 (S s-D)	東方向	1/156
	2号炉原子炉建物	1/19,000 (下降最大ケース)	東方向	1/22,000 (S s-D)	北方向	1/10,000
	ガスタービン発電機建物 (多重鋼管杭式擁壁)	1/18,000 (下降最大ケース)	東方向	1/28,000 (S s-D)	北方向	1/10,000
	防波壁 (逆T擁壁)	1/22,000 (上昇最大ケース)	南方向	1/39,000 (S s-D)	北方向	1/14,000
	防波壁 (逆T擁壁)	1/17,000 (下降最大ケース)	東方向	1/158 (S s-D)	東方向	1/156

* ①と②の傾斜方向が異なる場合も、保守的に①と②の傾斜を足し合わせることにより評価を実施する。

第3.6-8表(1) 影響要因等の比較検討結果(グレーブA)

耐震重要施設等に影響する おそれのある斜面 (E L. +15m以下)	影響要因			該当する 影響要因	簡便法の 最小すべり 安全率	選定理由
	① 構成する岩級	② 斜面高さ	③ 斜面の勾配			
評価対象斜面に選定 2号炉南側切取斜面 (①-①, 断面)	C _h , C _m , C _L 級	94m	1:1.5	あり	①, ②, ④	2.41
防波壁(東端部) 周辺斜面 (④-④, 断面)	C _h , C _m , C _t , D級	60m	1:2.8 (一部, 急勾配部あり) 1:0.7の 急勾配部あり)	なし	①	2.82
防波壁(東端部) 周辺斜面 (⑤-⑤, 断面)	C _h , C _m , D級	25m	1:1.2	なし	①	3.93

: 番号を付与する影響要因 : 影響要因の番号付与が多い(簡便法のすべり安全率が小さい)
 : 選定した評価対象斜面

第3.6-8表(2) 影響要因等の比較検討結果(グレーブC)

上位クラス施設に影響する おそれのある斜面 グレーブC (E L. +44m~50m)	影響要因				選定理由 箇便法の 最小すべり 安全率
	【影響要因①】 構成する岩級	【影響要因②】 斜面高さ	【影響要因③】 斜面の勾配	【影響要因④】 シームの分布 の有無	
評価対象斜面に選定 ガスター・ビル発電機建物 周辺斜面 (⑦-⑦, 断面)	C _b , C _b , C _t , D 級	94	1 : 1.2, 1 : 1.5 あり	①, ②, ③, ④	1.51
緊急時対策所周辺斜面 (⑧-⑧, 断面)	C _b , C _t 級	25	1 : 1.5 なし	①	2.90

■ : 番号を付与する影響要因

□ : 影響要因の番号付与が多い(簡便法のすべり安全率が小さい)



: 選定した評価対象斜面

第3.6-9表(1) すべり安全率 (2号炉南側切取斜面 ①-①' 断面)

すべり面形状	基準 ^{※1} 地震動 最小すべり 安全率	すべり面形状	基準 ^{※1} 地震動 最小すべり ^{※2} 安全率
1	Ss-D (+,-) 1.62 [14.63]	3	Ss-N1 (-,+) 1.56 [7.45] 1.51 [7.45]
シーム沿いのすべり面 (法肩からシームを通して斜面中腹に抜けするすべり面)	シーム沿いのすべり面 (法肩からシームを通して法尻に抜けするすべり面)	シーム沿いのすべり面 (法肩からシームを通して、法尻のC _M 級とC _H 級の岩盤境界付近のC _M 級岩盤内を通過して法尻に抜けするすべり面)	シーム沿いのすべり面 (法肩からシームを通して、法尻のC _M 級とC _H 級の岩盤境界付近のC _M 級岩盤内を通過して法尻に抜けするすべり面)
2	Ss-N1 (-,+) 1.66 [7.45]	4	Ss-D (-,+) 1.57 [19.15]
シーム沿いのすべり面 (法肩からシームを通して、法尻のC _M 級とC _H 級の岩盤境界付近のC _M 級岩盤内を通過して法尻に抜けするすべり面)	シーム沿いのすべり面 (法肩からシームを通して、法尻のC _M 級とC _H 級の岩盤境界付近のC _M 級岩盤内を通過して法尻に抜けするすべり面)	簡便法により設定したすべり面	簡便法により設定したすべり面

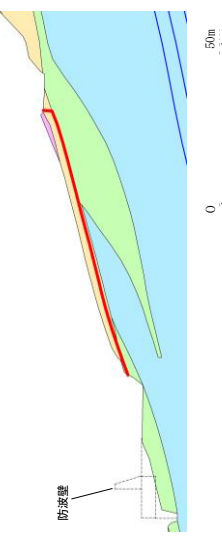
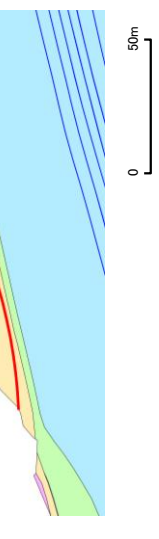
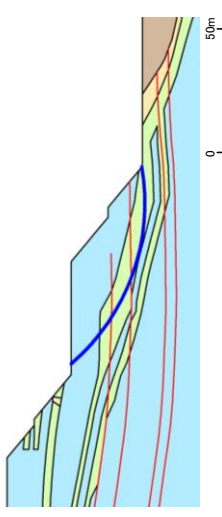
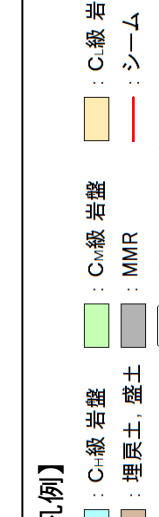
*1 基準地震動 (+,+) は反転なし, (-,+) は水平反転, (+,-) は鉛直反転, (-,-) は水平反転かつ鉛直反転を示す。
 *2 [] は、発生時刻 (秒) を示す。

【凡例】

: C _H 級岩盤	: C _M 級岩盤	: C _L 級岩盤	: D級岩盤
: 埋戻土, 盛土	: MMR	: シーム	: すべり安全率
: すべり面		: 最小すべり安全率	: (ばらつきを考慮した強度)

第3.6-9表(2) すべり安全率
(2号炉西側切取斜面 ②-②', 断面)

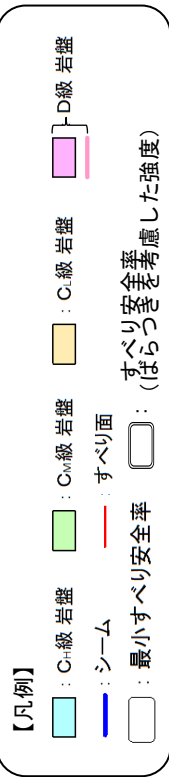
第3.6-9表(3) すべり安全率
(防波壁(西端部)周辺斜面 ③-③', 断面)

すべり面形状	基準※1 地震動	最小すべり 安全率	すべり面形状	基準※3 地震動	最小すべり 安全率
 <p>1</p> <p>簡便法により設定したすべり面</p>	Ss-D (-, +)	5.89 [8.55] 5.75 [8.55]	 <p>2</p> <p>D級の薄層を通るすべり面</p>	Ss-D (+, -)	2.31 [8.95] 1.97 [8.95]
 <p>1</p> <p>※1 基準地震動 (+, +) は反転なし, (-, +) は水平反転, (+, -) は鉛直反転, (-, -) は水平反転かつ鉛直反転を示す。</p> <p>※2 [] は、発生時刻(秒)を示す。</p>	Ss-D (-, +)	5.89 [8.55] 5.75 [8.55]	 <p>2</p> <p>簡便法により設定したすべり面</p>	Ss-D (+, -)	2.93 [8.61]

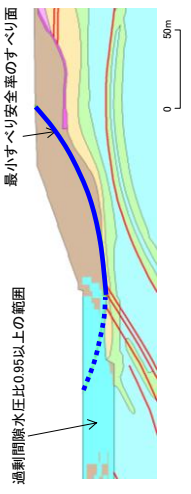
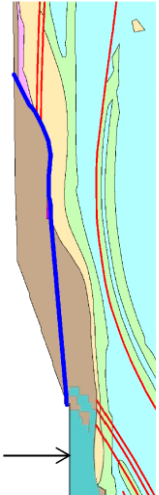
【凡例】

- : C_n級岩盤
- : C_w級岩盤
- : D級岩盤
- : 埋戻土、盛土
- : MMR
- : シーム
- : すべり面
- : 最小すべり安全率
- : (ばらつきを考慮した強度)

- ※3 基準地震動 (+, +) は反転なし, (-, +) は水平反転, (+, -) は鉛直反転, (-, -) は水平反転かつ鉛直反転を示す。
- ※4 [] は、発生時刻(秒)を示す。



第3.6-9表(4) すべり安全率 (2号炉南側盛土斜面 ⑥-⑥' 断面)

すべり面形状	基準※1 地震動	最小すべり 安全率	すべり面形状	基準※1 地震動	最小すべり 安全率
	Ss-N2 (NS) (-, +)	2.09 [25.10]		Ss-D (-, +)	1.61 [13.15] 1.56 [13.15]
簡便法により設定したすべり面			弱層 (旧表土) を通るすべり面		

※1 基準地震動 (+, +) は反転なし, (-, +) は水平反転, (+, -) は鉛直反転, (-, -) は水平反転かつ鉛直反転を示す。

※2 [] は、発生時刻 (秒) を示す。

※3 破線は液状化影響を考慮する範囲

【凡例】	
C _v 級岩盤	C _v 級岩盤
埋戻土, 盛土	旧表土
すべり面※3	シーム
すべり面	最小すべり安全率
.....	すべり安全率

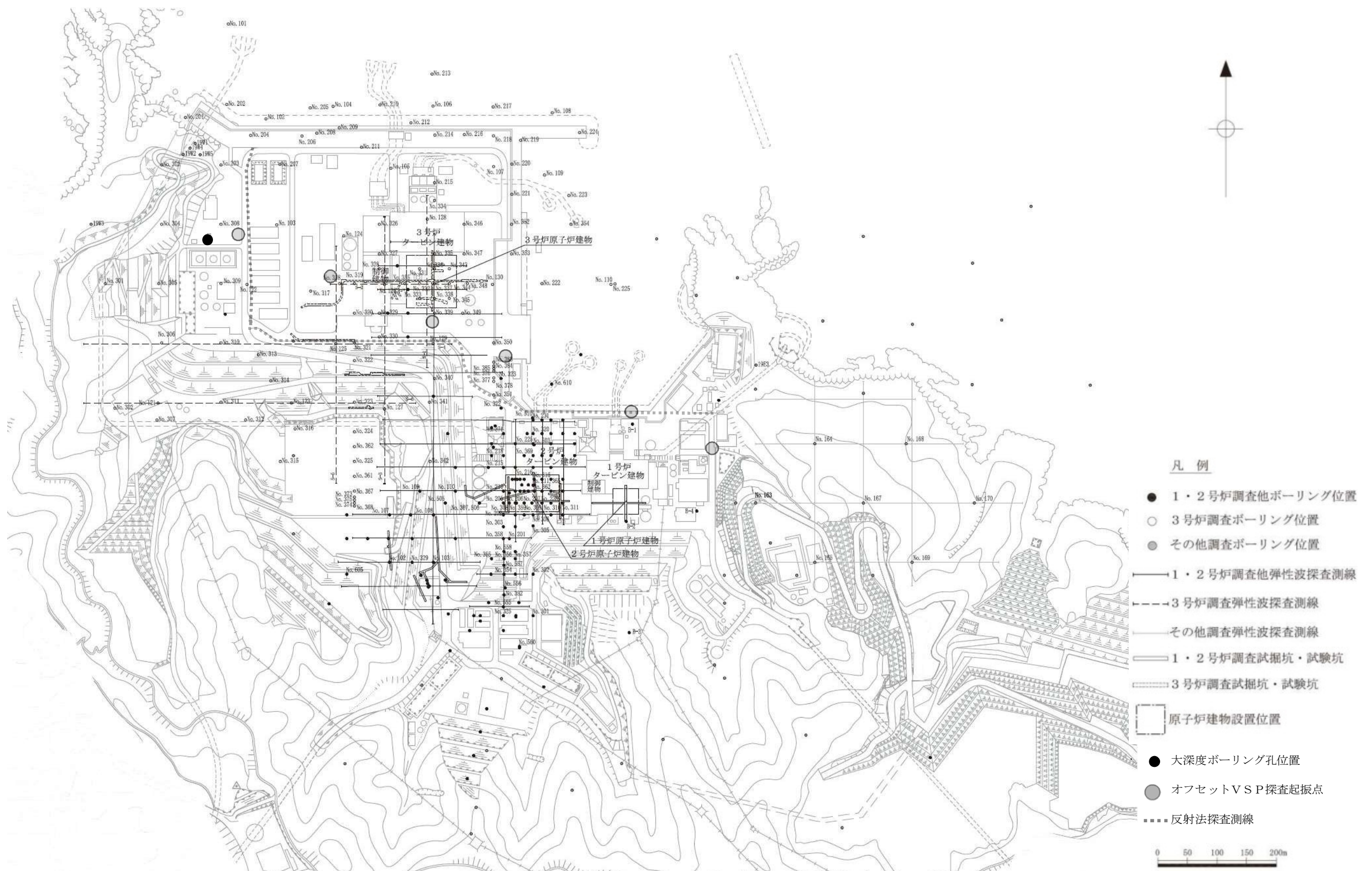
第3.6-9表(5) すべり安全率（ガスタービン発電機建物周辺斜面 ⑦-⑦'，断面）

	すべり面形状	基準※1 地震動	最小すべり※2 安全率
1		Ss-N1 (+, +)	2.07 [7.59] 1.68 [7.59]
2		Ss-N1 (-, +)	2.25 [7.58]

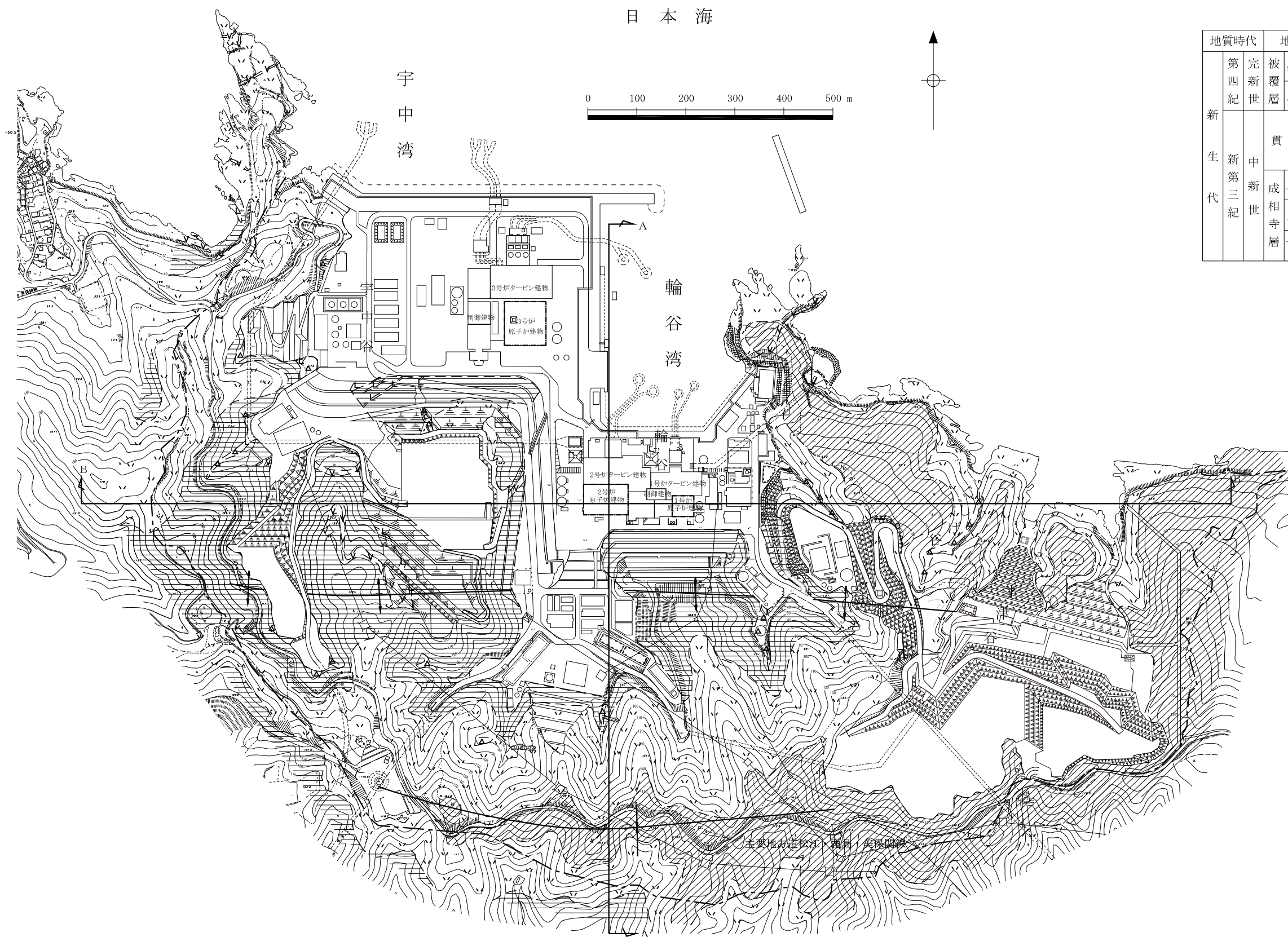
※1 基準地震動 (+, +) は反転なし, (-, +) は水平反転, (+, -) は鉛直反転, (-, -) は水平反転かつ鉛直反転を示す。

※2 [] は、発生時刻(秒)を示す。





第3.4-1図 敷地の地質調査位置図



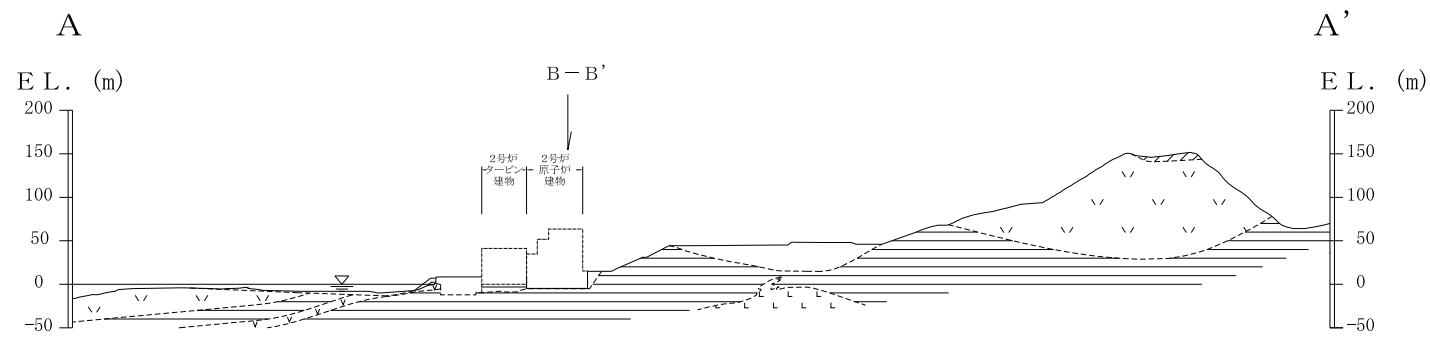
凡例

地質時代	地層名	主要構成地質	
			被覆層
新 生 代	盛土・造成盤	礫混り砂質土・礫混り粘性土	△ △
	崖錐堆積物	礫混り砂質土・礫混り粘性土	△ △
	安山岩		V V
	ドレライト		L L
成 相 寺 層	上部頁岩部層	黑色頁岩	▨
	火碎岩部層	凝灰岩・凝灰角礫岩	▽ ▽
	下部頁岩部層	黑色頁岩・凝灰質頁岩	▨ ▨

----- 地質境界線
- - - 敷地境界線
— 背斜軸
— 向斜軸
□ 原子炉建物設置位置

第3.4-2図 敷地の地質平面図

A-A' 断面

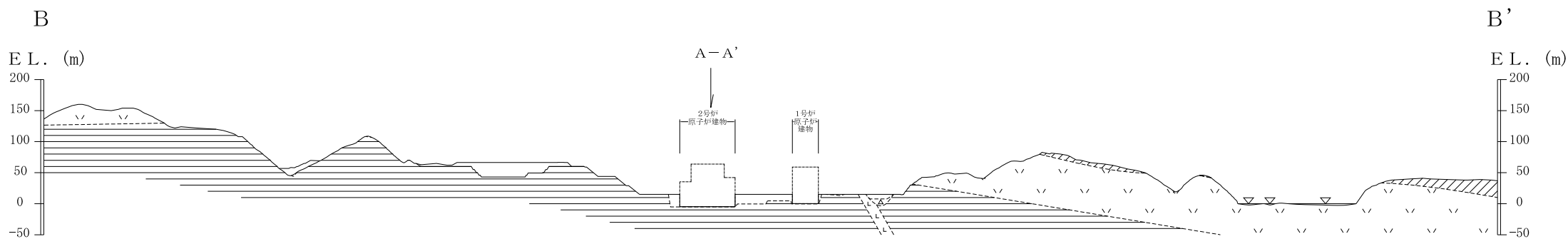


凡例

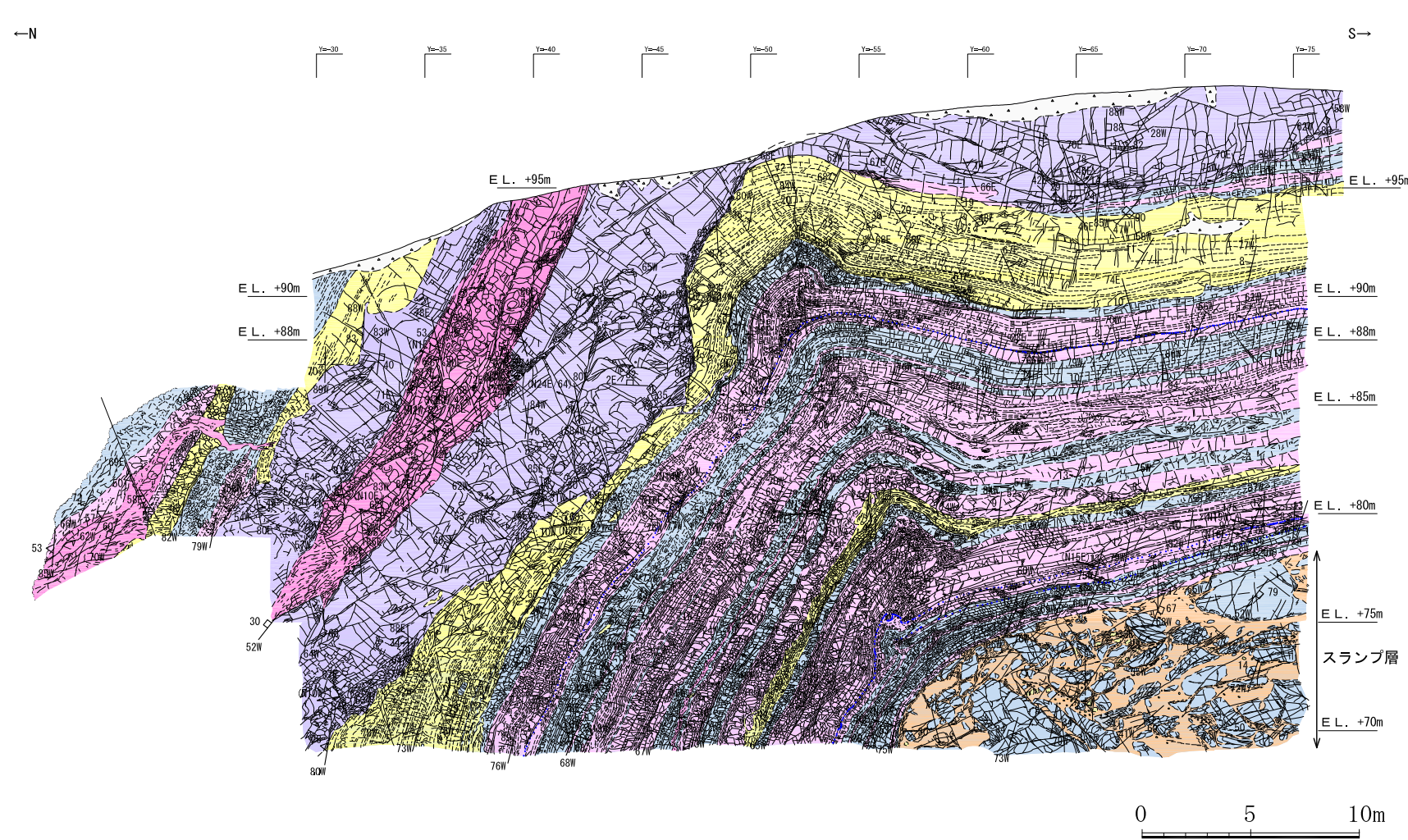
地質時代		地層名	主要構成地質	
新 生 代	第四 紀	完 新 世	被 覆 層	礫混じり砂質土・礫混じり粘性土
			崖錐堆積物	礫混じり砂質土・礫混じり粘性土
新 生 代	新 第三 紀	中 新 世	貫入岩類	安山岩
				ドレライト
新 生 代	新 第三 紀	成 相 寺 層	上部頁岩部層	黑色頁岩
			火碎岩部層	凝灰岩・凝灰角礫岩
			下部頁岩部層	黑色頁岩・凝灰質頁岩

0 100 200 300 400 500 m

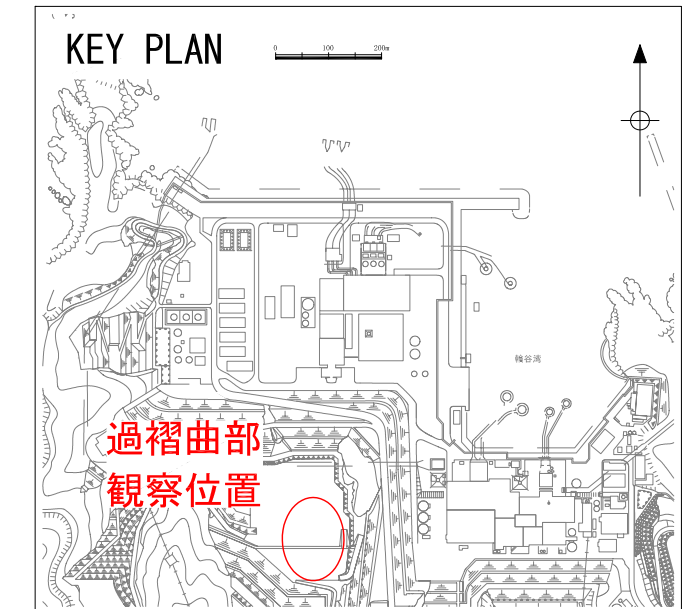
B-B' 断面



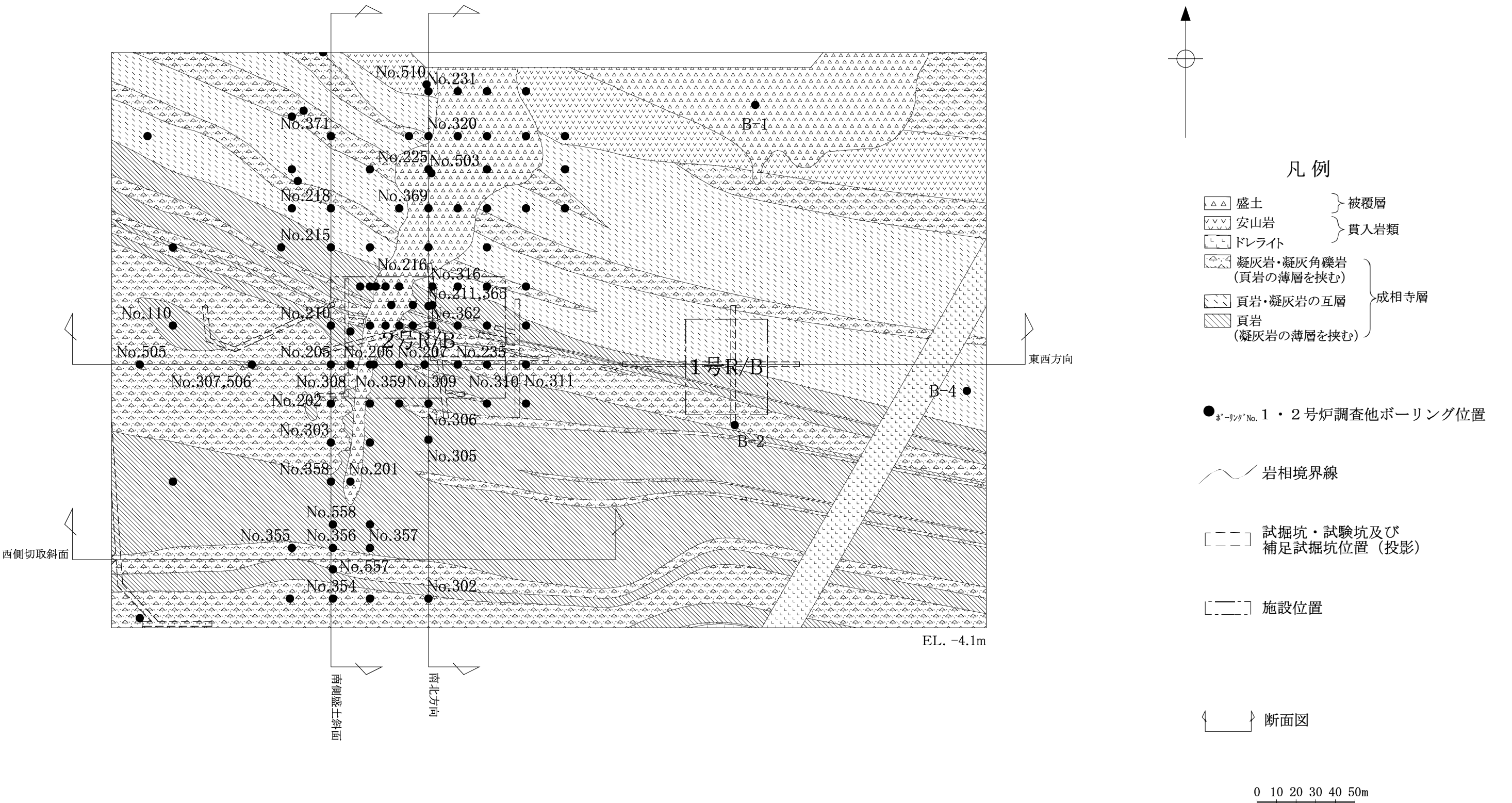
第3.4-3図 敷地の地質断面図



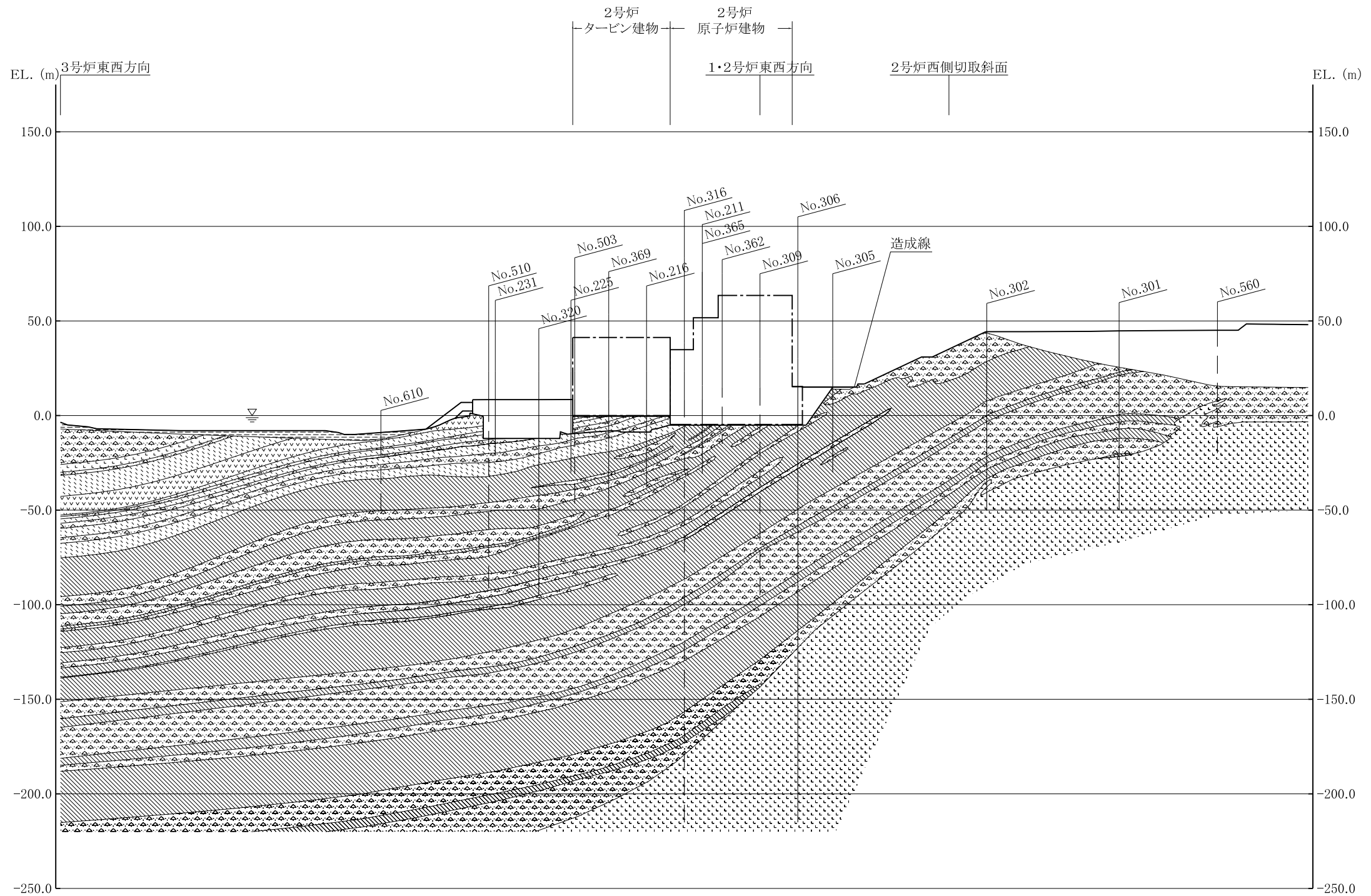
凡 例	
△	掘削ズリ
■	地質境界線
■	層理面
■	割れ目の走向・傾斜
■	貫入面の走向・傾斜
■	シーム (せん断面等の走向・傾斜) (条線方向)
△	安山岩
■	ドライ
■	凝灰角礫岩
■	火山礫凝灰岩
■	凝灰質頁岩
■	黒色頁岩



第3.4-4図 過褶曲部の法面写真及びスケッチ



第3.4-5図 地質水平断面図



凡例

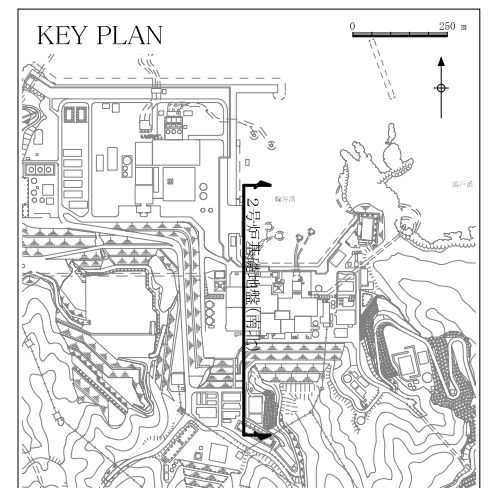
□ 盛土	被覆層
▨ 海底堆積物	
▼▼▼ 安山岩	貫入岩類
●●● ドレライト	
▨▨▨ 凝灰岩・凝灰角礫岩 (頁岩の薄層を挟む)	
▨▨▨ 頁岩・凝灰岩の互層	成相寺層
▨▨▨ 頁岩 (凝灰岩の薄層を挟む)	

岩相境界線

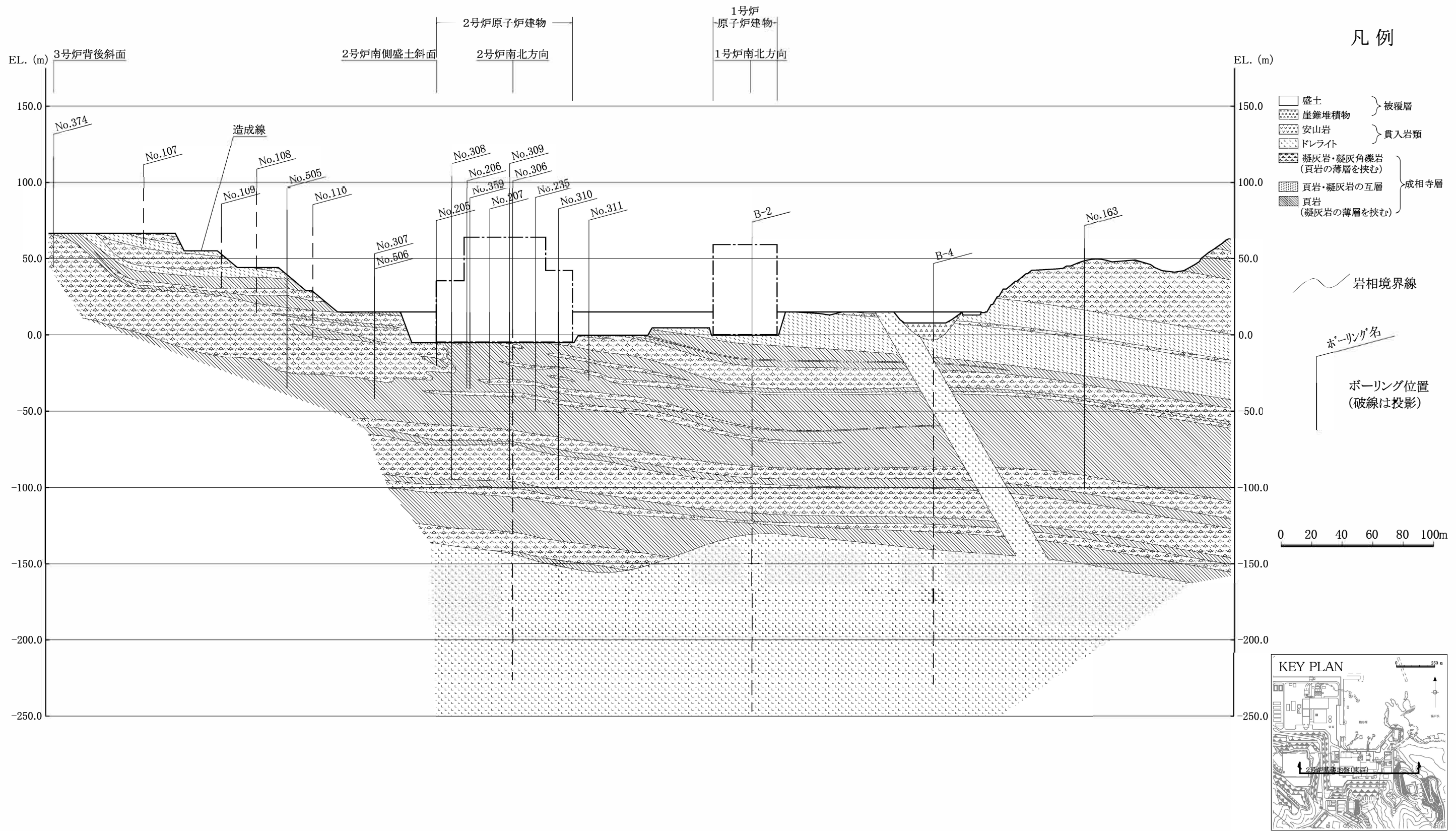
ボーリング名

ボーリング位置
(破線は投影)

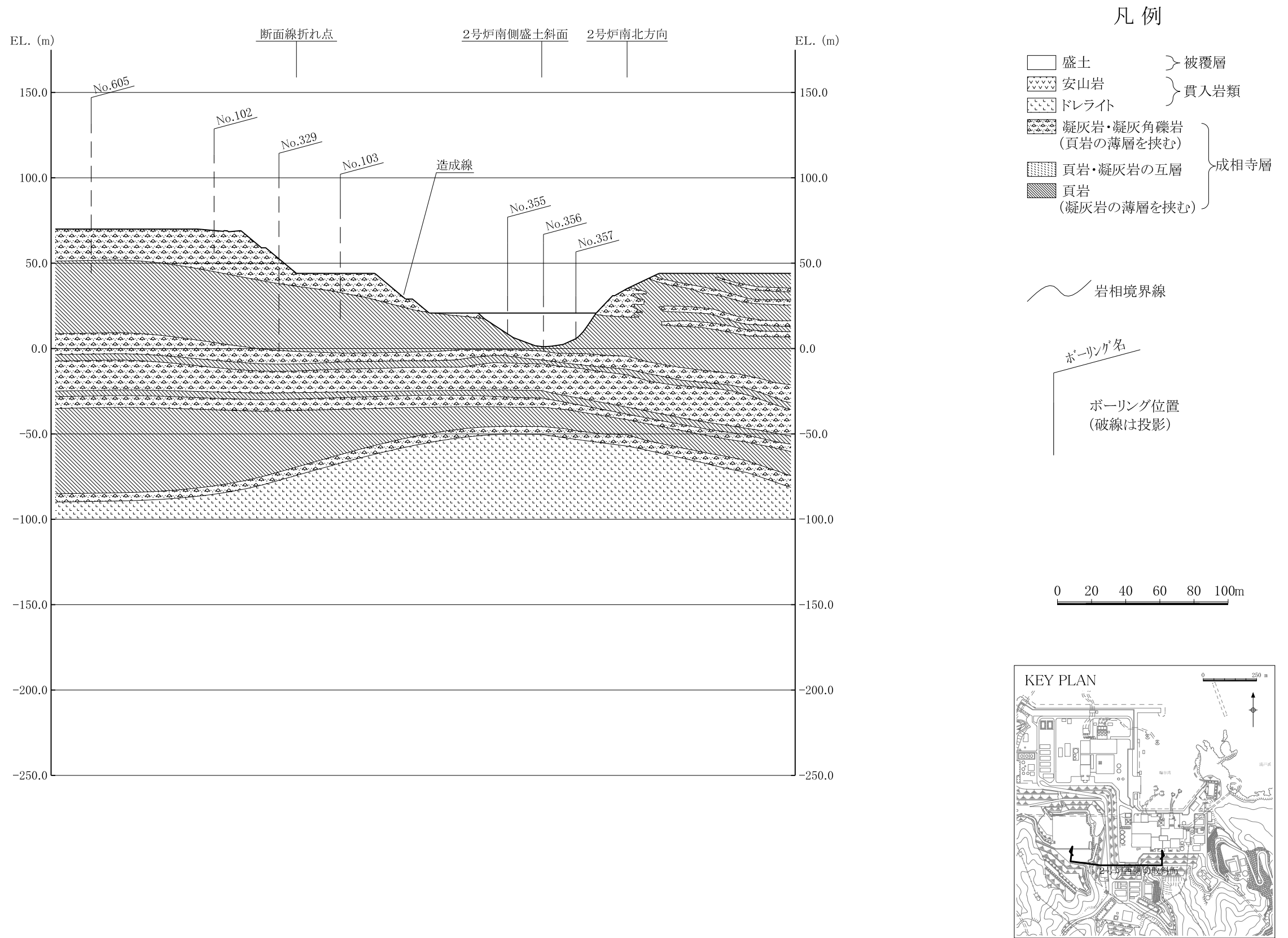
0 20 40 60 80 100m



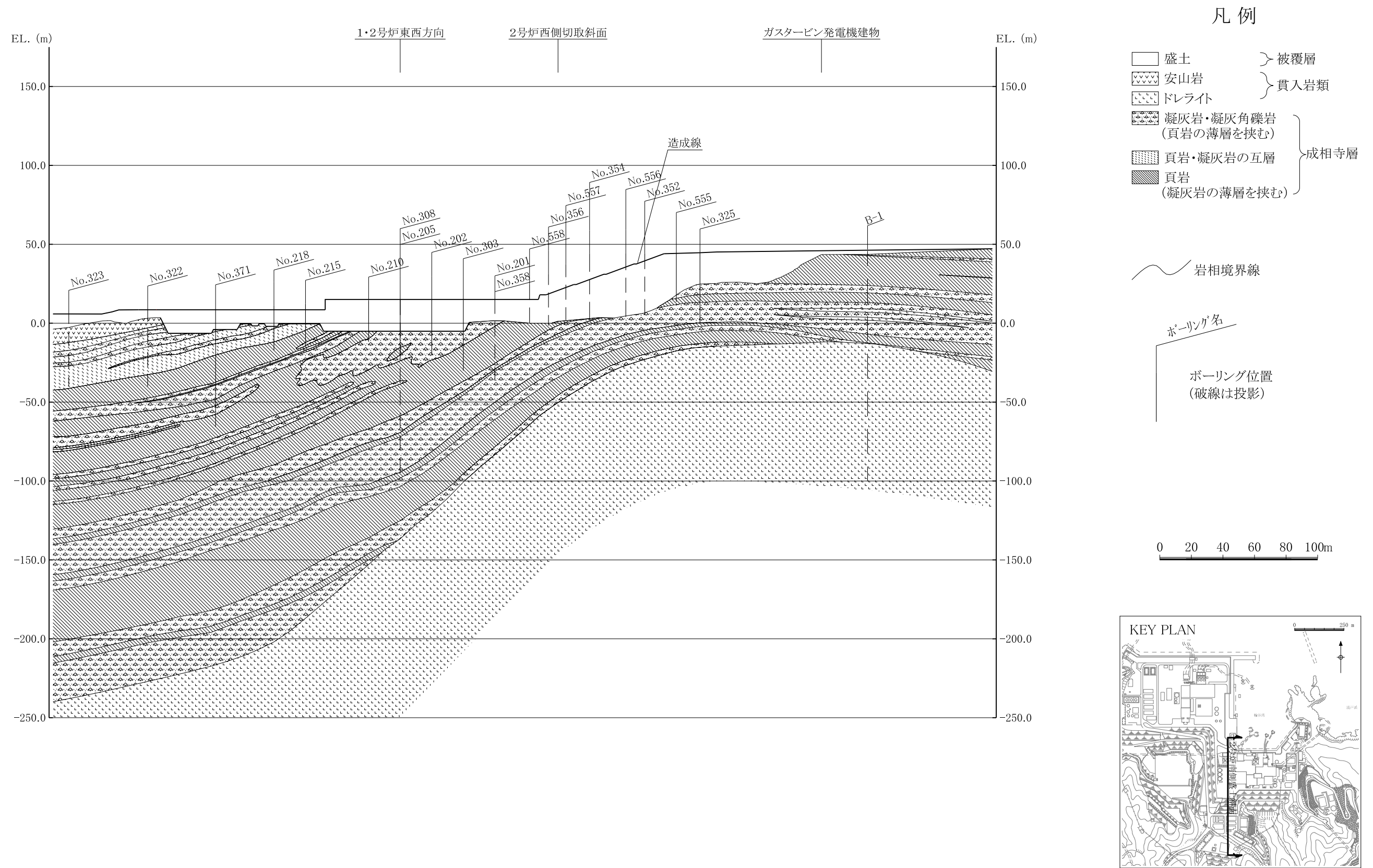
第3.4-6図(1) 地質鉛直断面図 (南北方向)



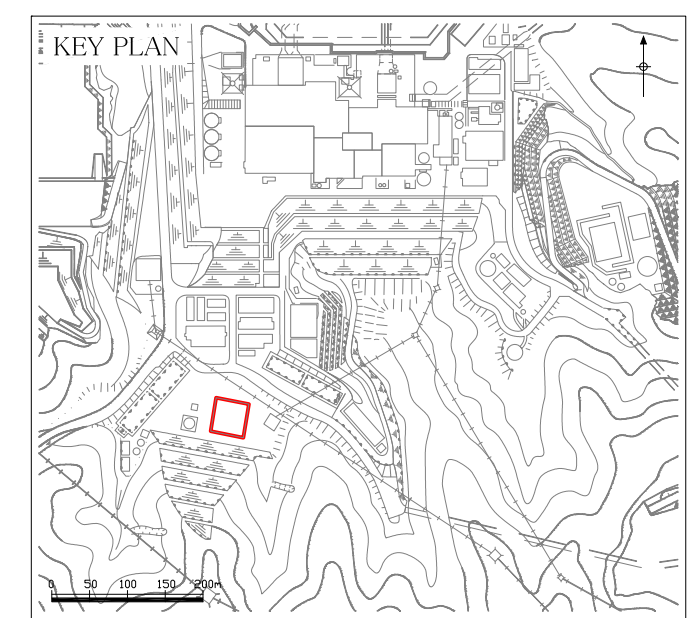
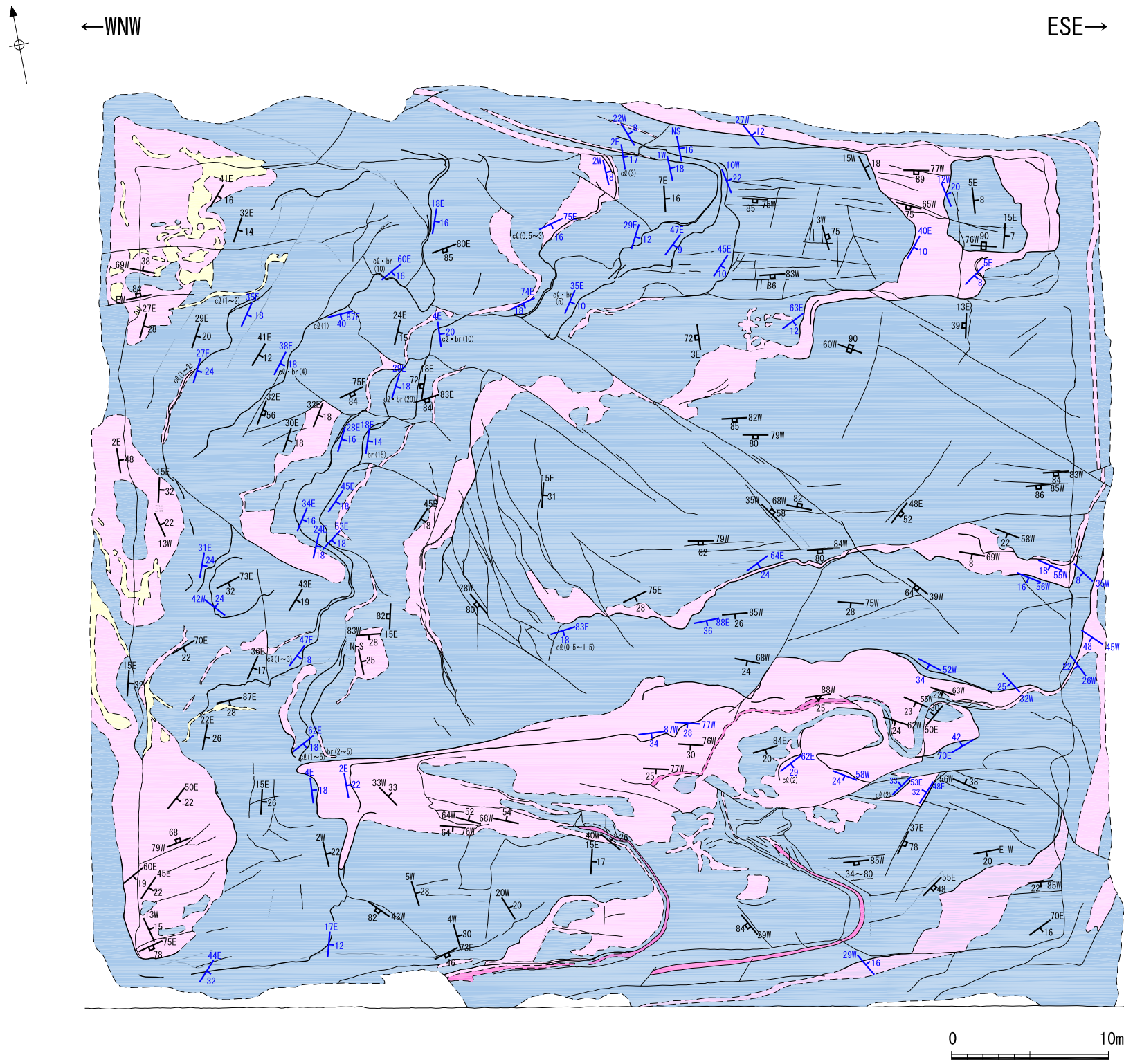
第3.4-6図(2) 地質鉛直断面図（東西方向）



第3.4-6図(3) 地質鉛直断面図（西側切取斜面）

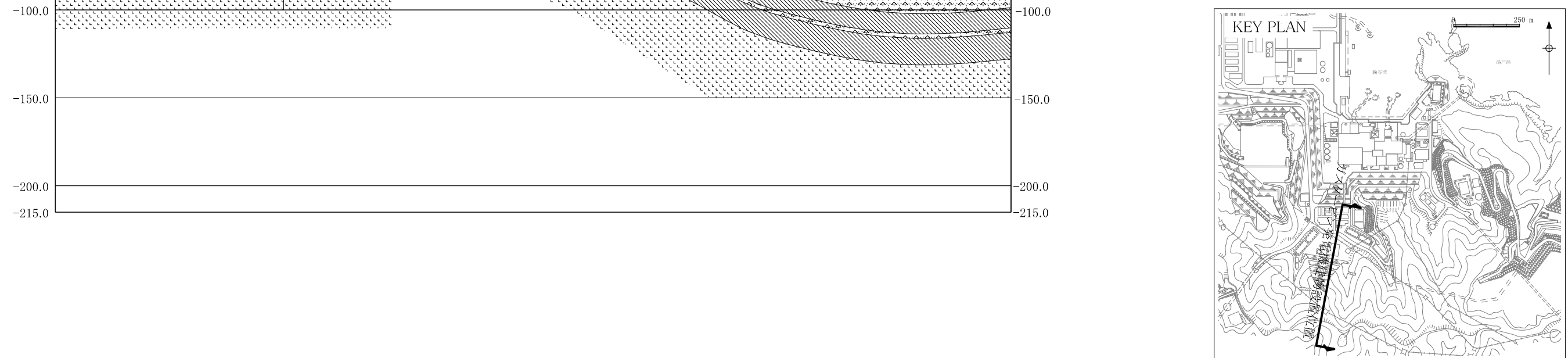
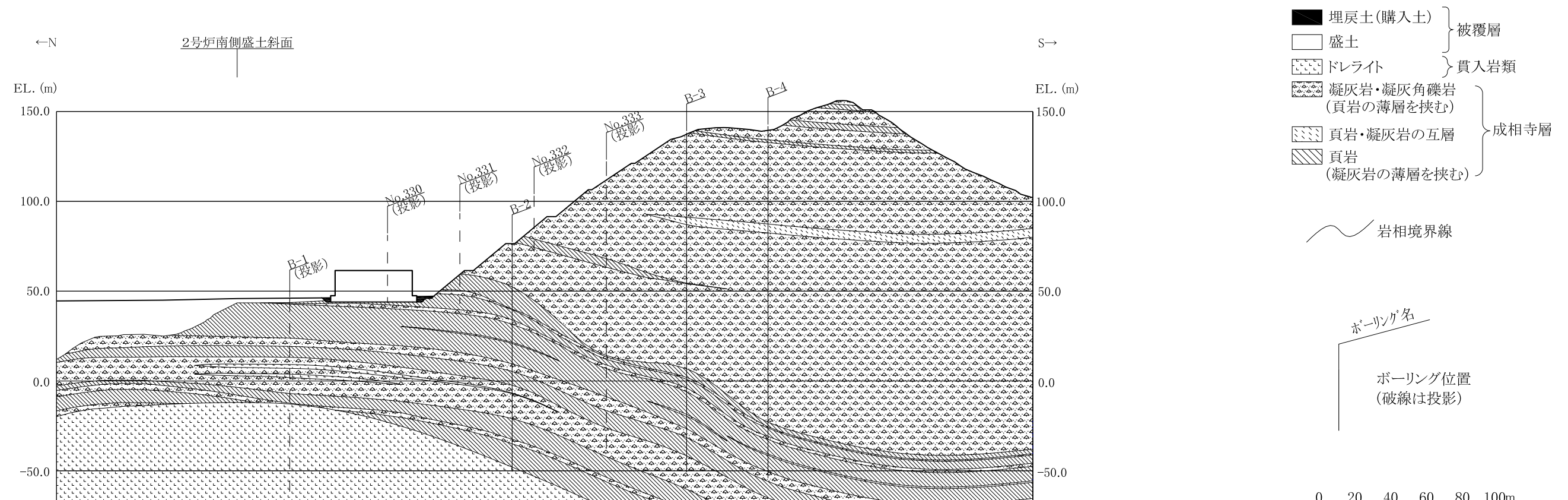


第3.4-6図(4) 地質鉛直断面図 (南側盛土斜面)

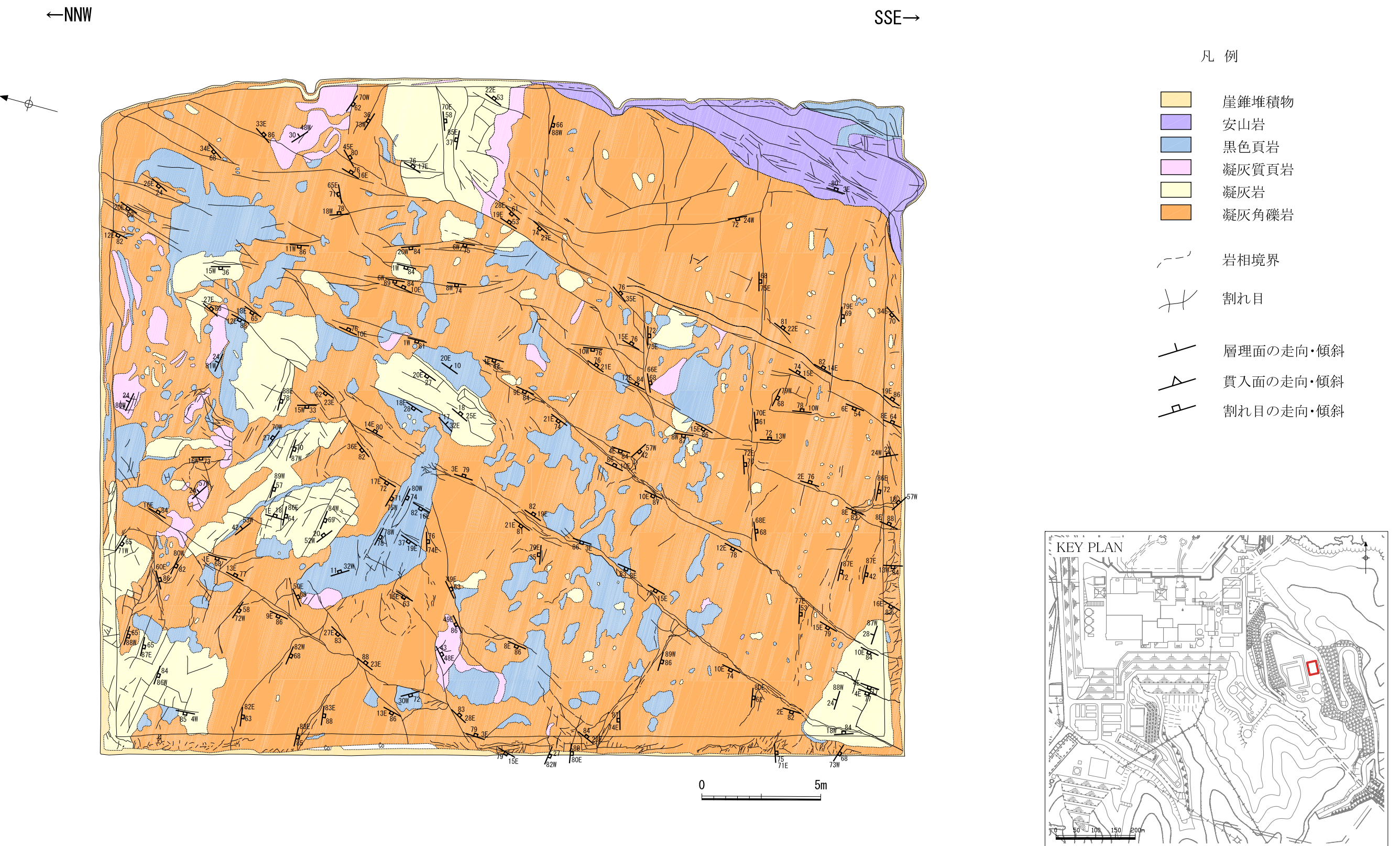


第3.4-7図 底面スケッチ (ガスタービン発電機建物設置位置)

凡例

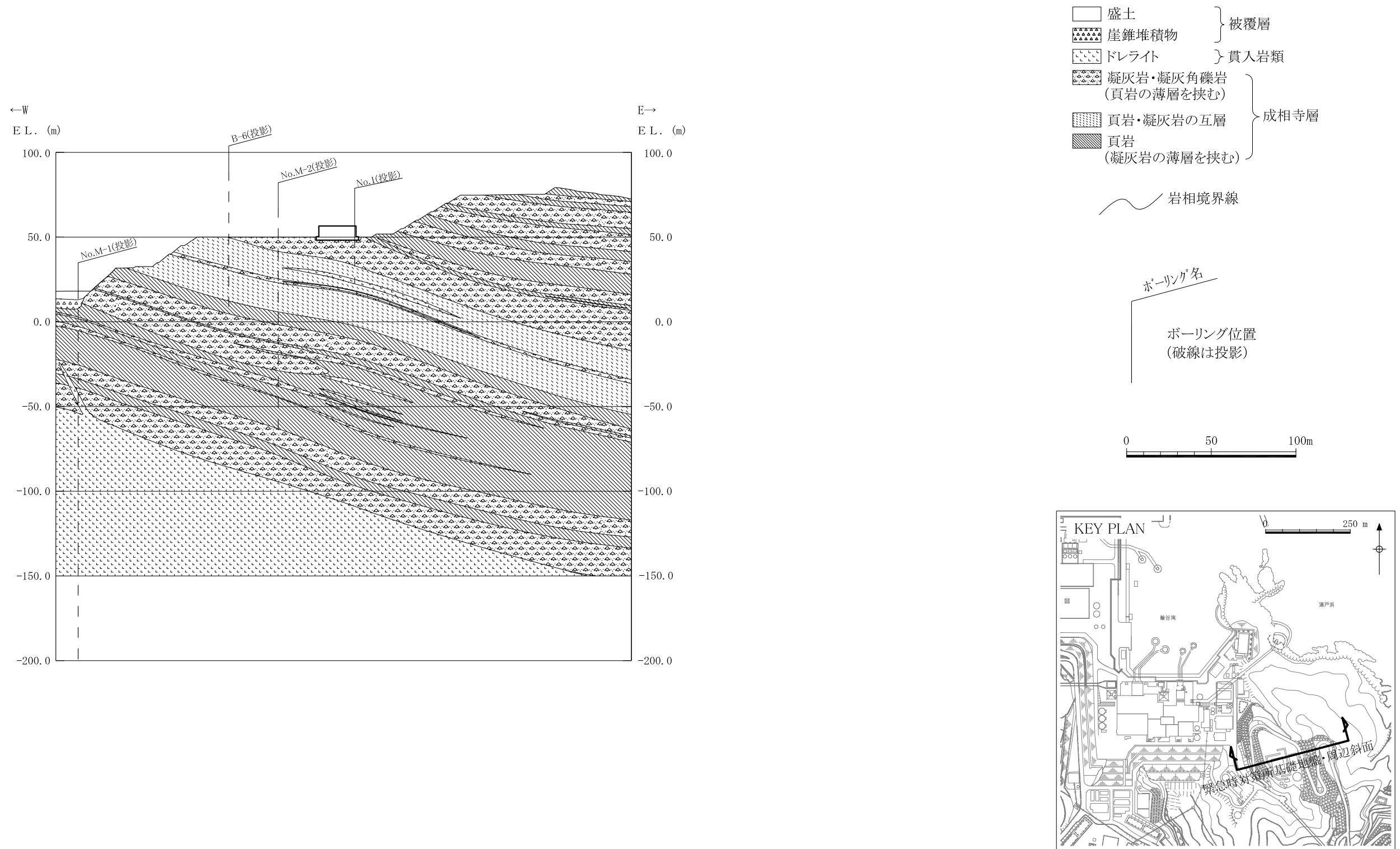


第3.4-8図 地質鉛直断面図（ガスタービン発電機建物設置位置）

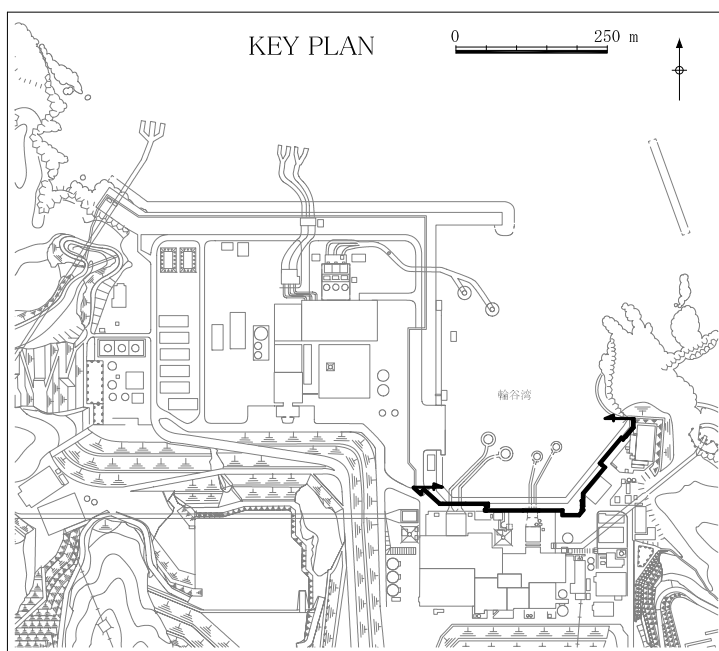
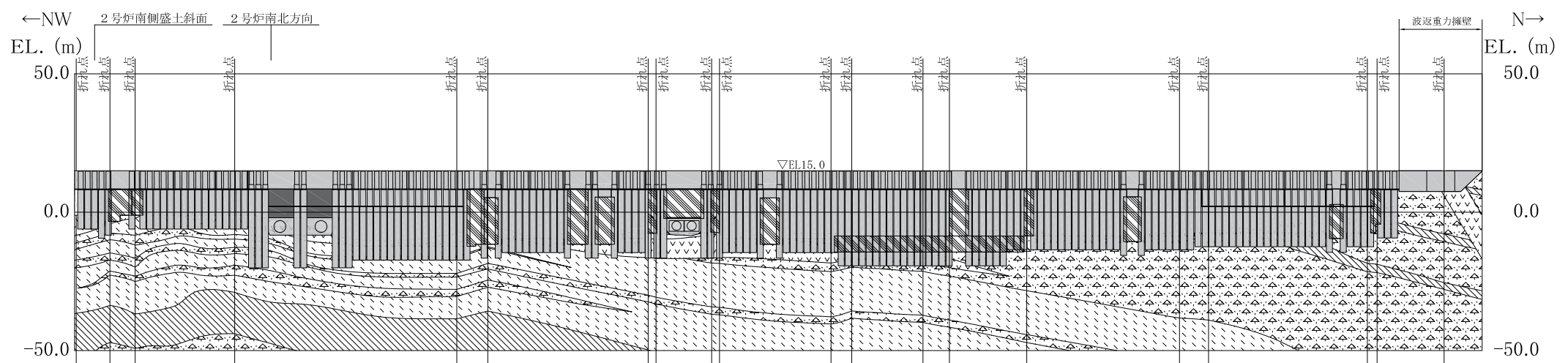


第3.4-9図 底面スケッチ（緊急時対策所設置位置）

凡例



第3.4-10図 地質鉛直断面図（緊急時対策所設置位置）



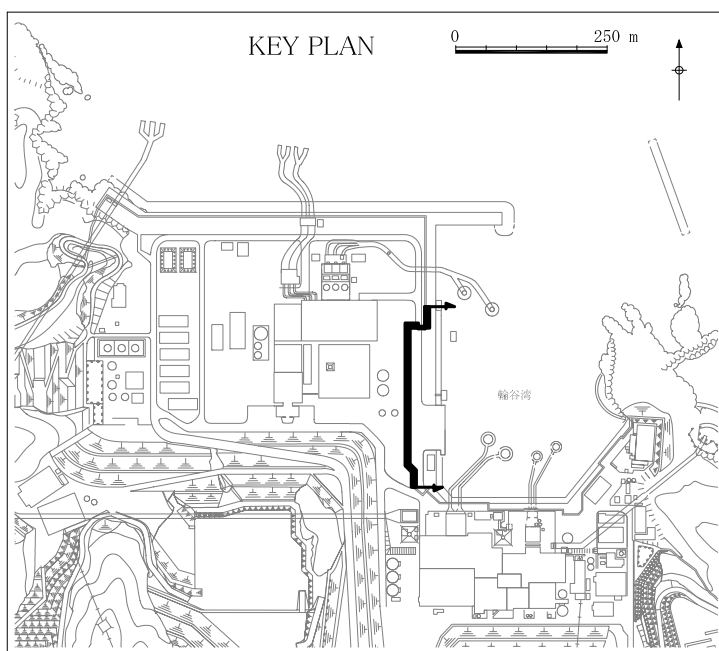
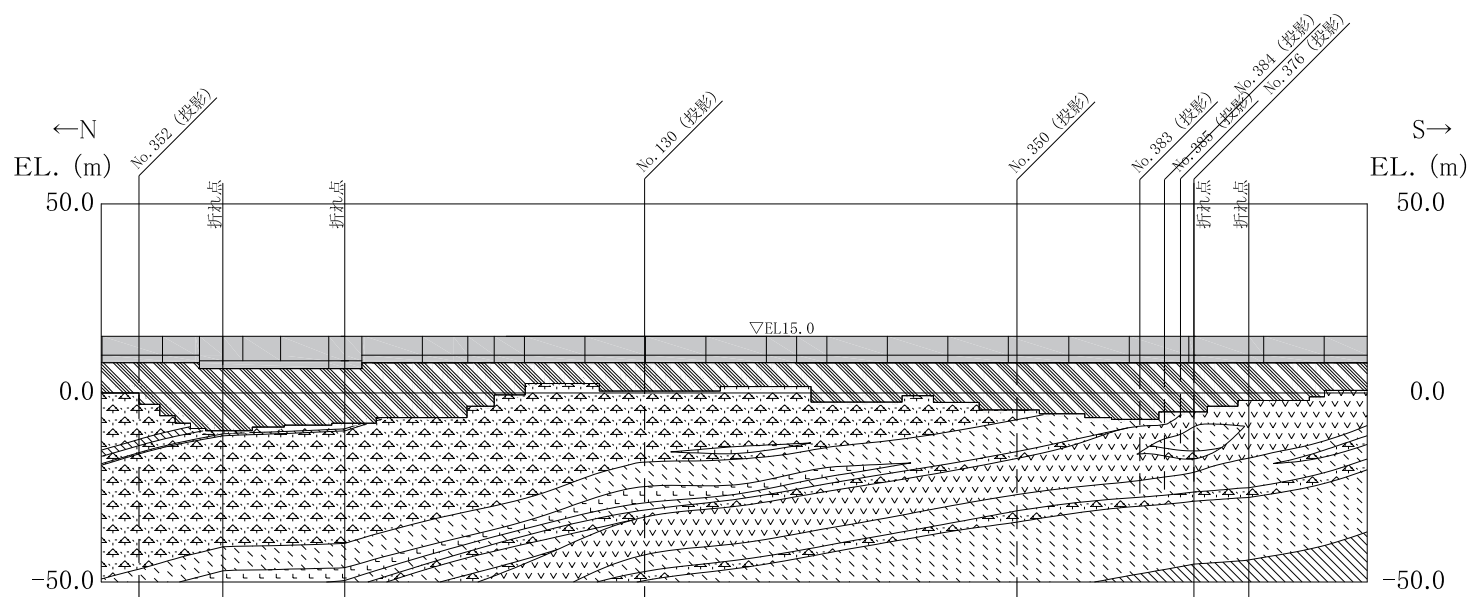
凡 例

盛土	被覆層
安山岩	貫入岩類
ドレライト	
凝灰岩・凝灰角礫岩 (頁岩の薄層を挟む)	
頁岩・凝灰岩の互層	成相寺層
頁岩 (凝灰岩の薄層を挟む)	

岩相境界線
 地盤改良部
 人工構造物
 MMR



第3.4-11図(1) 地質鉛直断面図 (防波壁 (多重鋼管杭式擁壁))



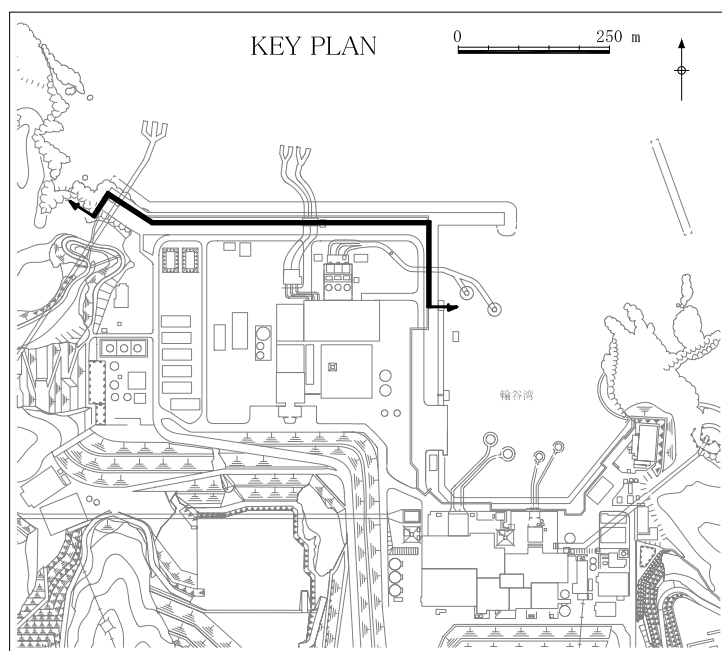
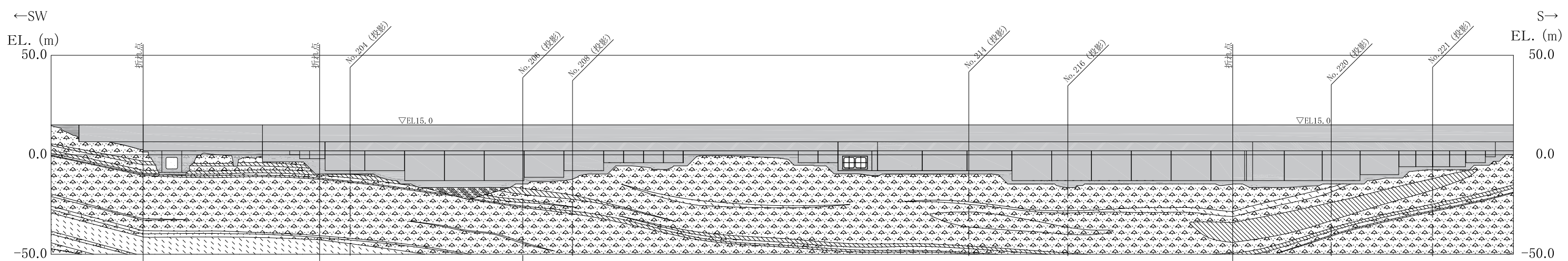
盛土	被覆層
安山岩	貫入岩類
ドレーライ	
凝灰岩・凝灰角礫岩 (頁岩の薄層を挟む)	成相寺層
頁岩・凝灰岩の互層	
頁岩 (凝灰岩の薄層を挟む)	

凡 例

ボーリング名
ボーリング位置
(破線は投影)
岩相境界線
地盤改良部
人工構造物

0 50 100m

第3.4-11図(2) 地質鉛直断面図 (防波壁 (逆T擁壁))



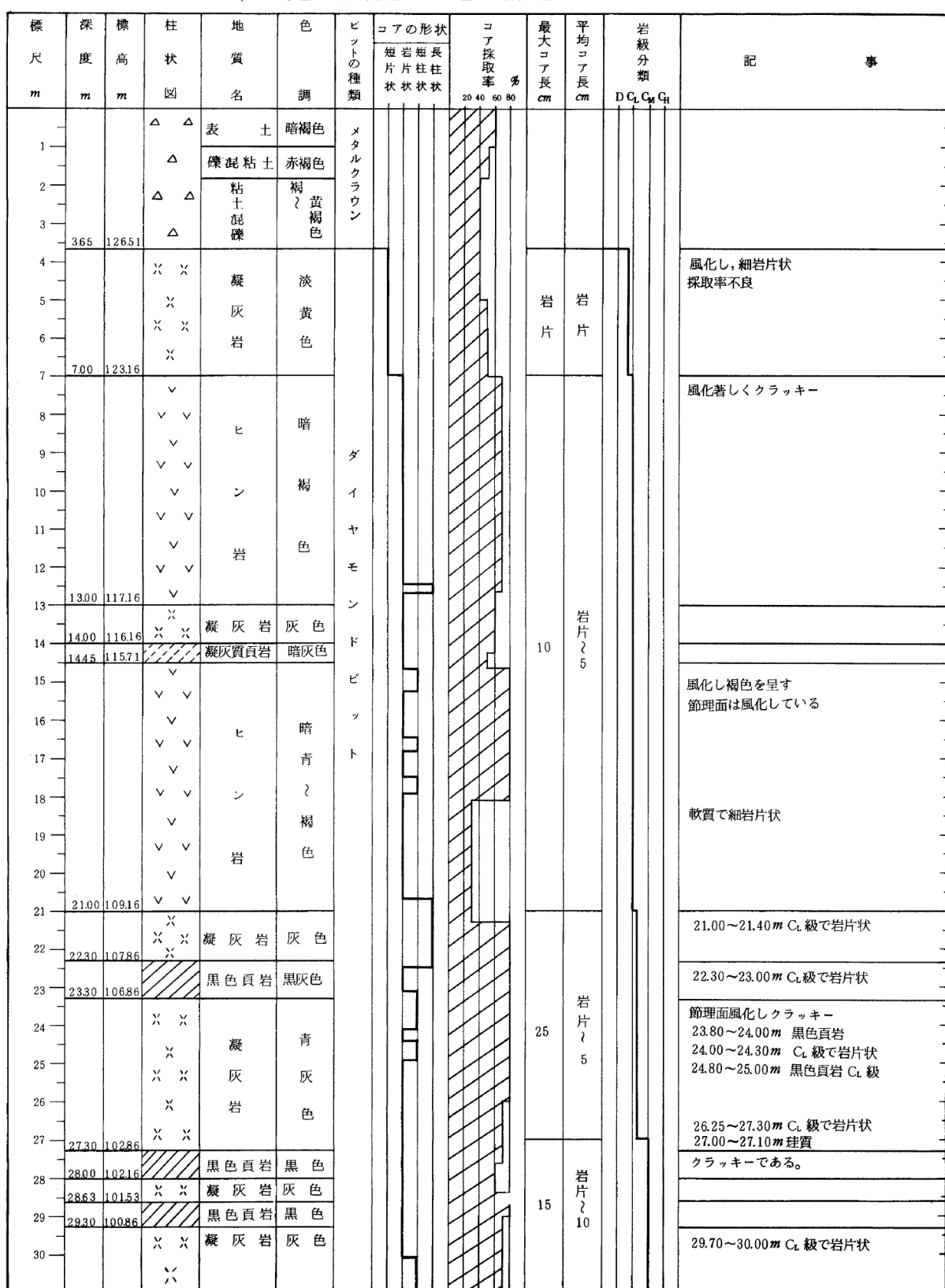
海底堆積物	被覆層
安山岩	貫入岩類
ドレライト	
凝灰岩・凝灰角礫岩 (頁岩の薄層を挟む)	成相寺層
頁岩・凝灰岩の互層	
頁岩 (凝灰岩の薄層を挟む)	

凡 例

- ボーリング名
- ボーリング位置
(破線は投影)
- 岩相境界線
- 地盤改良部
- 人工構造物

第3.4-11図(3) 地質鉛直断面図 (防波壁 (波返重力擁壁))

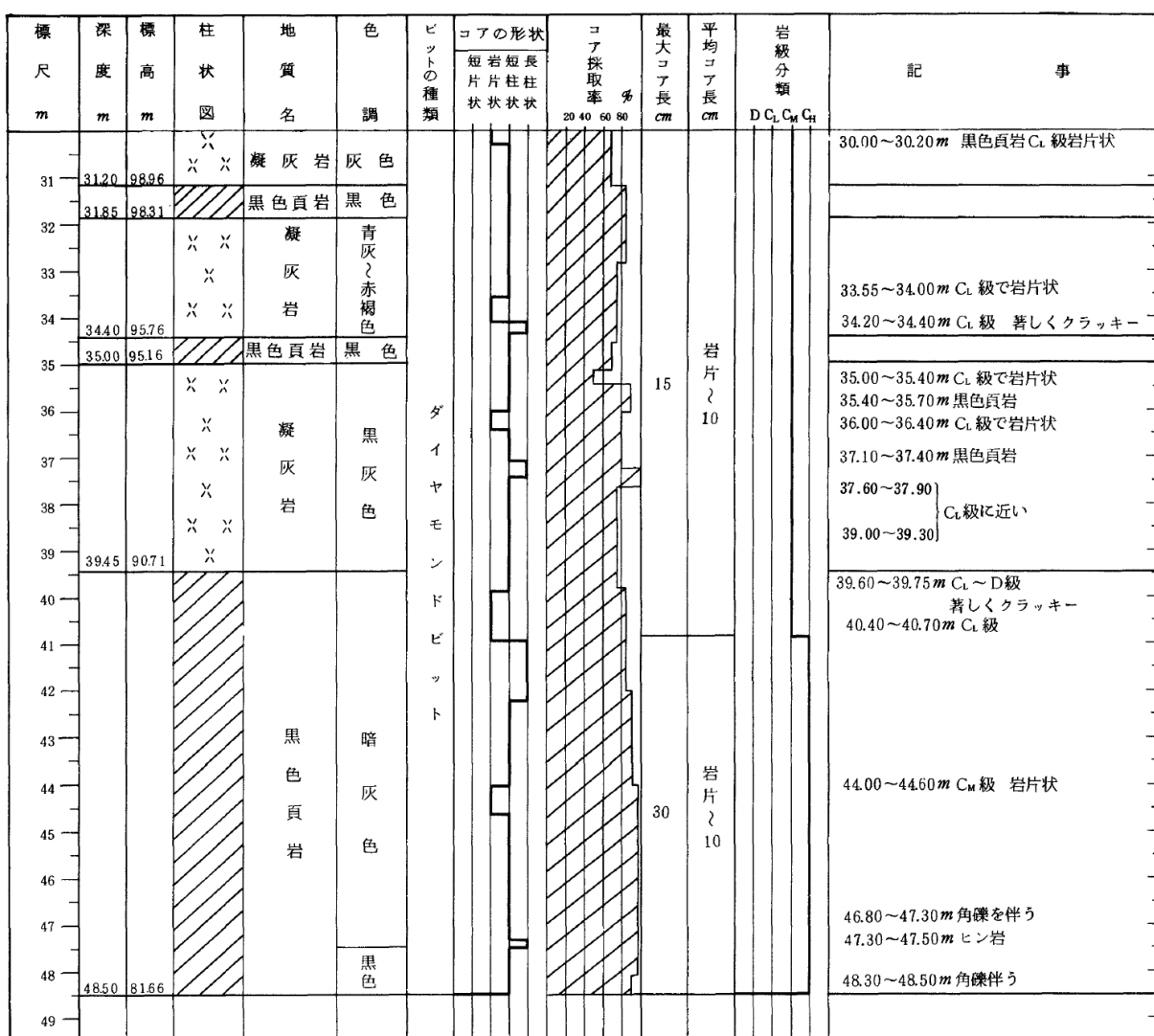
No. 104 (2-1) GL = 130.16m L = 48.50m



※ 地質名の「ヒン岩」は、「安山岩」と同義であり、「粗粒玄武岩」は、「ドレライト」と同義である。
(次ページ以降の地質柱状図も同様)

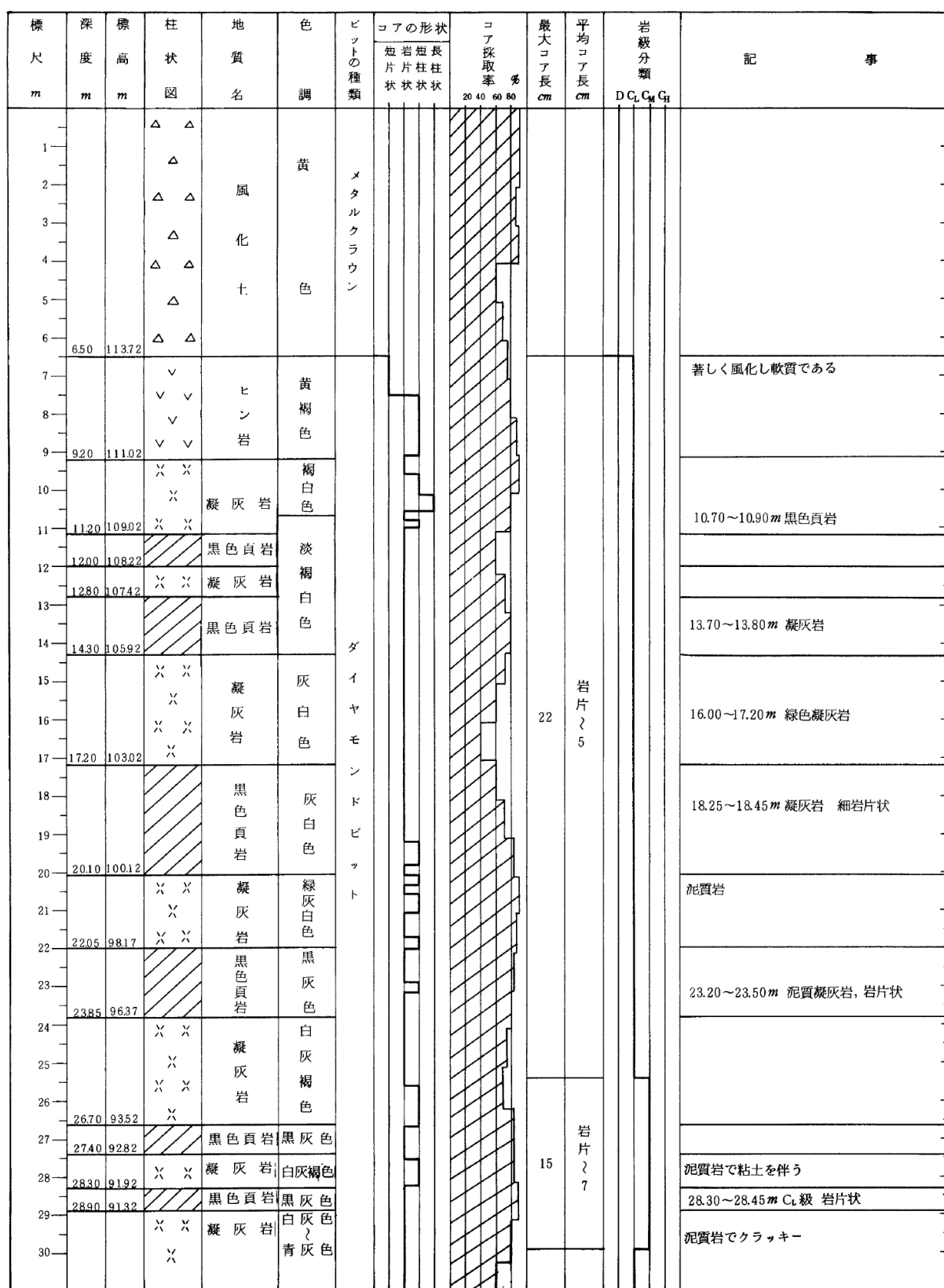
第3.4-12図(1) 地質柱状図 (No. 104・その1)

No. 104 (2-2) GL = 130.16m L = 48.50m



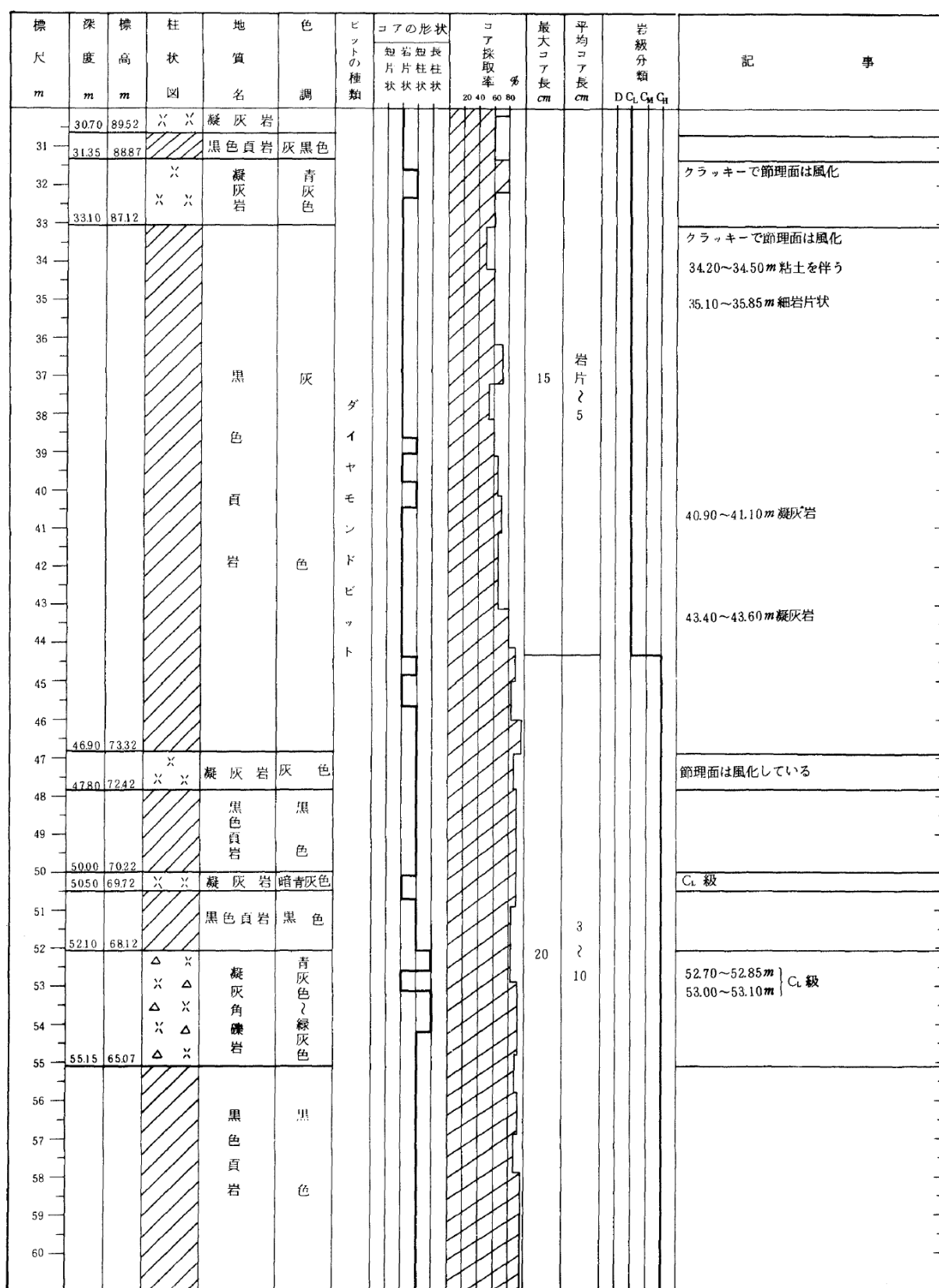
第3.4-12図(2) 地質柱状図 (No. 104・その2)

No. 105 (3-1) GL = 120.22m L = 85.00m



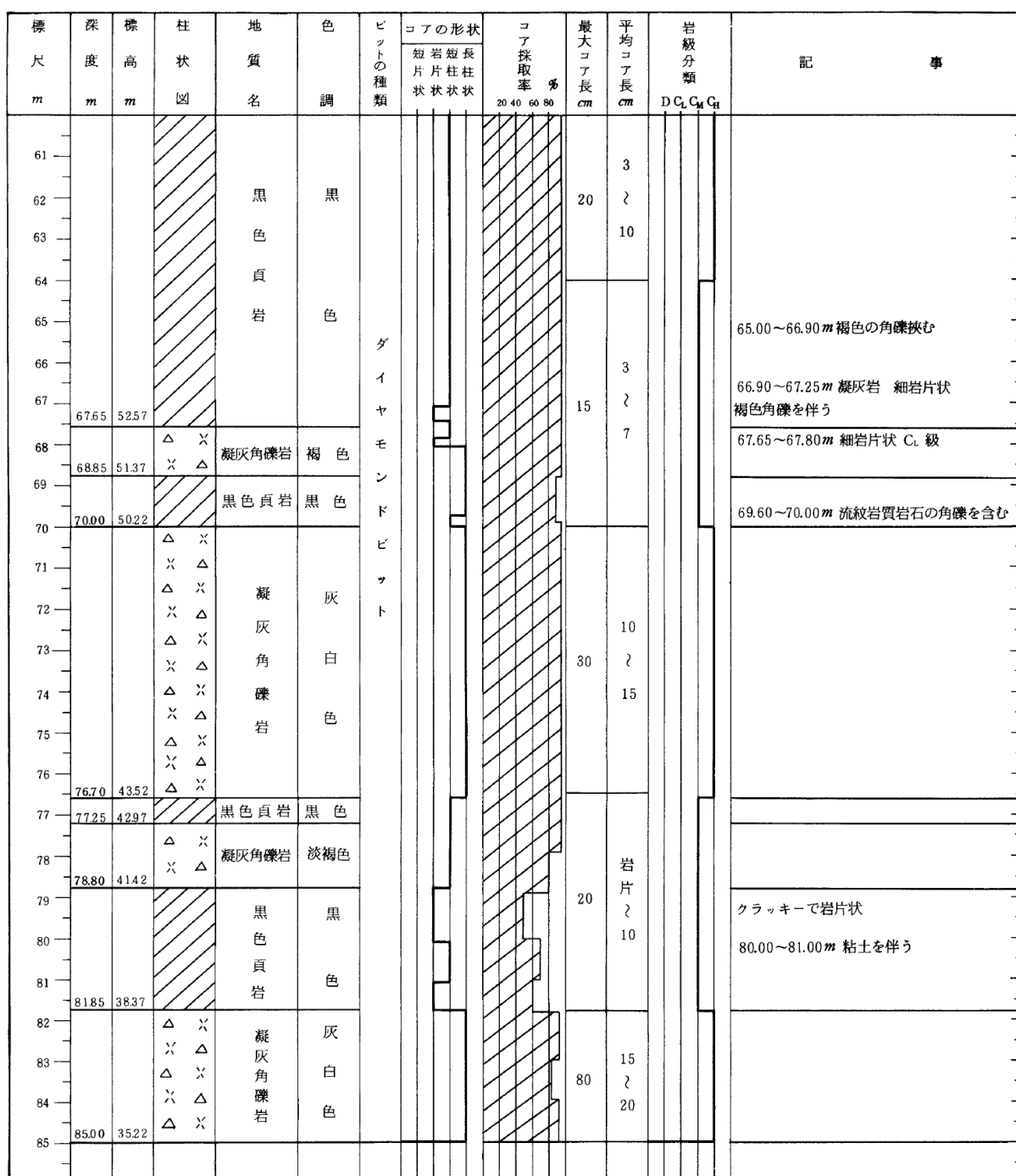
第3.4-12図(3) 地質柱状図 (No. 105・その1)

No. 105 (3-2) GL = 120.22m L = 85.00m



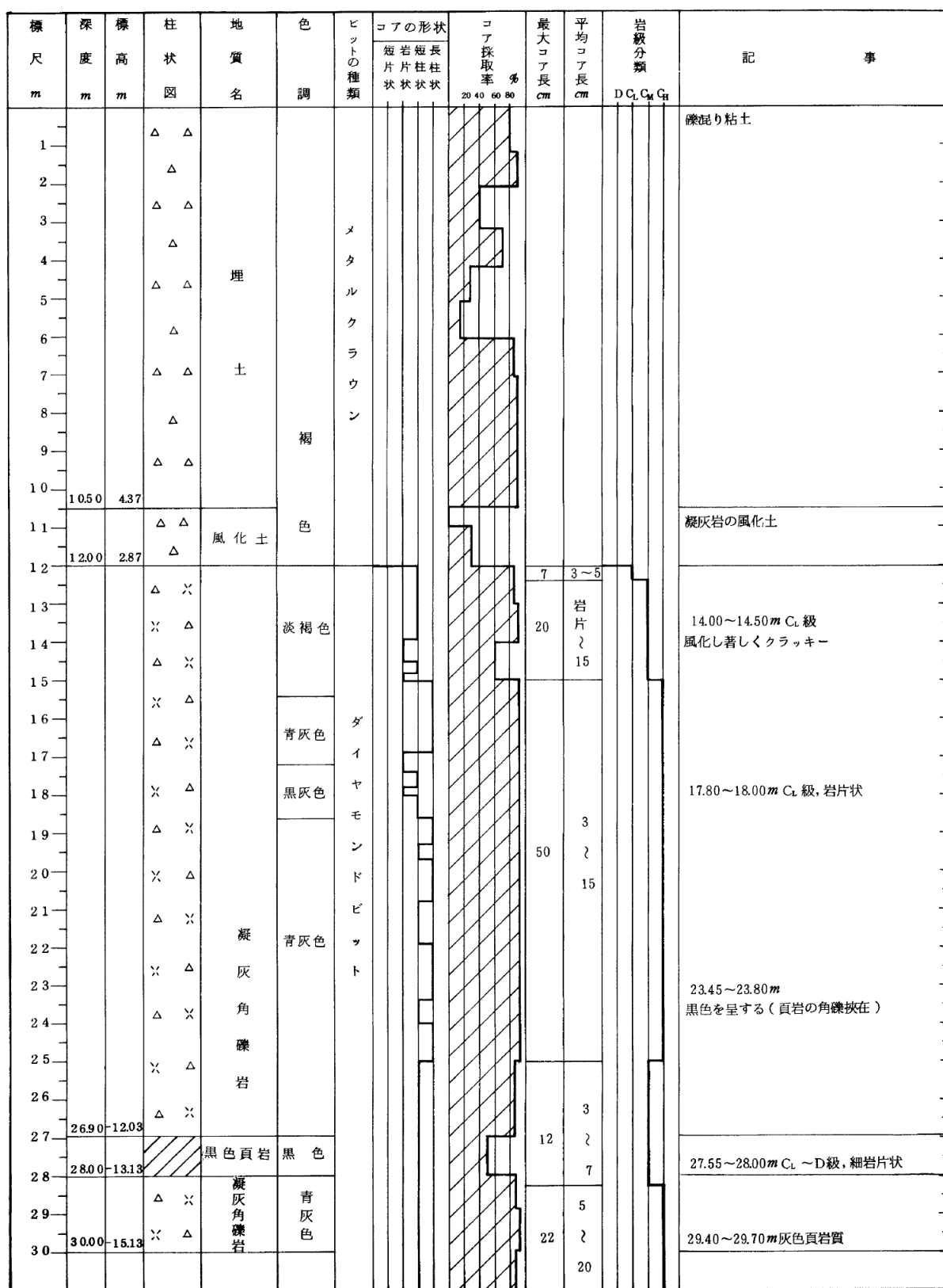
第3.4-12図(4) 地質柱状図 (No. 105・その2)

No. 105 (3-3) GL = 120.22m L = 85.00m



第3.4-12図(5) 地質柱状図 (No. 105・その3)

No. 202 (2-1) GL = 14.87m L = 35.00m

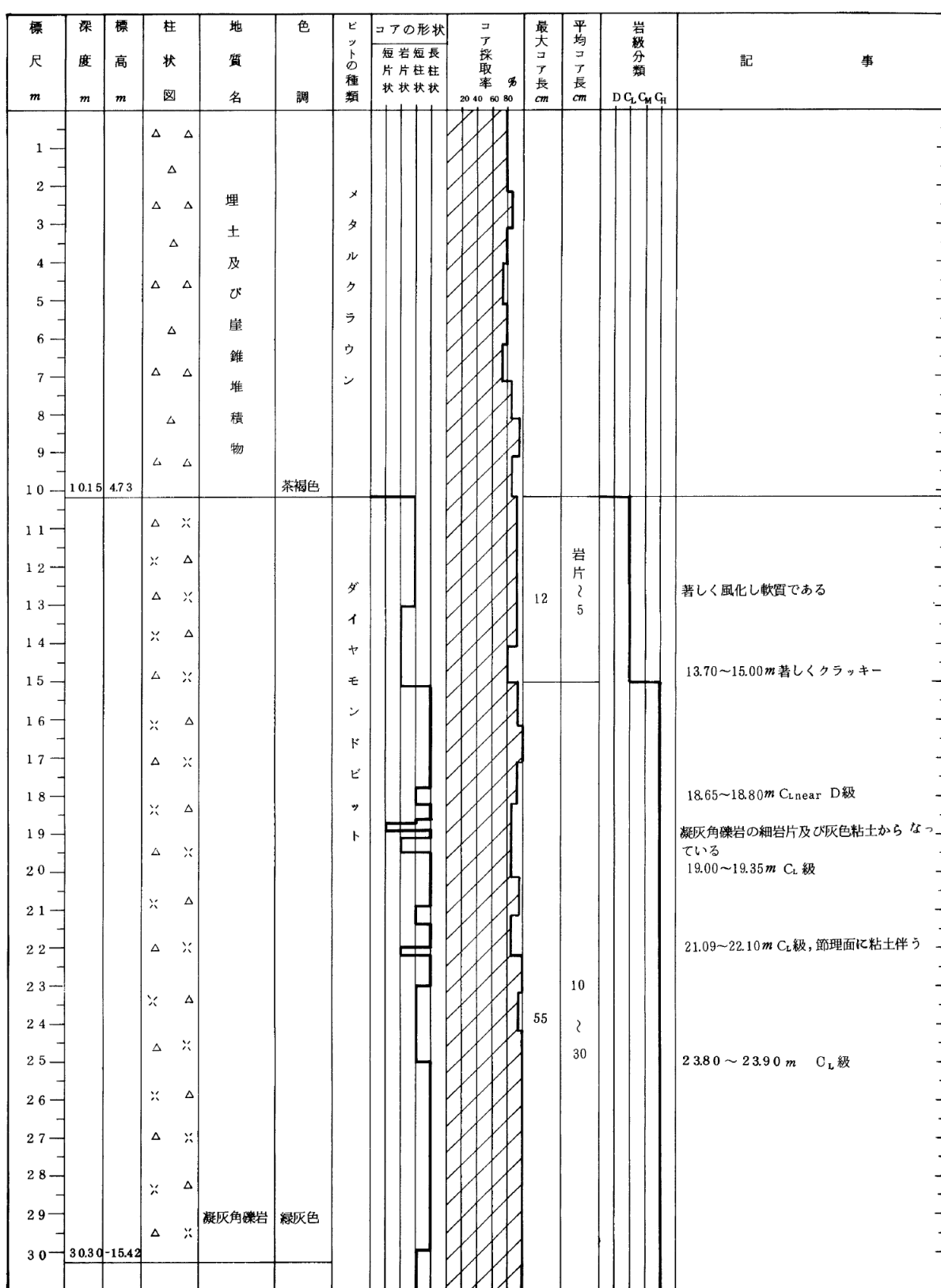


第3.4-12図(6) 地質柱状図 (No. 202・その1)

No. 202 (2-2) GL = 14.87m L = 35.00m

第3.4-12図(7) 地質柱状図 (No. 202・その2)

No. 205 (2-1) GL = 14.88m L = 35.00m



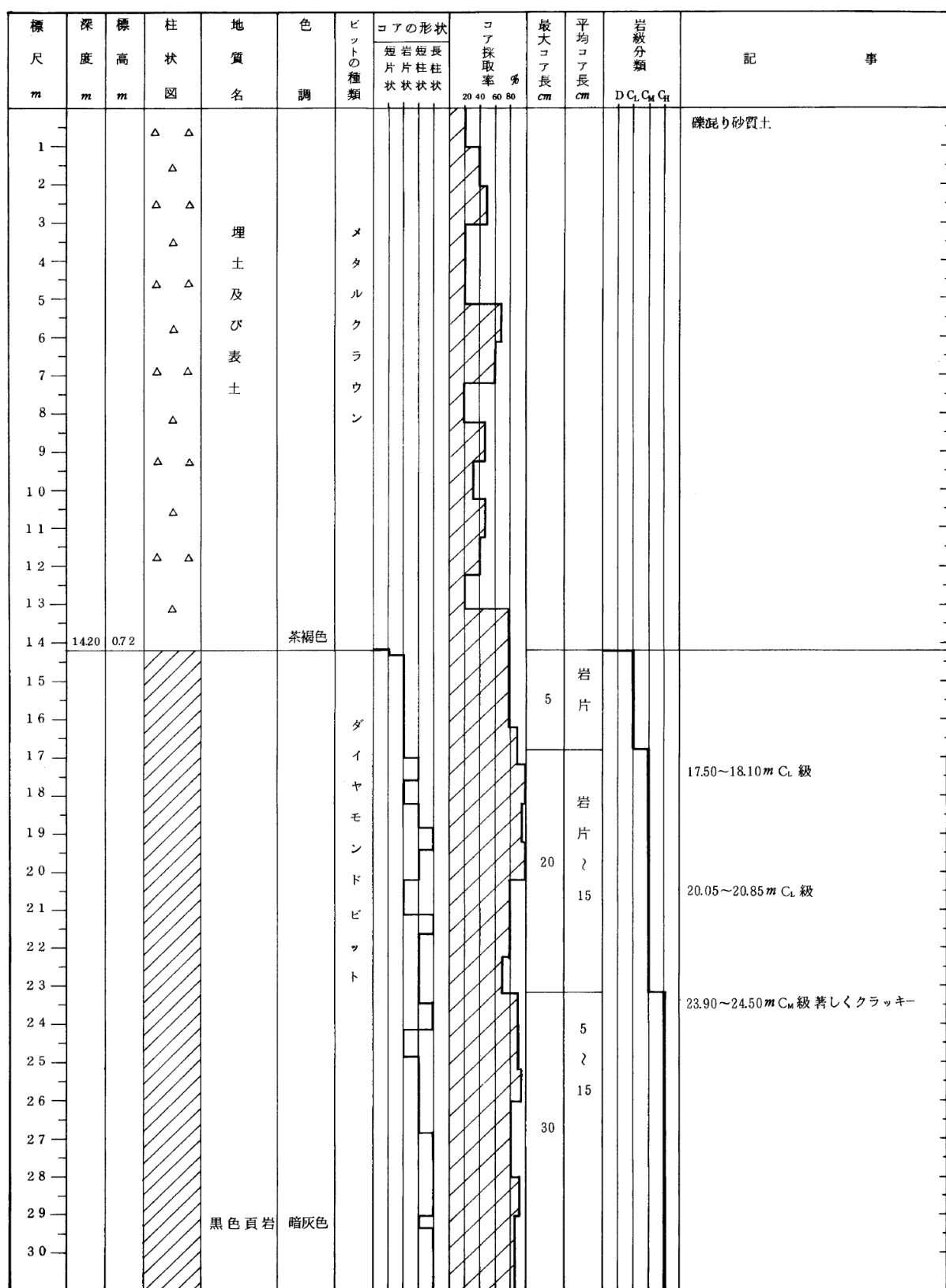
第3.4-12図(8) 地質柱状図 (No. 205・その1)

N O. 205 (2-2) G L = 14.88m L = 35.00m

標 尺 <i>m</i>	深 度 <i>m</i>	標 高 <i>m</i>	柱 状 図	地 質 名	色	ビ ット の 種 類	コアの形状			コア 採 取 率 %	最 大 コ ア 長 <i>cm</i>	平 均 コ ア 長 <i>cm</i>	岩 級 分 類	記 事
							短 片	岩 片	短 柱					
3.1	30.30	-15.42				ダイヤモンドビット						10		
3.2												2		
3.3												30		
3.4	35.00	-20.12		黒色頁岩	緑灰色									
3.5														

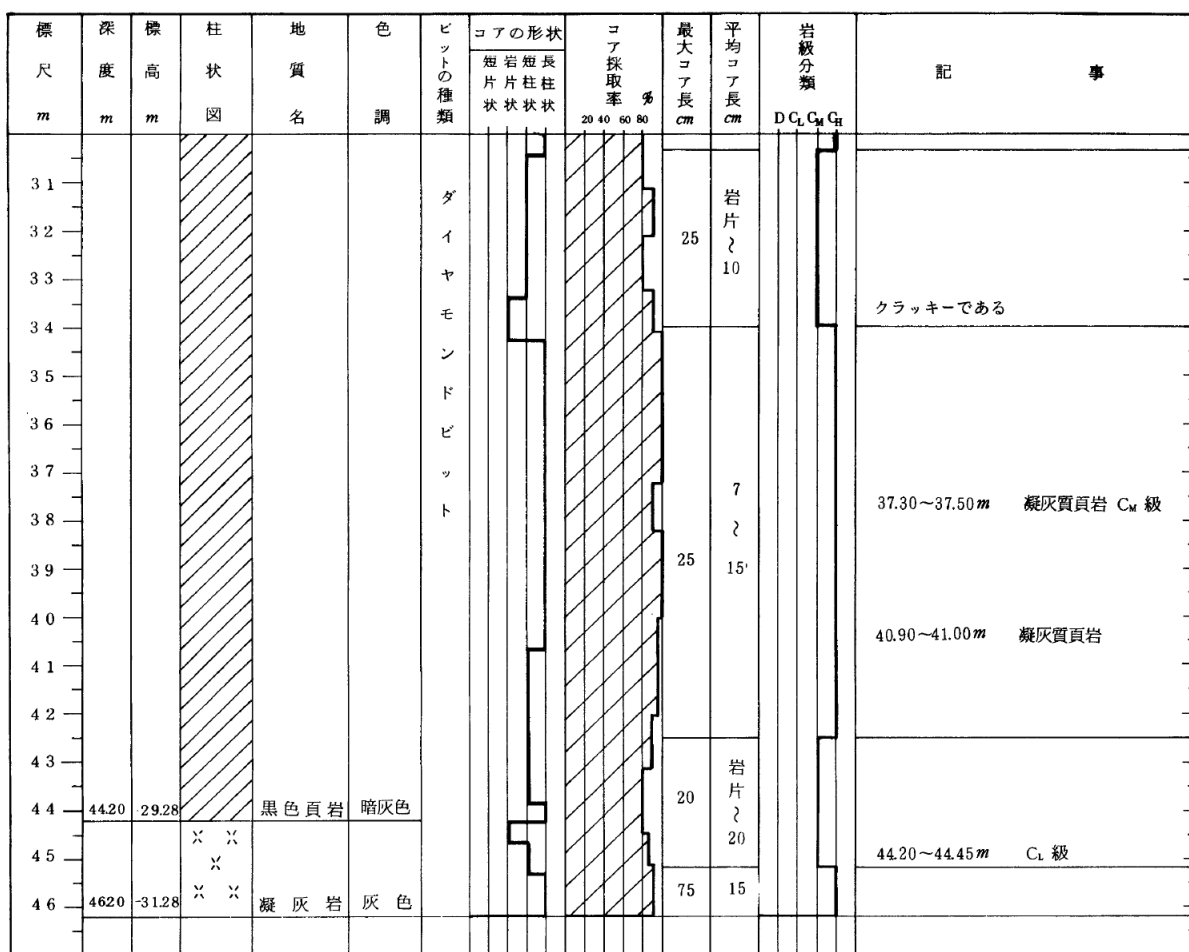
第3.4-12図(9) 地質柱状図 (N o. 205・その2)

No. 207 (2-1) GL = 14.92m L = 46.20m



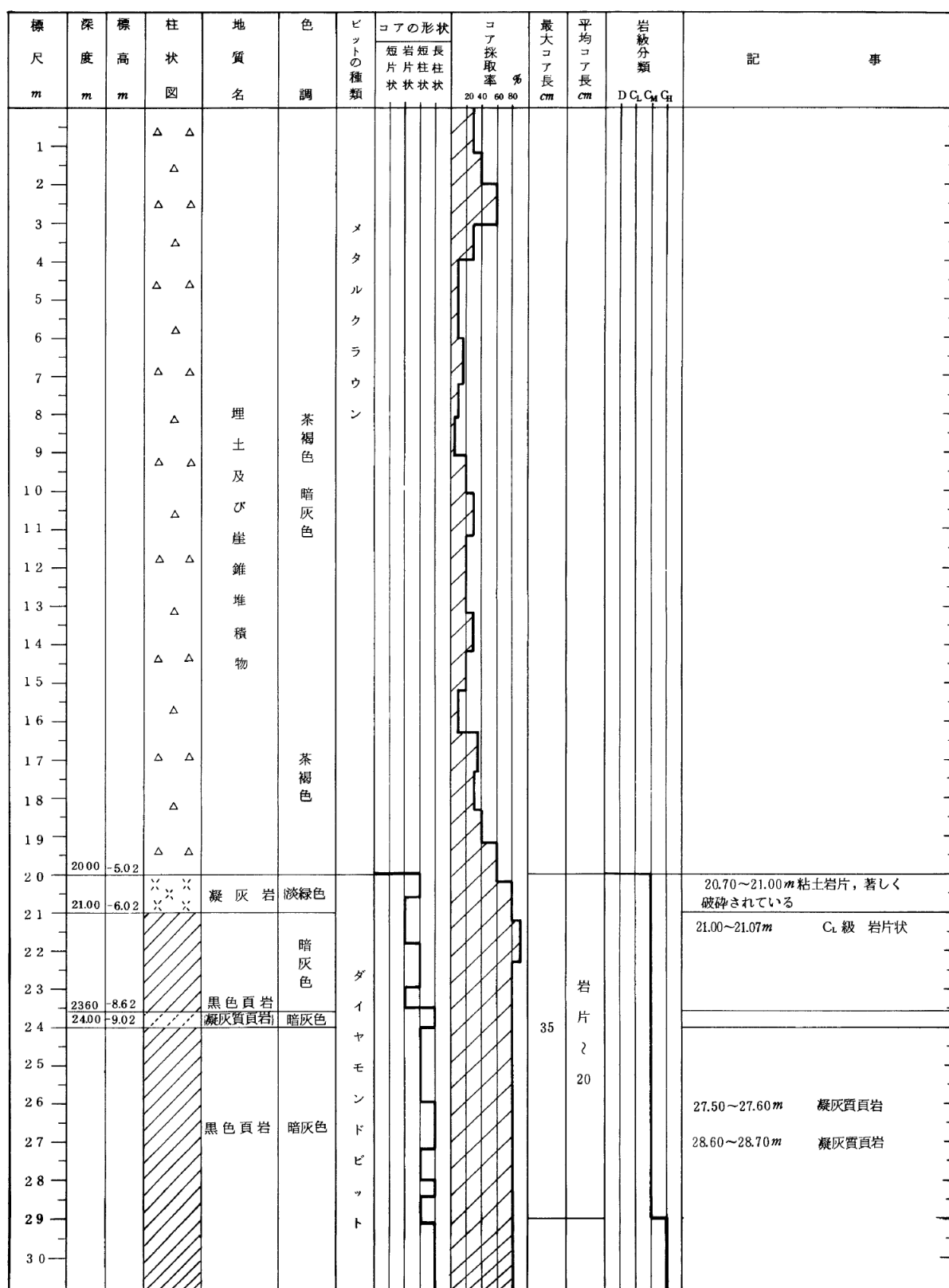
第3.4-12図(10) 地質柱状図 (No. 207・その1)

No. 207 (2-2) GL = 14.92m L = 46.20m



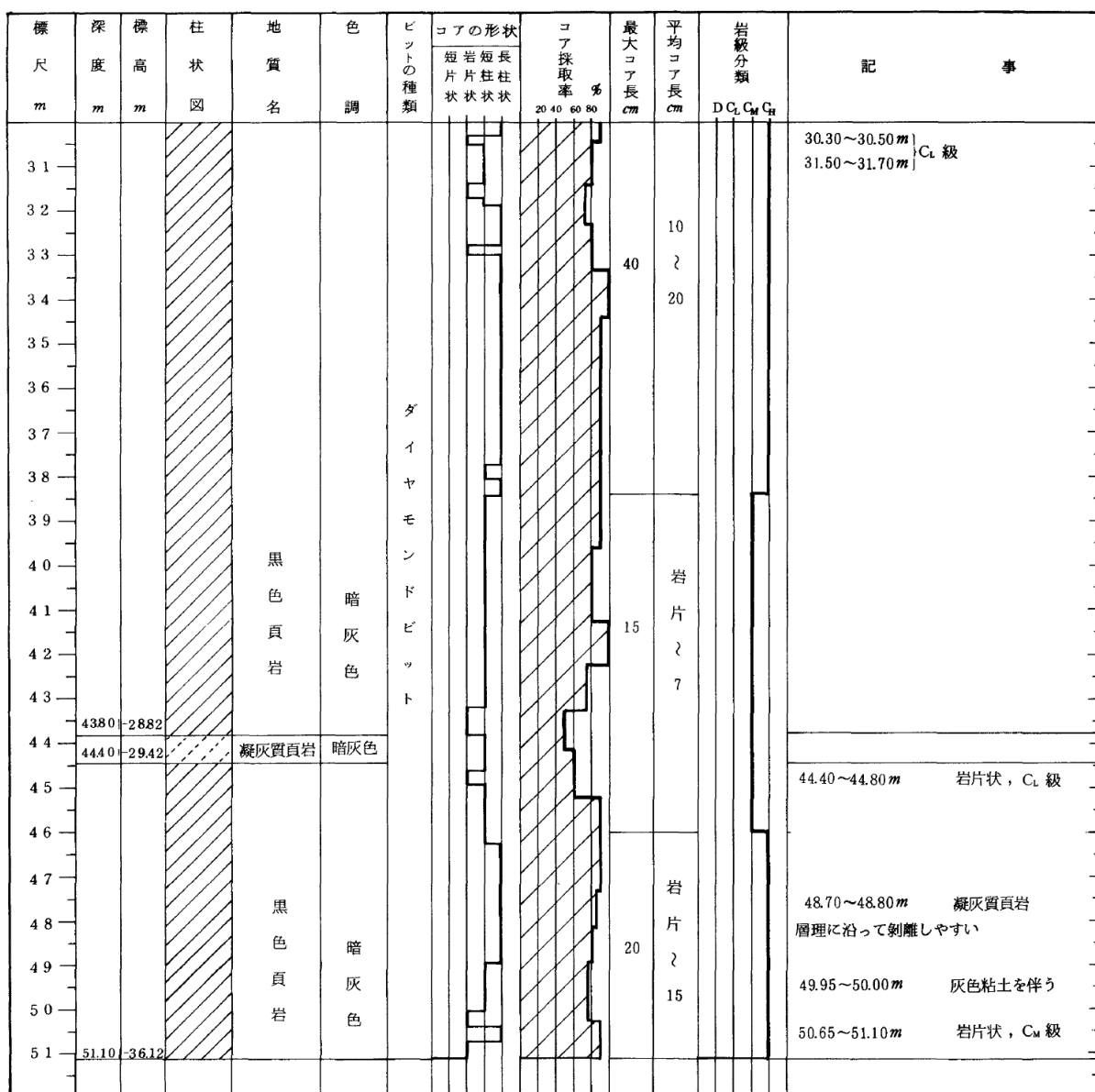
第3.4-12図(11) 地質柱状図 (No. 207・その2)

No. 208 (2-1) GL = 14.98m L = 51.10m



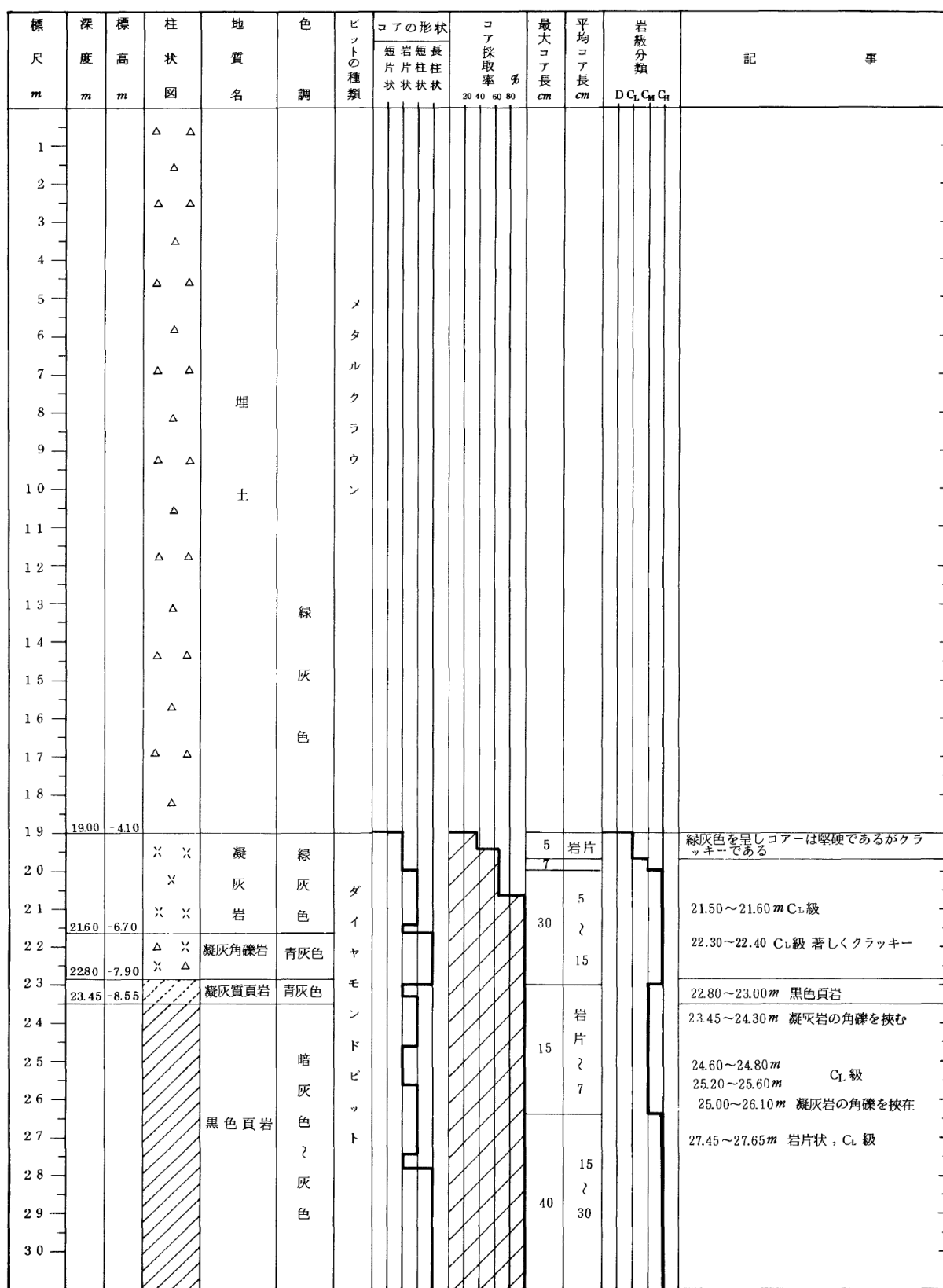
第3.4-12図(12) 地質柱状図 (No. 208・その1)

No. 208 (2-2) GL = 14.98m L = 51.10m



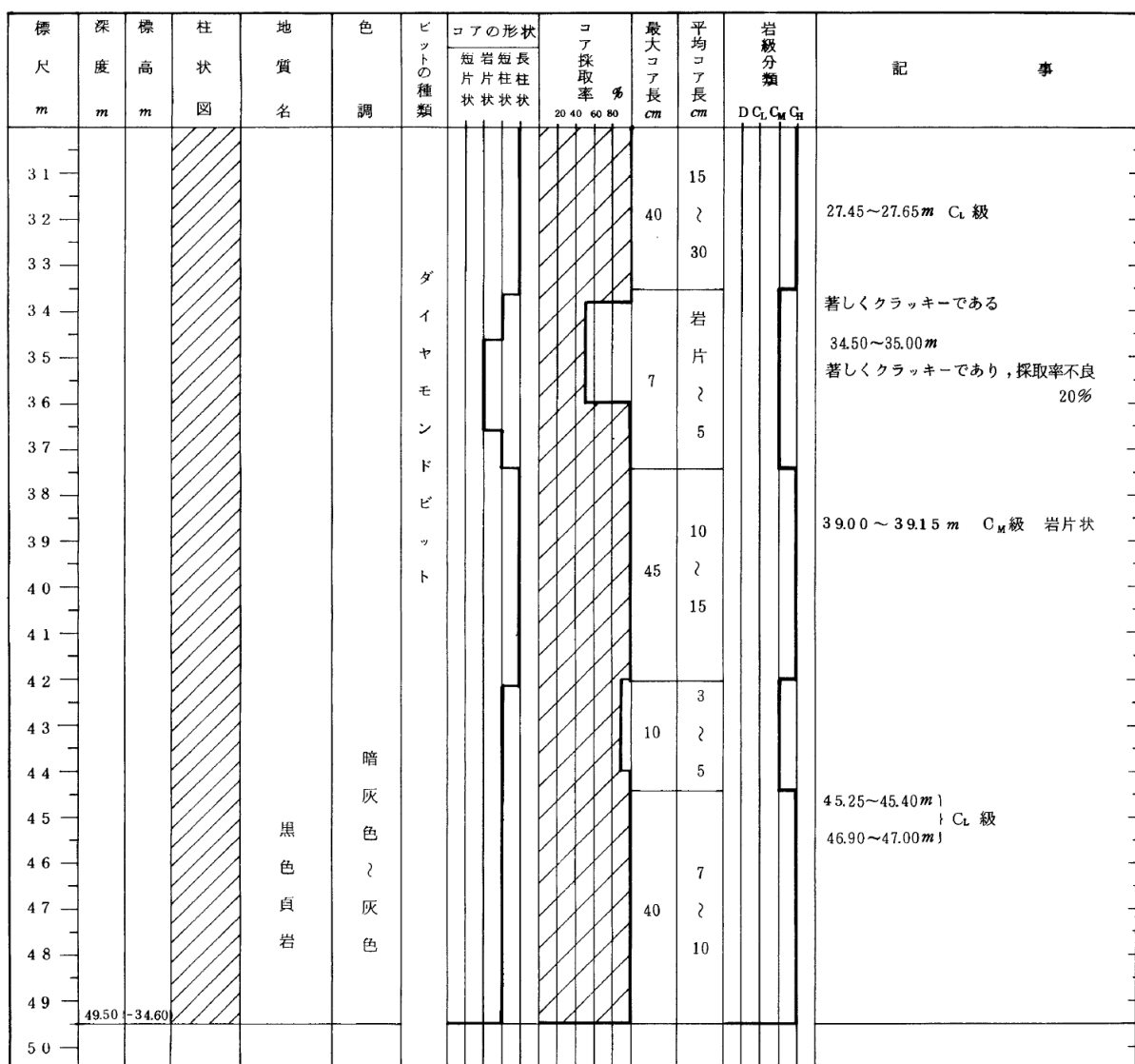
第3.4-12図(13) 地質柱状図 (No. 208・その2)

No. 209 (2-1) GL = 14.90m L = 49.50m



第3.4-12図(14) 地質柱状図 (No. 209・その1)

N_{O.} 209(2-2) GL = 14.90m L = 49.50m

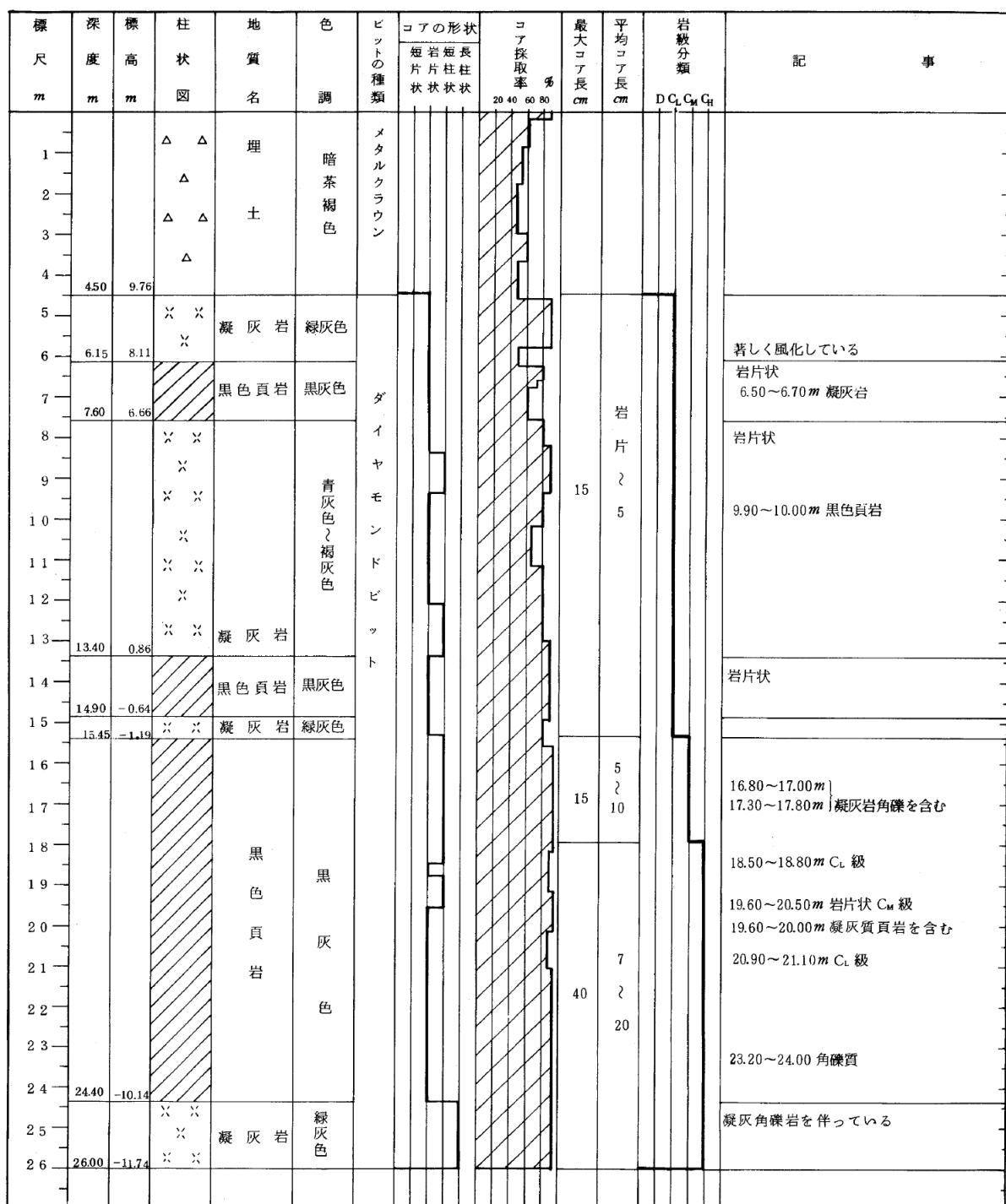


第3.4-12図(15) 地質柱状図 (N_{O.} 209・その2)

No. 210

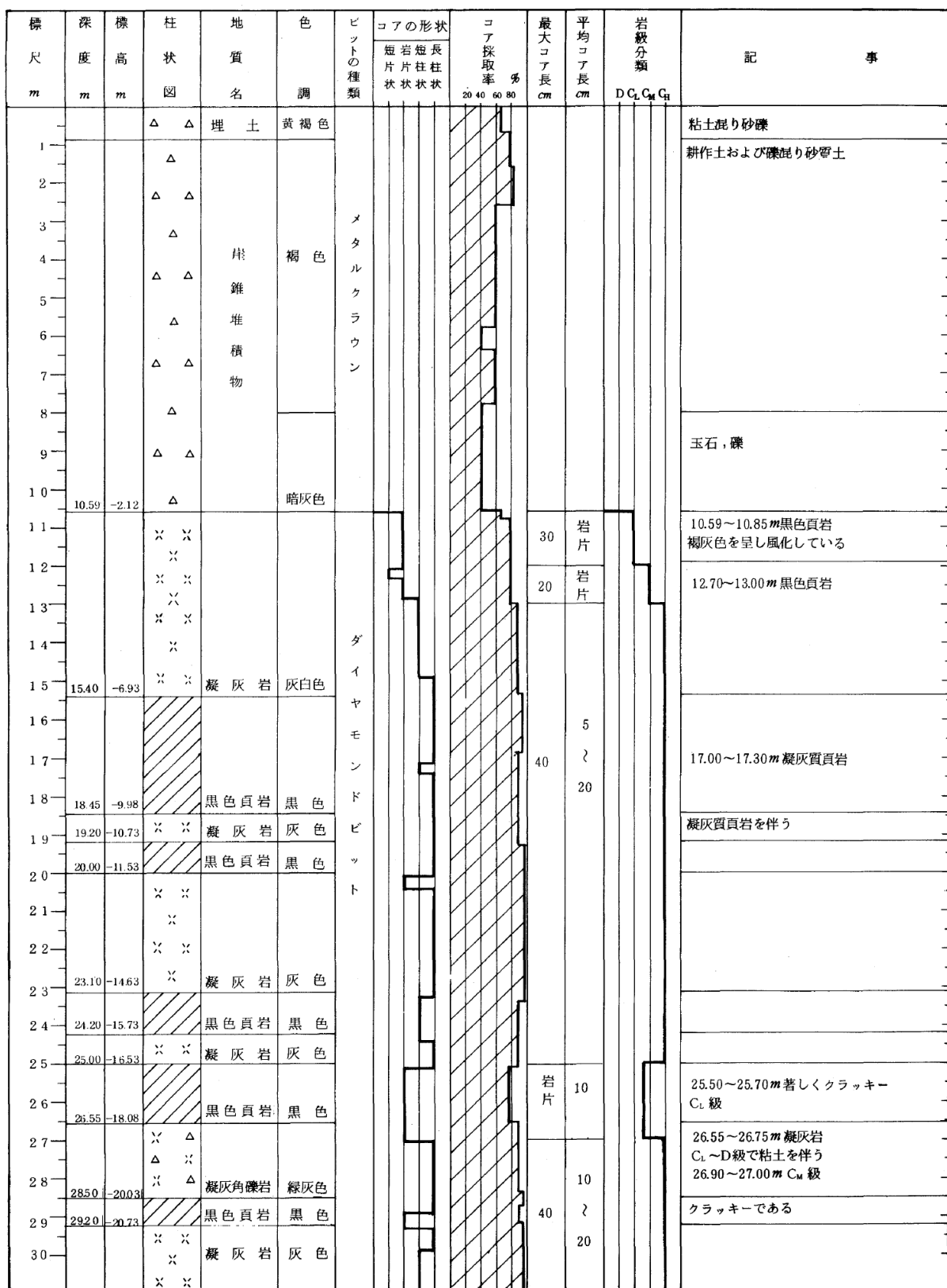
G L = 14.26m

L = 26.00m



第3.4-12図(16) 地質柱状図 (No. 210)

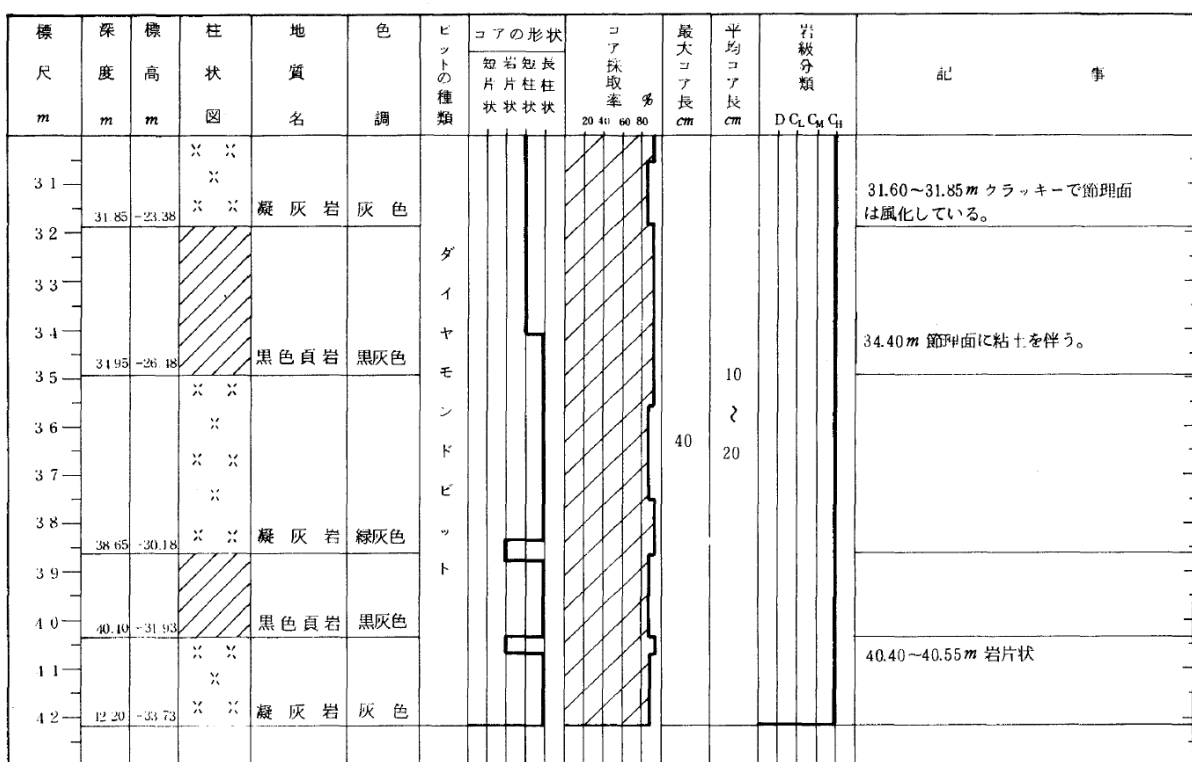
No. 213 (2-1) GL = 8.47m L = 42.20m



第3.4-12図(17) 地質柱状図 (No. 213・その1)

No. 213 (2-2) GL = 8.47m

L = 42.20m

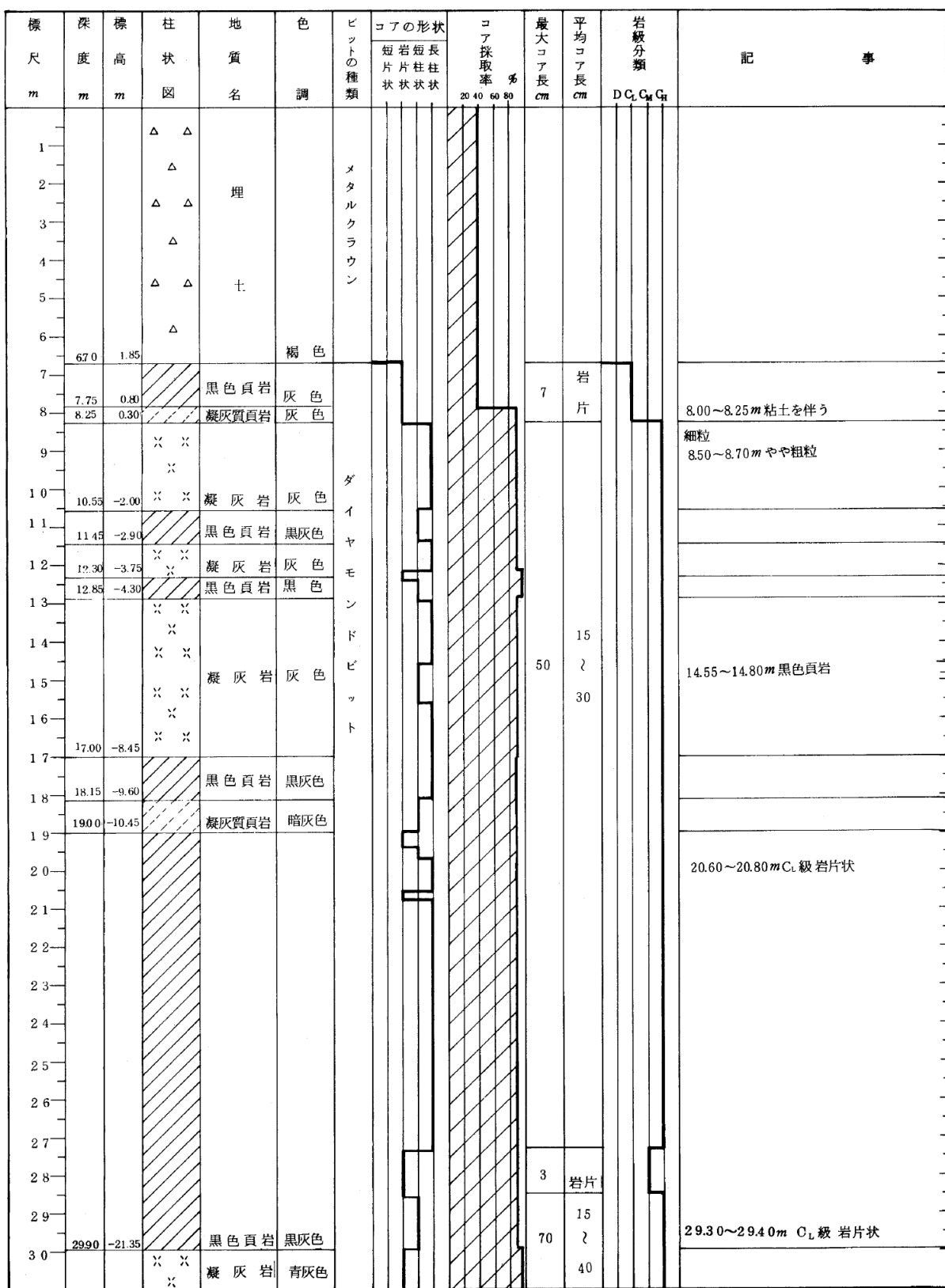


第3.4-12図(18) 地質柱状図 (No. 213・その2)

No. 214 (2-1)

GL = 8.55m

L = 38.60m



第3.4-12図(19) 地質柱状図 (No. 214・その1)

No. 214 (2-2) GL = 8.55m L = 38.60m

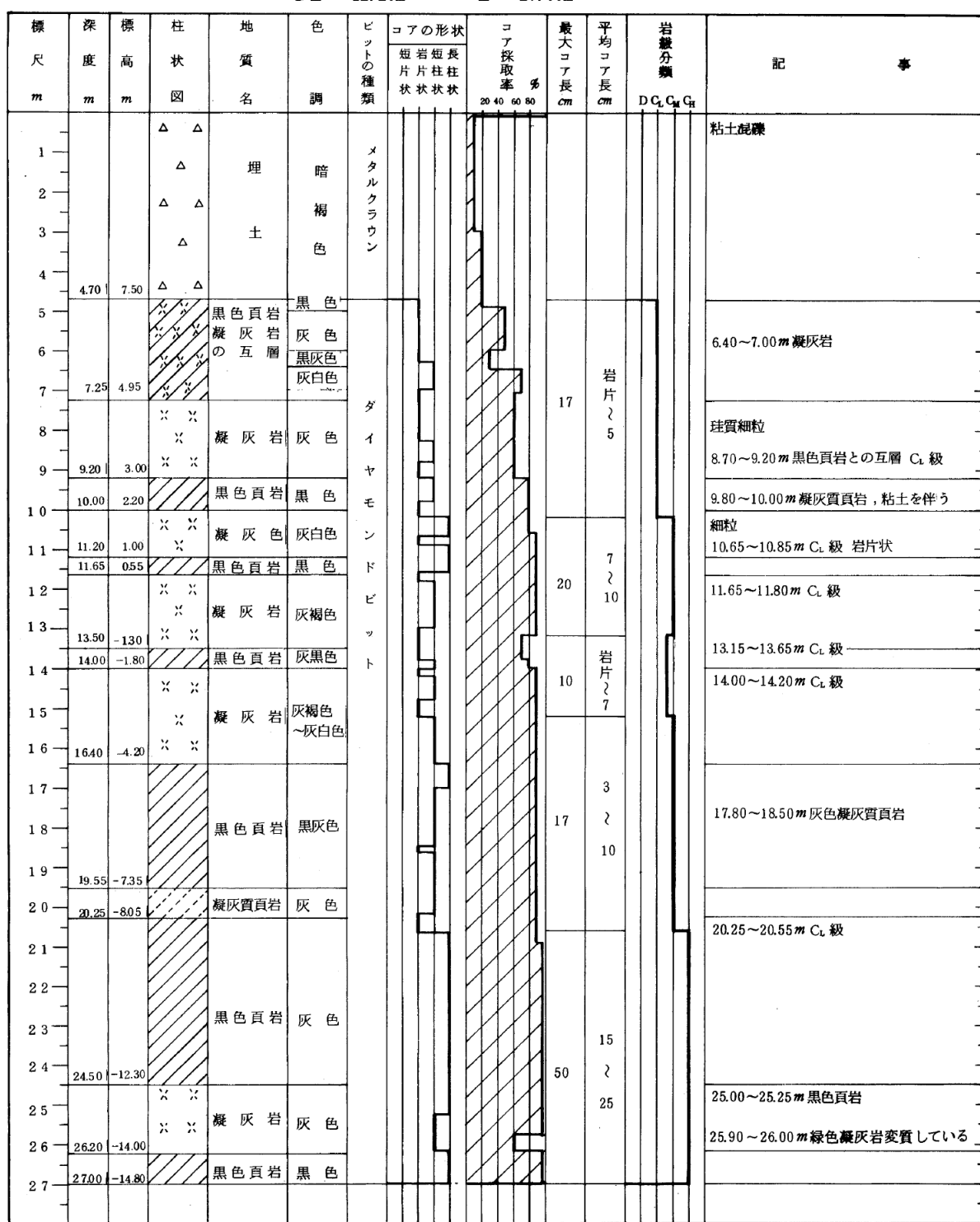
標 尺 <i>m</i>	深 度 <i>m</i>	標 高 <i>m</i>	柱 状 圖	地 質 名	色 調	ビ ット の 種 類	コアの形状				コア 採取 率 %	最 大 コア 長 <i>cm</i>	平均 コア 長 <i>cm</i>	岩 級 分 類	記 事			
							短 岩 片 状	短 長 柱 状	長 柱 状	柱 状					D	C _L	C _M	C _H
3.1	31.00	-22.45	× × ×	凝灰岩	青灰色	ダイヤモンドビット		20 40 60 80	70	15 ~ 40				30.25~30.40m 細岩片状で粘土を伴う				
3.2			△ × △											小角礫質				
3.3	33.00	-24.45	× △ //	凝灰角砾岩	灰色									比較的大きい角礫				
	33.60	-25.05	//	黑色頁岩	黒灰色									凝灰岩の薄層を挟み縞状を呈する				
3.4			× ×											33.30~34.00m 岩片状 C _L 級				
3.5			×															
3.6			× ×															
3.7			×															
3.8	38.60	-30.05	× ×	凝灰岩										38.40~38.60m 小角礫質				
3.9																		

第3.4-12図(20) 地質柱状図 (No. 214・その2)

No. 215

G L = 12.20m

L = 27.00m

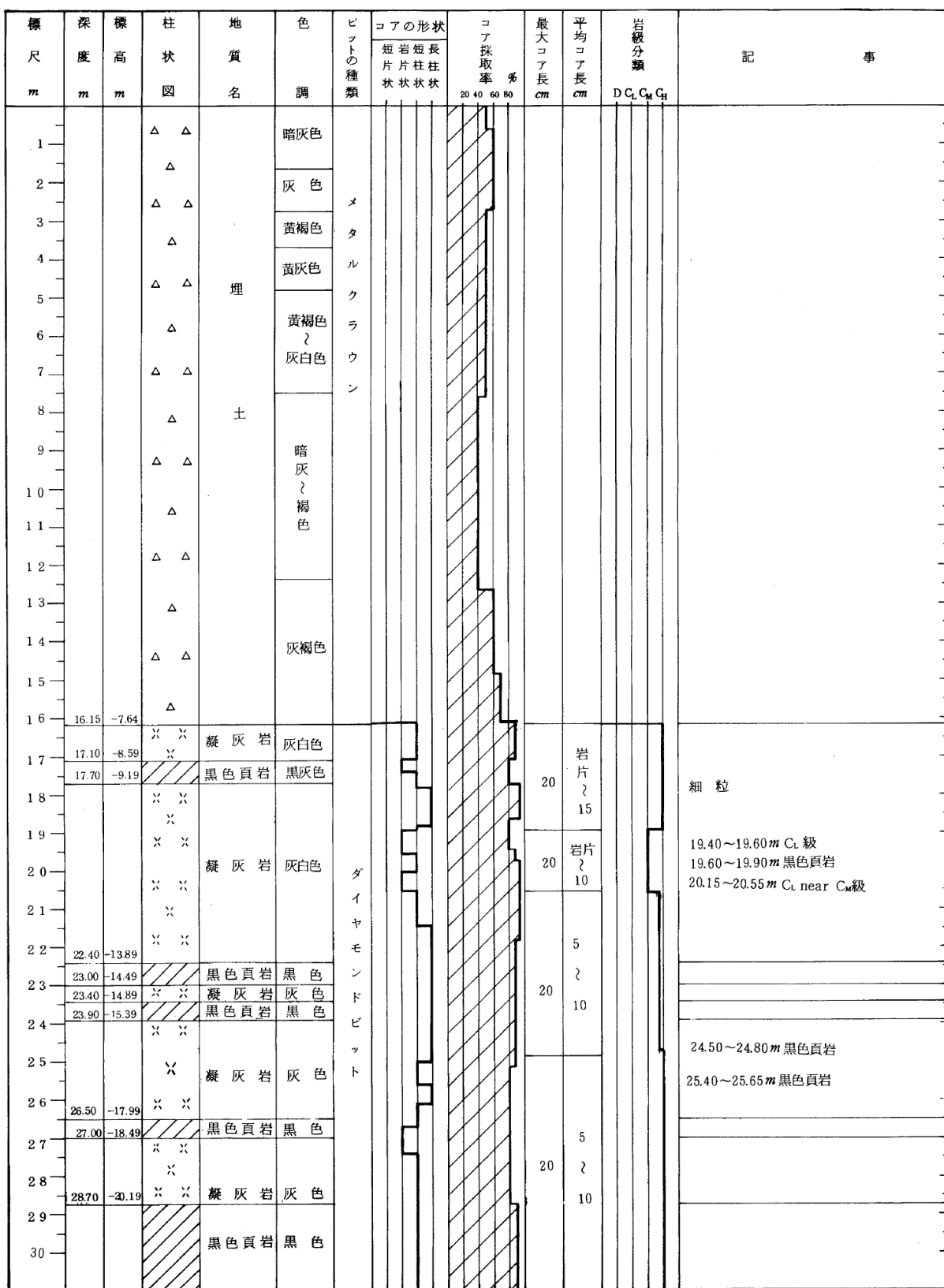


第3.4-12図(21) 地質柱状図 (No. 215)

No. 216 (2-1)

GL = 8.51m

L = 46.40m

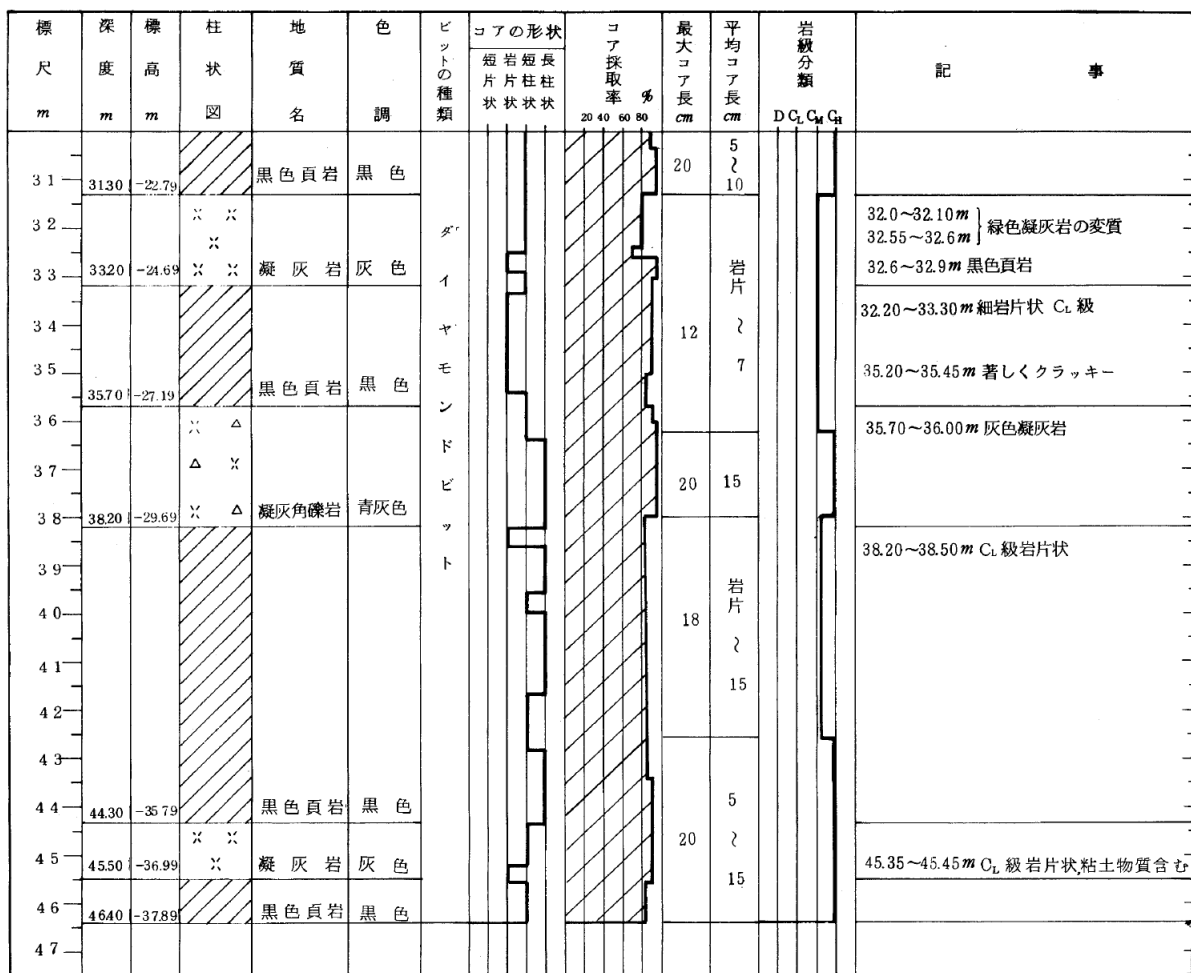


第3.4-12図(22) 地質柱状図 (No. 216・その1)

No. 216 (2-2)

GL = 8.51m

L = 46.40m

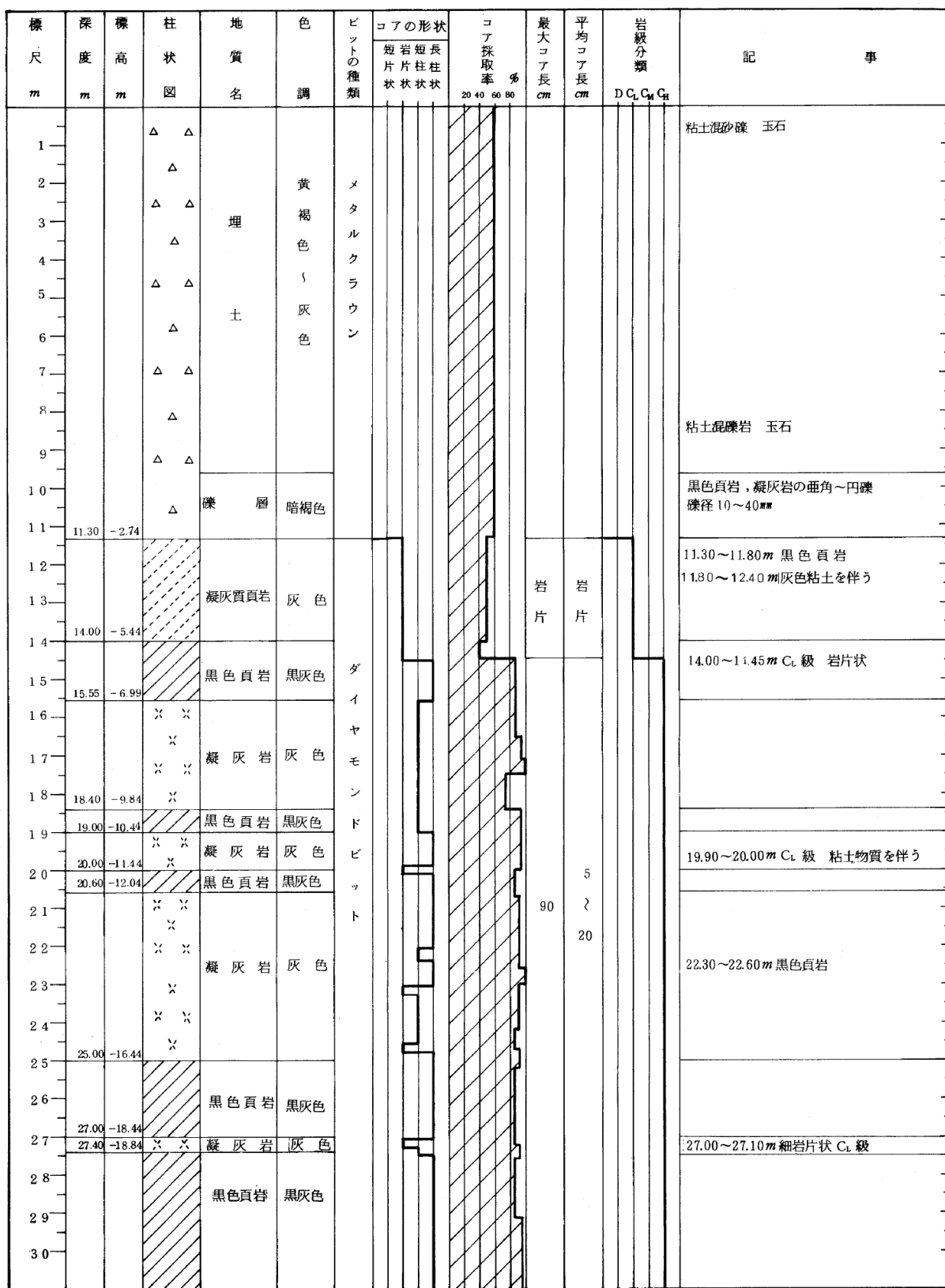


第3.4-12図(23) 地質柱状図 (No. 216・その2)

No. 217 (2-1)

G L = 8.56m

L = 44.00m

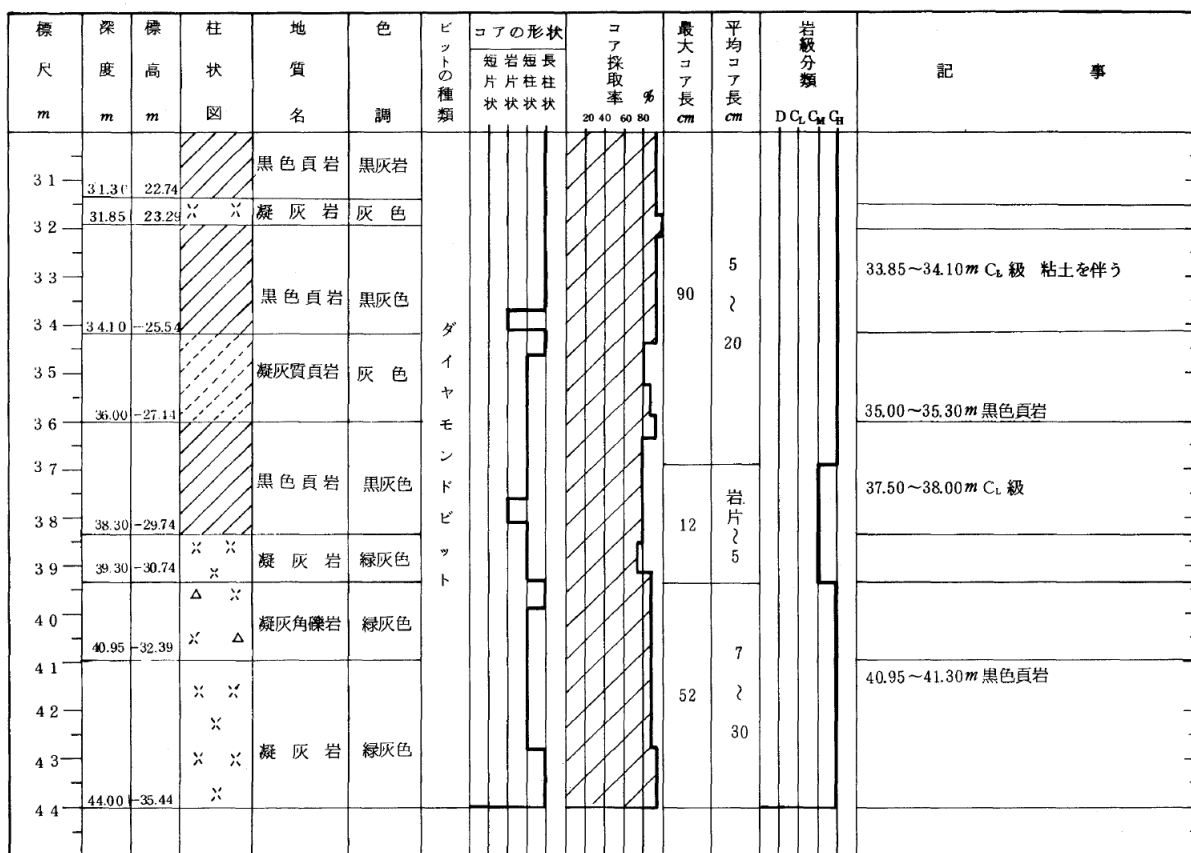


第3.4-12図(24) 地質柱状図 (No. 217・その1)

No. 217 (2-2)

G L = 8.56m

L = 44.00m

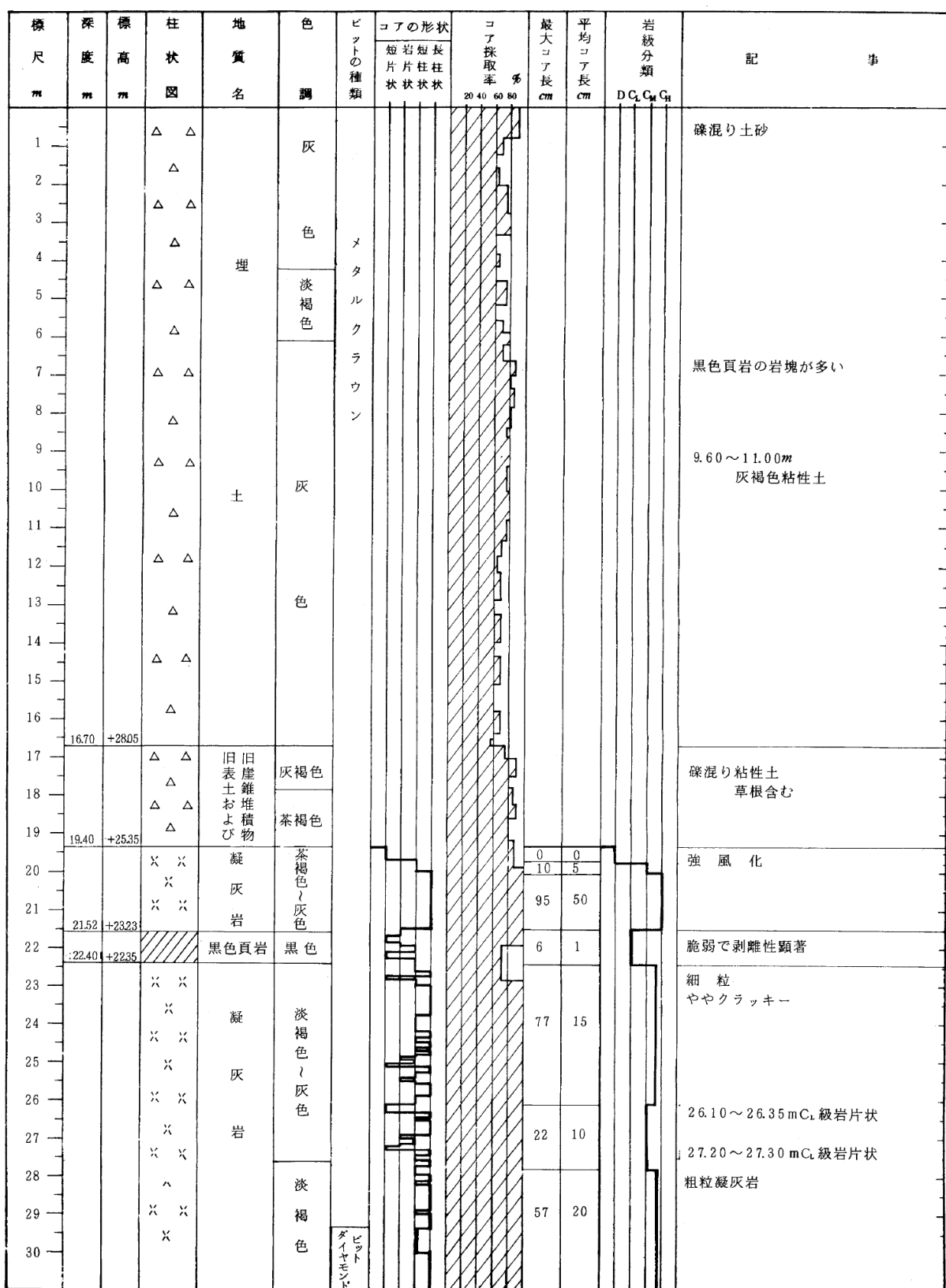


第3.4-12図(25) 地質柱状図 (No. 217・その2)

No. 301(4-1)

GL = 44.75m

L = 94.80m



第3.4-12図(26) 地質柱状図 (No. 301・その1)

No. 301 (4-2)

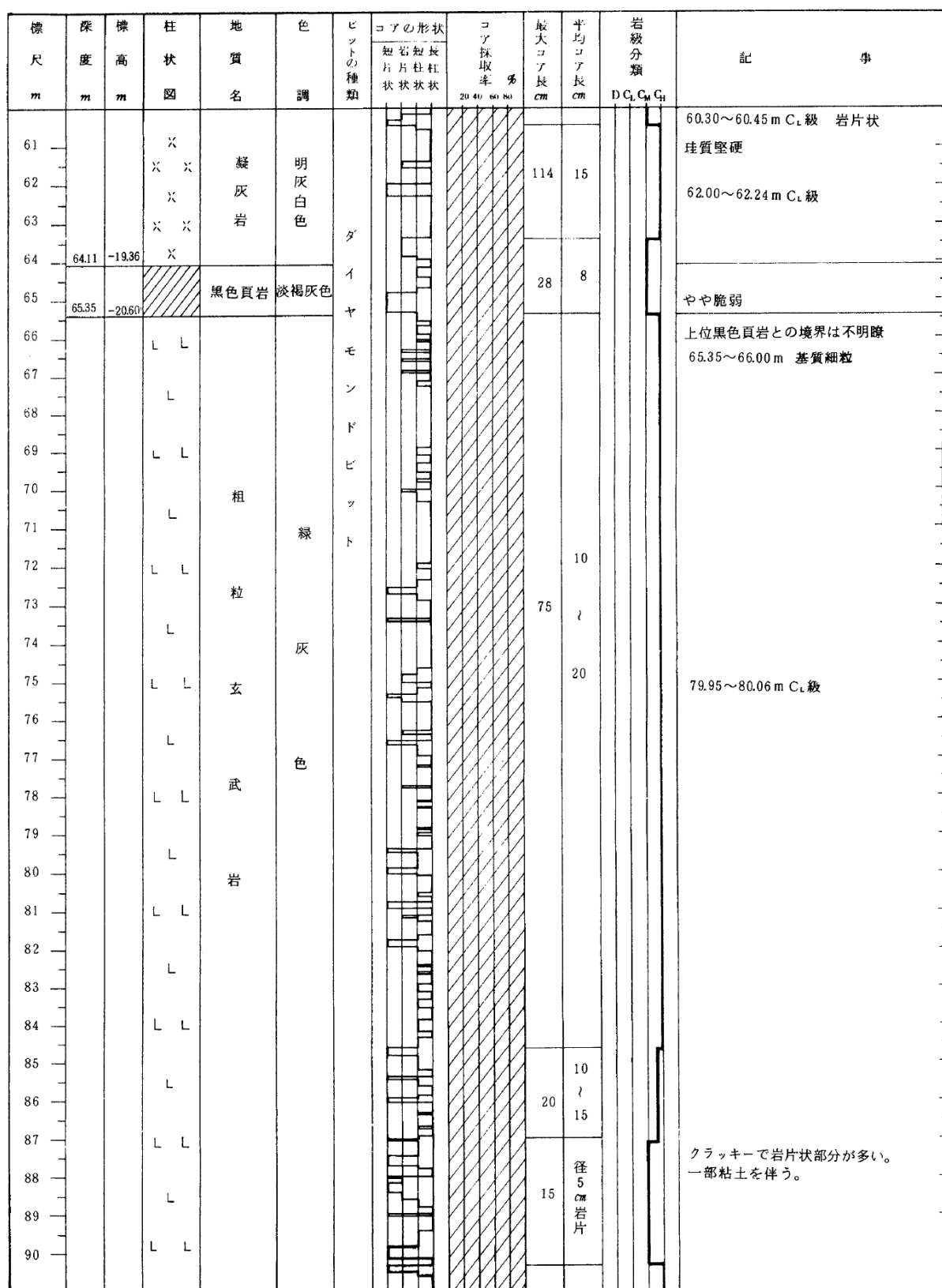
GL = 44.75m

L = 94.80m

標 尺 <i>m</i>	深 度 <i>m</i>	標 高 <i>m</i>	柱 状 圖	地 質 名	色 調	ピ ッ ト の 種 類	コアの形状		コア 採取 率 %	最 大 コ ア 長 <i>cm</i>	平均 コ ア 長 <i>cm</i>	岩 級 分 類	記 事				
							短 岩 片	短 長 片	柱 状	柱 状	狀	狀	狀	D	C _L	C _M	C _H
31			X X	凝灰岩	淡褐色	ダイヤモンドビット						57	20				
32			X		帶綠灰色												
33			X X		淡褐色							30	20				
34			X X		明灰色												
34.70	+10.05		X		暗灰色												
35			△ X	凝灰角礫岩	灰	ダイヤモンドビット											
36			X △		灰												
37			△ X		白												
38			X △		色												
39			△ X														
40			X △														
41			△ X														
42			X △	頁岩		ダイヤモンドビット						134	30				
43.10	+165																
44					黑色												
45					頁岩												
46					黑色												
47				凝灰岩	黑色	ダイヤモンドビット											
48					白色												
49					明灰色												
50					帶綠灰色												
51.00	-6.25				暗灰色							13	5				
51				頁岩	明灰色	粗粒											
52					黑色												
53					灰色												
54					明灰色												
55					灰色												
56				凝灰岩	黑色	50.12~50.32m											
56.50	-11.75				灰色												
57					明灰色												
58					白色												
59																	
60												13	径5cm 岩片				

第3.4-12図(27) 地質柱状図 (No. 301・その2)

No. 301(4-3) GL = 44.75m L = 94.80m



第3.4-12図(28) 地質柱状図 (No. 301・その3)

No. 301 (4-4) GL = 44.75m L = 94.80m

標 尺 <i>m</i>	深 度 <i>m</i>	標 高 <i>m</i>	柱 状 図	地 質 名	色 調	ビ ント の 種 類	コアの形状 短岩短長 片片柱柱 状状状状	コア採取率 20 40 60 80 %	最大コア長 <i>cm</i>	平均コア長 <i>cm</i>	岩級分類 D C ₁ C ₂ C ₃	記 事			
												D	C ₁	C ₂	C ₃
91			L L	粗 粒 玄 武 岩	緑 灰 色	ダイ ヤ モ ンド ビ ット	短 片 片 柱 柱 状 状 状 状	20 40 60 80	85	20					90.28~90.30m 淡緑色粘土挟在
92			L L												
93			L L												
94			L L												
95															
		94.80 -50.05													

第3.4-12図(29) 地質柱状図 (No. 301・その4)

No. 302 (4-1)

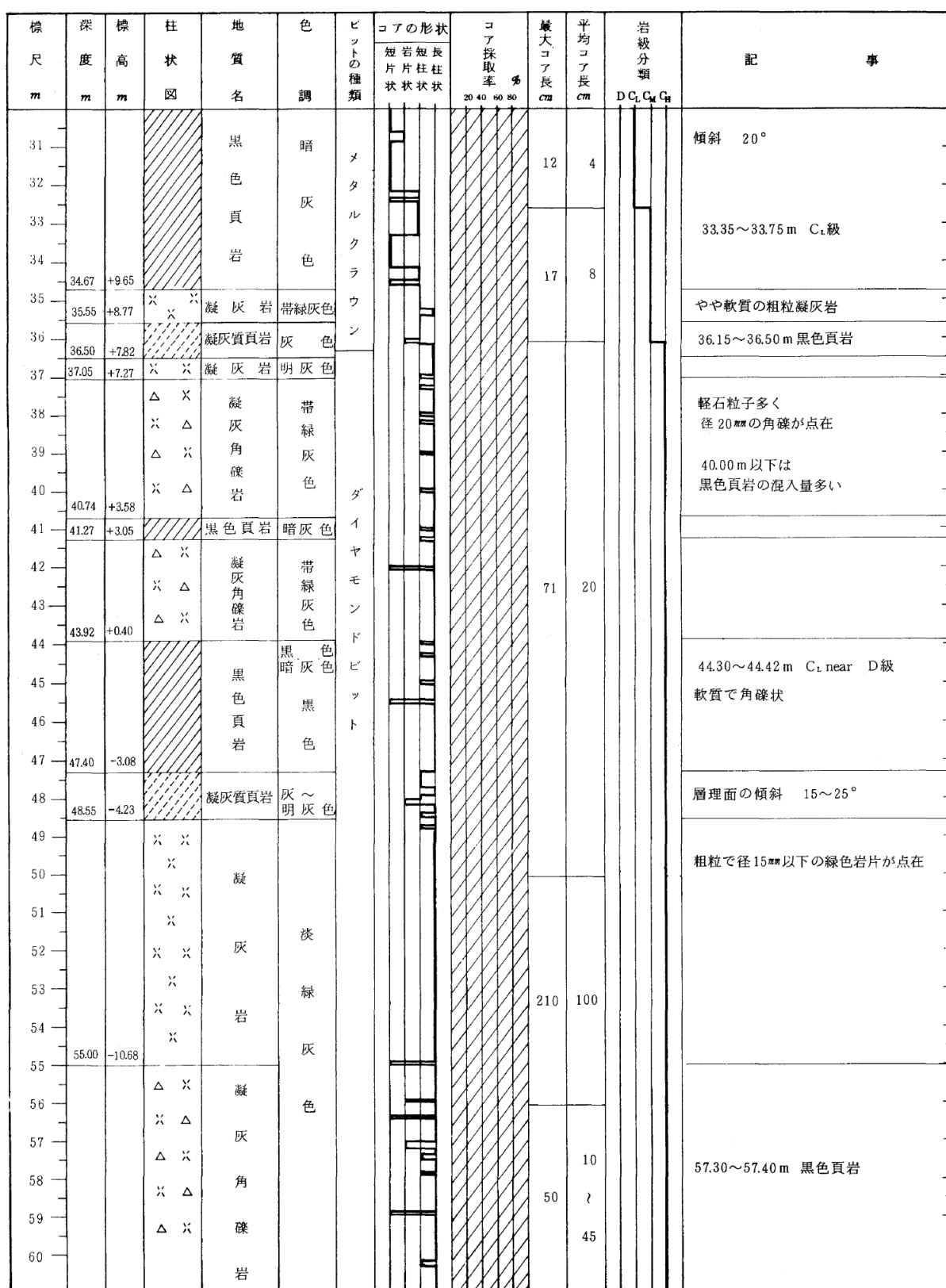
G L = 44.32m

L = 94.60m

標 尺 <i>m</i>	深 度 <i>m</i>	標 高 <i>m</i>	柱 状 図	地 質 名	色 調	ビ ット の 種 類	コアの形状				コア 採取 率 %	最 大 コ ア 長 <i>cm</i>	平均 コ ア 長 <i>cm</i>	岩 級 分 類	記 事			
							短 岩 片 状	短 片 柱 状	長 柱 状	短 片 柱 状					D	C _L	C _M	C _H
1	1.20	+43.12	△ △ △	崖錐堆植物	暗灰褐色 茶褐色													0.00~0.20 m 蘋裝 礫混り土砂
2			X X															風化著しい 1.20~1.40 m D 級
3			X															
4			X X	凝														
5			X															
6			X X	灰														8.20~9.00 m C _M 級
7			X															
8			X X	岩														
9			X															
10			X X															10.17~10.50 m D 級 10.50~12.25 m 脆弱である
11			X															
12	12.25	+32.07	X X															
13	13.00	+31.32	X △	凝灰角礫岩	灰色													
14			X X	凝灰岩	淡褐色													流紋岩質
15	14.65	+29.67	X X	凝灰角礫岩	茶褐色													
16	15.15	+29.17	X △	凝灰角礫岩	灰色													
17																		
18																		
19																		
20																		
21																		
22																		
23																		
24																		
25																		
26	25.90	+18.42																
27	26.45	+17.87		凝灰質頁岩	淡褐色													やや脆弱な岩質
28																		
29																		
30																		

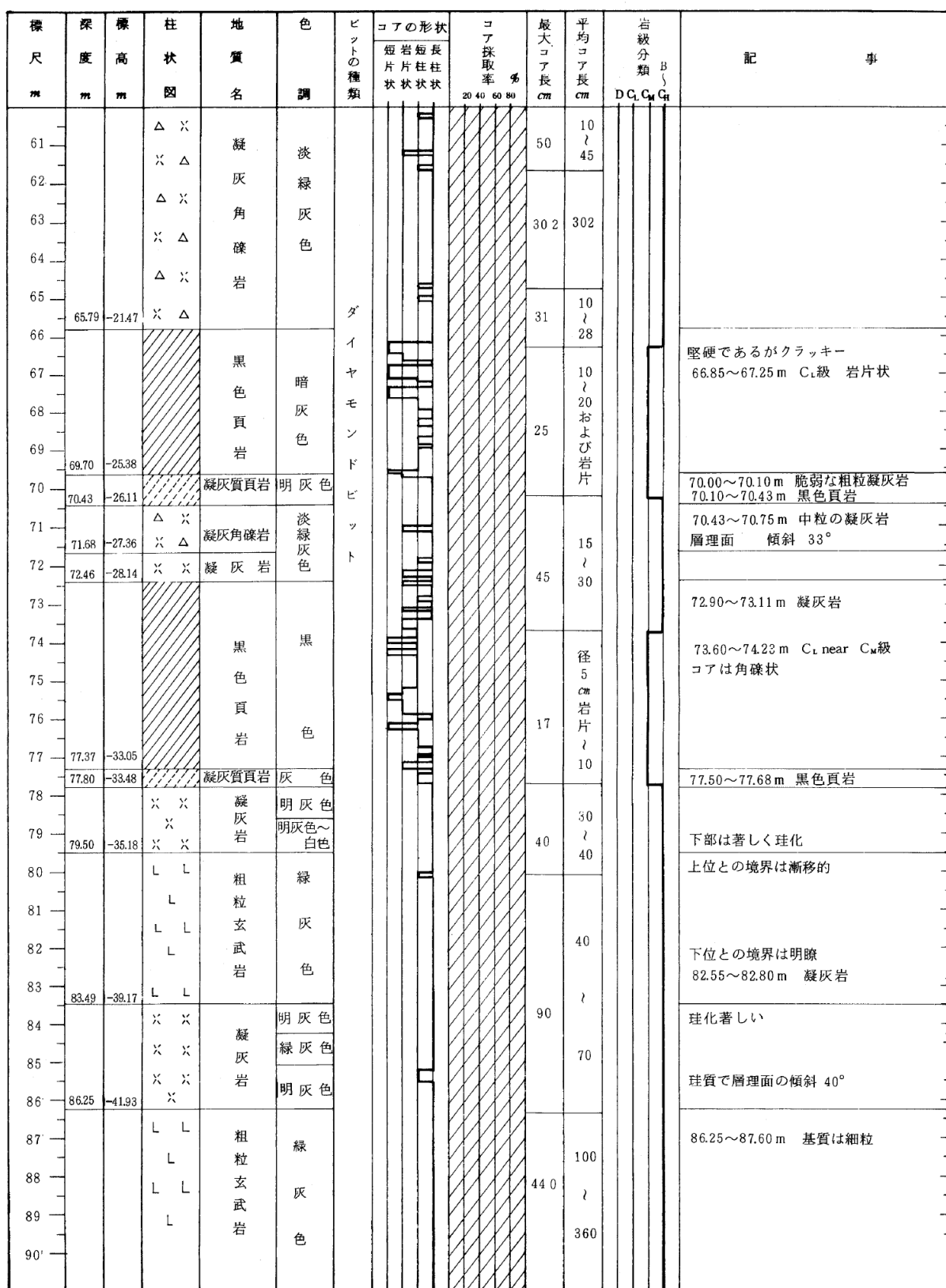
第3.4-12図(30) 地質柱状図 (No. 302・その1)

No. 302 (4-2) GL = 44.32m L = 94.60m



第3.4-12図(31) 地質柱状図 (No. 302・その2)

No. 302 (4-3) GL = 44.32m L = 94.60m



第3.4-12図(32) 地質柱状図 (No. 302・その3)

No. 302 (4-4) GL = 44.32m L = 94.60m

標 尺 <i>m</i>	深 度 <i>m</i>	標 高 <i>m</i>	柱 状 図	地 質 名	色 調	ビ ット の 種 類	コアの形状				コア 採取 率 %	最大 コア 長 <i>cm</i>	平均 コア 長 <i>cm</i>	岩 級 分 類 B	D	C _L	C _M	C _H	記 事
							短 岩 片 状	短 長 片 柱 状	柱 柱 状	柱 柱 状									
91			L L	粗 粒 玄 武 岩	綠 灰 色	ダイ ヤ モ ンド ビ ット							100						
92			L L										440						
93			L										360						
94			L L																
	94.60	-50.28	L																
95																			

第3.4-12図(33) 地質柱状図 (No. 302・その4)

No. 303 (2-1) GL = 14.63m L = 44.70m

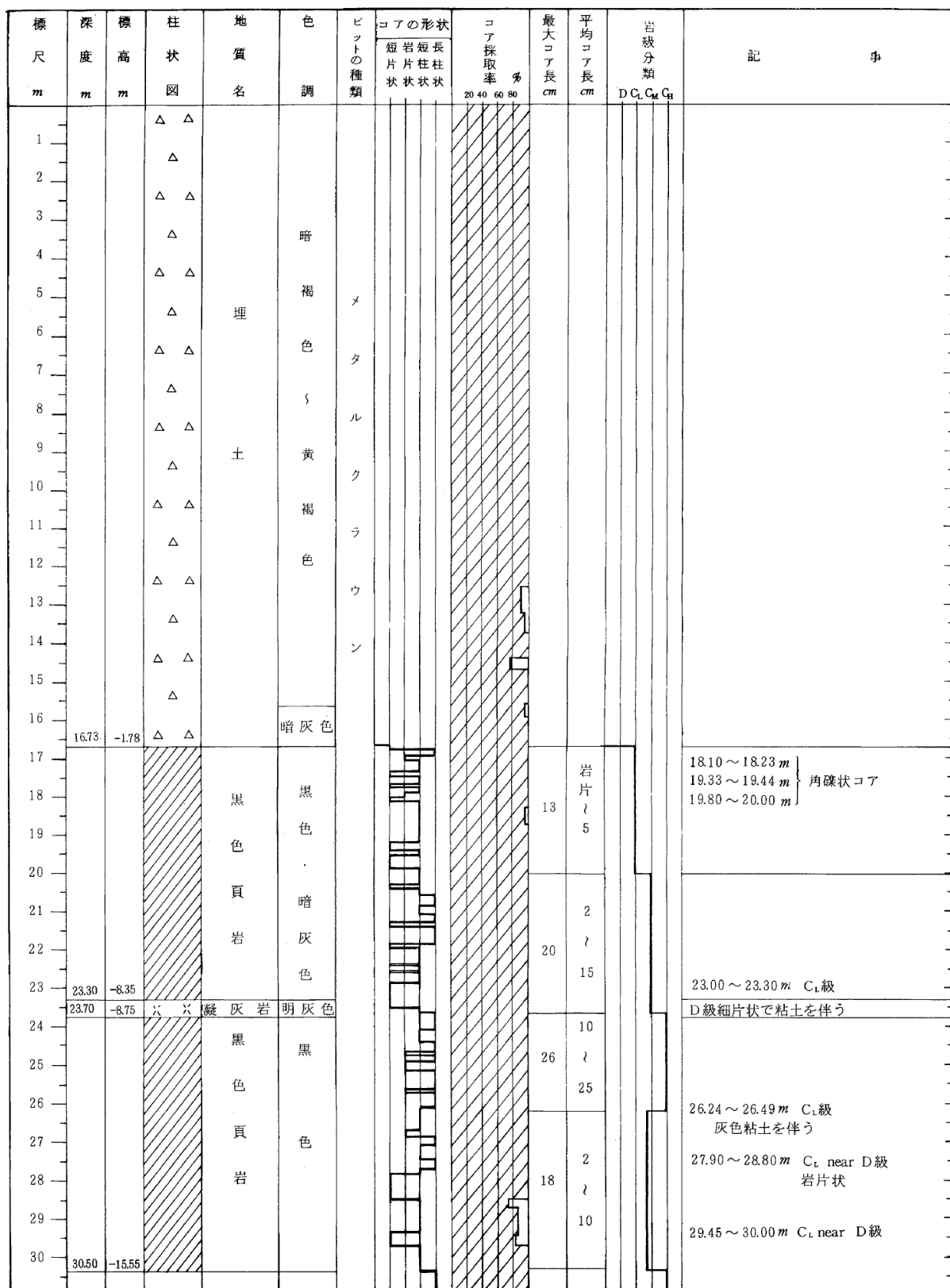
第3.4-12図(34) 地質柱状図 (No. 303・その1)

No. 303(2-2) GL = 14.63m L = 44.70m

標 尺 <i>m</i>	深 度 <i>m</i>	標 高 <i>m</i>	柱 状 図	地 質 名	色 調	ビ ット の 種 類	コアの形状				コア 採取 率 %	最 大 コア 長 <i>cm</i>	平均 コア 長 <i>cm</i>	岩 級 分 類	記 事			
							短 岩 片	短 柱 片	長 柱 片	状 柱 状					D	C _L	C _M	C _H
31					暗 灰 色	ダ					59	10 ~ 20						
32					黑 色	イ												32.00~32.20m 凝灰質頁岩
33					黑 色	ヤ												岩片状部分を挟在 32.06~32.13m 33.24~33.35m 33.50~33.72m
34					黑 色	モ					20							34.40~34.71m 凝灰角砾岩
35					黑 色	ン												鱗片状部分(厚さ1~5cm)を挟在 34.80~34.85m 35.30~35.40m
36						ド												
37						ビ												
38						ツ												
39						ト												
40	40.50	-25.87		凝灰質頁岩	灰 色													
41	41.20	-26.57		黑色 頁 岩	黑 色													38.30~38.72m C _L 級で岩片状 41.00~41.20m 凝灰岩
42																		43.06~43.16m ラミナ発達し剥離性有り 44.45~44.50m 灰色粘土(厚さ2cm)伴う
43																		
44																		
45	44.70	-30.07																

第3.4-12図(35) 地質柱状図 (No. 303・その2)

No. 304 (2-1) GL = 14.95m L = 45.00m



第3.4-12図(36) 地質柱状図 (No. 304・その1)

No. 304 (2-2) GL = 14.95m L = 45.00m

標 尺 <i>m</i>	深 度 <i>m</i>	標 高 <i>m</i>	柱 状 圖	地 質 名	色 調	ビ ット の 種 類	コアの形状		コア 採取 率 %	最 大 コア 長 cm	平均 コア 長 cm	岩 級 分 類			
							短 岩 片 状	短 長 片 状				D	C _L	C _M	C _H
30.50	15.55			黑色頁岩	黒色										
31.00	-16.05			凝灰質頁岩	灰色										
31.60	-16.65	X X		凝灰岩	明灰色										
32															
33															
34															
35															
36															
37															
38															
39															
40															
41															
42															
43															
44															
45	45.00	-30.05													

第3.4-12図(37) 地質柱状図 (No. 304・その2)

No. 305 (2--1) GL = 14.98m L = 45.00m

標尺 m	深度 m	標高 m	柱状圖	地質名	色調	ピットの種類	コアの形狀		コア採取率 %	最大コア長 cm	平均コア長 cm	岩級分類 D C _L C _M C _H	記事	
							短芯 片	長芯 片						
1	1.15	+13.83	△ △ △	埋土	灰～黃褐色	メタルワッフル								礫混り土砂 0.93～1.15m 腐植土
2	2.25	+12.73	X X	黑色頁岩	暗褐色									1.15～1.30m 岩片状
3	3.10	+11.88	X X	凝灰岩	灰色									
4	3.90	+11.08	X X	黑色頁岩	暗灰色									3.10～3.40m 岩片状
5				凝	綠	ダ								粗粒凝灰岩 層理発達
6				灰	灰	イ								3.90～4.45m C _L 級
7				岩	色	ヤ								
8	8.70	+6.28	X X			モ								
9						ン								8.70～10.10m 岩片状
10						ド								
11						ビ								
12						ツ								
13				黑	暗									12.70～12.90m C _L 級
14				色	灰									
15				頁	色									14.56～14.80m C _L 級
16				岩										
17														
18														
19														
20	20.98	-6.00												
21	21.70	-6.72		凝灰質頁岩	灰色									方解石脈発達 18.54～18.60m 岩片状
22														
23														
24														
25														
26														
27														
28														
29	29.37	-14.39												
30	29.95	-14.97	X X	凝灰質頁岩	明灰色									
				凝灰岩	灰色									28.00～28.20m 凝灰質頁岩

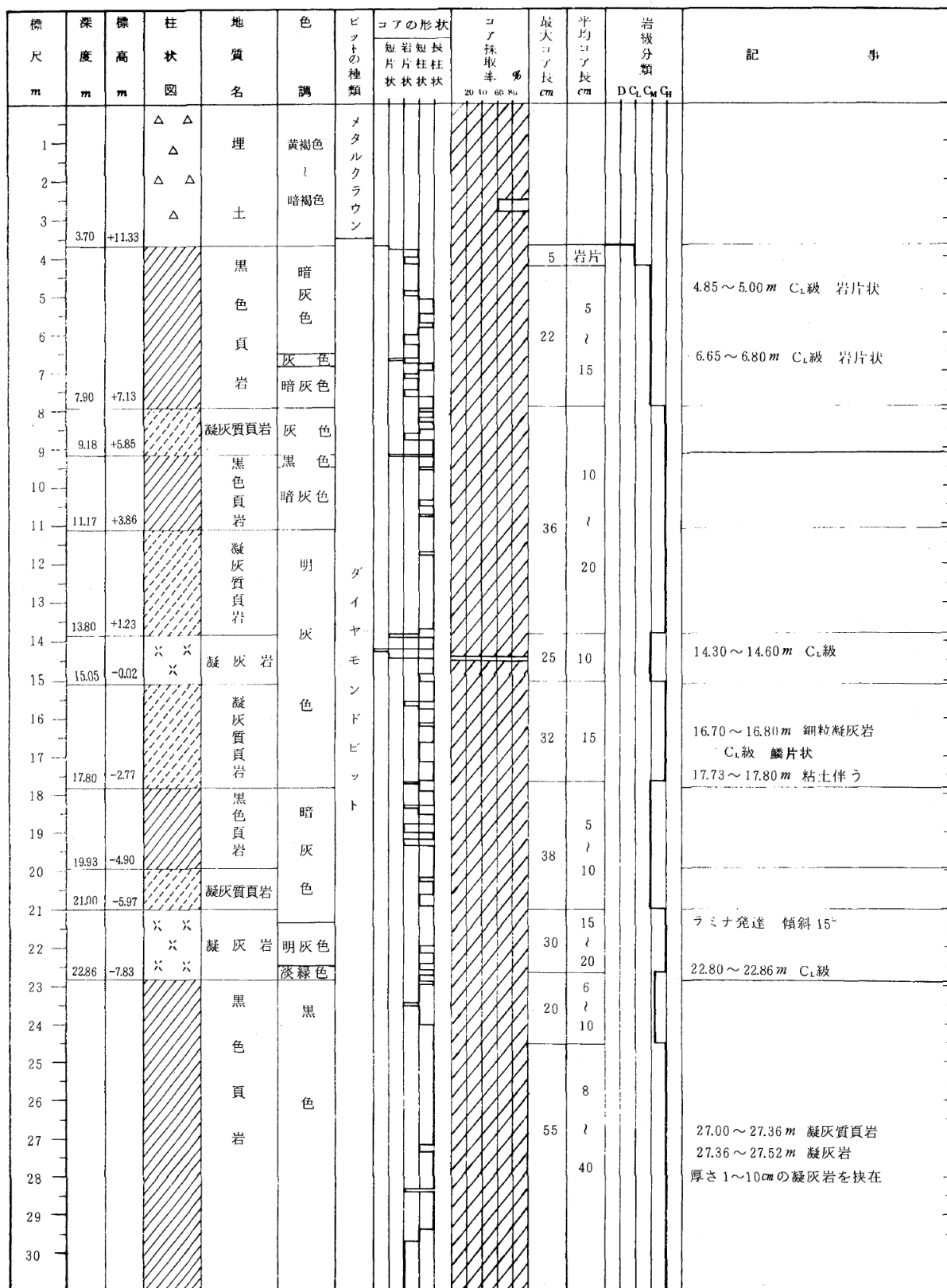
第3.4-12図(38) 地質柱状図 (No. 305・その1)

No. 305(2-2) GL = 14.98m L = 45.00m

標 尺 <i>m</i>	深 度 <i>m</i>	標 高 <i>m</i>	柱 状 圖	地 質 名	色 調	ヒ ツト の 種 類	コアの形状	コア 採取 率 %	最 大 コア 長 cm	平均 コア 長 cm	岩 級 分 類	D C _L C _M C _H	記 事
31	31.63	-16.65	X X X X	凝灰岩 帶緑灰色	灰色		短岩 片 柱 狀 狀 狀 狀	20 10 50 10					31.33～31.63m 粗粒 ラミナ発達
32													
33													33.52～33.67m C _L 級岩片状
34													
35	35.80	-20.82								10			
36													ラミナ発達 傾斜 25°
37	37.50	-22.52		凝灰質頁岩	灰色				95	7	50		
38													層理面の傾斜 20°
39													
40													40.13～40.27m 岩片状
41													41.30～41.40m C _L 級 粘土伴う
42													
43													
44													43.92～44.48m C _M near C _L 級
45	45.00	-30.02											

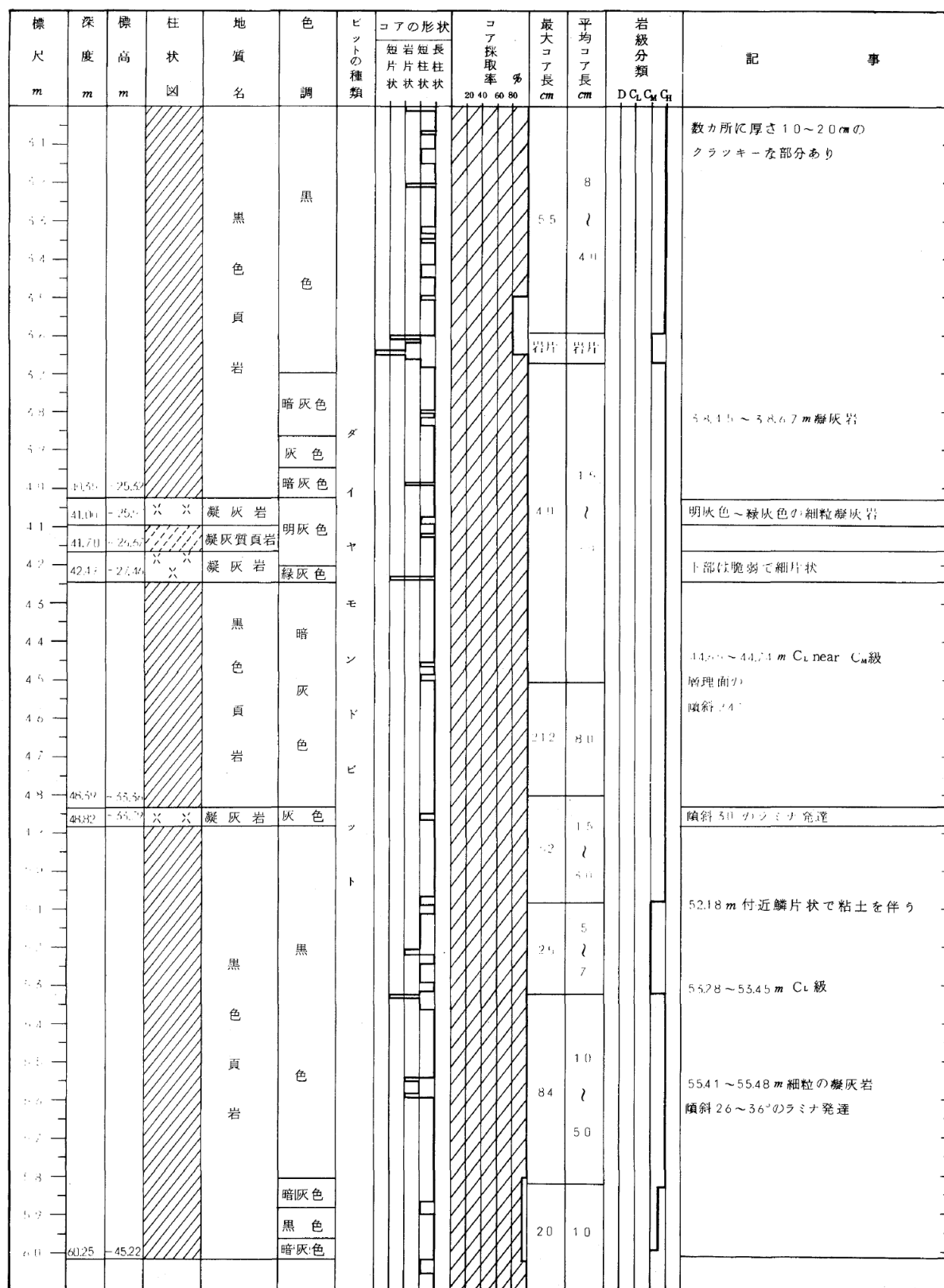
第3.4-12図(39) 地質柱状図 (No. 305・その2)

No. 306 (8-1) GL = 15.03m L = 230.10m



第3.4-12図(40) 地質柱状図 (No. 306・その1)

No. 306 (8-2) GL = 15.03m L = 230.10m



第3.4-12図(41) 地質柱状図 (No. 306・その2)

No. 306 (8-3)

G L = 15.03m

L = 230.10m

標 尺 m	深 度 m	標 高 m	柱 状 圖	地 質 名	色 調	ビ ット の 種 類	コアの形状				コア 採取 率 %	最 大 コア 長 cm	平均 コア 長 cm	岩 級 分 類	記 事			
							短 岩 片 状	短 長 柱 狀	柱 狀	柱 狀					D	C _L	C _M	C _H
60.25	-45.22																	
61	61.45	-46.42	X X	凝灰岩	灰色 明灰色													
62					明灰色～ 灰色													
63				凝灰質頁岩														
64	64.00	-48.97	X X		暗灰色 ～灰色													
65			X															
66			X X	凝 灰 岩	帶 綠 明 灰 色													
67			X		暗灰色													
68			X X		帶 綠 明 灰 色													
69			X X		明 灰 色													
70	69.93	-54.90	X X	凝 灰 角 礫 岩	帶 綠 灰 色													
71			X △															
72			△ X															
73	72.87	-57.84	X △															
74					黑色 頁 岩													
75					暗 灰 色													
76	76.62	-61.59			黑 色													
77																		
78					綠 灰 色													
79					淡 綠 色													
80																		
81																		
82																		
83																		
84																		
85																		
86																		
87																		
88																		
89																		
90																		

第3.4-12図(42) 地質柱状図 (No. 306・その3)

No. 306 (8-4) GL = 15.03m L = 230.10m

標 尺 <i>m</i>	深 度 <i>m</i>	標 高 <i>m</i>	柱 状 図	地 質 名	色 調	ビ ット の 種 類	コアの形状		コア 採 取 率 %	最 大 コ ア 長 <i>cm</i>	平均 コ ア 長 <i>cm</i>	岩 級 分 類	記 事			
							短 岩 片 状	短 長 片 柱 状					D	C _L	C _M	C _H
91	91.00	-75.97	X X X	凝灰岩 帯緑灰色												
92			△ X													
93			X △													
94			△ X													
95			X △													
96			△ X													
97			X △													
98	98.27	-83.24	X △													
99	99.58	-84.55		凝灰質頁岩 暗灰色												
100																
101																
102	102.35	-87.32	X X	凝灰岩 明灰色												
103	102.87	-87.84	X X	凝灰岩 明灰色												
103.47	-88.44			黑色頁岩 黒色												
104			X X	凝灰岩 帯緑灰色												
104.33	-89.30		X X	凝灰角礫岩 明												
104.95	-89.92		△ X	凝灰角礫岩 明												
105			X X	凝灰岩 灰												
106	106.07	-91.04	X X	凝灰岩 灰												
107	107.30	-92.27		凝灰質頁岩 灰												
108																
109																
110																
111																
112																
113																
114																
115																
116																
117																
118																
119																
120																

第3.4-12図(43) 地質柱状図 (No. 306・その4)

No. 306 (8-5)

G L = 15.03m

L = 230.10m

標 尺 m	深 度 m	標 高 m	柱 状 圖	地 質 名	色 調	ピ ット の 種 類	コアの形状 短岩 短 片 片 柱 柱 状 状 状 状	コア採取率 20 40 60 80	最大コア長 cm	平均コア長 cm	岩級分類 D C _L C _M C _H	記 事
121	121.18	-106.15		黑色頁岩	黑色							120.17~120.36m 凝灰質頁岩
	121.86	-106.83		凝灰質頁岩	暗灰色							ラミナ発達 傾斜 3°
122				黑色頁岩	黑色							122.15~122.25m 細粒凝灰岩
123		122.83	-107.80									
124		124.10	-109.07		凝灰質頁岩	暗灰色						
125												
126												
127												
128												
129	128.90	-113.87										128.55~128.90m 凝灰質頁岩
130	129.52	-114.49	X X	凝灰岩	明灰色							
131	130.73	-115.70		黑色頁岩	暗灰色							130.37~130.73m 凝灰質頁岩との互層
132	132.22	-117.19	X X	凝灰岩	綠灰色							
133	132.93	-117.90		凝灰質頁岩	灰色							
	133.50	-118.47		黑色頁岩								
134			X X	凝灰岩	綠灰色							
135			X	灰岩	灰色							
136	136.00	-120.97	X	黑岩	黑色							
	136.65	-121.62	X △	凝灰角礫岩	明灰色							
137			L L									137.06~137.12m C _L 級 粘土を伴う
138			L									
139			L L	粗粒								
140			L	玄武岩								
141			L L									141.10~149.00m やや細粒 149m以深 粗粒
142			L									
143			L L									
144			L									
145			L L									
146			L									
147			L L									
148			L									
149			L L									
150			L									

第3.4-12図(44) 地質柱状図 (No. 306・その5)

No. 306 (8-6)

G L = 15.03m

L = 230.10m

標 尺 <i>m</i>	深 度 <i>m</i>	標 高 <i>m</i>	柱 状 図	地 質 名	色 調	ピ ット の 種 類	コアの形状				コア 採 取 率 20 40 60 80	最 大 コ ア 長 <i>cm</i>	平 均 コ ア 長 <i>cm</i>	岩 級 分 類 D C _L C _M C _H	記 事
							短 岩 片 状 状 状	長 柱 柱 状 状	柱 柱 状 状	状 状 状 状					
151			L L												
152			L												
153			L L												
154			L L												
155			L												
156			L L												
157			L												
158			L L												
159			L		緑	ダ									
160			L L		灰	イ									
161			L L	粗	ヤ	モ					10	3			160.90～161.25m 石英脈
162			L	粒	モ	ン									
163			L L	玄	ビ	ド									
164			L	武	ツ	ッ									
165			L L	岩		ト									
166			L												
167			L L												
168			L												
169			L L												
170			L												
171			L L												
172			L												
173			L L												173.00～217.00m やや細粒
174			L												
175			L L												
176			L												
177			L L												
178			L												
179			L L												
180			L												

第3.4-12図(45) 地質柱状図 (No. 306・その6)

No. 306(8-7) GL = 15.03m L = 230.10m

標 尺 <i>m</i>	深 度 <i>m</i>	標 高 <i>m</i>	柱 状 図	地 質 名	色	ビ ット の 種 類	コアの形状		コア 採取 率 %	最 大 コ ア 長 <i>cm</i>	平 均 コ ア 長 <i>cm</i>	岩 級 分 類	記 事			
							短 岩 片 状	短 長 柱 状					D	C _L	C _M	C _H
181			L L													
182			L L													
183			L													
184			L L													
185			L													
186			L L													
187			L L													
188			L L													
189			L													
190			L L	粗 粒	淡 綠	ダ イ ヤ モ					300					
191			L L							780		?				
192			L L	玄 武 岩	灰 色	シ ン ド ビ ッ ト					500					
193			L													
194			L L													
195			L													
196			L L													
197			L													
198			L L													
199			L													
200			L L													
201			L													
202			L L													
203			L													
204			L L													
205			L													
206			L L													
207			L													
208			L L													
209			L													
210			L													

第3.4-12図(46) 地質柱状図 (No. 306・その7)

No. 306 (8-8)

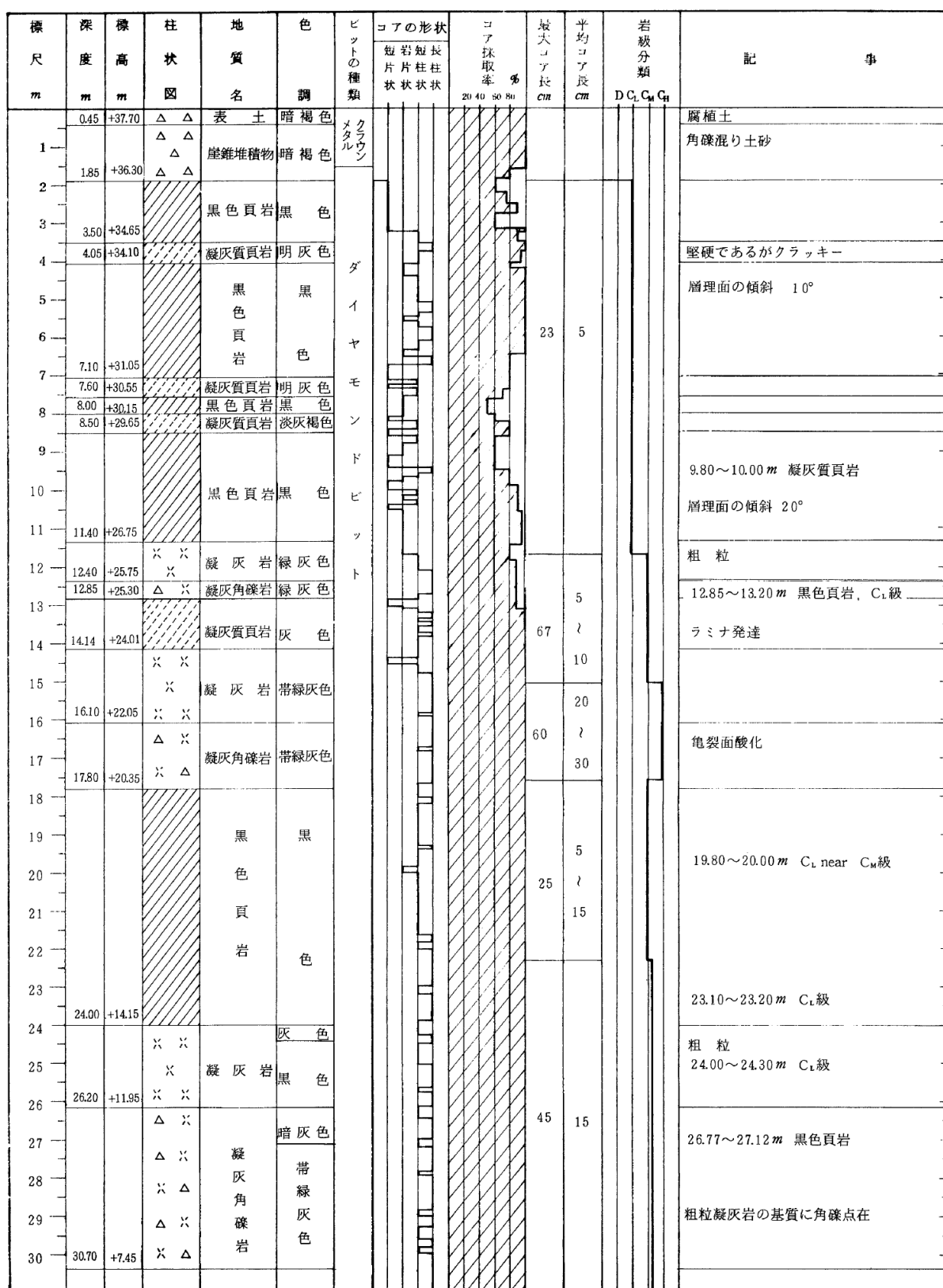
GL = 15.03m

L = 230.10m

標 尺 <i>m</i>	深 度 <i>m</i>	標 高 <i>m</i>	柱 状 図	地 質 名	色 調	ピ ット の 種 類	コアの形状				コア 採 取 率 %	最 大 コ ア 長 <i>cm</i>	平均 コ ア 長 <i>cm</i>	岩 級 分 類	記 事			
							短 岩 片 状	短 長 片 状	柱 柱 状	柱 柱 状					D	C _L	C _M	G _H
211			L L															
212			L															
213			L L															
214			L															
215			L L															
216			L															
217			L L															217.00~230.10m 粗 粒
218			L															
219			L L															
220			L															
221			L L															
222			L															
223			L L															
224			L															
225			L L															
226			L															
227			L L															
228			L															
229			L L															
230	230.10	-215.07	L															

第3.4-12図(47) 地質柱状図 (No. 306・その8)

No. 307 (3-1) GL = 38.15m L = 70.00m



第3.4-12図(48) 地質柱状図 (No. 307・その1)

No. 307 (3-2)

GL = 38.15m

L = 70.00m

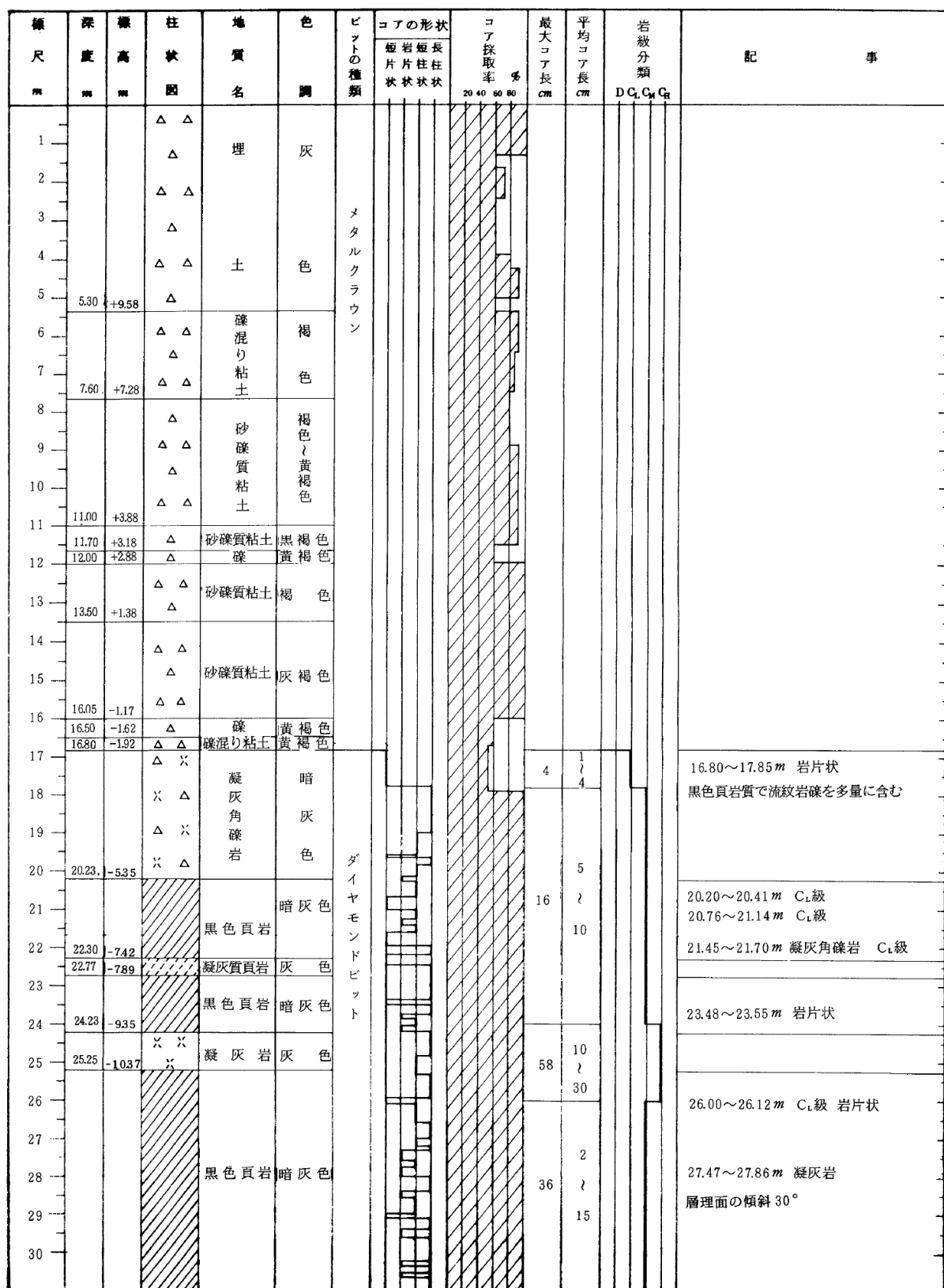
標 尺 <i>m</i>	深 度 <i>m</i>	標 高 <i>m</i>	柱 状 図	地 質 名	色 調	ヒ ツ の 種 類	コアの形状		コア 採取 率 %	最 大 コ ア 長 <i>cm</i>	平均 コ ア 長 <i>cm</i>	岩 級 分 類 D C _L C _M C _H	記 事
							短 岩 片 状	長 柱 状					
30.70	+7.45	△ X	凝灰角礫岩	帶綠灰色									
31.15	+7.00	X X	凝灰岩	灰色									30.95~31.15m C _L 級
32				黑色頁岩	黑色								31.65~32.15m 角礫含む
33	33.30	+4.85											
34		△ X											
35		X △											
36		△ X	凝灰角礫岩	暗綠灰色	ダイヤモンド								角礫多量に含む
37		X △											
38		△ X											
39		X △											
40		△ X											
41		X △											
42.10	-3.95	△ X											41.15~41.65m C _M 級 ややクラッキー
43													
43.60	-5.45		黑色頁岩	黑色	ト								
44		△ X											
45		X △	凝灰角礫岩	灰色									黑色頁岩質
46		△ X											
47		X △											
48.00	-9.85	△ X											
48													
49		X X											
50		X											
51		X X	凝灰岩	帶綠灰色									
52		X											
53		X X											
54		X											
55		X X											
56		X X											
57		X											
58		X X											
59		X											
60		X X											

第3.4-12図(49) 地質柱状図 (No. 307・その2)

No. 307 (3-3) GL = 38.15m L = 70.00m

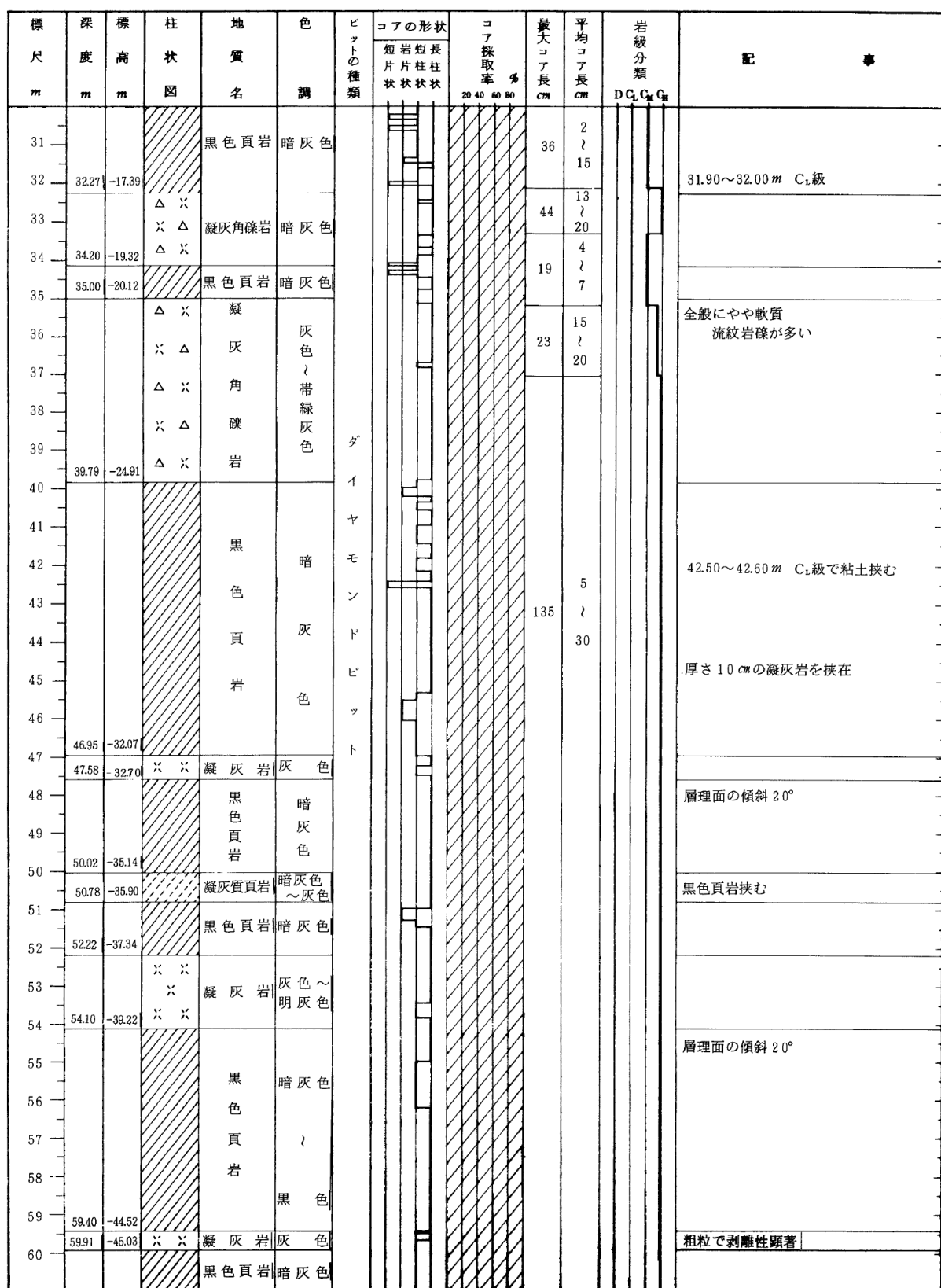
第3.4-12図(50) 地質柱状図 (No. 307・その3)

No. 308 (4-1) GL = 14.88m L = 109.90m



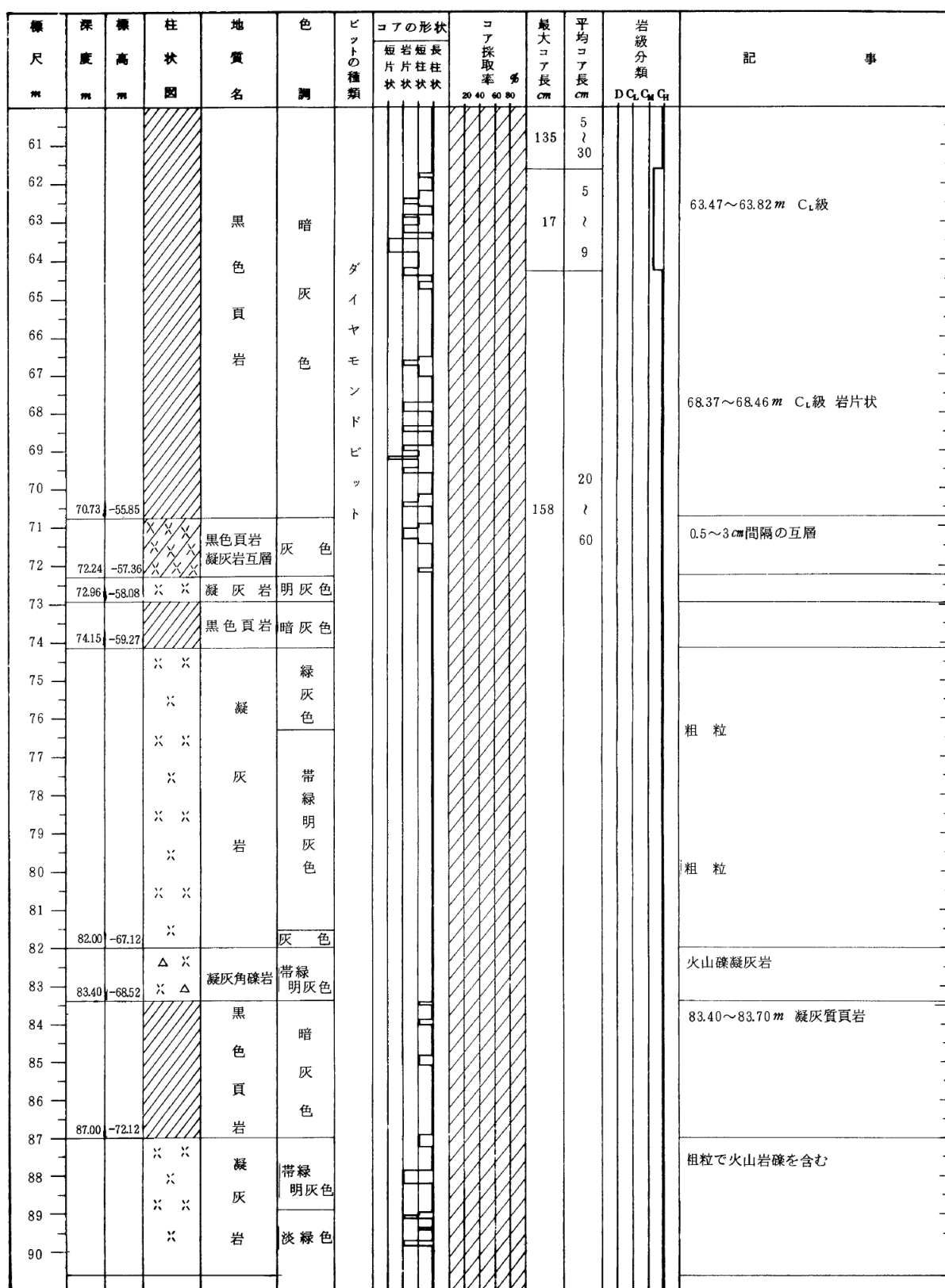
第3.4-12図(51) 地質柱状図 (No. 308・その1)

No. 308 (4-2) GL = 14.88m L = 109.90m



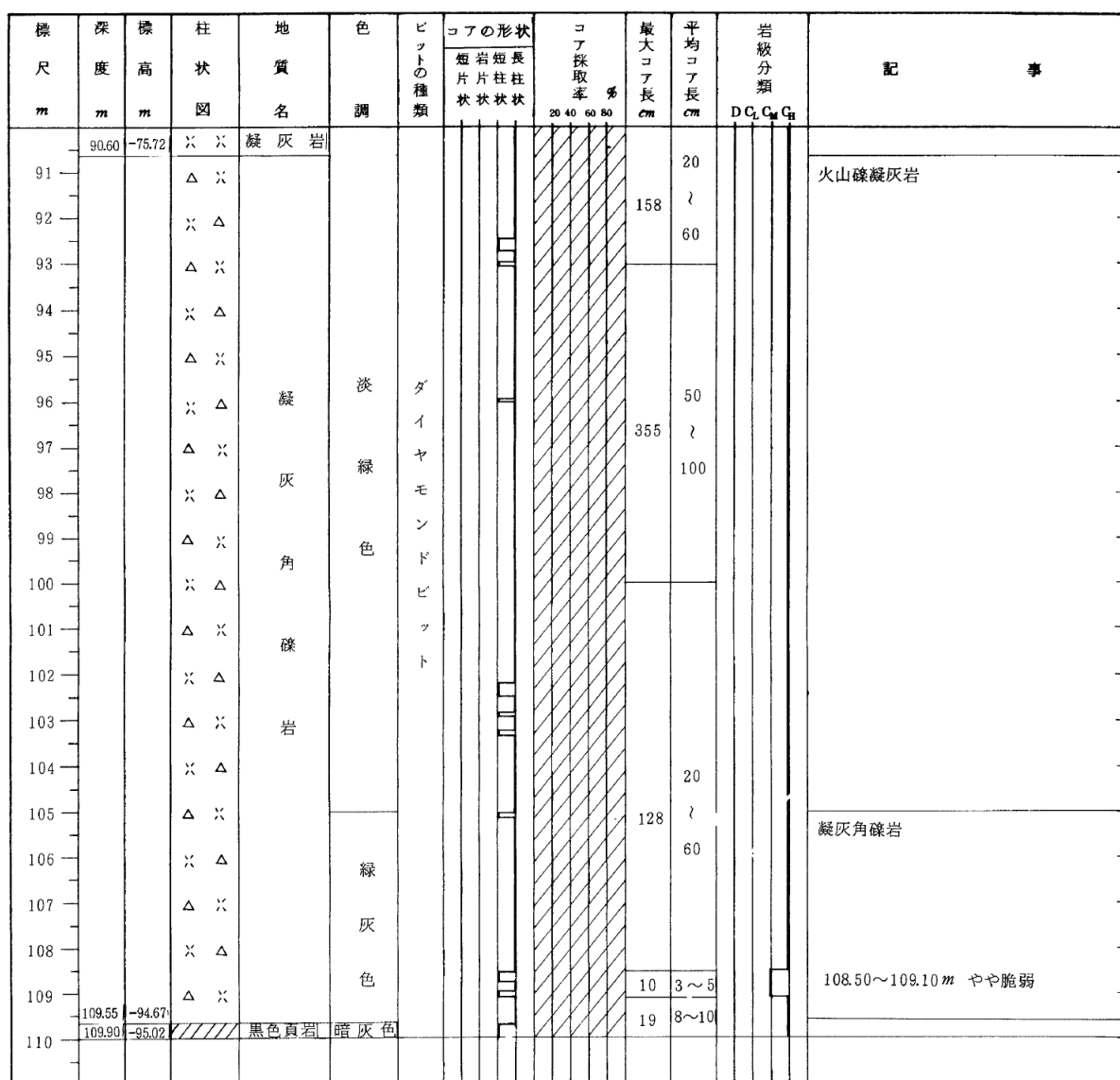
第3.4-12図(52) 地質柱状図 (No. 308・その2)

No. 308 (4-3) GL = 14.88m L = 109.90m



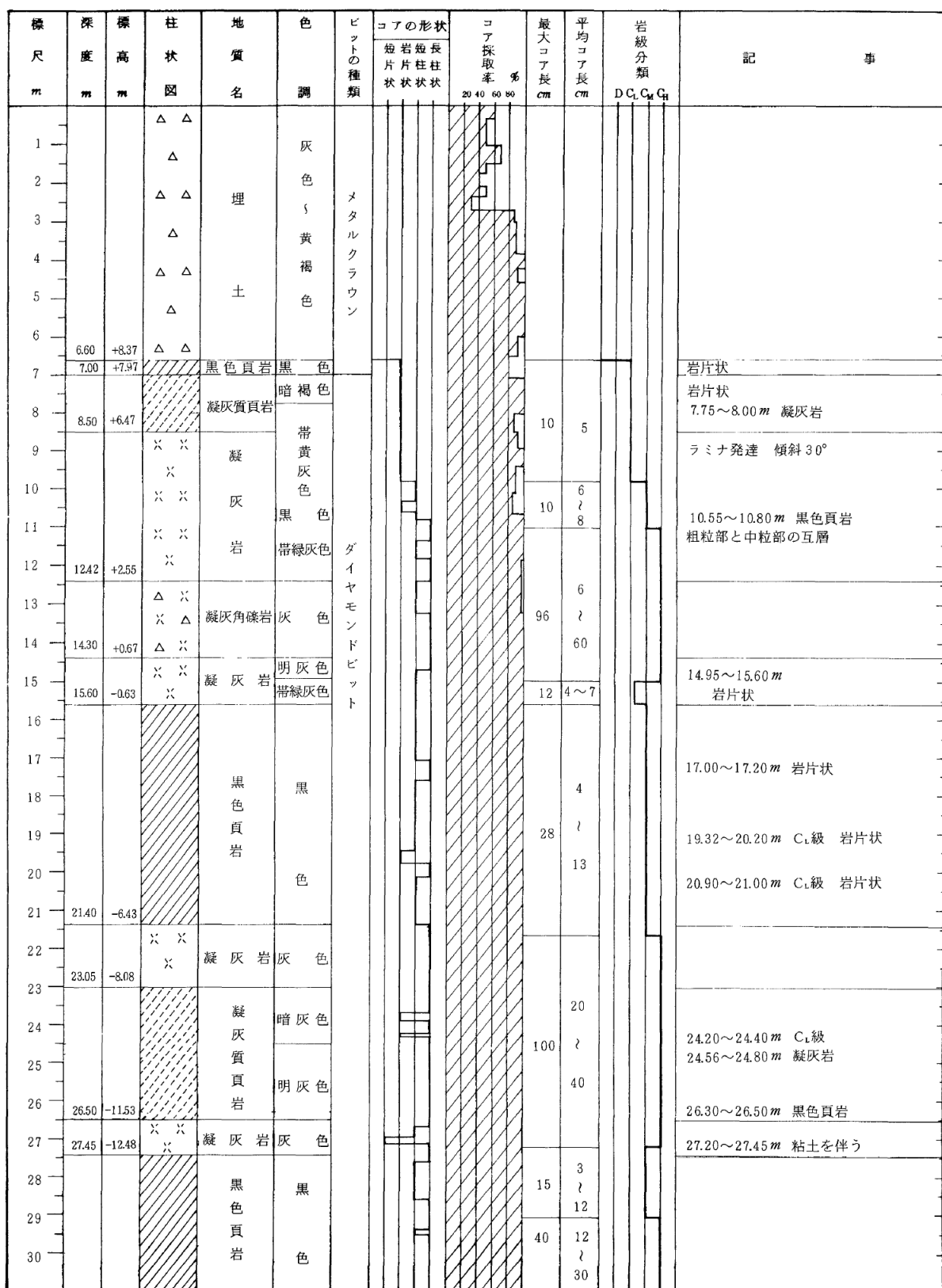
第3.4-12図(53) 地質柱状図 (No. 308・その3)

N_{O.} 308 (4-4) GL = 14.88m L = 109.90m



第3.4-12図(54) 地質柱状図 (N_{O.} 308・その4)

No. 309 (4-1) GL = 14.97m L = 110.00m



第3.4-12図(55) 地質柱状図 (No. 309・その1)

No. 309 (4-2)

G L = 14.97m

$$L = 110.00 \text{m}$$

第3.4-12図(56) 地質柱状図 (No. 309・その2)

No. 309 (4-3)

G L = 14.97m

L = 110.00m

標 尺 <i>m</i>	深 度 <i>m</i>	標 高 <i>m</i>	柱 状 圖	地 質 名	色 調	ビ ット の 種 類	コアの形状		コア 採取 率 %	最 大 コ ア 長 <i>cm</i>	平均 コ ア 長 <i>cm</i>	岩 級 分 類	記 事			
							短 岩 片 状	短 長 柱 状					D	C ₁	C _M	C _H
61	60.90	-45.93		黑色頁岩	黑色											
	61.43	-46.46	X X	凝灰岩	明灰色											
62																
63																
64																
65																
66																
67																
68																
69																
70																
71																
72																
73	73.10	-58.13														
74	74.40	-59.43		凝灰質頁岩	白色～黑色											
75	75.05	-60.08	X X	凝灰岩	明灰色											
76	76.00	-61.03		黑色頁岩	暗灰色											
77	76.95	-61.98		凝灰質頁岩	暗灰色											
78			X X		暗綠灰色											
79					淡綠色											
80			X X		凝 灰 色											
81			X X		綠灰色											
82			X X		淡 綠 色											
83			X X		岩											
84			X													
85	84.70	-69.73		凝灰質頁岩												
86	85.10	-70.13														
87			X X													
88			X X		凝 灰 色											
89			X X		岩											
90																

第3.4-12図(57) 地質柱状図 (No. 309・その3)

No. 309 (4-4)

G L = 14.97m

$$L = 110.00\text{m}$$

第3.4-12図(58) 地質柱状図 (No. 309・その4)

No. 310 (4-1) GL = 15.06m L = 110.10m

標 尺 m	深 度 m	標 高 m	柱 状 圖	地 質 名	色 調	ビ ット の 種 類	コアの形状			コア 探 取 率 %	最 大 コ ア 長 cm	平均 コ ア 長 cm	岩 級 分 類	記 事				
							短 岩 片 状	短 柱 状	長 柱 状					D	C _L	C _M	C _H	
1	160	+13.46	△ △ △	埋 土	黄 褐 色	クメ ラル ン				20 40 60 80								
2	2.50	+12.56	/	凝灰質頁岩	淡褐色													
3			/	黑色頁岩	暗 灰 色													
4	4.10	+10.96	/	凝灰質頁岩	淡褐色													
5			/	黑色頁岩	暗 灰 色													
6			/	凝灰質頁岩	淡褐色													
7	7.00	+8.06	/	凝灰岩	灰 色	ダ イ ヤ モ ン ド ビ ツ ト												
8	7.60	+7.46	X X	黑色頁岩	黑 色													
9			/	凝灰岩	带 绿 灰 色													
10	10.30	+4.76	/	凝灰角砾岩	暗灰色													
11	11.76	+3.30	X	黑色頁岩	暗灰色													
12	12.80	+2.26	X △	凝灰角砾岩	暗灰色													
13	13.50	+1.56	/	黑色頁岩	暗灰色													
14	14.60	+0.46	/	凝灰質頁岩	暗灰色													
15			X X	凝灰岩	明 灰 色													
16	16.88	-1.82	X X	凝灰岩	明 灰 色													
17	17.35	-2.29	/	黑色頁岩	黑色													
18			X X	凝灰岩	淡 绿 灰 色													
19	19.46	-4.40	X X	凝灰角砾岩	明 灰 色													
20	20.45	-5.39	X △	凝灰角砾岩	带 绿 灰 色													
21	21.35	-6.29	X X	凝灰岩	黑色													
22			/	黑色頁岩	灰色													
23	23.55	-8.49	/	凝灰質頁岩	暗灰色													
24	24.30	-9.24	/	黑色頁岩	暗灰色													
25	25.10	-10.04	/	凝灰質頁岩	黑色													
25.56	25.56	-10.50	/	凝灰質頁岩	灰色													
26			/	黑色頁岩	暗灰色													
27	27.60	-12.54	/	凝灰岩	灰色													
28			X X	凝灰岩	明 灰 色													
29	29.65	-14.59	X X	凝灰質頁岩	黑色 灰色													
30			/	凝灰質頁岩	暗灰色													

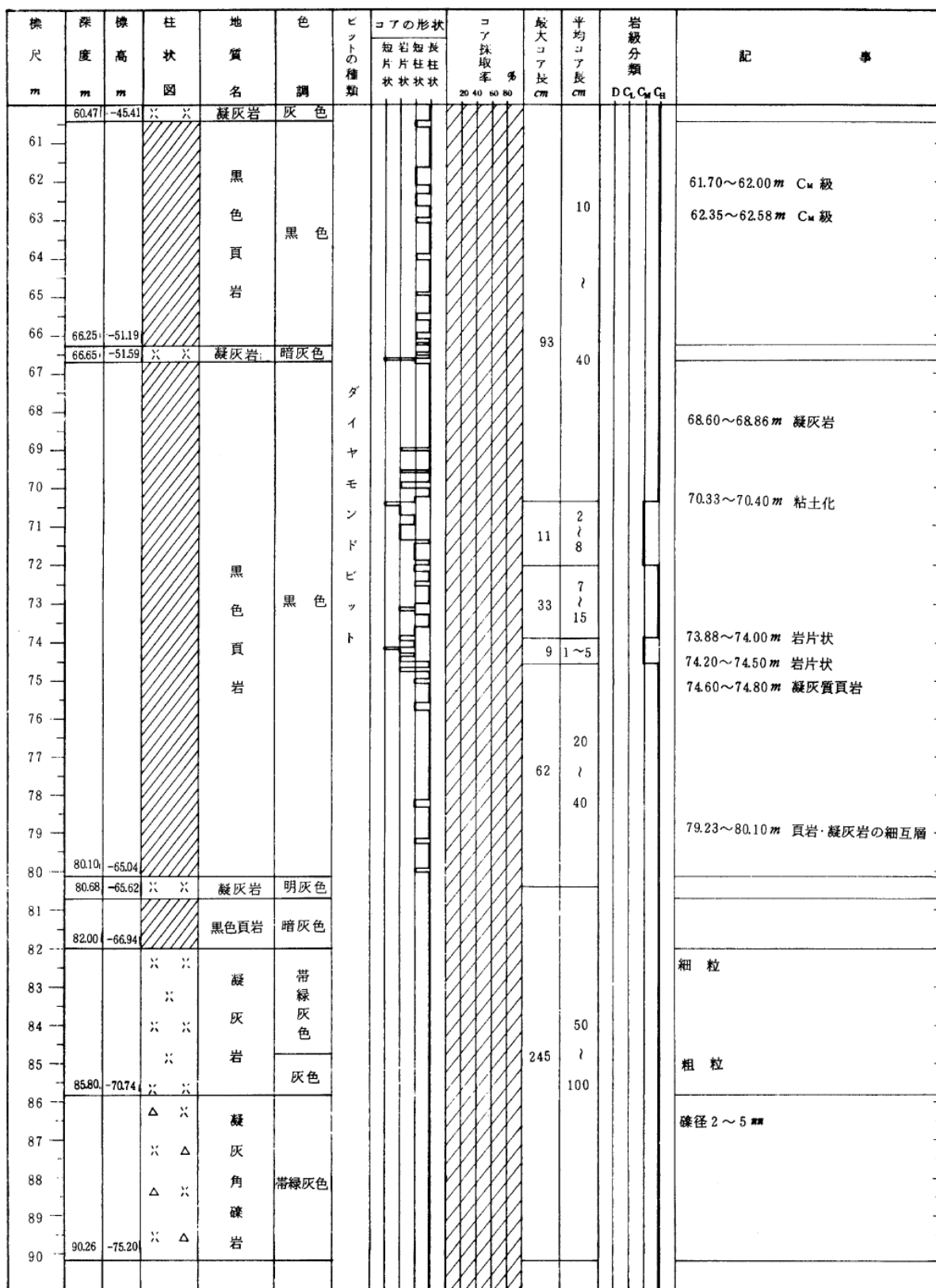
第3.4-12図(59) 地質柱状図 (No. 310・その1)

No. 310 (4-2) GL = 15.06m L = 110.10m

標 尺 <i>m</i>	深 度 <i>m</i>	標 高 <i>m</i>	柱 状 図	地 質 名	色 調	ビ ット の 種 類	コアの形状				コア 探取 率 %	最 大 コア 長 <i>cm</i>	平均 コア 長 <i>cm</i>	岩 級 分 類	記 事			
							短 岩 片 片 柱 状 状 状	短 長 柱 柱 状 状 状	20 40 60 80	20 40 60 80					D	C _L	C _M	C _H
31				凝灰質頁岩	暗灰色													
32					灰													
33					色													
34	34.00	-18.94	X X	凝灰岩														
35	35.20	-20.14	X X	凝灰質頁岩	凝灰岩													
36	36.00	-20.94	X X	凝灰岩														
36	36.66	-21.60	X X	凝灰岩	灰色	ダイヤモンドピット												
37					黑色													
38					頁岩													
39					暗灰色													
40					色													
41					頁岩													
42	42.06	-27.00	X X	凝灰岩	明灰色													
43	43.82	-28.76	X X	凝灰岩														
44																		
45																		
46																		
47																		
48	48.17	-33.11	X X	凝灰質頁岩	明灰色													
49	49.70	-34.64	X X	凝灰質頁岩	凝灰岩													
50					灰~明灰色													
51					凝灰岩													
52	52.90	-37.84	X X	凝灰岩	暗灰色													
53																		
54																		
55																		
56																		
57	57.67	-42.61	X X	凝灰質頁岩	黑色													
58	58.42	-43.36	X X	凝灰質頁岩	暗灰色													
58	58.90	-43.84	X X	凝灰岩	明灰色													
59																		
60	59.95	-44.89	X X	凝灰質頁岩	明灰色													
60	60.47	-45.41	X X	凝灰岩	灰色													

第3.4-12図(60) 地質柱状図 (No. 310・その2)

No. 310 (4-3) GL = 15.06m L = 110.10m



第3.4-12図(61) 地質柱状図 (No. 310・その3)

No. 310 (4-4) GL = 15.06m L = 110.10m

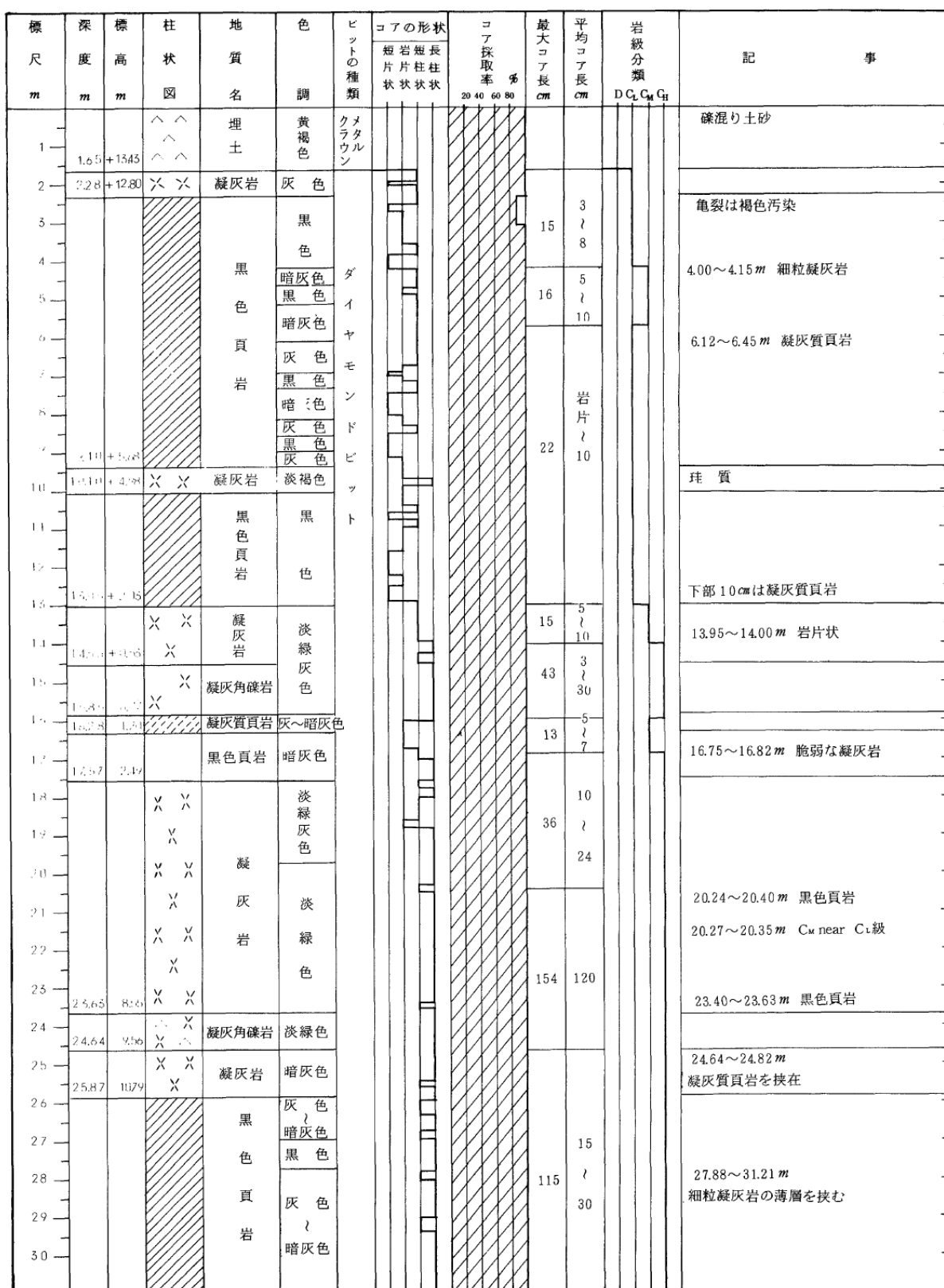
標 尺 <i>m</i>	深 度 <i>m</i>	標 高 <i>m</i>	柱 状 図	地 質 名	色 調	ビ ット の 種 類	コアの形状		コア 採 取 率 %	最 大 コ ア 長 <i>cm</i>	平 均 コ ア 長 <i>cm</i>	岩 級 分 類	記 事			
							短 岩 片	短 長 柱 状					D C ₁ C ₂ C ₃			
90.26	-75.20	△ X														
91				黑色頁岩												
92.15	-77.09															
92.55	-77.49			凝灰質頁岩	暗灰色											
93																
94.00	-78.94			黑色頁岩												
94		X X														
95		X														
96		X X		凝 灰 岩												
97		X														
98		X X														
99		X														
100.00	-84.94															
100																
101		△ X														
102		X △														
103		△ X		凝 灰 色												
104		△ X														
105		X △		凝 灰 角 礁												
106		△ X														
107		X △														
108		△ X														
109		X △														
109.96	-94.90															
110				黑色頁岩	黑色											
110.10	-95.04															

第3.4-12図(62) 地質柱状図 (No. 310・その4)

No. 311(2-1)

G L = 15.08m

L = 45.10m



第3.4-12図(63) 地質柱状図 (No. 311・その1)

No. 311 (2-2) GL = 15.08m L = 45.10m

標 尺 m	深 度 m	標 高 m	柱 状 圖	地 質 名	色 調	ピ ット の 種 類	コアの形状		コア 保 持 率 %	最 大 コ ア 長 cm	平均 コ ア 長 cm	岩 級 分 類	記 事			
							短 岩 片 状	短 片 柱 状					D	C _L	C _M	C _H
31	31.21	-16.13	X X	黑色頁岩	灰色 及 暗灰色	ダイ ヤ モ ン ド ビ ット			20 40 60 80							
	31.85	-16.77	X X	凝灰岩	淡綠灰色											細粒
32																
	32.84	-17.76	X X	凝灰質頁岩	灰色 及 暗灰色											
33																
	34.15	-19.07	X X	黑色頁岩	暗灰色											
34																
35																
36																
37																
38																
39	39.00	-23.92	X X	凝灰岩	明 灰色											
40			X													層理面の傾斜 34°
41	41.50	-26.42	X X	凝灰岩	淡灰色											
42																
43																43.05~43.15m C _M near C _L 級 岩片状
44																44.80~45.05m 凝灰岩
45	45.10	-30.02	X X	黑色頁岩	黑色 及 暗灰色											

第3.4-12図(64) 地質柱状図 (No. 311・その2)